

# Vážení čtenáři,

po relativně krátké době se znovu setkáváme nad stránkami Přílohy Amatérského radia. Vzhledem k ohlasům, které přišly do redakce poté, co se první Příloha objevila na stáncích, chtěli bychom tuto Přílohu uvést několika slovy.

Především – jaký je účel minulé i této Přílohy AR? To je otázka, kterou je třeba rozebrat z poněkud širších souvislostí. Nejprve však na položenou otázku odpovíme – účelem této i minulé Přílohy je podpořit probíhající vědeckotechnickou revoluci, seznámit co nejširší okruh lidí s novinkami techniky, naučit je pracovat a myslet v nových „rozměrech“, které odpovídají současnému stavu techniky. Jednou z našich dalších snah je i podpořit hnutí zlepšovatelů a vynálezců, vychovávat nové elektrotechniky a elektroniky a poskytovat jim především do začátků dostatek informací k tomu, aby se vlastní prací dokázali dostat na takovou úroveň, která jim umožní sledovat všechny novinky, které vědeckotechnická revoluce přináší – a nejen je sledovat, ale také rozumět jim, umět je používat v denní praxi.

Historický a společenský rozvoj je v současné době charakterizován stále pronikavějšími změnami výrobních sil a celkových životních podmínek. Tak jako objev parního stroje v minulosti, který byl počátkem tzv. první průmyslové revoluce, přinesl mnoho převratných změn do způsobu výroby a do života společnosti, je i současný nebyvalý rozvoj vědy a techniky, spojený s všestrannou aplikací vědeckotechnických poznatků ve výrobě a ve společenské praxi, příčinou a určujícím znakem nastupující vědeckotechnické revoluce, která bývá též někdy zúžené označována jako druhá průmyslová revoluce. Zvláštností vědeckotechnické revoluce je, že ač vznikla v oblasti vědy, neomezila a neomezuje se pouze na oblast vědy a techniky, ale zasáhla a zasahuje aktivně do všech stránek života a činnosti lidí, má téměř celosvětový charakter a je kromě toho i jedním z nejdůležitějších prostředků v soutěžení dvou světových soustav, kapitalismu a socialismu. Věda se stává bezprostřední silou výrobního procesu, hybnou silou velkých společenských přeměn, neboť nahrazuje bezprostřední výrobní funkce člověka technickými prostředky; člověk se osvobozuje od bezprostřední výrobní činnosti a vstupuje do sféry složitých činností, spojených s aplikací vědy. Vědeckotechnická revoluce umožňuje socialistické společnosti spojovat možnosti vyvíjejících se výrobních vztahů s přetvářením struktury a dynamiky výrobních sil a odhalovat tím nové možnosti dalšího společenského vývoje.

Na zásadní úlohu vědeckotechnické revoluce v současné době upozornil i XXIV. sjezd KSSS a XIV. sjezd KSČ. Generální tajemník ÚV KSČ např. zdůraznil nezbytnost plného využití vědeckotechnického pokroku, které se stává jedinou možnou alternativou dalšího rozvoje naší socialistické ekonomiky, čímž v podstatě určil místo vědy a techniky v procesu socialistické výstavby v naší zemi; přitom upozornil na to, že další socialistická výstavba není a nebude lehkým ani krátkodobým úkolem. Podle jeho slov bude probíhat celou řadou etap a bude se uskutečňovat

v podmínkách široké integrace vědeckého, technického i hospodářského úsilí všech socialistických zemí v čele se SSSR.

Vědeckotechnická politika našeho i ostatních socialistických států je důsledně orientována na potřeby další socialistické výstavby a mírového budování a má, pokud jde o náklady a výdaje na vědeckotechnický rozvoj, trvalý a vzestupný trend. To, že rozvoj techniky a vědy a aplikace jejich výsledků v praxi jsou jednou z klíčových otázek současného společenského vývoje, potvrzuje i usnesení ze zasedání ÚV KSČ ve dnech 14. a 15. května 1974, které rozpracovalo zásadní koncepce rozvoje národního hospodářství dané XIV. sjezdem do konkrétní podoby, určené současnými podmínkami a potřebami. Zasedání ÚV KSČ zdůraznilo, že vzhledem k tendencím vědeckotechnického rozvoje je třeba především orientovat státní technickou politiku těmito směry: za prvé co nejlépe hospodařit s naším bohatstvím paliv a energie, surovin a půdního fondu a dalšími přírodními zdroji, ale také daleko hospodárněji zhodnocovat suroviny, energii i materiály z dovozu; za druhé dosáhnout přiměřeným vynaložením prostředků výrazných úspor živé práce ve výrobních i nevýrobních činnostech; za třetí plánovitě přetvářet strukturu výrobních sil a efektivněji vynakládat prostředky na výzkum a vývoj, investiční výstavbu, modernizaci a rekonstrukci; za čtvrté rychleji obměňovat sortiment výroby na nejvyšší technické úrovni a zvyšovat jakost vyráběných výrobků; konečně v plném rozsahu využívat předností socialistické ekonomické integrace.

Že se tato usnesení týkají nás všech, můžeme ukázat zcela jednoduše na příkladu, třeba pokud jde o první směr státní technické politiky – všeobecně je známa palivová a energetická krize, k níž došlo ve velké části světa a jejíž dozvuky stále ještě trvají. V tomto ohledu se přímo nabízí využít výsledků vědeckotechnického rozvoje především v oblasti nových hmot a polovodičové techniky, neboť jistě není třeba dokazovat, že používání plastických hmot a polovodičů umožňuje dosáhnout velkých úspor jak energie, tak i surovin. To si můžeme snadno dokázat na příkladu přístroje, který se používá zcela běžně v každé domácnosti – na televizním přijímači. Běžný televizní přijímač má spotřebu elektrické energie asi 200 W. Použije-li se v něm místo elektronky polovodičové prvky, lze dosáhnout úspor ve spotřebě elektrické energie, a to úspor ne právě malých, uvědomíme-li si, že každý večer je v provozu v naší republice kolem 1 000 000 těchto přijímačů. Přitom lze reálně počítat s tím, že televizní přijímače osazené polovodičovými prvky má asi poloviční příkon elektrické energie (i menší). Spočítalo se, že pouhou náhradou starých přístrojů s elektronkami televizními přijímači s polovodiči by bylo možno ušetřit za rok tolik energie, kolik ji vyrobí jedna středně velká elektrárna. Jsou samozřejmě k dispozici i přesná čísla, ale i bez nich je zřejmé, že zavádění nové techniky je nesporným přínosem ke snaze vyrábět a spotřebovávat co nejefektivněji. Polovodičové prvky navíc zvyšují účinnost zařízení, v nichž jsou použí-

vány, tj. zmenšují ztráty energie, umožňují vyšší stupeň automatizace, čímž odstraňují úmornou mechanickou dřinu při výrobě těchto zařízení, zjednodušují obsluhu atd. Kromě toho výrobky s polovodičovými prvky jsou nenáročné na prostor, jsou lehké, lépe se s nimi pracuje, jsou rozměrově malé – v tomto ohledu např. šetří cenné kovy, dřevo a další materiály, neboť je lze umístit do skříní, které jsou co do velikosti nesrovnatelně menší než skříně přístrojů, řešených s tradičními prvky – elektronkami, relé atd.

V souvislosti s vědeckotechnickou revolucí si musíme všimnout ještě jednoho aspektu – vědeckotechnický pokrok je nerozlučně spjat s jakostí, kvalitou. Jakost je vlastně produktem vědeckotechnického pokroku a má-li úsilí o ni kladné výsledky, potom zpětně působí jako hnací síla na jeho další zrychlování (známá zpětná vazba z elektroniky). V opačném případě se stává brzdou technického pokroku. Snaha po co nejlepší jakosti výrobků by měla vycházet z těchto zásad: zlepšování jakosti je nepřetržitým procesem, souvisejícím se zdokonalováním výroby a se soustavným rozvojem výrobních sil a konec konců i se zvyšováním hmotné a kulturní úrovně pracujících; zlepšování jakosti je proces, zaměřený na ustavičné zvětšování užitečnosti výrobku, zlepšování jeho užitkových vlastností, tj. výkonu, spolehlivosti, jednoduchosti obsluhy, vzhledu, rozměrů apod.; zlepšování jakosti výrobků je záležitostí mas pracujících jako výrazu jejich účasti na řízení socialistického hospodářství.

Proces vědeckotechnické revoluce postihuje vlastně všechny oblasti vědy, techniky a výroby a dotýká se celé řady problémů a otázek, z nichž k nejdůležitějším patří kromě uvedených i řídicí činnost, prognózy vývoje atd. Vědeckotechnický rozvoj a vědeckotechnická politika se dotýkají řady dalších zdrojů problémů, jako jsou kulturní a školská politika, sociální politika, ochrana životního prostředí a další, které všechny spolupůsobí na způsob života v socialistické společnosti. Soudobá revoluce ve vědě a technice proniká dnes do všech částí světa, do všech oborů lidského konání. Má povahu komplexního jevu a neobyčejně dynamizuje výrobu a celou společnost. To všechno vyžaduje v celé soustavě řízení našeho národního hospodářství a v životě společnosti důsledně vytvářet vědeckotechnické, ekonomické, celospolečenské a politické podmínky pro tvorbu a využití vědeckotechnického poznání a plodů vědeckotechnické revoluce ke zvýšení efektivnosti naší ekonomiky a jejímu celkovému zintenzivnění, ke zvýšení životní úrovně všeho lidu.

Tento úkol přináší specifické úkoly i odbornému tisku. Nám podle zaměření a obsahu našich časopisů připadá nelehký úkol – především informovat a seznamovat čtenáře odborníky i laiky s novinkami v technice a vědě, s technickými objevy, s pracovními úspěchy našich dělníků a techniků, se sportovními úspěchy reprezentantů Svazarmu; učit základům techniky, učit nově myslet a pracovat s novými součástkami a s novými systémy; přinášet dostatek materiálů, nutících čtenáře k vlastní konstrukční a tvůrčí práci, která by se pak měla projevit zvýšením jejich kvalifikace v nejrůznějších směrech. To vše pak dělat tak, aby čtenář – občan socialistické republiky byl hrdý na svoji vlast a na příslušnost k velkému společenství socialistických států, tvořících tábor míru pod vedením Sovětského svazu.

V našich časopisech, tj. i v této Příloze, dostává čtenář do ruky určité množství faktů, učí se s nimi pracovat, vzdělává se, rozšiřuje si vědomosti i znalosti. Nedílnou součástí naší

práce je i styk s čtenáři; snažíme se proto sladit požadavky čtenářů s naším programem. V této Příloze například uveřejňujeme znovu tři z nejžádanějších konstrukcí minulých let (v kapitole Osvědčená zapojení), aby i ti, kteří neměli možnost obstarat si čísla AR, v nichž byla zapojení původně uveřejněna,

měli možnost seznámit se s dobrými, svým způsobem špičkovými konstrukcemi, které byly ověřeny v praxi. Další články jsou pak vybrány tak, aby byly co nejrovnoměrnejší zastoupeny všechny oblasti elektroniky – ať již jde o teoretické články nebo návody ke stavbě nejrůznějších zařízení.

Závěrem snad již jen přání – doufáme, že si každý vybere z obsahu to, co ho nejvíce zajímá a že mu Příloha bude k užítu jak po chvíli volna, tak k řešení problémů, které má na svém pracovišti. To by bylo pro redakci největším zadostiučiněním.

## Ohlédnutí za úspěchy VHJ TESLA na VI. MVSZ v Brně

Letošní účast na Mezinárodním veletrhu spotřebního zboží v Brně byla pro VHJ TESLA obzvlášť úspěšná. Jako jediná VHJ si odnesla hned tři zlaté medaile. Je to ojedinělý úspěch za celou dobu konání veletrhů. Celkem bylo na VI. MVSZ uděleno 35 medailí, z nichž 21 připadá na ČSSR. Z toho osm medailí udělila komise podnikům VHJ federálního ministerstva všeobecného strojírenství a tři získala VHJ TESLA.

Letošnímu úspěchu předcházela poctivá práce dělníků a techniků ve výzkumné a výrobní základně VHJ TESLA.

Výrobní program spotřební elektroniky netvoří ani polovinu celkového objemu výroby VHJ TESLA. Přesto je věnována tomuto oboru značná pozornost. V návaznosti na rychlé tempo technického rozvoje investiční elektroniky a na dobrou úroveň vlastní součástkové základny se stále zlepšuje jakost, technická dokonalost a estetická úroveň výrobků spotřebního charakteru. Zájem spotřebitelů o spotřební elektroniku se špičkovými parametry stále stoupá. Cílem je uspokojit poptávku po těchto výrobcích v co nejširším sortimentu, a to jak na domácím trhu, tak i v zahraničí.

Společným znakem všech nových výrobků a hlavních sortimentních skupin – rozhlasové přijímače, magnetofony, gramofony a televizní přijímače – je pokroková technologie výroby, využívání moderních polovodičových prvků na bázi křemíku a dobré výtvarné řešení, navrhované průmyslovými výtvarníky. Konstruktoři se snaží splnit i ty nejpřísnější podmínky norem pro věrnou reprodukci.

Letošní úspěch výrobků TESLA na veletrhu je dokladem, že se jim tato práce daří.

Pro informaci čtenářů uvádíme technické popisy výrobků, které získaly zlaté medaile u příležitosti VI. MVSZ v Brně 1975:

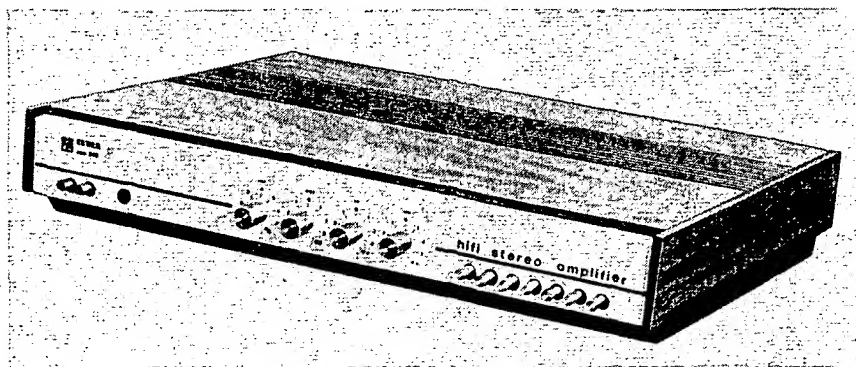
Stereofonní zesilovač TESLA AZS 215 (obr. 1) se řadí technickými parametry k zařízením, která nesou oprávněně označení Hi-Fi. Výstupní výkon  $2 \times 20$  W jej předurčuje k využití pro domácí stereofonní soupravy a klubová zařízení. Vzájemným propojením zesilovače AZS 215 s gramofonem NC 440, tunerem ST 100 a reproduktorovými soustavami ARS 820 vznikne velmi jakostní stereofonní souprava. Zesilovač může zesilovat signály ze čtyř modulačních zdrojů, volených tlačítkovými přepínači. Jako modulační zdroj může být použita magnetická přenoska, krystalová přenoska, magnetofon a tuner. Zesilovač pracuje i jako monofonní. Jednotlivé zesilovací stupně jsou řešeny jako samostatné obvody navzájem propojené kabelovou formou. Pro úpravu kmitočtové charakteristiky je opatřen plynule regulovatelnými korekcemi hloubek a výšek. Dále má zesilovač

filtry pro omezení rušivých signálů z méně kvalitních modulačních zdrojů. Koncový výkonový stupeň je řešen pro zátěž  $2 \times 4 \Omega$  a má jmenovitý sinusový výkon  $2 \times 15$  W, hudební  $2 \times 20$  W. Na výstup zesilovače lze připojit stereofonní sluchátka o impedanci  $2 \times 75 \Omega$ . Koncový stupeň je chráněn proti zkratu na výstupu napětovou a výkonovou ochranou. Zesilovač je osazen křemíkovými tranzistory.

Moderní stereofonní souprava NZC 143 (obr. 2) v dýhované dřevině s průhledným krytem je osazena gramofonovým šasi HC 14.20 s velkým talířem a kovovým ramén-

kem s magnetodynamickou vložkou. Poloautomatický zvedáček zvedne po samočinném vypnutí přístroje přenosku nad úroveň desky. Vestavěný tranzistorový stereofonní zesilovač je vybaven šumovým a hlukovým filtrem ovládaným tlačítky, oddělenými korekcemi hloubek a výšek, stereováhou, regulátorem hlasitosti a elektronickou pojistkou proti přetížení. K zesilovači je možno připojit magnetofon, tuner a sluchátka.

Stereofonní přijímač TESLA 813 A (obr. 3) splňuje svými parametry náročné požadavky kladné na reprodukční zařízení oprávněná nést označení Hi-Fi.



Obr. 1.

### Technické údaje (obr. 1)

<b>Napájecí napětí:</b>	120/220 V (50 Hz).
<b>Příkon:</b>	80 W $\pm 10$ % (při vybuzení na jmenovitý výstupní výkon obou kanálů a při kmitočtu 1 kHz).
<b>Výstupní výkon</b>	
a) jmenovitý:	$2 \times 15$ W,
b) hudební:	$2 \times 20$ W.
<b>Vstupní napětí a impedance</b>	
a) magnetická přenoska:	max. 5 mV/47 k $\Omega$ ,
b) krystalová přenoska:	max. 250 mV/500 k $\Omega$ ,
c) magnetofon:	max. 200 mV/500 k $\Omega$ ,
d) stereofonní tuner:	max. 200 mV/500 k $\Omega$ .
<b>Kmitočtová charakteristika:</b>	20 až 20 000 Hz (toleranční pole 4 dB).

### Tónové korekce a filtry:

- a) při 40 Hz: +17 dB  $\pm 2$  dB, -18 dB  $\pm 2$  dB (regulátor výšek v poloze „0“);
- b) při 16 kHz: +17 dB  $\pm 2$  dB, -18 dB  $\pm 2$  dB (regulátor hloubek v poloze „0“);
- c) filtr pro hluk: při 40 Hz 10 dB  $\pm 2$  dB, sklon -6 dB/okt.;
- d) filtr pro šum: při 16 kHz 10 dB  $\pm 2$  dB, sklon -6 dB/okt.

### Maximální vstupní napětí:

zesilovač je schopen zpracovat signály:

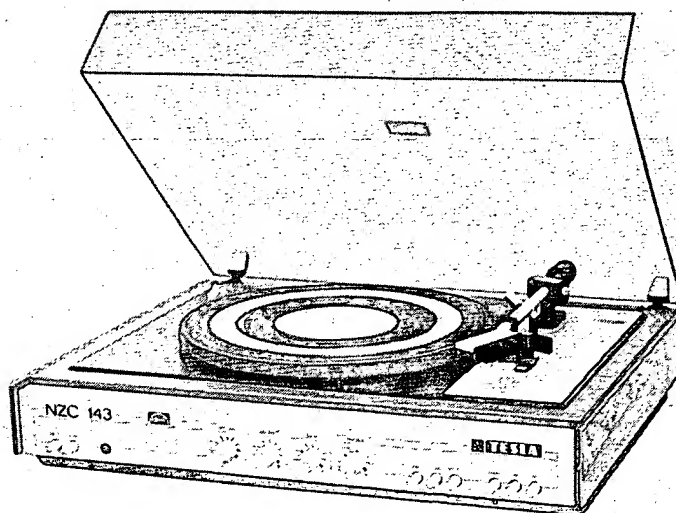
- a) magnetické přenosky: 25 mV,
- b) krystalové přenosky: 1,25 V,
- c) tuneru: 1 V,
- d) magnetofonu: 1 V.

Rozměry: 460  $\times$  385  $\times$  80 mm.  
Hmotnost: asi 7 kg.

Citlivý vstupní díl VKV umožňuje příjem monofonních i stereofonních pořadů v pásmech OIRT i CCIR. Pro vyhledávání stanic slouží buď ruční ladění nebo elektronicky laděná tlačítková převodka čtyř vysílačů. Stanice, která vysílá stereofonní program, je indikována při naladění indikátorem stereo. Stereodekodér je spínán automaticky. Přijímač je vybaven výkonným stereofonním zesilovačem s výstupním jmenovitým výkonem  $2 \times 15$  W. Zesilovač je možno využít pro připojení gramofonu s krystalovou nebo magnetodynamickou vložkou, magnetofonu a stereofonních sluchátek. K vybavení přijímače patří dále AFC (vyrovnávání kmitočtového posuvu na VKV), šumový filtr a tlačítko pro přepínání dálkového a místního příjmu. Správnost vyladění je možno kontrolovat na ručkových indikátorech. Skříň přijímače je vyráběna v pastelových barvách.

Kromě výrobků, které získaly u příležitosti veletrhu zlaté medaile, byla vystavena celá řada novinek, z nichž jsme pro vás vybrali kvadrofonní zařízení NZQ 130 pro domácnost (obr. 4); je určeno k přehrávání kvadrofonních desek systému SQ. Kovové trubkové přenoskové raménko má magnetodynamický snímací systém s půlpalcovým uchycením. Kvadrofonní zesilovač s dekodérem SQ je vybaven předozadní logikou. Regulátor hlasitosti, plynule laditelné korekce a vyvážení jednotlivých kanálů je ovládáno tahovými potenciometry.

Zařízení umožňuje stereofonní reprodukci stereofonních a monofonních desek; tyto desky lze reprodukovat i pseudokvadrofonně. Ve spojení s vhodným magnetofonem a tunerem je možné reprodukovat kvadrofonně záznam z magnetofonových pásek nebo vysílání rozhlasu v kvadrofonním systému SQ. K přístroji lze připojit stereofonní sluchátka.



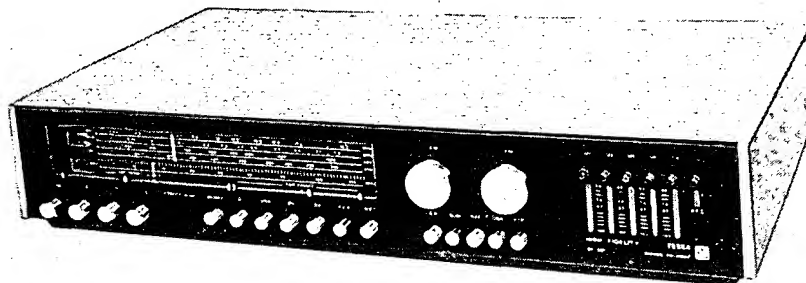
Obr. 2.

#### Technické údaje (obr. 2)

<b>Napájecí napětí:</b>	120/220 V (50 Hz).	<b>Vstupy:</b>	
<b>Příkon:</b>	95 VA.	<b>tuner:</b>	200 mV/0,5 MΩ,
<b>Rychlost otáčení</b>		<b>magnetofon:</b>	200 mV/0,5 MΩ,
<b>talíře:</b>	45; 33; 16 ot/min.	<b>přenoska piezoelek-</b>	
<b>Kolisání:</b>	lepší než 0,25 %.	<b>trická:</b>	350 mV/1 MΩ,
<b>Snímací systém:</b>	magnetodynam. vložka VM 2101.	<b>přenoska magne-</b>	
<b>Jmenovitý výkon:</b>	$2 \times 15$ W.	<b>todynamická:</b>	5 mV/50 kΩ.
<b>Hudební výkon:</b>	$2 \times 20$ W.	<b>Výstupy:</b>	
<b>Zkreslení:</b>	maximálně 0,5 %.	<b>reproduktory:</b>	$2 \times 4 \Omega$ ,
<b>Kmitočtová char.</b>		<b>stereosluchátka:</b>	$2 \times 75 \Omega$ ,
<b>zesilovače:</b>	20 až 20 000 Hz.	<b>magnetofon:</b>	0,6 mV/kΩ.
<b>Odstup:</b>	65 dB.	<b>Rozměry:</b>	450 × 370 × 160 mm.,
		<b>Hmotnost:</b>	asi 11 kg.

#### Technické údaje (obr. 3)

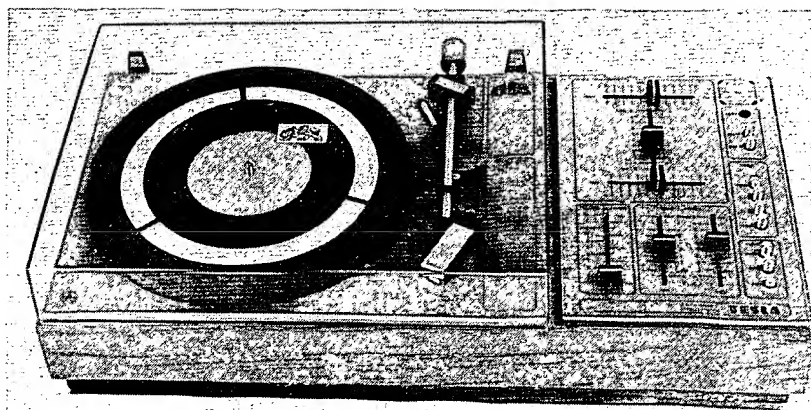
<b>Vlnové rozsahy:</b>	DV; SV; KV I; KV II; VKV OIRT – CCIR.
<b>Osazení:</b>	48 tranzistorů; 39 diod.
<b>Jmenovitý výstupní výkon:</b>	$2 \times 15$ W/8 Ω.
<b>Hudební výstupní výkon:</b>	$2 \times 22$ W/8 Ω.
<b>Příkon:</b>	75 W.
<b>Rozměry:</b>	544 × 90 × 298 mm.
<b>Hmotnost:</b>	asi 8 kg.



Obr. 3.

#### Technické údaje (obr. 4)

<b>Napájecí napětí:</b>	120/220 V (50 Hz).
<b>Příkon:</b>	70 VA.
<b>Rychlost otáčení</b>	
<b>talíře:</b>	45; 33 ot/min.
<b>Snímací systém:</b>	magnetodynamický.
<b>Svislá síla na hrot:</b>	2 až 2,5 p.
<b>Souhrnný jmenovitý výkon:</b>	20 W.
<b>Souhrnný hudební výkon:</b>	35 W.
<b>Přeslechy mezi před-</b>	
<b>ními kanály:</b>	min. 25 dB.
<b>Přeslechy mezi zad-</b>	
<b>ními kanály:</b>	min. 15 dB.
<b>Přeslechy zpredu</b>	
<b>dozadu:</b>	min. 10 dB.
<b>Impedance repro-</b>	
<b>duktorů:</b>	$4 \times 4 \Omega$ .
<b>Rozměry:</b>	584 × 302 × 160 mm.
<b>Hmotnost:</b>	asi 10 kg.



Obr. 4.

# Nabíječky, zdroje, stabilizátory

## ždroj 2 až 20 V

Ing. Jiří Tanístra

S lineárním integrovaným obvodem MAA723 lze realizovat stabilizátor napětí s velmi dobrými parametry. Integrovaný obvod MAA723 obsahuje teplotně kompenzovaný zdroj referenčního napětí v rozmezí 6,95 až 7,35 V, zesilovač regulační odchylky, regulovaný koncový tranzistor a obvod omezení výstupního proudu. Mezi výborné vlastnosti obvodu, jako je přesnost regulace, stálost výstupního napětí, značné potlačení zvlnění napájecího napětí a minimální teplotní drift stabilizovaného napětí, patří také možnost nastavit výstupní stabilizované napětí v rozmezí 2 až 37 V. Vstupní napájecí napětí může dosahovat až 40 V. K dosažení nejmenších změn výstupního napětí je vhodné, aby rozdíl vstupního a výstupního napětí byl 10 až 30 V. Při jiném rozdílu těchto napětí se zhoršují regulační vlastnosti. Největší přípustný výstupní proud integrovaného obvodu je 150 mA. Dovolená výkonová ztráta obvodu závisí značně na teplotě; při 25 °C je  $P_{\max} = 800$  mW, při 125 °C se zmenší dovolená ztráta až na 120 mW. Pro větší výstupní proud je nutno použít vnější tranzistory; výstupní proud a přenášený výkon je pak omezen jen přípustným proudem a výkonovou ztrátou těchto tranzistorů. Jako výkonové tranzistory je výhodnější použít typy řady KD než typy řady KU (řada KD je odolnější proti druhému průrazu).

Stabilizátor dosahuje výborných vlastností především díky dobrému zdroji referenčního napětí. V rozmezí teplot 25° až 125 °C je odchylka jeho napětí pouze 10 mV. Zdroj referenčního napětí lze zatížit proudem až 15 mA; vhodnější je však zatížení proudem menším. Z tohoto interního zdroje můžeme získat menší referenční napětí odporovými děliči nebo větší napětí pomocí operačního zesilovače MAA502. Použití operačního zesilovače umožní také případnou inverzi referenčního napětí.

Existuje celá řada různých typů stabilizátorů s MAA723. Základní zapojení stabilizátoru pro 2 až 7 V je na obr. 1. Odporový dělič

$R_1$ ,  $R_2$  jsou voleny tak, aby proud děliče byl 1 mA. Pro výstupní napětí  $U_2$  platí vztah

$$U_2 = U_R \frac{R_1 + R_2}{R_2};$$

$U_R$  je napětí referenčního zdroje.

Chceme-li dosáhnout minimálního teplotního driftu  $U_2$ , volíme odpor  $R_3$  podle vztahu

$$R_3 = \frac{R_1 \cdot R_2}{R_1 + R_2}.$$

Při menších nárocích lze odpor  $R_3$  vynechat ( $R_3 = 0$ ). Stabilizátor je proti zkratu na výstupu chráněn omezovacím odporem  $R_0$  a jedním z tranzistorů integrovaného obvodu. Odpor  $R_0$  určuje ze vztahu

$$R_0 = \frac{U_0}{I_{\lim}},$$

kde  $U_0 = 0,65$  V a  $I_{\lim}$  je proud, při němž se začíná omezovat výstupní proud. Odpor  $R_0$  lze v případě potřeby vynechat ( $R_0 = 0$ ). Stabilizátor má tyto vlastnosti: je-li výstupní napětí  $U_2$  nastaveno na 5 V, změní se o 1 mV, změní-li se vstupní napětí  $U_1$  o 3 V. Při změně zatěžovacího proudu o 50 mA se výstupní napětí změní o 2 mV.

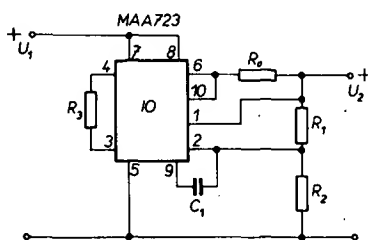
Zapojení stabilizátoru pro výstupní napětí 7 až 37 V je na obr. 2. Nastavené výstupní

napětí je větší než referenční napětí, proto je zmenšeno pomocí děliče  $R_1$ ,  $R_2$ . Pro výstupní napětí platí

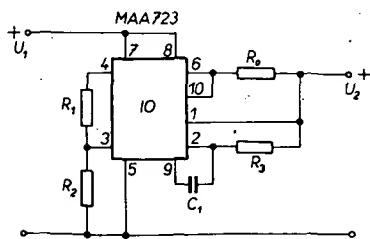
$$U_2 = U_R \frac{R_1 + R_2}{R_2}.$$

Odpory děliče jsou většinou mimo vyráběné řady, proto je možno jejich část nahradit jakostním proměnným odporem. Pro odpor  $R_3$  platí stejný vztah jako v zapojení podle obr. 1. Při méně náročném zapojení lze opět odpor  $R_3$  vynechat ( $R_3 = 0$ ). Kondenzátor  $C_1$  (100 pF) slouží ke kmitočtové kompenzaci. U tohoto stabilizátoru (je-li výstupní napětí nastaveno na 15 V) se při změně vstupního napětí o 3 V změní výstupní napětí o 2 mV a při změně výstupního proudu o 50 mA se výstupní napětí změní o 4 mV.

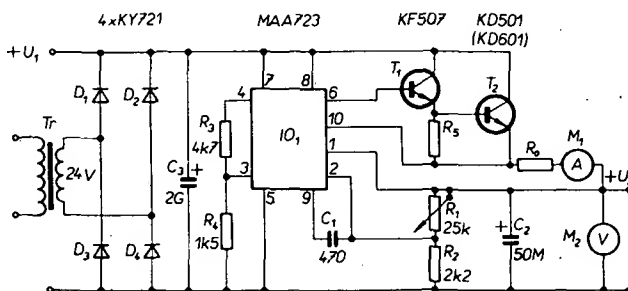
S IO MAA723 lze také sestavit jakostní regulovatelný stabilizátor s výstupním napětím 2 až 20 V a zatěžovacím proudem až 1 A. Vnitřní odpor tohoto stabilizátoru (obr. 3) je při  $U_2 = 15$  V 20 mΩ, zvlnění napětí  $U_2$  při zatěžovacím proudu 1 A je 2,5 mV. Změny výstupního napětí dosahujeme změnou odporu  $R_1$ . Napětí na sekundárním vinutí transformátoru napájecího uvedený stabilizátor je 24 V. Chlazení výkonového tranzistoru  $T_2$  musí být dimenzováno na maximální kolektorovou ztrátu vznikající při minimálním výstupním napětí a maximálním odebíraném proudu. Tuto ztrátu by bylo možno omezit zmenšením vstupního napětí použitím odbočky na sekundárním vinutí síťového transformátoru. Vnitřní odpor stabilizátoru může být ovlivněn i konstrukcí stabilizátoru. Při zapojování obvodů, jimiž protéká velký proud, je nutno použít vodiče s dostatečným průřezem a minimální délkou. Zvlášť důležitý je krátký přívod od diod usměrňovače k filtračnímu kondenzátoru. Nevhodným zemněním (dlouhé spoje) se může zvětšit vnitřní odpor a zmenšit stabilita zapojení. Omezovací odpor  $R_0$  je z manganinového drátu; do odporu, vypočteného pro  $I_{\lim}$ , musíme zahrnout i vnitřní odpor ampérmetru. Výrobce IO n. p. TESLA Rožnov vyrábí také typ MAA723H, jenž má menší potlačení zvlnění a větší teplotní drift interního zdroje referenčního napětí. Na obr. 4 je rozmístění součástek popisovaného stabilizátoru na desce s plošnými spoji. Potenciometr  $R_1$ , výkonový tranzistor  $T_2$ , filtrační kondenzátor  $C_3$ , ampérmetr, voltmetr a transformátor  $Tr$  jsou umístěny mimo desku s plošnými spoji.  $Tr$  je opatřen chladičem.



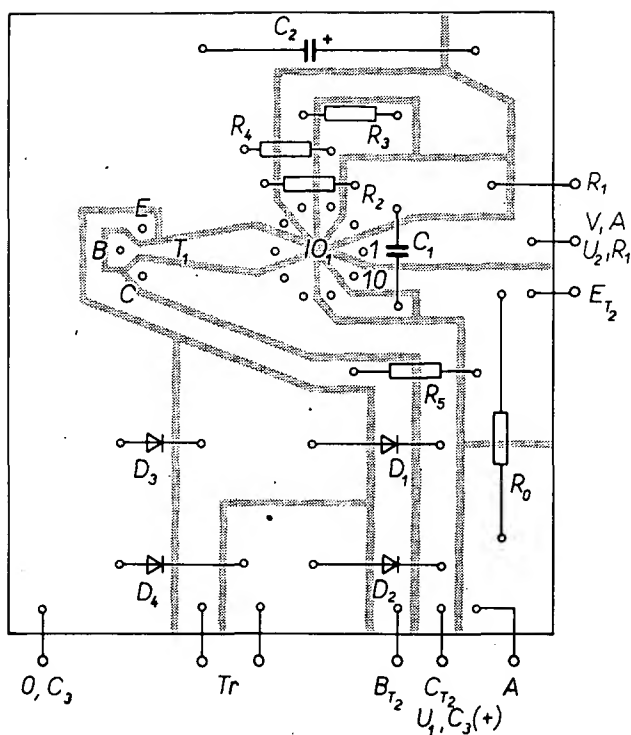
Obr. 2. Zapojení stabilizátoru pro napětí 7 až 37 V



Obr. 1. Zapojení stabilizátoru pro napětí 2 až 7 V



Obr. 3. Zapojení regulovatelného stabilizovaného zdroje s výstupním napětím 2 až 20 V a proudem do 1 A (odpor  $R_5$  se volí asi 220 Ω)



Obr. 4. Deska s plošnými spoji J 501 zdroje podle obr. 3

# Malý zdroj stabilizovaného napětí

Ing. J. Šlámček

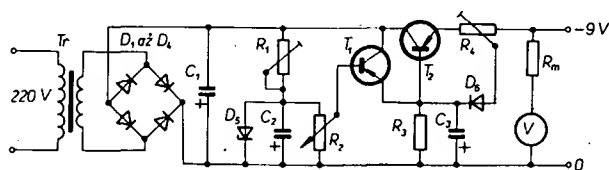
Zdroj vznikl v době častého nedostatku baterií na našem trhu. Jeho jednoduchost a láce je dána využitím domácích zásob součástek amatéra. Je vhodný pro jednoduché laboratorní práce, zejména pro začínající amatéry. Pracnost konstrukce je minimální a seřízení spočívá pouze v nastavení proudu Zenerovou diodou. Parametry zdroje můžeme do jisté míry měnit volbou Zenerovy diody, použitím víceúrovňového zesilovače, popř. použitím tranzistorů s větší kolektorovou ztrátou a s větším zesilovacím činitelem.

## Elektronická část

Zapojení zdroje je na obr. 1. Potřebné napětí získáme síťovým transformátorem (podrobný popis vinutí je uveden v konstrukční části). Ve snaze o nejjednodušší konstrukci je použito jen jedno sekundární vinutí a napětí pro referenční obvod se odebírá přímo z napětí pro vlastní zdroj. Transformované napětí usměrníme klasickým můstkovým usměrňovačem. Usměrněné pulzující napětí vyhladíme filtračním kondenzátorem, jehož kapacita má být co největší. Pro popisovaný zdroj jsem využil domácích zásob součástek a proto jsem zapojil

## Technické údaje

Napětí:	0 až 9 V
Proud:	0 až 300 (až 500) mA
Zvlnění výstupního napětí:	asi 35 mV
Vnitřní odpor:	asi 1 $\Omega$
Osazení:	4 $\times$ 42NP75, 3NP70, (32NP75), 5NZ70, GC500 (501,502), OC30



Obr. 1. Schéma zdroje stabilizovaného napětí

několik kondenzátorů paralelně s výslednou kapacitou 700  $\mu$ F. Napětí se reguluje tranzistorem, zapojeným jako proměnný odpor. Přivedeme-li na bázi řídicího tranzistoru určité napětí, otevíráme jej více nebo méně podle toho, jak velké je přivedené napětí. Výstupní napětí zdroje je dáno rozdílem napětí na usměrňovači a úbytku napětí na řídicím tranzistoru. Výkonová ztráta na tranzistoru je určena napětovým úbytkem na tomto tranzistoru a protékajícím proudem. Nejnejpříznivější poměry nastanou při nejmenším výstupním napětí a při jmenovitém proudu. Zdroj referenčního napětí je obvod se Zenerovou diodou  $D_3$ . Odporovým trimrem  $R_1$  nastavíme proud diodou tak, aby její pracovní bod byl ve svislé části její charakteristiky. Velikost proudu (vzhledem k tomu, že pracujeme s prakticky konstantní zátěží) postačí asi 10 až 15 mA (obr. 2). Pracovní odpor diody (regulační potenciometr) volíme v rozmezí 1 až 4 k $\Omega$ . Při větším odporu je regulace v oblasti nižšího napětí velmi hrubá, při menším odporu by byl odběr proudu pro referenční obvod zbytečně velký, což je nežádoucí. Kapacita kondenzátoru  $C_2$  není kritická.

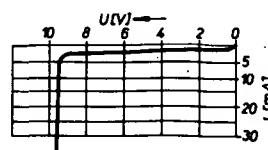
Stabilizační účinek zdroje je dán zesílením tranzistorů. Zvětší-li se napětí na sekundárním vinutí a na filtračním kondenzátoru  $C_1$ , zvětšuje se proud tekoucí tranzistorem  $T_2$ . Odpor přechodu  $T_2$  je dán volbou výstupního napětí. Na  $T_2$  se zvětší úbytek napětí a výsledné svorkové napětí zůstává stejné. Zmenší-li se síťové napětí, je děj opačný. Zvětšujeme-li zesilovací činitel tranzistorů, můžeme vyrovnávat stále menší odchylky napětí od jmenovité hodnoty. Pracovní bod tranzistoru  $T_2$  je nastaven odporem  $R_3$ .

Při práci se zdrojem může z různých příčin dojít ke zkratu výstupních svorek. Proto je vhodné zabezpečit polovodičové prvky, zejména diody  $D_1$  až  $D_4$  a tranzistor  $T_2$ , jednoduchým ochranným obvodem. Při zkratu vytváří zvětšený proud na odporu  $R_4$  úbytek napětí, kterým se otevře dioda  $D_6$  (0,1 až 0,3 V) a toto napětí uzavře tranzistor  $T_2$ . Na výstupu je tedy téměř nulové napětí. Po odstranění zkratu se automaticky pojistka vypíná. Velikost proudu, při němž dojde k „vypnutí“ zdroje, je dána polohou odbočky na odporu  $R_4$ , na němž musí vzniknout příslušný úbytek napětí, který otevře diodu. Odpor má být co nejmenší, aby se zbytečně nezvětšoval vnitřní odpor zdroje. Vhodná hodnota je do 1  $\Omega$ .

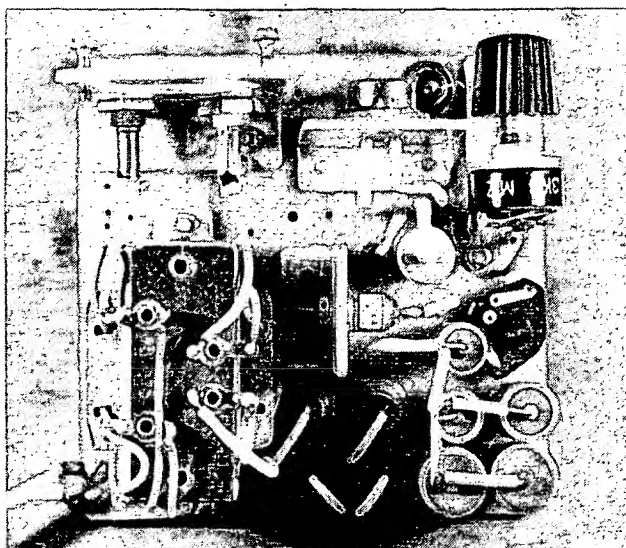
## Konstrukční část

Koncepce zdroje vychází z montáže elektronické části na desce s plošnými spoji. Té je přizpůsobena i konstrukce zdroje (rozmístění součástek, použité součástky a chlazení tranzistoru a diody). Zenerovu diodu není nutné chladit, přesto je upevněna na malém chladičím křídélku pro případ havarijní situace. Chlazení tranzistoru je nutné. Chladičí křídélka jsou ve svislé poloze pro lepší cirkulaci vzduchu.

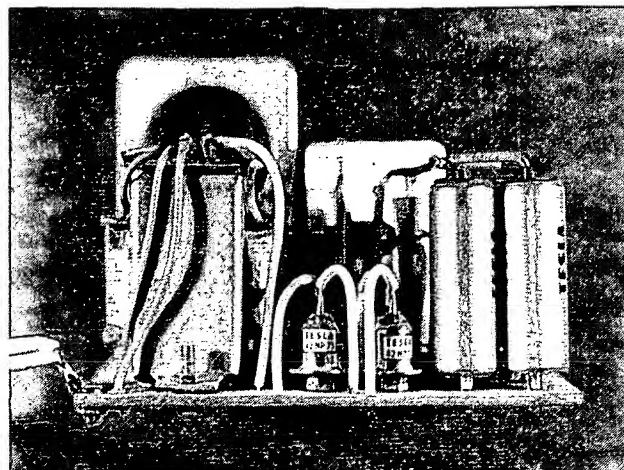
Síťový transformátor  $Tr$  je převinutý výstupní transformátor VT34. Primární vinutí



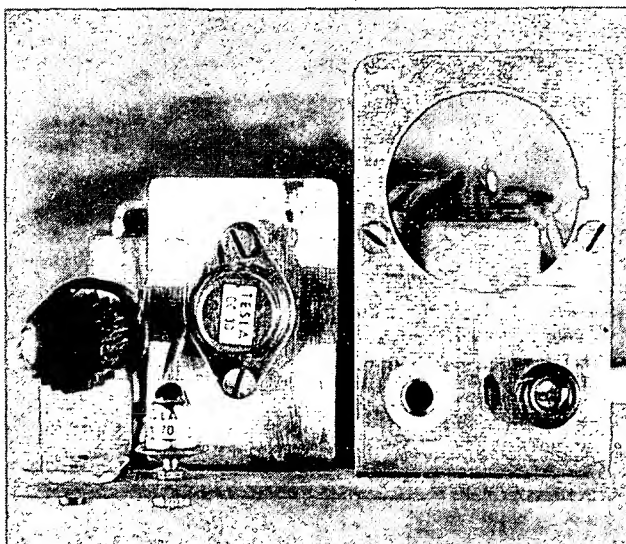
Obr. 2. Charakteristika Zenerovy diody 5NZ70



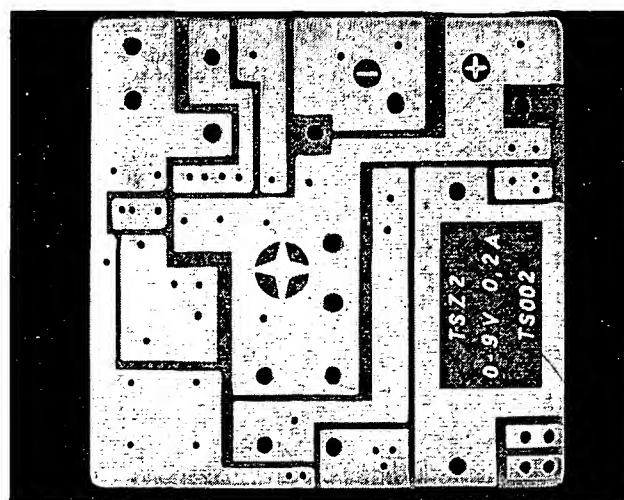
Obr. 3. Rozmístění součástek (shora)



Obr. 5. Rozmístění součástek (zezadu)



Obr. 4. Upevnění potenciometru, voltmetru, výstupních zdírek a tranzistoru  $T_2$



Obr. 6. Hotová deska s plošnými spoji

má 2 620 z drátu CuL o  $\varnothing$  0,11 mm, sekundární vinutí má 140 z drátu CuL o  $\varnothing$  0,4 mm. V okénku je velmi málo místa, a proto bylo jak primární, tak i sekundární vinutí vinuto bez prokladů, pouze mezi primárním a sekundárním vinutím je jedna vrstva prokladového papíru. Doporučuji navíjet transformátor nepoužitým drátem, neboť je větší záruka, že izolace drátu je v pořádku.

Chladicí křídélka stejně jako držák potenciometru a indikátoru jsou z hliníkového plechu tloušťky 2 mm. Rozměry si každý navrhne podle své potřeby a podle použitých součástek. Rozmístění je vidět z fotografií (obr. 3 až 5). Plošné spoje (obr. 6, 7) byly zhotoveny běžným způsobem (překopírováním na odmaštěnou destičku, obtažením spojů barevným acetonovým lakem, odleptáním a odstraněním vrstvy laku). Čistou desku natřeme ochranným roztokem kalafuny v lihu. Zabrání se tím korozi měděné fólie a usnadní pájení.

Změřené zatěžovací charakteristiky zdroje pro tři nastavená výstupní napětí jsou v obr. 8, naměřené hodnoty v tab. 1.

Tab. 1. Napětí naměřené na výstupu zdroje při různých odebíraných proudech

Proud [mA]	Napětí [V]	Zvlnění [mV]	Napětí [V]	Zvlnění [mV]	Napětí [V]	Zvlnění [mV]
0	3	1	6	2	9	4
40	2,81	5	5,86	5	9,00	10
60	2,78	5	5,82	5	8,95	10
80	2,75	7	5,80	10	8,91	10
100	2,71	7	5,77	10	8,90	15
140	2,68	10	5,74	10	8,85	15
180	2,61	10	5,70	11	8,80	20
200	2,60	10	5,68	12	8,80	20
220	2,58	10	5,64	12	8,80	22,5
240	2,55	10	5,61	15	8,80	23
260	2,53	10	5,60	15	8,80	30
280	2,50	10	5,55	15	8,75	30
300	2,48	10	5,53	18	8,75	35
350	2,41	13	5,45	24	8,69	63
400	2,37	15	5,32	30	8,42	75
450	2,21	16	5,18	32	7,95	95
500	2,03	18	4,80	38	7,50	110

## Použité součástky

### Kondenzátory

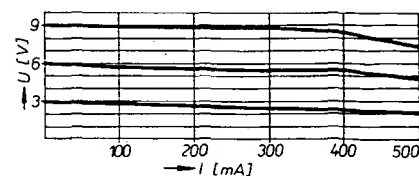
$C_1$  700  $\mu$ F/20 V  
 $C_2$  50 až 100  $\mu$ F/10 V  
 $C_3$  100  $\mu$ F/12 V

### Odpor

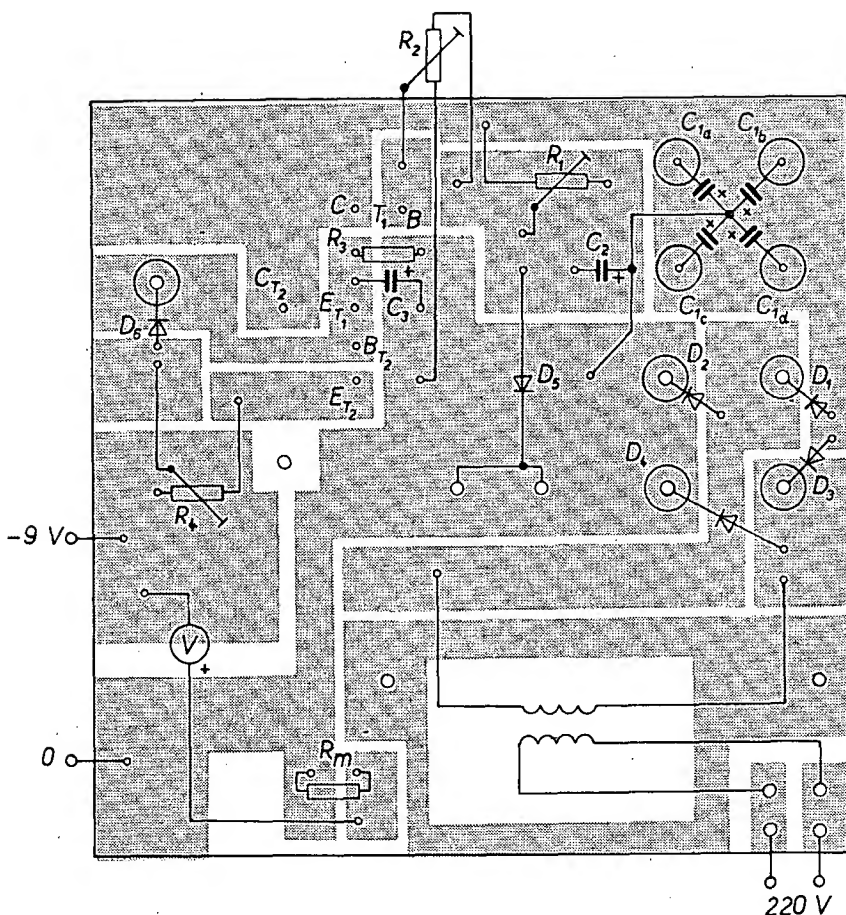
$R_1$  trimr 1 k $\Omega$   
 $R_2$  potenciometr 3,3 k $\Omega$   
 $R_3$  1,8 k $\Omega$   
 $R_4$  odporový drát s odbočkou 1  $\Omega$

### Ostatní součástky

$D_1$  až  $D_4$  42NP75  
 $D_5$  5NZ70  
 $D_6$  3NP70  
 $T_1$  GC500  
 $T_2$  OC30



Obr. 8. Zatěžovací charakteristiky zdroje



Obr. 7. Rozmístění součástek na desce s plošnými spoji J 502

# Dva moderní zdroje s MAA 723

Ing. Jiří Hanzlík

## Sériový regulátor kladného napětí s ochranou proti tepelnému přetížení

U nejnovějších provedení monolitických regulátorů napětí je kromě běžných způsobů ochrany regulátoru proti zničení vlivem vstupního napětí opačné polarity (paralelně k vstupu regulátoru se připojuje výkonová dioda, která zkratuje opačně pólované vstupní napětí a zvětšeným proudem se spálí tepelná pojistka), nebo proti zničení nadměrným výstupním proudem (zavedeno proudové omezení výstupního proudu) používá ještě dalšího způsobu ochrany, a to proti výkonovému (tepelnému) přetížení regulátoru. Vlivem výkonové ztráty na regulátoru dochází k ohřívání struktury monolitického obvodu. Výkonová ztráta je z větší části dána součinem napětí na sériovém výstupním tranzistoru a výstupního proudu. Tato ztráta je největší, dojde-li k omezení výstupního

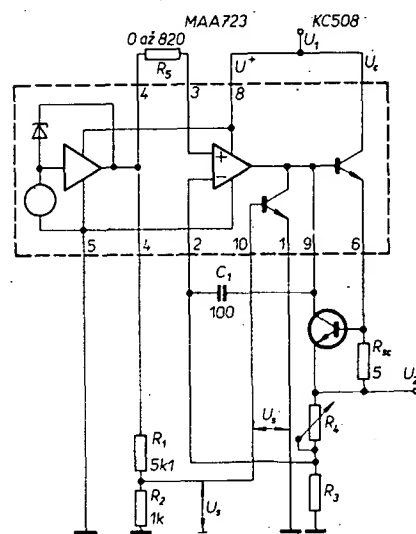
proudu při zkratu na výstupu. Pak je na tomto tranzistoru plné výstupní napětí a protéká přes něj nastavený mezní výstupní proud. Regulátor je většinou vestavěn uvnitř přístroje, kde nelze zajistit dostatečné chlazení, a proto tam může vystoupit teplota nad úroveň teploty okolí. Při menším rozdílu teplot na monolitickém obvodu a jeho okolí se zhoršuje odvod tepla z obvodu. Proto výrobce uvádí, že při větších teplotách se zmenšuje i povolená výkonová ztráta obvodu. V takovém případě smíme obvod výkonově zatěžovat podstatně méně, než by přímo vyplývalo z mezních hodnot výstupního proudu a napětí na výstupním tranzistoru.

Podstatně účinněji můžeme obvod výkonově využít, bude-li opatřen ochranou proti tepelnému přetížení (tato ochrana zahrnuje jak oteplení vlivem vlastní výkonové ztráty obvodu, tak vliv teploty okolního prostředí). Tento způsob ochrany se používá u nejnověj-

ších zapojení monolitických regulátorů napětí (např. regulátor typu LM 109 firmy National pro stálé výstupní napětí 5 V a proud 1 A). V zásadě je možno použít tento způsob ochrany i u regulátorů s obvodem MAA 723. Jako čidlo teploty struktury obvodu lze použít vestavěný tranzistor, jehož napětí potřebné pro otevření emitorového přechodu má záporný teplotní koeficient asi  $-1,8 \text{ mV}/^\circ\text{C}$ .

Na základě tohoto poznatku je navrženo zapojení sériového regulátoru kladného napětí na obr. 1. Záměrně je zde uvedeno nejen provedení vnější (diskrétní) části regulátoru, ale i blokové zapojení monolitického obvodu. Na zdroj referenčního napětí je přes odpor připojen neinverující vstup zesilovače odchylky. Zpětná vazba je vedena z odporového děliče na výstupu do inverujícího vstupu. Z odporu  $R_{ec}$  se tranzistorem KC 508 snímá úbytek napětí, úměrný výstupnímu proudu. Při otevření tohoto tranzistoru se uzavřou budící a výstupní tranzistory regulátoru a výstupní napětí klesne na velikost, při níž se udrží nastavená hodnota proudového omezení. Až potom se jedná o běžnou činnost regulátoru. Při dané hodnotě odporu  $R_{ec}$  se výstupní proud omezuje asi na 130 mA, tedy o něco méně, než je mezní proud (150 mA).

Vestavěný tranzistor, sloužící jako čidlo teploty křemíkové destičky, je svým emitorovým přechodem připojen (v propustném směru) na část napětí ze zdroje referenčního napětí. Podle toho, jak velkou část tohoto napětí nastavíme (děličem z odporů  $R_1$  a  $R_2$ ), volíme povolenou horní mez teploty křemíkové destičky. Tím si můžeme předem nastavit i výkonovou využitelnost regulátoru. Při ohřívání destičky se zmenšuje napětí potřebné na emitorovém přechodu tranzistoru pro jeho otevření. Klesne-li toto napětí na určitou velikost (napětí na  $R_2$ ), otevře se vestavěný tranzistor a začne se omezovat výstupní napětí (regulátor se uzavírá). Přenos tepla z výstupního tranzistoru k tranzistoru, který se využívá jako čidlo, je prakticky okamžitý (časová konstanta pod milisekundu) a proto je teplotní rozdíl mezi těmito tranzistory nepatrný. Tento způsob ochrany je velmi spolehlivý a účinný.



Obr. 1. Zapojení regulátoru napětí s ochranou (odpory  $R_3$  a  $R_4$  volíme podle žádaného napětí, přičemž  $R_3 + R_4$  je asi  $10 \text{ k}\Omega$ )

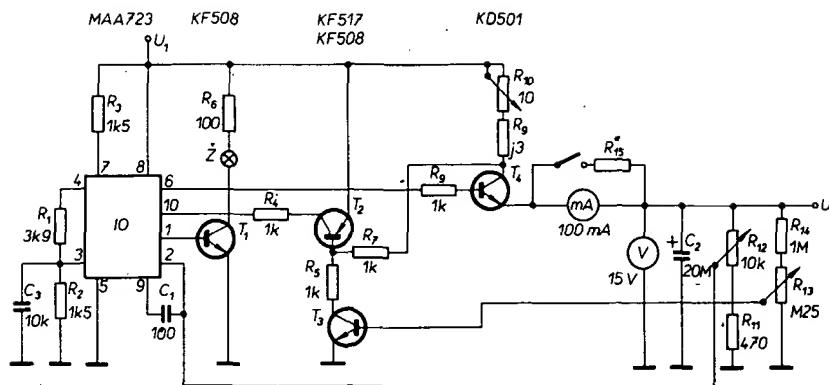
Účinek tepelné ochrany regulátoru je zřejmý z obr. 2, v němž jsou výsledky měření závislosti výstupního proudu na rozdílu napětí mezi vstupem a výstupem regulátoru při různých nastaveních mezních teplotách křemíkové struktury monolitického obvodu ( $150^\circ\text{C}$ , napětí 450 mV;  $125^\circ\text{C}$ , napětí 485 mV;  $100^\circ\text{C}$ , napětí 535 mV). Čárkované části křivek platí pro napětí  $U^* = 10\text{ V}$ , plné čáry platí pro napětí  $U^* = U_c$ . Je-li pracovní bod regulátoru v části plochy ohraničené souřadnicemi a některou zvolenou závislostí, je zaručena jeho bezpečná funkce, neboť teplota monolitického obvodu nepřekročí zvolenou mez (podle uvažované křivky).

### Sériový stabilizátor kladného napětí s nastavitelným omezením výstupního proudu (napětí)

U regulátoru pro větší proudové zatížení je možno uspořádat obvod pro proudové omezení společně s obvodem pro nastavitelné omezení výstupního napětí. Příklad zapojení takto řešeného regulátoru je na obr. 3. Regulátor je navržen pro nastavitelné výstupní napětí v rozmezí 2 až 18 V a pro nastavitelné omezení výstupního proudu a nastavitelnou mez výstupního napětí.

Monolitický regulátor je zapojen běžným způsobem. Napětí pro neinvertující vstup (vývod 3) se získává (pomocí děliče z odporů  $R_1$  a  $R_2$ ) z referenčního napětí. Invertující vstup (vývod 2) diferenciálního zesilovače regulační odchylky je připojen na běžec potenciometru  $R_{12}$ . Tento potenciometr je zařazen paralelně k výstupu. Regulační činnost je založena na tom, že v ustáleném stavu je rozdíl napětí mezi oběma vstupy zesilovače prakticky roven nule. Proto se při změně polohy běžce potenciometru  $R_{12}$  vlivem záporné zpětné vazby mění výstupní napětí tak, aby byla zachována tato podmínka. Neobvyklým způsobem je uspořádán obvod pro automatické omezení výstupního proudu. Mezi kolektorem sériově zapojeného regulovaného výstupního tranzistoru  $T_4$  a přívod vstupního napětí je zapojen proměnný odpor  $R_{10}$  a pevný odpor  $R_6$ . Úbytkem napětí na těchto odporech, úměrným výstupnímu proudu, se řídí tranzistor  $T_2$ . Dosáhne-li tento úbytek 0,65 V, tranzistor  $T_2$  se plně otevře. Tím se vytvoří podmínky pro otevření vestavěného omezovacího tranzistoru (báze – vývod 10, emitor – 1) a pro otevření tranzistoru  $T_1$ , který má v obvodu kolektoru zapojenou žárovku  $Z$  pro signalizaci omezení výstupního proudu.

Další novinkou u regulátoru je možnost nastavit horní mez regulovatelného napětí. Při práci s regulátorem můžeme potenciometrem  $R_{13}$  nastavit horní mez potřebného



Obr. 3. Zapojení regulátoru napětí s nastavitelným omezením

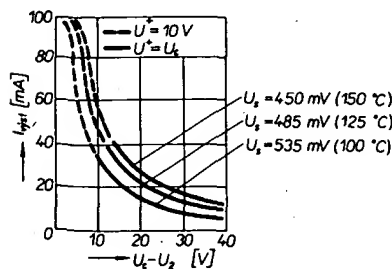
výstupního napětí, při kterém ještě není ohrožen napájecí obvod nebo napájené zařízení. Tento potenciometr je možno opatřit stupnicí, na které je vyznačena dosažitelná mez výstupního napětí. Při regulaci výstupního napětí potenciometrem  $R_{12}$  se mění také napětí na běžci potenciometru  $R_{13}$ . Dosáhne-li toto napětí asi 0,65 V, otevře se tranzistor  $T_3$  a tím i tranzistor  $T_2$ . Dále následuje otevření příslušného tranzistoru  $T_1$  a proudem přes tranzistor  $T_1$  se rozsvítí signalizační žárovka. Proto nejen při nasazení proudového omezení, ale i při dosažení přednastavené

úrovně výstupního napětí upozorňuje signální žárovka, že regulátor pracuje mimo nastavené meze. Výstupní proud se i při zmenšení odporu zátěže udržuje na přednastavené velikosti; obdobně se (v druhém případě) zabrání dalšímu zvětšování výstupního napětí nad přednastavenou mez. Ve zpětnovazební smyčce je zapojen miliampérmetr s odpovídným bočником. Tím lze vyloučit vliv odporu měřidla ve výstupním odporu regulátoru. Paralelně k výstupu zdroje je připojen voltmetr a filtrační elektrolytický kondenzátor  $C_2$ .

## Automatika pro nabíječ akumulátorů

Miroslav Vokřínek

Při nabíjení akumulátorů jsem se setkal s problémem kontroly nabitého stavu. Vzhledem k tomu, že u nabitého akumulátoru se zvětší napětí na 2,7 až 2,8 V na článek, rozhodl jsem se vyrobit spínací obvod, který by přerušil nabíjení vždy, když napětí baterie dosáhne na určitou hodnotu. Přitom jsem použil nabíječku, jejíž proud je řízen tyristorem. Pro úplnost uvádím celkové zapojení včetně obvodů tyristoru. Spínací obvod je na schématu čárkovaně označen (obr. 1).



Obr. 2. Závislost výstupního proudu na rozdílu napětí mezi vstupem a výstupem regulátoru

### Technické údaje

Nabíjecí proud: max. 7,5 A (závisí na použitém transformátoru)

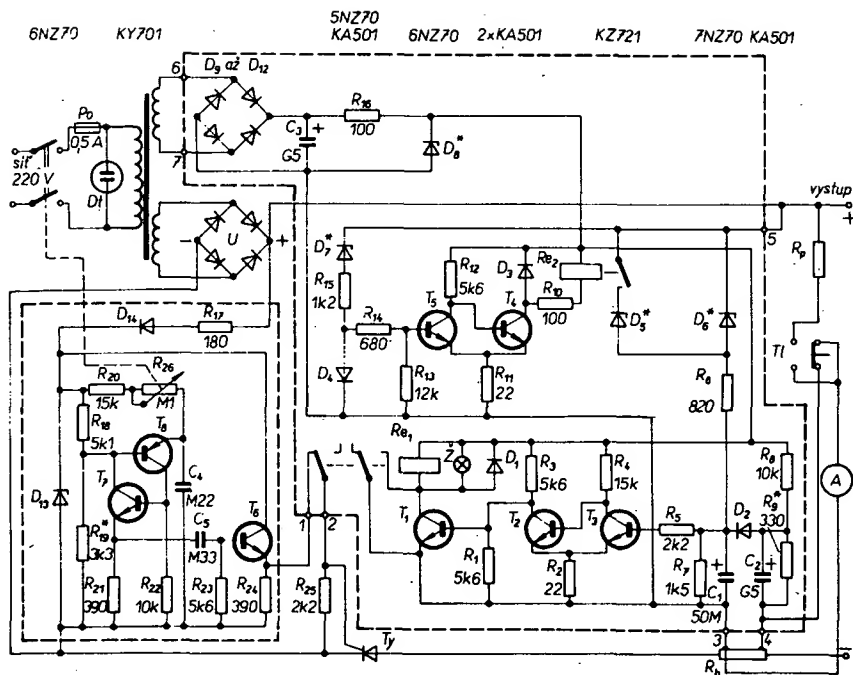
Napětí akumulátoru: 6 i 12 V.

Vypínací napětí: pro baterii 6 V 7,8 V.  
pro baterii 12 V 15,7 V.

Přepínání spínacího napětí pro baterii 6 a 12 V je prováděno automaticky. Nabíječka je jištěna proti přetížení nebo zkratu na výstupu.

### Popis činnosti

Vinutí spínacího relé  $Re_1$ , odpojovacího řídicího elektrodu tyristoru (čímž se přeruší nabíjení), je zapojeno v kolektoru tranzistoru  $T_1$ . Paralelně k vinutí relé je zapojena dioda  $D_1$  v závěrném směru, chránící tranzistor  $T_1$  před napětovými spíčkami, vznikajícími na vinutí relé při spínání. Žárovka  $Z$  indikuje nevodivý stav tyristoru. Po sepnutí tranzistoru  $T_1$  setrvává relé v sepnutém stavu pomocí přidržovacího kontaktu. Tranzistory  $T_2$ ,  $T_3$  a  $T_4$  jsou zapojeny jako tzv. Schmittův klopný obvod. Je-li na bázi  $T_3$  nulové napětí, je tranzistor  $T_3$  uzavřen,  $T_2$  otevřen a  $T_1$  uzavřen. Stoupá-li napětí na bázi  $T_3$ , dojde při určité úrovni (dané součástkami v obvodu)



Obr. 1. Celkové schéma nabíječe s automatikou vypínání

k rychlé změně stavu tranzistorů  $T_2$  a  $T_3$  a tím i  $T_1$ . Odpor  $R_5$  omezuje proud báze  $T_3$ .

Další činnost si vysvětlíme pro případ nabíjení baterie 12 V (relé  $Re_2$  rozpojeno). Spínací napětí Schmittova obvodu  $T_2$ ,  $T_3$  je 0,29 V. To znamená, že prahové napětí Zenerovy diody  $D_6$  musí být  $15,7 - 0,29 \approx 15,4$  V. Zvětší-li se při nabíjení baterie napětí na 15,4 V, počne protékat diodou  $D_6$  proud a při napětí na výstupu 15,7 V se objeví na bázi  $T_3$  potřebných 0,29 V a dojde k jeho překlopení. Jelikož je napětí na baterii mírně zvlněno (při sepnutí tyristoru se zvětšuje), je na vstupu  $T_3$  připojena kapacita  $C_1$ . Při nabíjení baterie 6 V je činnost stejná. Správné spínací napětí je dosaženo sepnutím relé  $Re_2$ , kterým se připojí paralelně k  $D_6$  Zenerova dioda  $D_5$  se Zenerovým napětím  $7,8 - 0,29 \approx 7,5$  V. Při přepínání na 6 nebo 12 V se vychází z předpokladu, že napětí akumulátoru 6 V je max. 8 V a napětí akumulátoru 12 V je min. 10 V. Proto obvod  $T_4$ ,  $T_5$ , pracující stejným způsobem jako  $T_2$ ,  $T_3$ , spíná při napětí mezi těmito hodnotami, tj. asi při 9,2 V. Znamená to, že při připojení baterie 6 V není na bázi  $T_3$  napětí a relé  $Re_2$  je v činnosti, neboť tranzistor  $T_4$  je otevřen. Odpor  $R_{10}$  zmenšuje zatížení relé  $Re_2$ , dioda  $D_3$  má stejnou funkci jako  $D_1$ . Při připojení baterie 12 V protéká diodou  $D_7$  proud, na bázi  $T_3$  se objeví napětí větší než 0,3 V, potřebné k přepnutí obvodu,  $T_3$  je otevřen a  $T_4$  nevede; relé  $Re_2$  je tedy rozpojeno.

Vzhledem k tomu, že u akumulátoru 12 V se mění výstupní napětí asi od 10 do 16 V a bázi  $T_3$  by tedy mohl protékat příliš velký proud, je zapojena ve vstupním obvodu  $T_3$  dioda  $D_4$  v propustném směru, která pracuje jako Zenerova dioda s napětím 0,7 V. Odpor  $R_{14}$  má stejnou funkci jako  $R_5$ . Odpor  $R_6$  je bočník použitého ampérmetru,  $R_9$  je předřadný odpor pro napětový rozsah. Dioda  $D_2$  pracuje jako Zenerova dioda pro napětí 0,7 V. Jestliže se mezi bodem 3 a anodou  $D_2$  objeví napětí 1 V, obvod  $T_2$ ,  $T_3$  sepne a proud tyristorem se přeruší. Odpor  $R_9$  a tím napětí na kondenzátoru  $C_2$  je nutno volit tak, aby při zvětšení proudu na výstupu nad určenou mez

došlo k přepnutí  $T_2$ ,  $T_3$ . Napětí mezi bodem 3 a anodou  $D_2$  je dáno součtem  $U_{C2} + U_{Rb}$ .

Spínací obvod tyristoru byl již ve spojení s nabíječkou popisován. Tranzistory  $T_1$ ,  $T_8$  nahrazují dvoubázovou diodu a dodávají do odporu  $R_{21}$  impuls v okamžiku, kdy napětí na  $C_4$  dosáhne velikosti napětí na odporu  $R_{19}$ . Navíc je zde odpor  $R_{22}$ , který omezuje vliv teplotní závislosti zbytkového proudu tranzistoru  $T_8$ . Emitorový sledovač s tranzistorem  $T_6$  slouží k proudovému zesílení spínacích impulsů pro výkonový tyristor. Dioda  $D_{14}$  je ochranná dioda obvodu tyristoru.

#### Konstrukce

Obvod tyristoru je na desce s plošnými spoji o rozměrech 85 × 50 mm (obr. 2), spínací obvod je též na desce s plošnými spoji (o rozměrech 120 × 82,5 mm, obr. 3). K další konstrukci jen několik hlavních zásad. Diody výkonového usměrňovače  $U$  je nutné umístit na chladič desky o ploše min. 100 cm<sup>2</sup>, chladič desky tyristoru musí být alespoň 4 × větší, neboť na tyristoru se ztrácí

největší výkon. Rozmístění, způsob připevnění a povrchovou úpravu ponechávám na možnostech každého jednotlivce. Příklad rozmístění je patrný z přiložených fotografií vzorku (obr. 4a, b). Rozměry vzorku jsou: 180 × 180 × 100 mm.

#### Uvedení do chodu

Nastavení obvodu tyristoru: změnou odporu  $R_{19}$  nastavujeme potřebný regulační rozsah výstupního proudu, který regulujeme potenciometrem  $R_{26}$ . U spínacího obvodu nastavujeme pouze spínací napětí.

Potřebné napětí Zenerových diod:

$D_8$	12 V	(11,5 až 12,5 V),
$D_7$	9 V	(8,5 až 9,5 V),
$D_5$	7,5 V	
$D_6$	15,4 V	

Při jiných hodnotách u diod  $D_5$  a  $D_6$  se mění hodnoty vypínacích napětí. Při výběru diod  $D_5$ ,  $D_6$  je nejlepší změřit nejdříve spínací napětí Schmittova obvodu  $T_2$ ,  $T_3$  na odporu  $R_7$ . Požadované napětí je pak dáno součtem spínacího napětí obvodu  $T_2$ ,  $T_3$  a Zenerova napětí  $D_3$ , popř.  $D_6$ . Odpor  $R_9$  určíme pomocí odporového trimru asi 680 Ω, který nastavujeme tak, aby při zkratu obvod bezpečně přepínal. Po nastavení a změření jej nahradíme pevným odporem. Na závěr zkontrolujeme proud odporem  $R_{16}$ , který by měl být asi 110 až 130 mA. Změnou odporu  $R_{16}$  můžeme proud změnit. Odpory  $R_6$  a  $R_9$  určíme podle použitého měřidla. Víc není třeba nastavovat.

#### Použité součástky

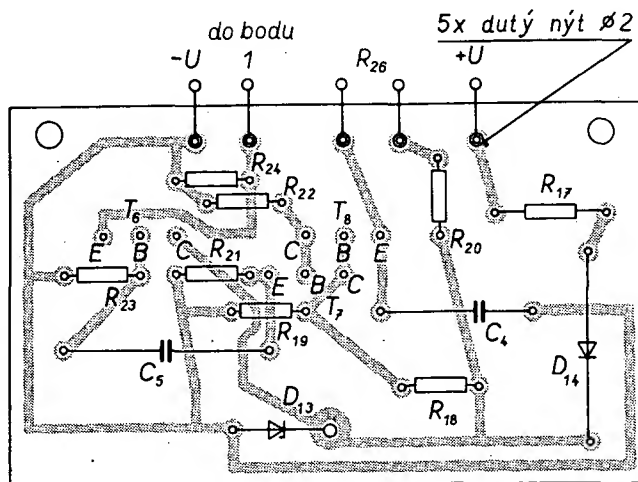
Tranzistory  $T_1$  až  $T_7$  mohou být libovolný typ n-p-n, např. 101NU70 atd.,  $T_8$  je p-n-p, např. GC507 apod. Diody  $D_2$ ,  $D_4$  musí být křemikové, lze použít některý typ z řady KA501 nebo KY130, popř. jiné typy, které však mají větší rozměry.

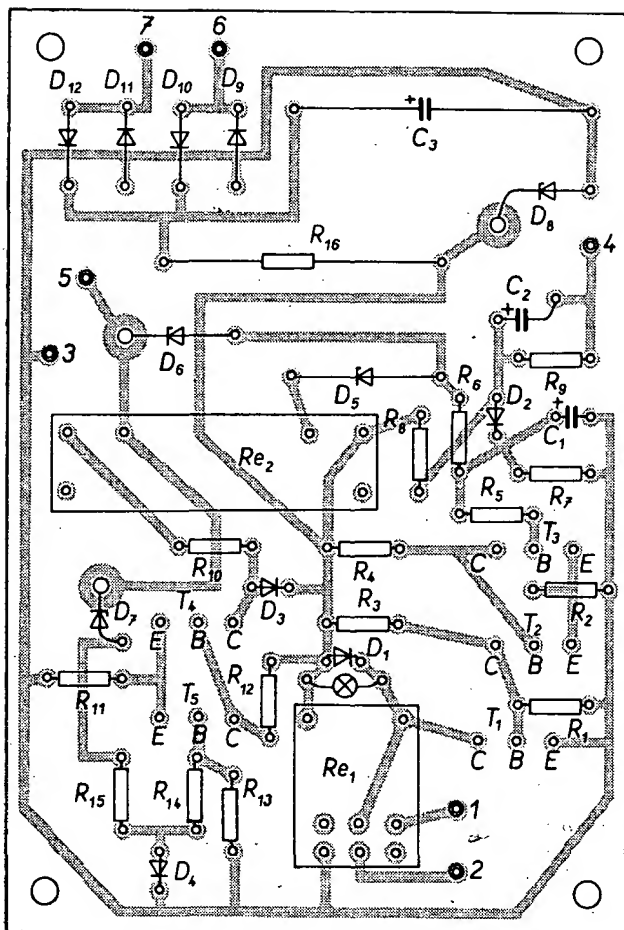
Diody  $D_1$ ,  $D_3$  (min. proud 50 mA),  $D_5$  až  $D_{12}$ ,  $D_{14}$  (min. proud 100 mA) mohou být jakéhokoli typu pro požadovaný proud, tedy i germaniové (např. KA501). Typy ostatních diod jsou uvedeny ve schématu.

Odpor	
$R_1$ až $R_{15}$ , $R_{18}$	TR 151 (TR 112),
až $R_{25}$	TR 154,
$R_{16}$	TR 152
$R_{17}$	

Jednotlivé odpory jsou ve schématu.

Obr. 2. Deska s plošnými spoji J 503 s rozmístěním součástek obvodu tyristoru





Obr. 3. Deska s plošnými spoji J 504 s rozmístěním součástek spínacího obvodu

#### Kondenzátory

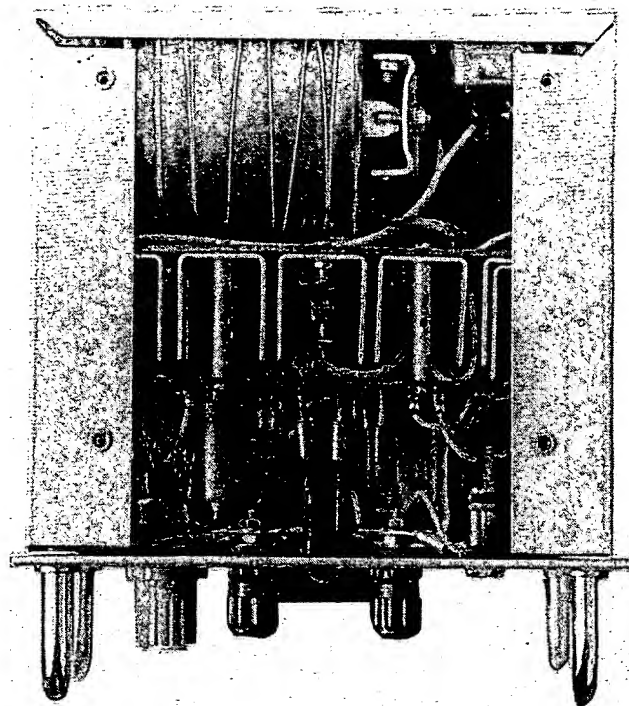
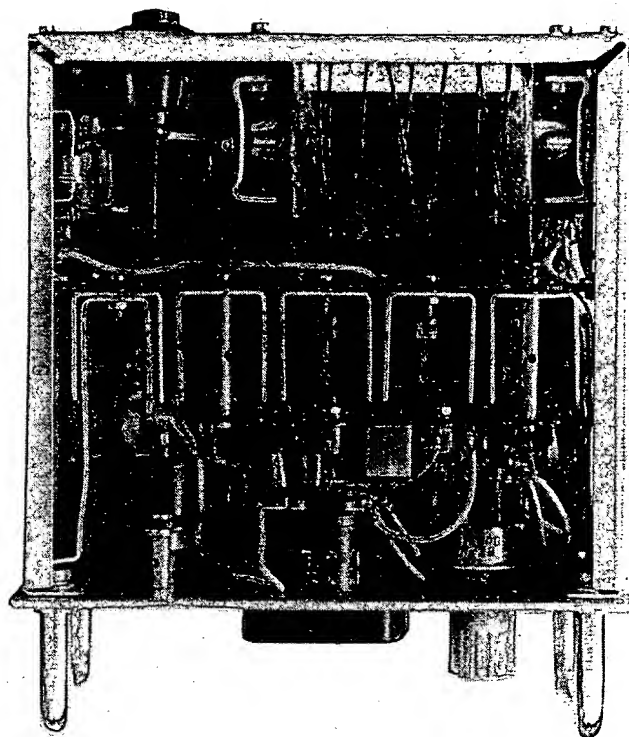
$C_1$	TC 941 50 $\mu$ F,
$C_2$	TE 980 500 $\mu$ F,
$C_3$	TE 984 500 $\mu$ F,
$C_4$	TC 180 0,22 $\mu$ F,
$C_5$	TC 180 0,33 $\mu$ F.

#### Ostatní součástky

$Z$	telefonní žárovka 12 V/0,05 A,
$Re_1$	relé LUN 12 V,
$Re_2$	jazyčkové relé 12 V, (musí být jazyčkové vzhledem ke kratšímu spínacímu času proti relé LUN, aby nemohlo dojít k nežádoucím přepnutím $T_2$ , $T_3$ při přepínání $T_4$ , $T_5$ ),
$T_1$	tyristor 16 A, např. KT701,
$U$	diody výkonového usměrňovače, mohou být jakékoli (Ge i Si) pro proud 10 A,
$Tr$	transformátor, musí mít výkon 100 až 150 W (závisí na něm maximální výstupní proud). Napětí sekundárních vinutí naprázdno pro výkonový usměrňovač 20 V (proud 7,5 A); pro napájení spínacího obvodu 17 V (proud 120 mA, průměr drátu volíme z tabulek pro 3 až 4× větší proud než je požadovaný z důvodů pulsního zatížení).

Závěrem ještě poznámku k obsluze: ke správné činnosti je nutné nejdříve připojit akumulátor a potom (potenciometrem) zapnout nabíječ.

Obr. 4. Pohled na hotový přístroj shora (nahore) a zdola (dole)



#### Odpory tenkých vrstev

v rozsahu 100  $\Omega$  až 1 M $\Omega$  vyvinula firma Semi-Films Technology Corp. Používá se dusičnanu tantalu, který je velmi stabilní a necitlivý na vlhkost. Jeho teplotní činitel je  $-150$  až  $-250 \cdot 10^{-6} / 1^\circ \text{C}$ . Čip z nitridu tantalu na substrátu z epoxidové pryskyřice snese výkon 250 mW a provozní napětí 100 V. Pasivace hotového čipu se provádí kyslíkem tantalu, který je značně odolnější než běžná pasivace sklem.

Radio, Fernsehen, Elektronik č. 1/74

#### Světelné diody pro každé napětí

vyvinula firma Litronix. Polovodičová luminiscenční dioda je spojena s monolitickým regulátorem napětí, které diodu napájí. Obě součásti jsou uzavřeny ve společném pouzdru. Jas diody je v širokých mezích nezávislý na velikosti napětí nebo odporu zdroje. Proto může být tato dioda zapojena jako kontrolka na různé přístroje bez ohledu na jejich napětí. Regulátor není dražší než potřebné srazecí odpory.

Radio, Fernsehen, Elektronik č. 12/74

## Kvalitný výkonový nf zosilňovač

Ing. P. Gubiš, Ing. V. Jamrich

Hoci sa otázkam stavby výkonových nf zosilňovačov venovalo na stránkach našich odborných časopisov nemalo priestoru, pre mnohých záujemcov ostáva práve otázka vhodného výkonového zosilňovača najväčším problémom, najmä čo sa týka jeho realizácie, oživenia a reprodukovateľnosti. Tento článok, prinášajúci ucelenú informáciu o stavbe kvalitného zosilňovača s výkonom 20 až 50 W s minimálnymi požiadavkami na nastavenie a s dobrou reprodukovateľnosťou, je príspevkom ku riešeniu problému.

### Technické údaje

Výstupný výkon (so zdrojom stabilizovaného napätia  $U$  a do záťaže  $R_Z = 4 \Omega$ ):

$U = 32 \text{ V}$ ,  $P_{\text{výst}} > 20 \text{ W (sin)}$ ,

$U = 50 \text{ V}$ ,  $P_{\text{výst}} > 50 \text{ W (sin)}$ .

Pri nestabilizovanom zdroji závisí maximálny sinusový výkon nielen od napájacieho napätia, ale aj od veľkosti výstupnej kapacity zdroja.

Kmitočtové vlastnosti:

prenášané pásmo 20 Hz až 20 kHz bez merateľného poklesu.

Harmonické skreslenie:

na jeho meranie bol k dispozícii generátor a filtre fy Brüel-Kjaer. Namerané harmonické spektrum výstupného signálu sa porovnávalo so spektrom signálu vstupného. Okrem hodnoty 0,06 % skreslenia druhou a treťou harmonickou, nameranej pri výstupnom výkone 50 mW na kmitočte 20 kHz, nebolo možné namerať žiadnu hodnotu. Skreslenie je v celom kmitočtovom pásme 20 Hz až 20 kHz ako pre plný, tak i pre malý výstupný výkon, menšie ako 0,06 %.

Intermodulačné skreslenie:

pre nedostatok vhodných meracích prístrojov nebolo merané. Vzhľadom ku použitej koncepcii kvázikomplementárneho zapojenia je nutné predpokladať, že je podstatne väčšie, než harmonické skreslenie.

Napätiové zosilnenie:

nastaviteľné od 10 do 115, odporúčaný rozsah 10 až 35.

Vstupný odpor:

> 40 k $\Omega$  v pásme 20 Hz až 20 kHz.

Poznámka: všetky parametre boli merané pri vstupnej citlivosti nastavenej na 300 mV na plné vybudenie.

### Popis zapojenia

Schéma zapojenia je na obr. 1. Vstupný obvod je tvorený diferenciálnym zosilňovačom  $T_1$ ,  $T_2$ . Toto zapojenie vďaka silnej jednosmernej zápornej spätnej väzbe cez odpor  $R_8$  zaručuje dobrú jednosmernú stabilitu ce-

lého modulu. Na kolektor tranzistoru  $T_1$  je jednosmerne naviazaný emitorový sledovač s tranzistorom  $T_3$ , ktorý umožňuje značne zväčšiť zisk celého modulu a súčasne výrazne zlepšuje kmitočtové vlastnosti nasledujúceho napätového zosilňovača s tranzistorom  $T_4$  (účinnosť Millerovej kapacity  $T_4$  je eliminovaná nízkym výstupným odporom emitorového sledovača  $T_3$ ). Napätový zosilňovač zaisťuje potrebný rozkmit napätia na vybudenie koncovej štvorice tranzistorov  $T_7$  až  $T_{10}$  v kvázikomplementárnom zapojení. Tento zosilňovač je napájaný z prúdového zdroja, tvoreného tranzistorami  $T_5$ ,  $T_6$ . Vďaka vysokému dynamickému odporu prúdového zdroja závisí zosilnenie stupňa  $T_4$  hlavne od vstupného odporu koncovej štvorice tranzistorov, čím sa značne kompenzuje jej prechodové skreslenie. Ku kompenzácii prechodového skreslenia prispieva aj úbytok napätia na odpore  $R_{10}$ , ktorým sa nastavuje kludový prúd koncových tranzistorov (asi 10 mA). Teplotnú

stabilizáciu kludového prúdu zaisťuje tranzistor  $T_5$ , nakoľko prúd, pretekajúci odporom  $R_{10}$ , závisí od napätia na báze tohoto tranzistoru. Z toho dôvodu je výhodné umiestniť  $T_5$  tak, aby mal možnosť snímať teplotu tranzistorov  $T_7$ ,  $T_8$ ,  $T_9$ . Potrebné prúdové zosilnenie zabezpečuje kvázikomplementárna štvorica tranzistorov  $T_7$  až  $T_{10}$ .

Vstup I modulu je viazaný na predchádzajúci stupeň zosilňovača. Sériová koncová dvojica tranzistorov  $T_9$ ,  $T_{10}$  (výstup 0 modulu) napája záťaž cez vhodný výstupný kondenzátor (asi 2 000  $\mu\text{F}$  pri  $R_Z = 4 \Omega$ ).

Okrem silnej ( $\beta \rightarrow 1$ ) jednosmernej spätnej väzby cez odpor  $R_9$  je spoza výstupného kondenzátora zavedená nastaviteľná striedavá záporná spätná väzba cez odpor  $R_7$  (vstup St modulu). Zisk modulu  $A_u$  je možno vyjadriť približným vzťahom (1)

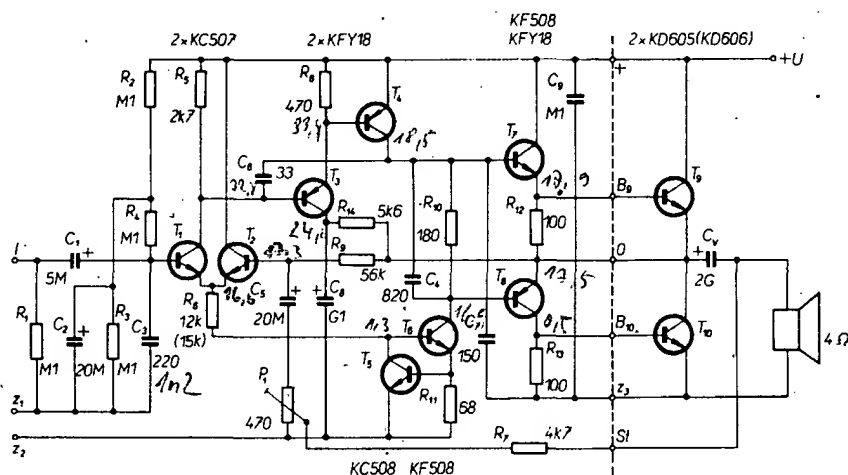
$$A_u = \frac{R_7 + P_1 \cdot a}{P_1 \cdot a} \quad (1)$$

a v danom zapojení je ho možné meniť v rozsahu asi 10 až 100. Modul má najlepšie vlastnosti pri maximálnom koeficiente spätnej väzby (minimálny zisk). Pri zisku  $A_u = 40$  (asi 300 mV pre plný výkon) má však ešte stále dobré vlastnosti.

Jednosmerné napätie na výstupe je nastavené deličom  $R_2$ ,  $R_3$ ,  $R_4$ , ktorý je filtrovaný proti prenikaniu rušivého napätia z napájacieho zdroja kondenzátorom  $C_2$ .

Spätnoväzobnú stabilitu, tj. korekciu amplitúdovej a fázovej charakteristiky na vyšších kmitočtoch, zabezpečujú kondenzátory  $C_4$ ,  $C_6$ ,  $C_7$ . Nakoľko pri použitých kapacitách prenáša modul oveľa širšie pásmo, než je využívaných 20 Hz až 20 kHz, je jeho vstup filtrovaný kapacitou  $C_3$ .

Vývodmi  $z_1$ ,  $z_2$ ,  $z_3$  je vytvorený systém zemniacich bodov, pomocou ktorého je možné obmedziť na minimum vplyv zemniacich prúdov na vstupné obvody modulu, čo je z hľadiska skreslenia a vysokofrekvenčnej stability zvlášť dôležité. Obvykle sa tieto vývody zemnia jednotlivito na spoločný zemniaci bod, umiestnený na šasi v približne rovnakej vzdialenosti od všetkých modulov.



Obr. 1. Schéma zosilňovača

## Zásady návrhu zosilňovača

Všetky stupne modulu sú viazané jednosmerne, čo umožňuje ideálnu stabilizáciu jednosmerného napätia na výstupe modulu (pred výstupným kondenzátorom) a pri vhodnej voľbe vstupného a výstupného kondenzátora zaručuje súčasne výborné vlastnosti v oblasti nízkych kmitočtov. Na druhej strane táto koncepcia kladie zvýšené nároky na voľbu pracovných bodov jednotlivých stupňov, nakoľko okrem striedavých parametrov závisí od tejto voľby citlivosť modulu na rozptyl súčiastok, ako aj na zmenu napájacieho napätia. Návrh modulu komplikuje okrem iného aj skutočnosť, že pri tomto spôsobe väzby sú jednosmerné a striedavé vlastnosti jednotlivých stupňov úzko späté.

Hlavné zásady návrhu jednotlivých stupňov je nutné chápať skôr ako štúdiu, nakoľko podrobný návrh by ďaleko presiahol rámec tohoto článku.

Vstupný diferenciálny zosilňovač je tvorený dvojicou nízkofrekvenčných kremíkových tranzistorov. Dominantným kritériom pri ich voľbe je príznačné napätie  $U_{CE}$  pri  $R_{BE} \rightarrow \infty$ , pretože v okamihu pripojenia napájacieho zdroja sú tieto tranzistory namáhané na jeho plné napätie (30 V pri verzii 20 W a 45 V pri 45 W). Prúd cez tranzistory je určený hodnotou spoločného emitorového odporu  $R_e$ . Ak zanedbáme vplyv spätnoväzobného odporu  $R_o$ , je možné hodnotu tohoto prúdu vyjadriť vzťahom (2)

$$I_{E1} + I_{E2} = (U_2 - 2) : R_e \quad (2),$$

kde  $U_2$  je hodnota výstupného napätia a konštanta 2 reprezentuje súčet úbytkov napätí na prechodoch báza-emitor tranzistorov  $T_3, T_5, T_6$ . Pri voľbe veľkosti tohoto prúdu, resp. odporu  $R_e$ , sme v oblasti malých prúdov obmedzení nasledovne:

- súčet emitorových prúdov musí kryť s dostatočnou rezervou, potrebnou na stabilizáciu (min. 100 %), prúd bázy zdroja konštantného prúdu  $T_3, T_6$ ;
- polovica tohoto prúdu musí kryť prúd bázy emitorového sledovača  $T_5$ ;
- priamoúmerne so vzrastom kolektorového prúdu klesá skreslenie stupňa;
- kmitočtové vlastnosti tranzistorov sú až do určitej veľkosti kolektorového prúdu priamoúmerné jeho veľkosti.

Pri obmedzení prúdu diferenciálneho stupňa v oblasti veľkých prúdov je nutné zohľadniť:

- kolektorovú stratu tranzistorov,
- fakt, že zisk stupňa závisí na odpore  $R_3$  a nakoľko úbytok napätia na tomto kolektorovom odpore je daný súčtom napätí  $U_{BE}$  tranzistorov  $T_3, T_4$ , bude tento odpor nepriamoúmerný veľkosti kolektorového prúdu  $I_1$ .

Odporový delič  $R_2, R_3, R_4$  s filtračným kondenzátorom  $C_2$ , napájajúci bázu tranzistora  $T_1$ , určuje v rozhodujúcej miere hodnotu jednosmerného výstupného napätia modulu a nakoľko sa radí paralelne ku vstupnému odporu diferenciálneho stupňa, ovplyvňuje taktiež hodnotu vstupného odporu modulu. Zhora je veľkosť týchto odporov obmedzená teplotnou závislosťou jednosmerného prúdového zosilňovacieho činiteľa, z toho vyplývajúci zmenami básových prúdov a v konečnom dôsledku i teplotnými zmenami jednosmerného výstupného napätia modulu. Kondenzátor  $C_2$  slúži na odfiltrovanie rušivých napätí napájacieho zdroja zo vstupu. Kondenzátor  $C_1$ , nabíjaný cez odpor  $R_1$ , znižuje možnosť vzniku rušivých impulzov pri manipulácii so vstupom. Ak bude modul natrvalo pripojený k budiacim stupňom, je možné odpor  $R_1$  vynechať.

Emitorový sledovač, nesymetricky naviazaný na výstup diferenciálneho stupňa, plní tri funkcie:

- transformuje vstupný odpor nasledujúceho stupňa na väčšiu hodnotu, čím zväčšuje zisk diferenciálneho zosilňovača;
- zväčšuje úbytok napätia na odpore  $R_5$ , čo umožňuje zväčšiť ho pri rovnakom kolektorovom prúde  $T_1$ ;
- oddeľuje značnú Milleroovu kapacitu tranzistora  $T_4$  od výstupu diferenciálneho stupňa, čo má priaznivý vplyv na vysokofrekvenčnú spätnoväzobnú stabilitu a vlastnosti modulu v oblasti vysokých kmitočtov.

Posledný napäťovo zosilňujúci stupeň musí mať nastavený taký pracovný bod, aby bol schopný vybudíť koncový prúdový zosilňovač. Znamená to, že musí dodať do báz budiacich tranzistorov maximálny prúd podľa vzťahu (3):

$$I_{Bmax} = \frac{I_{zmax}}{H_{21b} \cdot H_{21k}} + \frac{U_{BE}}{H_{21b} \cdot R_{12}}, \quad (3),$$

kde  $I_{zmax}$  je maximálna okamžitá hodnota prúdu, ktorú je modul schopný odovzdať do záťaže,  $H_{21b}$  je jednosmerný prúdový zosilňovací činiteľ budiča pri maximálnom kolektorovom prúde a zodpovedajúcom napätí  $U_{CE}$ ,  $H_{21k}$  je rovnaký parameter pre koncový tranzistor.  $U_{BE}$  je napätie medzi bázou a emitorom plne vybudeného koncového tranzistora.

Nakoľko koncový prúdový zosilňovač má napäťové zosilnenie menšie ako 1, maximálny rozmit výstupného napätia modulu je daný v hlavnej miere vybuditeľnosťou stupňa  $T_4$ . Pre zabezpečenie čo najväčšieho rozkmitu výstupného napätia modulu sa používajú v zásade dva spôsoby zapojenia posledného napäťovo zosilňujúceho stupňa, a to:

- zapojenie s kladnou spätnou väzbou (bootstrap) podľa obr. 2;
- zapojenie so zdrojom konštantného prúdu (obr. 3).

K výhodám zapojenia z obr. 2 (značný rozmit napätia, nízka cena) sa pridružujú niektoré nevýhody, ako napr. veľká citlivosť na prechodové nelinearity koncových a budiacich tranzistorov a z toho vyplývajúca potreba veľkého kludového prúdu koncových tranzistorov. Naproti tomu obvod so zdrojom konštantného prúdu podľa obr. 3 má v tomto smere podstatne lepšie vlastnosti, pretože hodnota dynamického odporu zdroja konštantného prúdu je o niekoľko rádov vyššia, než prúdovými zosilňovacími transformovaná hodnota záťaže. Prechodové nelinearity, ktoré spôsobujú nelineárne zmeny prenosových vlastností koncového prúdového zosilňovača, spôsobujú obvykle aj zmeny jeho vstupnej impedancie, čo ovplyvní napäťové zosilnenie stupňa  $T_4$  v opačnom smere ako je zmena napäťového prenosu koncového prúdového zosilňovača. Pre túto vlastnosť je pri konštrukcii modulu použité zapojenie z obr. 3.

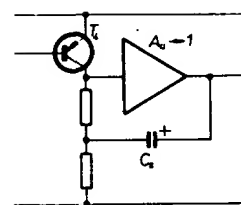
Ako už bolo spomenuté, stupeň  $T_4$  musí byť schopný dodať do budičov prúd  $I_{Bmax}$  podľa vzťahu (3). Je možné dokázať, že táto podmienka bude splnená vtedy, ak bude zdroj konštantného prúdu nastavený na

$$I_s > I_{Bmax} \quad (4).$$

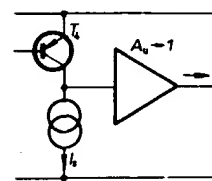
Rozkmit kolektorového napätia tranzistora  $T_4$  bude z intervalu

$$U_{BE} + U_{CEmin} \leq u_k \leq U_N - U_{CEmin} \quad (5),$$

kde hodnoty  $U_{CEmin}$  predstavujú najnižšie napätia  $U_{CE}$ , pri ktorých je ešte zmena



Obr. 2. Zapojenie napäťového zosilňovača s kladnou spätnou väzbou



Obr. 3. Zapojenie napäťového zosilňovača so zdrojom konštantného prúdu

striedavých parametrov tranzistorov v dovolených medziach.

Zdroj konštantného prúdu  $T_3, T_6$  je konštruovaný ako jednosmerný dvojstupňový zosilňovač so silnou prúdovou zápornou spätnou väzbou. Prúd tohoto zdroja je možné vypočítať podľa vzťahu

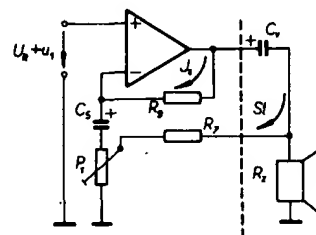
$$I_s \approx U_{BE} / R_{11} \quad (6).$$

Ako je zo vzťahu (6) patrné, závisí  $I_s$  priamoúmerne od veľkosti napätia medzi bázou a emitorom tranzistora  $T_6$ . Nakoľko napätie  $U_{BE}$  je funkciou teploty tranzistora, bude aj prúd  $I_s$  funkciou tejto teploty. Ak potom predpätie koncového prúdového zosilňovača vytvoríme ako úbytok na odpore  $R_{10}$ , bude aj toto predpätie funkciou teploty a za predpokladu, že  $T_6$  umiestnime tak, aby jeho teplota sledovala teplotu budičov a koncových tranzistorov, budú zmeny tohoto predpätia kompenzovať zmeny napätia  $U_{BE}$  koncových tranzistorov.

Koncový prúdový zosilňujúci stupeň tvorí štvorica tranzistorov v kvázikomplementárnom zapojení. Rýdzo komplementárne zapojenie má najmä z hľadiska intermodulačného skreslenia výhodnejšie vlastnosti, avšak potrebné výkonové tranzistory nie sú na našom trhu bežne prístupné. Odpory  $R_{12}, R_{13}$  zlepšujú odolnosť koncových tranzistorov proti priarazu kolektorového prechodu.

Systém spätných väzieb v module je možné znázorniť podľa obr. 4. Celkovo sú zavedené dve spätnoväzobné slučky.

Jednosmerná slučka ( $J_s$ ) je zavedená cez odpor  $R_9$  a má za úlohu stabilizovať jednosmerné výstupné napätie modulu na hodnotu približne rovnakú, ako je napätie, nastavené



Obr. 4. Systém spätných väzieb zosilňovača

na báze  $T_1$ . Táto jednosmerná slučka má i striedavú časť, ktorej koeficient

$$B = \frac{R}{R + R_0} \quad (7),$$

kde  $R$  je odpor potenciometra  $P_1$ , určuje zároveň maximálny nastaviteľný zisk modulu

$$A_{\max} = \frac{A}{1 + B \cdot A} = \frac{1}{B} \quad (8).$$

Táto spätná väzba je zavedená spred výstupného kondenzátora  $C_4$  a preto nie je schopná kompenzovať jeho nežiadúci vplyv na nízkych kmitočtoch. Dobré vlastnosti modulu na týchto kmitočtoch zabezpečuje striedavá spätná väzba (St), zavedená spoza výstupného kondenzátora cez delič, tvorený odporom  $R_7$  a nastavenou časťou potenciometra  $P_1$  cez kondenzátor  $C_5$  na bázu  $T_2$ . Nastavením potenciometra  $P_1$  je potom možné meniť napäťový zisk modulu podľa vzťahu (1). Vzťah (1) udáva len hrubý odhad zisku modulu, ktorý je tým nepresnejší, čím menší odpor je nastavený na potenciometri  $P_1$ . Táto nepresnosť je spôsobená tým, že vzťah (1) neberie do úvahy pôsobenie striedavej spätnej väzby cez odpor  $R_0$ , ktoré je najväčšie pri nastavenom minimálnom odpore  $P_1$ . Presnejší výpočet zisku modulu umožňuje zjednodušený vzťah (10):

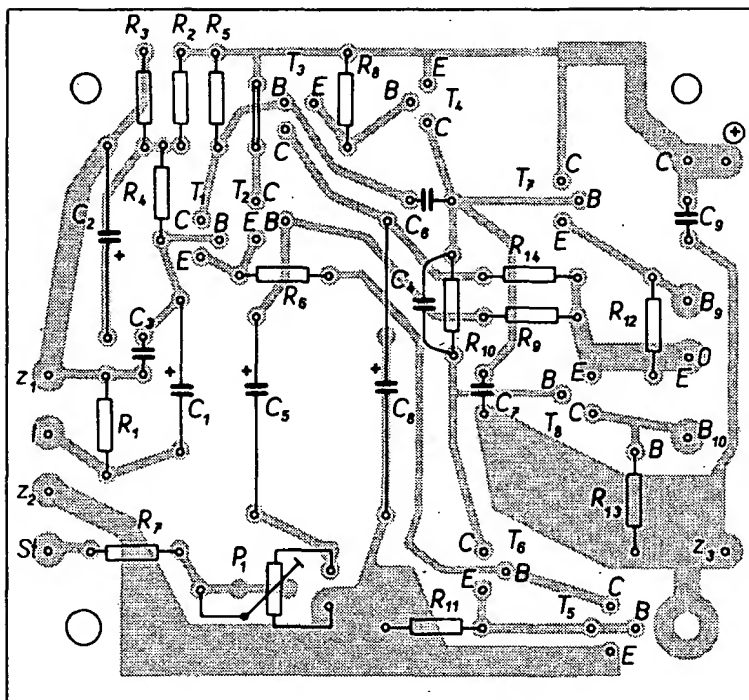
$$A_u = \frac{R_0 \cdot R_7}{(R_0 + R_7) \cdot R' + (R - R') \cdot R_7} \quad (10),$$

kde  $R$  je maximálny nastaviteľný odpor a  $R'$  nastavený odpor potenciometra  $P_1$ . Je nutné poznamenať, že striedavá spätná väzba síce kompenzuje vplyv kondenzátora  $C_4$  na amplitúdovú kmitočtovú charakteristiku modulu, ale neodstraňuje jeho nežiadúci vplyv na vybuditeľnosť modulu v oblasti nízkych kmitočtov. Ak napr. použijeme  $C_4 = 500 \mu\text{F}$ , neprejaví sa jeho účinok v poklese amplitúdovej charakteristiky, ale v poklese maximálneho výkonu pri 20 Hz asi na štvrtinu nominálnej hodnoty.

Ak chceme zabezpečiť stabilitu takto vytvoreného spätnoväzobného systému, musíme splniť minimálne podmienky stability lineárnych spätnoväzobných sústav podľa Nyquista. Na ich splnenie je nutné zabezpečiť, aby na kmitočte  $f_1$  pri ktorom fázový posun, spôsobený parazitnými vlastnosťami obvodu, nadobúda  $180^\circ$ , bola absolútna hodnota napäťového zisku otvoreného obvodu (bez spätnej väzby)

$$|A_{11}| < \frac{1}{B_{\max}} \quad (9),$$

kde  $B_{\max}$  je maximálna nastaviteľná hodnota koeficientu zápornej spätnej väzby. Táto podmienka sa v danom zapojení dá zabezpečiť niekoľkými spôsobmi. Nakoľko sa vždy jedná o znižovanie prenášaného pásma, dôsledkom stabilizácie býva zhoršenie vlastností sústavy pri prenose vysokých kmitočtov. Z hľadiska minimalizácie tohoto zhoršenia je potom výhodné ovplyvňovať kmitočtové vlastnosti stupňa, ktorý sa v najväčšej miere podieľa na zhoršení prenosových vlastností v hornej časti prenášaného pásma. Ako dôsledok týchto úvah zaistujeme spätnoväzobnú stabilitu modulu pomocou kondenzátorov  $C_6, C_7, C_8$ . Nakoľko aj po tejto úprave má zosilňovač ešte stále vynikajúce vysokofrekvenčné vlastnosti, je vhodné blokovat jeho vstup proti prenikaniu nežiadúcich vf signálov kapacitou  $C_3$ .



Obr. 5. Osadenie dosky s plošnými spojmi J 505 zosilňovača

Na odstránenie nežiadúcich spätných väzieb má taktiež vplyv správne zvolený systém zemniacich bodov. Tieto sú rozdelené tak, aby prúdy zemniacimi slučkami spolu s nežiadúcim odporom zemniacich vodičov dávali také hodnoty parazitných napätí, ktoré je možné pri zosilnení jednotlivých stupňov zanedbať. Zemniacie body sa spoja so zdrojom napájacieho napätia.

#### Poznámky ku realizácii

Zosilňovač je postavený na doske s plošnými spojmi o rozmeroch  $100 \times 90 \text{ mm}$  (obr. 5). Po osadení dosky výkonového zosilňovača súčiastkami je možné ju priamo namontovať do zostavy nf zosilňovača s tým, že sa nastavuje len vstupná citlivosť na požadovanú hodnotu potenciometrom  $P_1$ . Na tomto mieste je vhodné upozorniť, že na dosiahnutie vlastností podľa odstavca Technické údaje nie je nutné párovať tranzistory  $T_1, T_2; T_7, T_8; T_9, T_{10}$  (v meraním vzorku sa hodnoty zosilňovacích činiteľov lišili u týchto dvojíc tranzistorov asi o 50 %).

V prípade verzie 20 W je možné vypustiť kondenzátor  $C_8$  a odpor  $R_{14}$  s tým, že sa skratujú pájacie body pre kondenzátor  $C_8$ , čím sa uzemní kolektor tranzistora  $T_3$ .

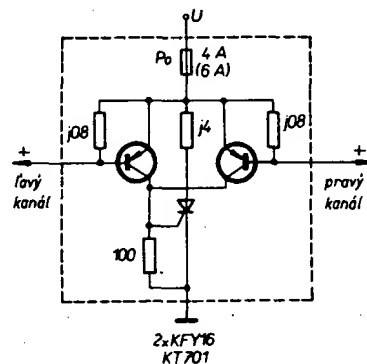
V prípade, že napájacie zdroje nemajú nadprúdovú ochranu a chceme zosilňovač chrániť proti skratu na výstupe, je možné túto ochranu realizovať pomocou zapojenia podľa obr. 6.

Budiace tranzistory  $T_7, T_8$  doporučujeme chladíť normalizovaným chladičom pre pu-zdro TO-5 v prípade verzie 50 W; ani v tomto prípade však chladenie nie je nevyhnutné.

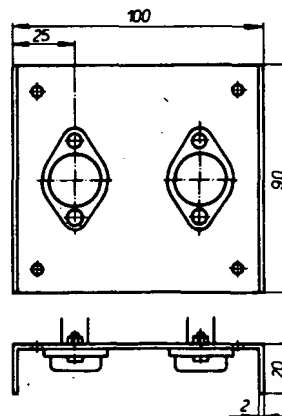
Čo sa týka chladenia výkonových tranzistorov  $T_9, T_{10}$ , tieto vyžadujú pri maximálnej teplote okolia  $50^\circ\text{C}$  následovné chladiace plochy:

1. Výkon 20 W. Pri buzení harmonickým signálom na plný výkon je nutná chladiaca plocha asi  $125 \text{ cm}^2$  z plechu Al

hrúbky 2 mm. Z konštrukčných dôvodov je výhodné dodržať rozmery spojovej dosky (príklad riešenia tohoto chladiča je na obr. 7).



Obr. 6. Zapojenie ochrany zosilňovača proti skratu na výstupe



Obr. 7. Chladič výkonových tranzistorov

## 2. Výkon 50 W.

- při buzení harmonickým signálem na plný výkon sa vyžaduje chladiaca plocha asi 400 cm<sup>2</sup> z plechu Al hrúbky 2 mm;
- při buzení hudobným signálem na plný výkon, kedy strata na výkonových tranzistoroch predstavuje asi 15 % straty při buzení harmonickým signálem, postačuje s veľkou rezervou chladiaca plocha asi 200 cm<sup>2</sup> z plechu Al hrúbky 2 mm.

Uvedené plochy chladičov sú orientačné a při ich dodržaní je možné chladiče umiestniť vo vodorovnom, či zvislom smere.

Na záver sa ešte vrátíme ku otázke správneho zemnenia. Spoločný zemniaci bod je najvýhodnejšie voliť čo najbližšie ku vstupným konektorom a jednotlivé zemnené body spájať len do tohoto spoločného bodu dostatočne dimenzovanými vodičmi.

### Použité súčiastky

Hodnoty súčiastok, uvedené v zátvorke, vyhovujú aj pre verziu 20 W, sú však bezpodmienečne nutné pre verziu 50 W. Výnimku tvorí  $R_6$ , ktorého odpor 12 k $\Omega$  pre 20 W a 15 k $\Omega$  pre 50 W sa musí dodržať.

#### Tranzistory

$T_1, T_2$	KC507
$T_3, T_4$	KFY18
$T_5$	KC508, KC509, KC507

$T_6$	KF508, KFY34 (KF503, KF504)
$T_7$	KF508, KFY34
$T_8$	KFY18
$T_9, T_{10}$	KD605 (KD606, 607; KD503, 504)
Odpor	
$R_1, R_2, R_3, R_4$	0,1 M $\Omega$
$R_5$	2,7 k $\Omega$
$R_6$	12 k $\Omega$ (15 k $\Omega$ )
$R_7$	4,7 k $\Omega$
$R_8$	470 $\Omega$
$R_9$	56 k $\Omega$
$R_{10}$	180 $\Omega$
$R_{11}$	68 $\Omega$
$R_{12}, R_{13}$	100 $\Omega$
$R_{14}$	5,6 k $\Omega$
Kondenzátory	
$C_1$	5 $\mu$ F/35 V
$C_2, C_5$	20 $\mu$ F/35 V
$C_3$	220 pF
$C_4$	820 pF
$C_6$	33 pF
$C_7$	150 pF
$C_8$	100 $\mu$ F/35 V
$C_9$	0,1 $\mu$ F/100 V
$C_{10}$	2 000 $\mu$ F/50 V
Potenciometre	
$P_1$	trimer 470 $\Omega$ (najlepšie cermetový)

Odporu môžu byť na najmenšie zaťaženie, tj. z rady TR 112, kondenzátory  $C_4, C_6, C_7, C_9$  sú keramické.

### Literatúra

Teichmann, J.: Project 60 fy Sinclair. HaZ č. 7/71.  
Konštrukčný katalóg kremíkových tranzistorov TESLA Rožnov.

# Zrychlený prepis magnetofonových záznamů

J. Kachnička

Predložené zariadenie bolo zkonštruované pro zrychlené rozmnožování učebních textů. Celá koncepce byla navržena tak, aby bylo možno s co nejjednoduššími úpravami (bez nutnosti použít nedostupné zahraniční zařízení) přepisovat učební texty, jazykové kursy a podobné záznamy ze základního pásu na běžné typy magnetofonových pásek, a to pro výslednou rychlost 9,5 cm/s a čtyřstopý záznam. Při konstrukci zařízení bylo nutno vycházet výhradně z požadavku použít tuzemské magnetofony i všechny potřebné doplňky.

### Volba typu magnetofonu

Pro splnění tohoto požadavku byly zvoleny jako nejvhodnější magnetofony řady B 4, které oproti přístrojům novější řady B 5 umožňují dálkové spouštění a podle získaných zkušeností vykazují podstatně větší spolehlivost i stabilitu parametrů v dlouhodobém provozu. Bylo použito dvanáct magnetofonů typu B 47, u nichž byla zvětšena rychlost posuvu na 19 cm/s a každý přístroj byl navíc doplněn druhou kombinovanou hlavou, takže bylo možno nahrávat všechny čtyři stopy současně. Tímto způsobem se zvětšila prepisová kapacita každého stroje osminásobně a celá sestava byla schopna vyprodukovat za hodinu čistého času provozu 96 hodin nahrávacího času. Pracovala tedy s téměř stonásobným zrychlením přepisu.

### Umístění druhé kombinované hlavy

Prvým problémem při rekonstrukci magnetofonů pro daný účel bylo umístění druhé kombinované hlavy v dráze v pásku. Byly vyzkoušeny dva základní způsoby:  
1. Mazací hlava byla nahrazena celostopým provedením TESLA ANP a ponechána na původním místě. Čtyřstopá hlava ANP 935 byla ponechána v původní funkci a rovněž na

původním místě. Přístroj byl doplněn druhou čtyřstopou hlavou, která byla umístěna mezi hnací hřídel a pravý vodičí kolík a výškově nastavena tak, aby nahrávala druhou a čtvrtou stopu (počítáno shora), obr. 1. Nevýhodou tohoto uspořádání byla ovšem skutečnost, že nebylo technicky možné zajistit této dodatečně vestavěné hlavě přítlak pásku, což se mohlo při provozu projevit nedokonalým stykem pásku s hlavou, který navíc mohl být ještě ovlivněn nedostatkem v rovnoměrnosti tahu právě navijecí spojky, neboť přítlak pásku závisel pouze na tomto tahu, protože hlava byla umístěna až za hnacím hřídelem. Praktické zkoušky však kupodivu prokázaly, že při používání jakostních záznamových materiálů AGFA, BASF, SCOTCH apod. nedocházelo k žádným závadám ve styku pásku s hlavou. Situace se podstatným způsobem zhoršila, jakmile byly použity pásy EMGETON DP 25 LN, u nichž toto řešení přinášelo mnoho potíží, neboť především hlavy bez přítlaku se v nedefinovaných intervalech zanažely nečistotami či jinými úsadami z uvedených pásků a velmi často docházelo k poruchám v záznamu. Proto bylo nutné hledat jiné, spolehlivější řešení, které by vyhovovalo i při používání pásků EMGETON.

2. Mazací hlava byla odstraněna z dráhy a byla ponechána v magnetofonu pouze jako indukčnost oscilátoru. Původní čtyřstopá hlava byla – stejně jako v předchozí úpravě – ponechána na původním místě a druhá čtyřstopá hlava byla umístěna na místě mazací hlavy. Tím byl zajištěn přítlak obou nahrávacích hlav, bylo ovšem nutno používat tzv. mazací pec, v níž byly před použitím mazání všechny pásy, neboť funkce mazání byla u takto upravené linky zrušena.

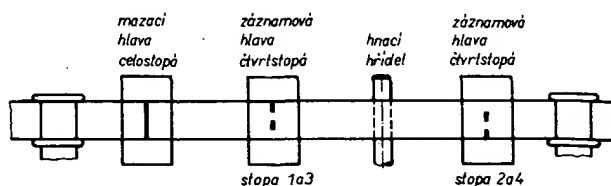
### Popis ostatních úprav

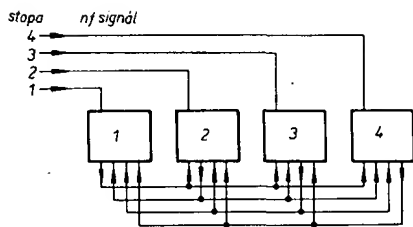
Nejprve bylo nutno zvětšit rychlost posuvu na dvojnásobek. Toho bylo dosaženo poměrně jednoduchou cestou, a to výměnou pryžové kladky motoru za kovovou o průměru 29 mm. Při této úpravě se ukázalo, že ani není třeba měnit hnací řemínek, neboť jeho pružnost se ukázala plně dostačující i při zvětšeném průměru kladky. Kromě popsaných úprav páskové dráhy, které byly čistě mechanickou záležitostí, bylo nutno rekonstruovat i elektrické obvody každého magnetofonu. Po předchozích zkouškách a prověření obvodů, napájejících záznamové hlavy jak nř signálem, tak předmagnetizačním proudem, byla zvolena následující úprava.

Magnetofony byly rozděleny do tří skupin vždy po čtyřech přístrojích (obr. 2). Každý magnetofon zpracovával nř signál jedné stopy a přiváděl jej do souhlasných systémů hlav tří zbývajících magnetofonů. Přitom každý předmagnetizační oscilátor napájel všechny čtyři systémy obou záznamových hlav vlastního magnetofonu.

Tomuto uspořádání porozumíme lépe na praktickém příkladě. Předpokládejme, že magnetofon 2 dostává ze zdroje informací druhé stopy. Záznamový zesilovač tuto informaci zpracuje a přivede ji na druhou stopu vlastní hlavy, ale také na druhé stopy hlav

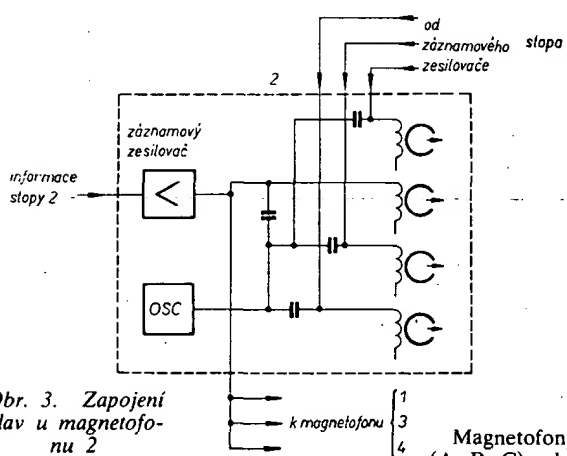
Obr. 1. Umístění přídavné hlavy mezi hnací hřídel a vodičí kolík





Obr. 2. Zapojení čtyř magnetofonů ve skupině

zbývajících tří magnetofonů. Každý záznamový zesilovač tedy napájí celkem čtyři systémy hlav stejnou informací u celé čtveřice magnetofonů (obr. 3). Naproti tomu oscilátor každého magnetofonu napájí předmagnetizaci pouze obě vlastní hlavy, a to všechny čtyři stopy.



Obr. 3. Zapojení hlav u magnetofonu 2

Každý magnetofon v příslušné čtveřici je tedy propojen vždy se třemi zbývajících přístroji. Protože však v každé čtveřici pracují oscilátory, jejichž kmitočty se zákonitě liší, bylo nezbytné nutně do přívodů napájení záznamových hlav zapojit paralelní odlaďovač předmagnetizačního kmitočtu pro každý systém hlavy (obr. 4). Tyto tři odlaďovače spolu s linearizačními odpory 3,9 kΩ byly umístěny (na pomocné destičce) přímo ke konektorům přístroje po odstranění počítačů. Přestože byl tedy každý záznamový zesilovač na výstupu zatížen čtyřikrát menší impedancí, nezměnilo se zkreslení při jmenovitém výstupním napětí, naopak zbyla ještě rezerva.

Pro napájení všech magnetofonů byly použity dva stereofonní přístroje B 43 (obr. 5),

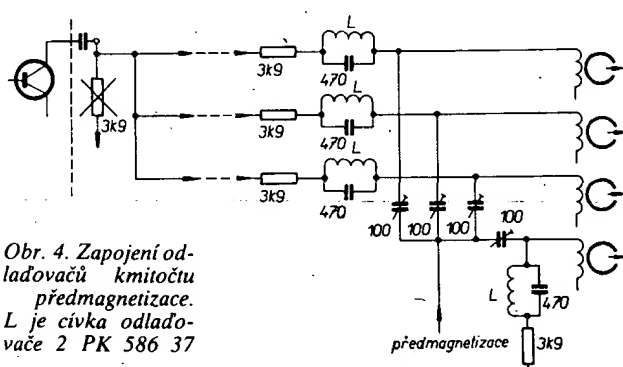
neboť bylo pochopitelné potřeba získat čtyři nf. kanály. Přitom stopy 1 a 3, tedy informace magnetofonu B 43-1 (originál A) byla normální nahrávka, avšak informace magnetofonu B 43-2 (originál B) byla nahrávka pozpátku. Toho bylo dosaženo zcela jednoduše při výrobě originálů pro přepisy, a to tak, že byl použit půlstopy záznam, který byl pak na obě stopy čtvrtstopého magnetofonu přepisován pozpátku (pro reprodukci byla místo horní zapojena dolní stopa a pásek byl reprodukován od červeného konce). Nahrávky byly pořizovány s rychlostí posuvu 9,5 cm/s a reprodukovány s posuvem 19 cm/s stereofonním magnetofonem.

U všech dvanácti přístrojů zařízení byly zapojeny konektory s kabelem dálkového ovládání tak, aby se po založení pásek a stisknutí záznamového tlačítka uvedly magnetofony do chodu teprve spínačem, umístěným u obou reprodukcí přístrojů, takže se zjednodušila obsluha zařízení.

mý; současně byla u uvedeného stroje závada zjištěna a odstraněna.

Magnetofony B 47 (až na závady v první době provozu) se ukázaly zcela nečekaně jako mimořádně spolehlivé a ve spojení se zahraničními záznamovými materiály byla poruchovost přepisového zařízení menší než 1 %. Situace se podstatně zhoršila při používání pásek EMGETON, u nichž docházelo k časově nedefinovatelnému mizení záznamu na pásku, k zhoršení jeho úrovně či ke zmenšení kmitočtového rozsahu. Při práci s těmito materiály bylo nutno zavést pravidelné čištění čel hlav (což u zahraničních pásek nebylo vůbec nutné), ale ani tak nebylo možné závady vzniklé špatnou kvalitou pásek zcela vyloučit a bylo tedy nutno věnovat mnohem více času kontrole.

Na závěr je třeba upozornit na to, že při uvádění záznamové linky do provozu byl rozhodujícím činitelem čas a proto nebyly u přístrojů upravovány elektrické obvody

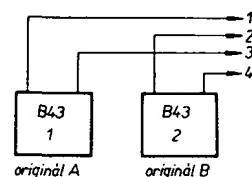


Obr. 4. Zapojení odlaďovačů kmitočtu předmagnetizace. L je cívka odlaďovače 2 PK 586 37

Magnetofony byly rozděleny do tří skupin (A, B, C) a každý byl označen číslem, jež odpovídalo stopě, kterou zesiloval jeho záznamový zesilovač a jejíž úroveň záznamu také ukazoval jeho indikátor vybuzení.

V přepisové praxi pak byly stanoveny i požadavky namátkové kontroly tak, aby se s co největší pravděpodobností vyloučila možnost expedice vadných záznamů, aby se však také v případě zjištěné závady daly vadné záznamy vyřadit a současně určit vadný stroj. Hotové záznamy byly proto skládány do vhodné upravených zásobníků tak, aby tvořily dvanáct sloupců, každý sloupec od jednoho stroje. Namátkové kontroly se prováděly vždy po deseti kolech přepisu, a to u všech strojů vždy desátý pásek. Pokud v nahrávce nebyla zjištěna závada, byly i předchozí nahrávky těchto strojů považovány za vyhovující. Pokud byly při kontrole zjištěny nedostatky, kontroloval se sloupec zpětně, až se vyloučily všechny vadné zázna-

makce. Protože linka byla určena výhradně pro záznam kursů a nikoli hudebních nahrávek, byl kmitočtový rozsah (i průběh) do kmitočtu 8 kHz zcela postačující. Jinak ovšem nečiní žádné potíže změnit především rezonanční obvod, zdůrazňující vysoké kmitočty v záznamových zesilovačích, a rezonanci posunout nad 20 kHz, aby výsledná reprodukční charakteristika pořízeného záznamu byla i v tomto směru uspokojující.



Obr. 5. Zdroj nf signálu pro záznamové zařízení

## Měřicí měnič nesinusových proudů

Firma Burr-Brown využila termoelektrického jevu k měření střídavých proudů libovolného průběhu. Měřený proud vyhřívá odpor úměrně své efektivní hodnotě. Odpor pak ovládá emitorové napětí tranzistoru. Jeho kolektorový proud, který ovládá měřidlo, je úměrný efektivní hodnotě měřeného nesinusového proudu. Prozatím se vyrábějí 2 druhy tohoto termoelektrického měniče pod označením 4130K a 4130J pro kmitočtový rozsah 14 Hz až 100 kHz. sn-

Radio, Fernsehen, Elektronik č. 12/74

## Počítač pěstuje krystaly

Pracovníci Sovětské akademie věd použili s úspěchem v Krystalografickém ústavu samočinného počítače při pěstění umělých krystalů. Počítač nastaví a udržuje optimální podmínky, jako teplotu a dobu růstu, čímž se dosáhne velké přesnosti a stejných rozměrů krystalů safíru, rubínu, granátu aj. Např. některé monokrystaly vyžadují k svému růstu dlouhodobé udržování vysoké teploty 1500 až 2000 °C. Výsledkem je i neobyčejná čistota a stejnorodost vypěstěných krystalů. -sn-

Radio, Fernsehen, Elektronik č. 13/74

## Kapesní indikátor hluku

Má tvar hůlkové kapesní svítilny a slouží jako snadno přenosný měřič a hlídač dovolené úrovně hluku. Snímačem je zabudovaný kondenzátorový mikrofon, jehož napětí zesilují integrované obvody. Napájejí se z vestavěné baterie. Překročení nastavené hladiny zvuku signalizuje rozsvícení světelné diody. Lze sledovat i zcela krátkodobé zvukové špičky. Tento praktický pomocník v boji proti hluku je výrobkem firmy Felten & Guilleaume. -sn-

Radio, Fernsehen, Elektronik č. 14/74

# Elektronické vratkany

**Ing. J. Svačina, V. Valčík**



## Technické údaje

**Maximální znějící rozsah:**

6 oktáv, Fis = 92,5 Hz  
až f<sup>s</sup> = 3 587,6 Hz.

*Rozsah manuálu:*

c až f<sup>2</sup>, 54 kláves.

### Rejstříky:

možnost přepínání  
dvou volných skupin  
po osmi rejstřících + 2  
pevné kombinace (plé-  
no), jako samostatný  
doplnek monofonní  
glizandový manuál.

*Řídící tónové generátory:*

12 + 1 teplotně kompenzovaných astabilních klopných obvodů.

**Děliče kmitočtu:**

(60 + 3) IO  
MH7472.

*Spínací systém:*

elektronické spínače  
(162 × KC508).

Počet aktivních  
prvků:

63 integrovaných obvodů MH7472, 195 tranzistorů.

Počet pasívných  
prvků:

58 diod, 692 odporů,  
27 trimrů a potencio-  
metrů, 120 kondenzá-  
torů.

**Efekty:**

sustain, echo, perkuse,  
glizando, vibrato, tre-  
molo.

**Napájecí napětí:**

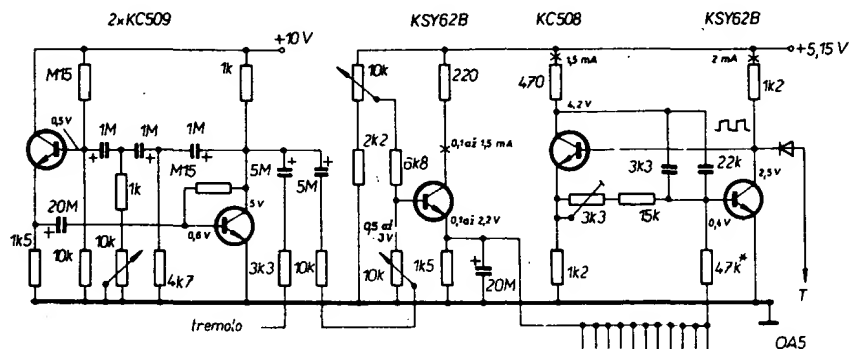
+ 5,15 V, + 10 V.  
- 10 V, - 20 V (stabilizovaný síťový zdroj).

**Rozměry:**

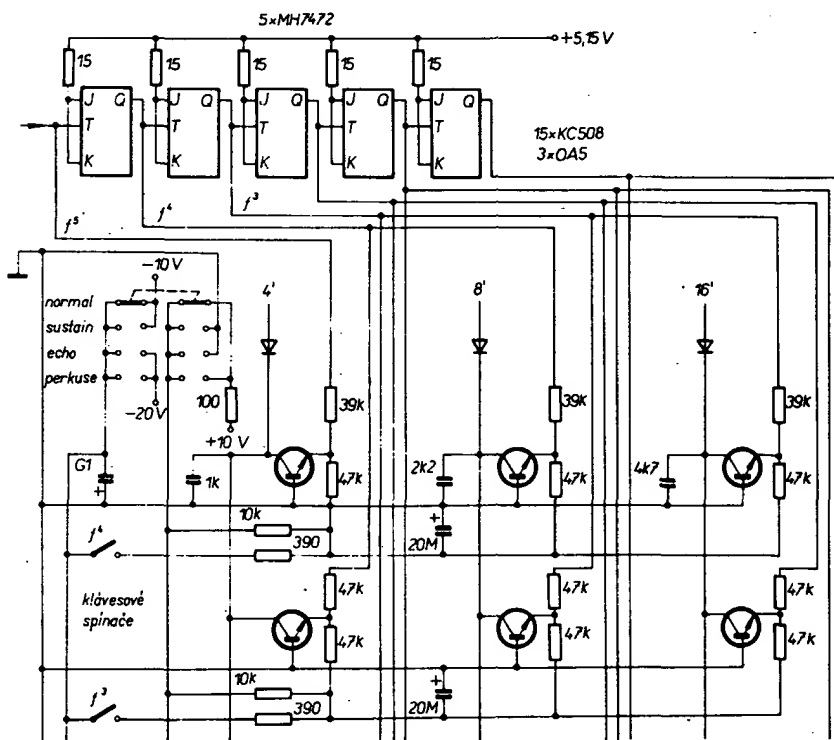
780 × 510 × 160 mm.

**Hmotnost:**

20 kg



**Obr. 1. Zapojení vibráta, společného ladění, generátoru**



**Obr. 2. Děliče a elektronické spínače**

## Popis zapojení

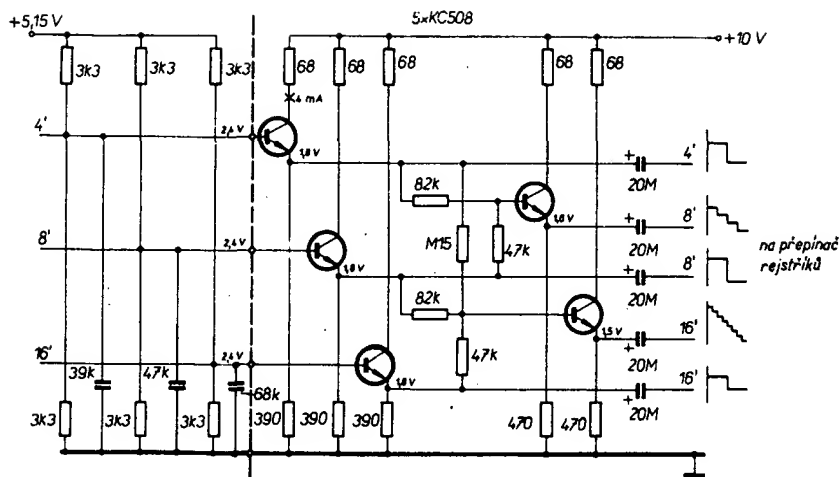
Základní částí malých přenosných elektronických varhan je dvanáct oscilátorů RC. V podobném druhu nástrojů se s oblibou používají oscilátory LC, které vykazují malou teplotní závislost kmitočtu ( $d f / f_0 = 0,2\text{‰}$  v rozsahu teplot 0 až 40 °C) při dobře stabilizovaném zdroji. Nedostatkem těchto oscilátorů je však zdlouhavá výroba cívek, nutnost jejich pečlivého stínění (velký rozptyl magnetického pole), nedostatek vhodných kostríček. To všechno nás vedlo k výrobě oscilátorů RC, které jsou i cenově přístupnější při stejných požadavcích na stálost kmitočtu. Vyzkoušeli jsme jeden méně známý stabilní klopný obvod, který se převážně používá jako nesymetrický. Zapojili jsme jej jako symetrický za účelem teplotní stabilizace kmitočtu. Obvod je osazen dvojicí tranzistorů KC508 a KSY62B (obr. 1). Průběh jeho výstupního napětí se velmi blíží potřebnému obdélníkovitému průběhu a proto lze již za oddělovací diodou OA5 dělit kmitočet pomocí integro-

(KSY62B). Obvod se nezúčastňuje teplotní kompenzace. Všechny regulační prvky obvodu jsou vyvedeny na čelní panel a umožňují měnit zdvih vibrátu a kmitočet všech oscilátorů současně. K dosažení souběhu je nutno některé odpory 47 kΩ v obvodcích bází KSY62B vybírat. Velikost ladící kapacity určujeme při poloze běžce drátového potenciometru 3,3 kΩ v polovině dráhy. Tranzistorový oscilátor a společného regulátoru musí být první jakosti.

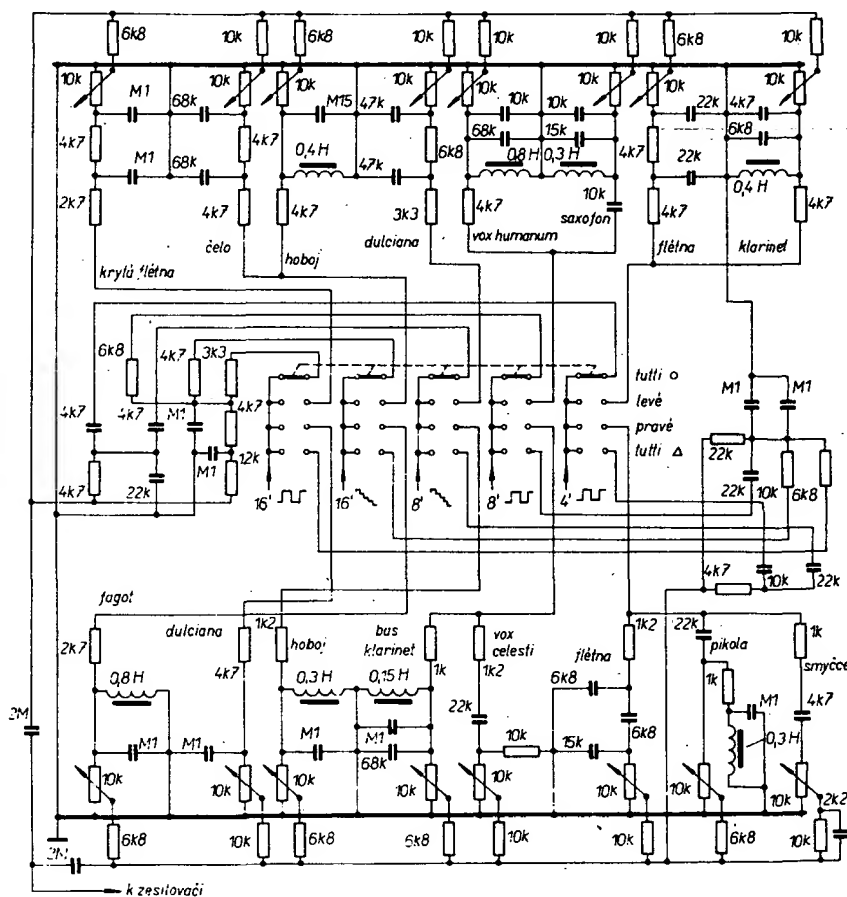
Generátor vibrátového kmitočtu 5 až 12 Hz byl již popsán v AR 7/75. Navíc je z generátoru odvozen efekt tremolo. Tento vibrátový generátor pracuje i s tranzistory druhé jakosti a jeho výstupní signál má sinusový průběh.

Z oscilátorů vedeme signál přes diodu OA5 do integrovaných děličů (obr. 2). Signál obdélníkovitého průběhu z výstupu děličů přivádíme na elektronické spínače, a to přes odpory 39 kΩ na emitory tranzistorů KC508 v zapojení se společnou bází. Zapojení má jako spínač dobré vlastnosti, potlačení nežádoucích signálů je velmi jakostní. Tranzistor je otevírán jediným klávesovým kontaktem, kterým se přivádí záporné napětí přes odpor 390 Ω a odpor 47 kΩ do emitoru. Za odporem 390 Ω je připojen elektrolytický kondenzátor o kapacitě 20 μF, který umožňuje jak prodlužování, tak i krácení vydávaného tónu. Současně brání vzniku přechodných jevů (kliků) spolu s odporem 390 Ω, který způsobí opožděné zaznění tónu. Zvětšením tohoto odporu až na 1 kΩ by bylo možné získat náběh tónu jako u píšťalových varhan. Za odporem 300 Ω je dále připojen odpor 10 kΩ ze společné sběrnice, která slouží k vytvoření efektů, jako jsou sustain, echo, perkuse. Uzemníme-li tuto sběrnici v poloze přepínače „sustain“ nebo „echo“, prodlužuje se tón tím, že kondenzátor 20 μF se po puštění klávesy pomalu vybíjí. V poloze „normal“ přivádíme na tuto sběrnici napětí +10 V. Kondenzátor 20 μF se v tom případě vybíjí velmi rychle, což odpovídá normální hře bez dozvuku. Krácení tónu dosáhneme tím, že sběrnice je napájena přes přepínač v poloze „perkuse“ napětím -20 V přes odpor 2,2 kΩ, zapojený v přívodu tohoto napětí. Společná sběrnice pro klávesové spínače je blokována elektrolytickým kondenzátorem 100 μF/70 V. Současně je na společnou sběrnici pro dosažení efektů přiváděno napětí +10 V, které způsobí, že při stisku klávesy se elektrolytický kondenzátor 100 μF vybíjí za velmi krátkou dobu a napětí -20 V zavedené na klávesové spínače přitom zanikne. Krácení tónu je dáno kapacitou kondenzátoru a sériovým odporem ve větvi -20 V. Tento jednoduchý způsob výroby efektů v praxi velmi dobře vyhovuje, má však malou nevýhodu; doby krácení a prodlužování tónu jsou ovlivněny počtem současně stisknutých kláves. Čím více tónů současně stiskneme, tím kratší jsou dosahované časy. Zvolili jsme časy, které vyhovují při stisknutí kláves, odpovídajících plnému akordu.

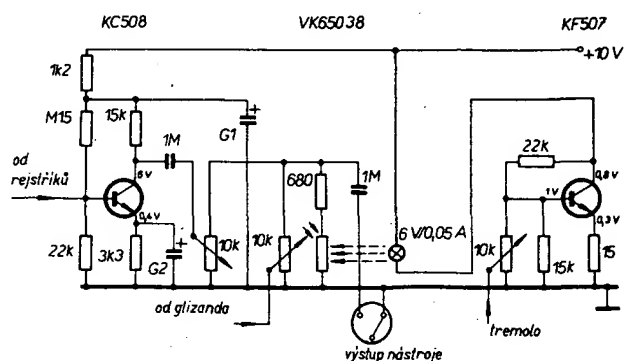
Kolektor spínacího tranzistoru je připojen na společnou sběrnici, ze které odvádíme signál přes diodu OA5. Jediným klávesovým spínačem jsou řízeny tři tranzistorové spínače, které představují (na svých kolektorech) tři stopové výšky, jež se pak odvádějí přes diody OA5 k tvarovacímu signálu. Sběrnice kondenzátory 1 nF, 2,2 nF a 4,7 nF slouží k zmenšení strmosti hran obdélníkovitého signálu, které by mohly pronikat zejména u vysokých tónů i uzavřeným tranzistorem. Táž dioda OA5 slouží jednak jako oddělovací, dále jako přívod napětí pro kolektory a také ke zlepšení poměrů při spínání. Dioda



Obr. 3. Tvarovač signálu. Odpory děličů v bázích tranzistorů pro vytváření schodovitého průběhu mohou být při zachování dělicích poměrů voleny v rozmezí odporů, uvedených jednak na schématu, jednak u zapojení na desce plošných spojů v obr. 8. Výhodnější jsou menší odpory. Čárkovaná čára označuje konec desky s plošnými spoji



Obr. 4. Rejstříková část

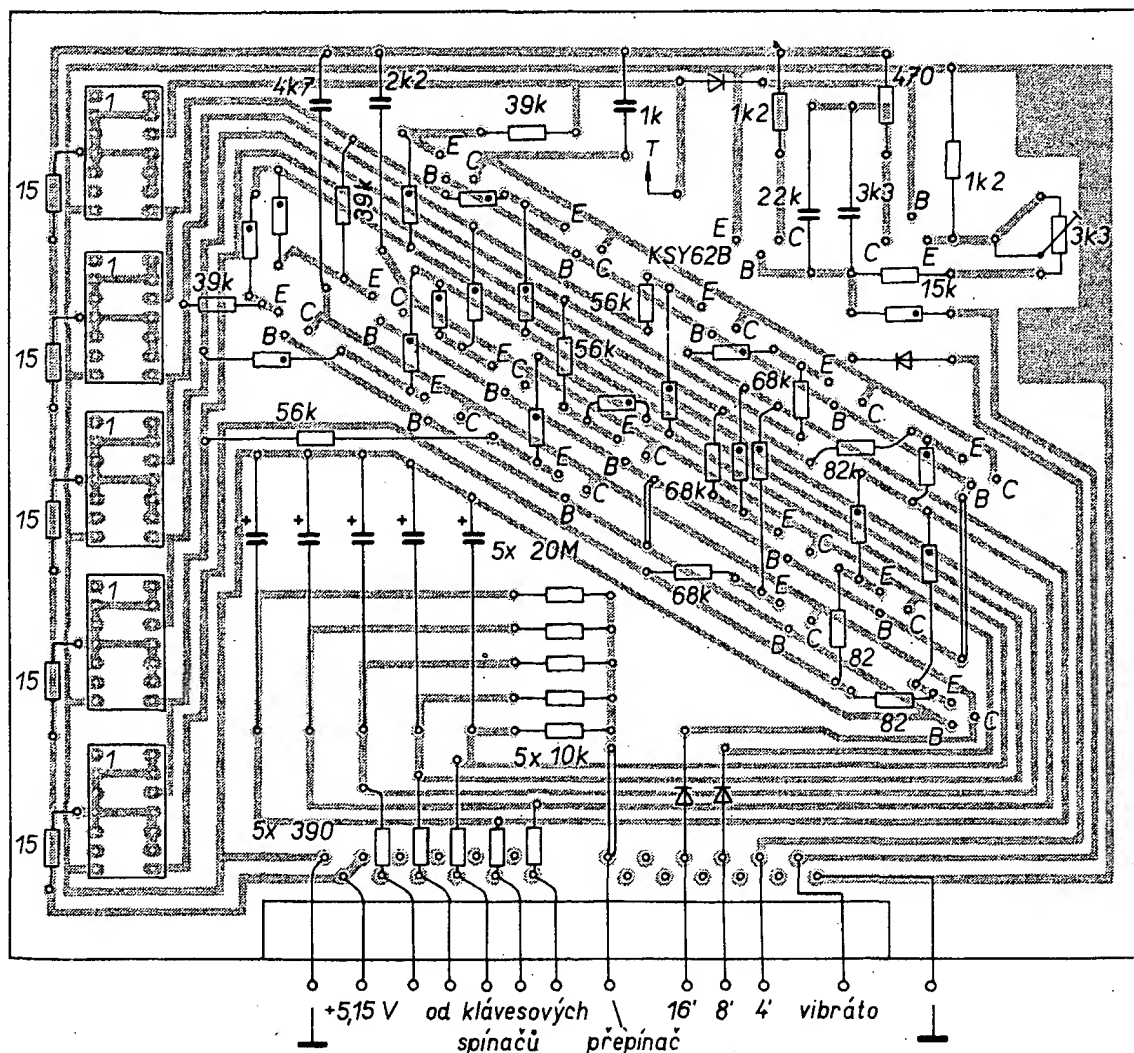


Obr. 5. Tremolo a výstupní zesilovač

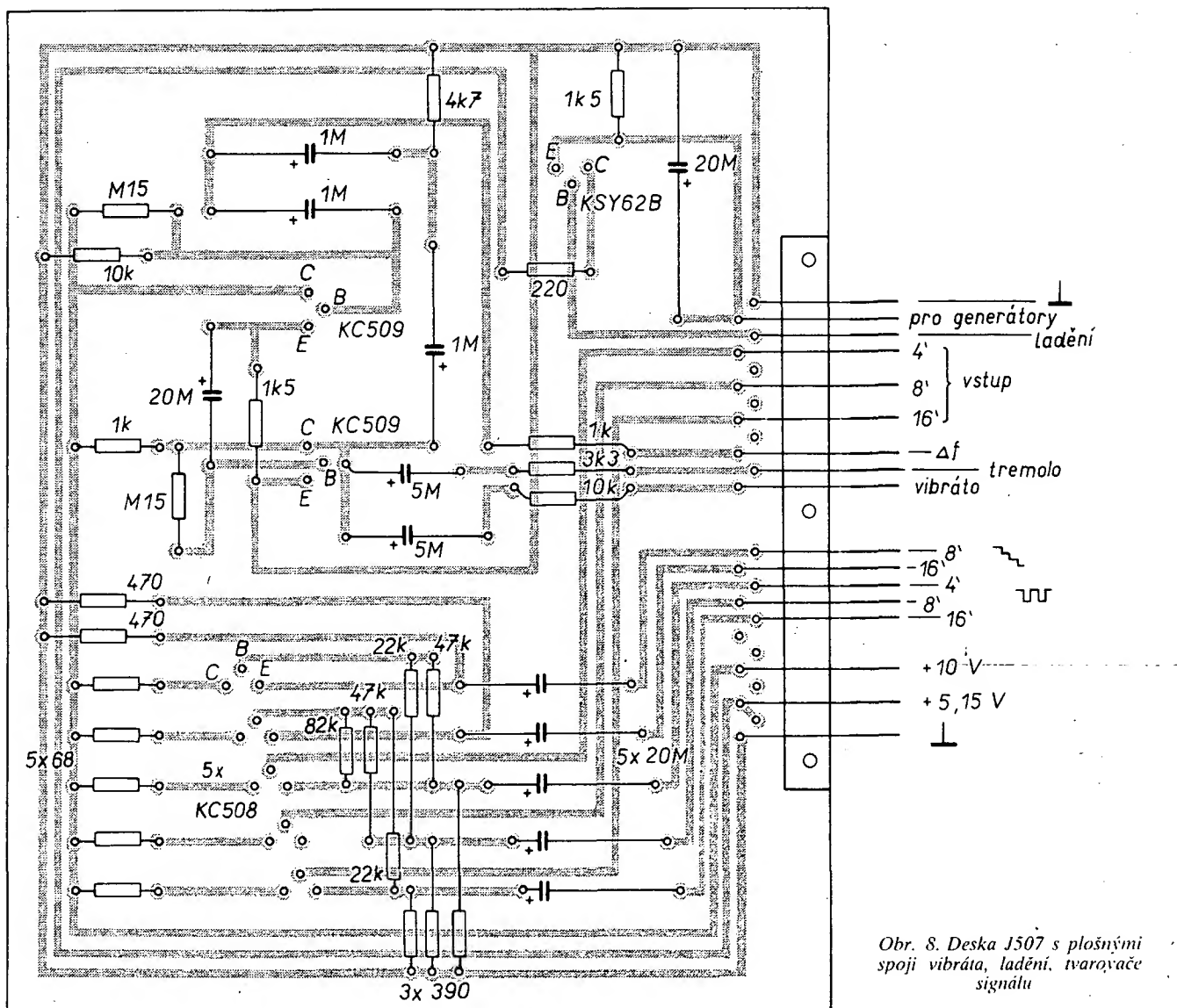
Další dva tranzistory, zapojené jako emitorové sledovače, slouží k vytvoření schodovitého průběhu, bohatého i na sudé harmonické, jež potřebujeme pro některá zabarvení tónů. Počet sběrnic tak rozšíříme na pět. Všechny signály vedeme k dalšímu zpracování do rejstříkových filtrů (obr. 4). Všech pět sběrnic je vedeno přímo na společný přepínač rejstříkových kombinací, který má čtyři polohy a umožňuje rychlé přepnutí čtyř příprave-



Rejstříky jsou běžné obvody  $RC$  a  $LC$ , naladěné do příslušného kmitočtového pásma napodobovaného nástroje. V krajních polohách přepínače rejstříkových kombinací se připojí pevně vyladěná pléna, které je v levé poloze „kulaté“ a v pravé poloze ostře



18



Obr. 8. Deska J507 s plošnými spoji vibráto, ladění, tvarovače signálu

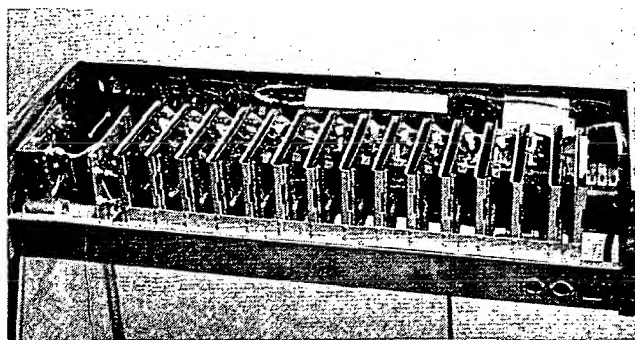
znějící. Levé i pravé rejstříky pracují do své samostatné sběrnice. Obě sběrnice jsou připojeny přes kondenzátor o kapacitě  $2 \mu\text{F}$  na vstup zesilovače (obr. 5).

Zesilovač je osazen tranzistorem KC508 v zapojení se společným emitorem. Paralelně k výstupnímu potenciometru je připojen přívod od glizandového doplňku a odpor  $680 \Omega$  v sérii s fotoodporem VK 650 38, který vytváří efekt tremola. Žárovka pro

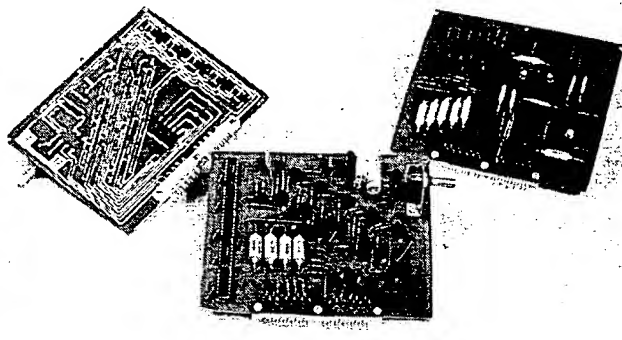
osvětlování fotoodporu  $6 \text{ V}/0,05 \text{ A}$  je zapojena v kolektoru tranzistoru KF507 a bliká v rytmu signálu o kmitočtu 5 až 12 Hz z výstupu oscilátoru vibráto.

Jako doplněk je k nástroji vyroben oscilátor podobný řídicímu generátoru (obr. 6). Tvoří třináctou samostatnou jednotku. Emitorový odpor tranzistoru KC508 je navinut odporovým drátem na dřevěné kostře uložené pod manuálem. Odpor je navinut tak, aby

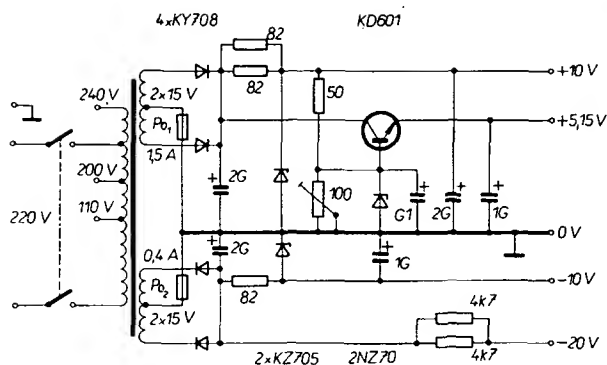
výška tónu při stisku ocelového pásku byla stejná, jako je výška tónu nad ním ležící klávesy. V místě klávesy c zazní tedy při stisku ocelového pásku tón c. Velikost odporu v příslušném místě musí být předem nastavena (nejlépe odporovou dekádou). Přesné doladění je provedeno na nejnižším kmitočtu trimrem  $470 \Omega$  a na nejvyšším tónu drátovým potenciometrem  $3,3 \text{ k}\Omega$ . Přes odpor  $0,15 \text{ M}\Omega$  přivádíme závěrné napětí na



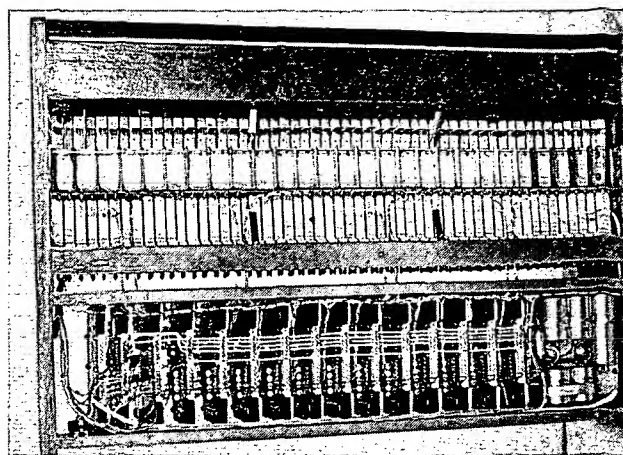
Obr. 9. Osazené desky s plošnými spoji



Obr. 10. Upevnění desek s plošnými spoji



Obr. 11. Zapojení síťové části



Obr. 12. Pohled na přístroj zdola

kolektor tranzistoru KC508 a zajistíme tím vyřazení oscilátoru z provozu. Bez tohoto odporu by vznikalo nežádoucí rušení (oscilátor by kmital na nadzvukovém kmitočtu). Z výstupu generátoru jsou pak přes diodu OA5 buzeny tři IOMH7472, které vytvářejí nižší oktávy. Záměrně vytváříme na těchto filtrech různé průběhy (od pilovitého až po sinusový), neboť při směšování na potenciometrech 10 k $\Omega$  (s logaritmickým průběhem) vznikají zajímavá zabarvení. Na tento doplněk se dá stejně dobře basovat jako pískat, bubnovat či napodobovat malý bubínek a jiné nástroje jako pozoun, havajskou kytaru apod. Tento doplněk by byl vhodný i pro začátečníky jako samostatný hudební nástroj, kdybychom jej vybavili klávesnicí se spínači a příslušnými odpory. Tento doplněk není nutno řídit spolu s ostatními dvanácti generátory. Proto je obvod vibráta oddělen kondenzátorem o kapacitě 1  $\mu$ F.

### Konstrukce přístroje

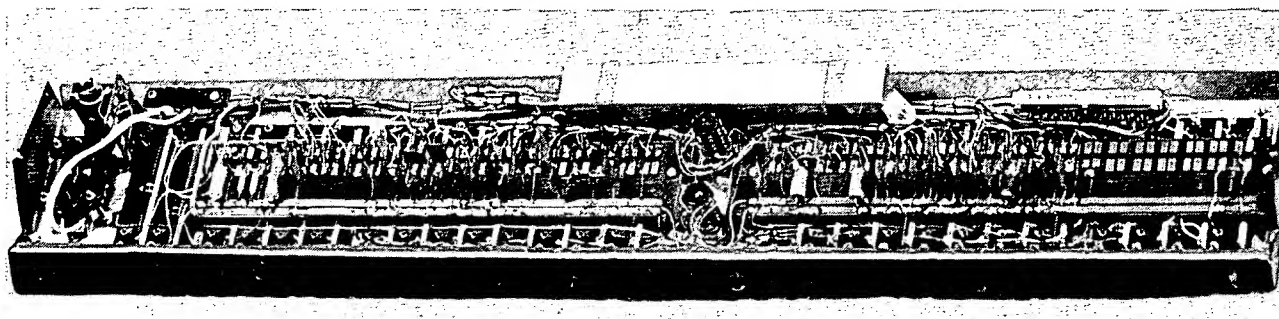
Součástky elektronické části jsou umístěny na deskách s plošnými spoji o rozměrech 150  $\times$  125 mm, opatřených ve spodní části 24 kolíkovým konektorem WK 46 264 (obr. 7, 8 a 9). Jsou stíněny plechem, který současně slouží jako držák. Uspořádání je dobře patrné z obr. 10. Z elektrického hlediska je velmi výhodné umístit generátor tónů včetně integrovaných děličů kmitočtu i spínačů na jedné desce, takže signál je veden přímo na tři sběrnice a nemůže dojít k nežádoucímu vyzařování signálu do okolí. V přístroji nemusí být použit ani jeden stíněný spoj. Nemusí být stíněny ani přívody na čelní panel (vzhledem k velmi nízké impedanci). Sdružením jednoho tónu na jedinou desku je

zjednodušeno celkové zapojení nástroje, které vyžaduje minimální počet vnitřních spojů. Zapojení bylo vyřešeno tak, aby bylo možno použít aktivní součástky druhé nebo třetí jakostní třídy. Všechny tyto aktivní součástky byly zakoupeny v prodejní součástce druhé jakosti TESLA Rožnov.

Zapojení síťového napájecího zdroje je na obr. 11.

Provedení a zapojení nástroje bylo vyzkoušeno; zařízení není náchylné k poruchám a při dobrých součástkách pracuje „na první zapojení“. Hodí se proto jak pro amatérskou, tak i pro tovární výrobu. Konstrukce nástroje je patrná z obr. 12 a 13.

Nástroj je pro svou jednoduchost velmi spolehlivý a pro množství různých efektů všestranně použitelný.



Obr. 13. Čelní panel zezadu, v krytu jsou umístěny všechny indukčnosti

### Kapesní digitální měřidlo

Firma Hewlett-Packard nabízí miniaturní číslicové měřidlo Multimeter 970A. Má tvar tlustší kuličkové tužky. Měří stejnosměrné a střídavé napětí a odpory rychle a přesně. Výsledek ukazují světelné diody s desetinnou čárkou a znaménkem polarity. Rozsahy jsou snadno přepínatelné. Měří ss napětí od 0,1 do 500 V s přesností  $\pm 0,5 \%$ , st napětí kmitočtu do 1 kHz od 1 do 500 V  $\pm 2 \%$  a od 1 do 3,5 kHz  $\pm 3 \%$ , odpory od 10  $\Omega$  do 10 M $\Omega$   $\pm 1 \%$ . Vstupní impedance je 10 M $\Omega$ . Přístroj se napájí z NiCd akumulátorku, pro nějž je v příslušenství malý nabíječ. —sn— Funkschau č. 22/73

### Časová komprese a expanze záznamu

Bez změny výšky hlasu a újm na srozumitelnosti mění reprodukční dobu magnetofonového záznamu zařízení Varispeech firmy Rogers-Stewart-Cox Ass., Ltd. v rozmezí 0,5 až 2,5 násobku původní délky. Časová komprese a expanze se děje elektronicky. Zvukové signály se mění na digitální tvar, který zpracovává malý počítač. Ten též provádí korekci výšky tónu podle původního vzorku. Pak přemění signál na analogovou formu a reprodukuje jej jako zvuk. Tak je možné beze ztráty srozumitelnosti a věrnosti hlasu zkrátit hodinovou řeč až na 24 minut. —sn— Radio, Fernsehen, Elektronik č. 15/74.

### Nová disková paměť

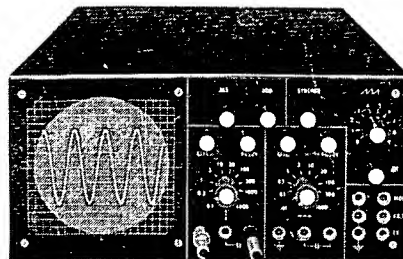
Diskette nazvala firma Innovex Corp. svou plochou paměťovou desku z plastického materiálu, opatřenou magnetickou vrstvou. Deska se vkládá do počítače v rámu, podobně jako kazeta do magnetofonů. Deska se však neotáčí. Na raménku nad ní krouží bezdotykově záznamová a snímávací hlava. Proti jiným deskovým pamětím má Diskette výhodu až 48 záznamových stop, na každé je 8 volitelných rozsahů. Kapacita paměti je 26 900 bitů v jedné stopě. Doba života hlav je asi 3000 pracovních hodin. —sn—

Radio, Fernsehen, Elektronik č. 12/74

# Měřicí technika

## Stavebnice osciloskopu

Ladislav Zedník



Osciloskop by neměl chybět v dílně žádného amatéra, který se chce elektronikou vážněji zabývat. Návod na stavbu osciloskopu byl v AR uveřejněn několikrát. Vždy se však jednalo o přístroj konstruovaný pro určitou obrazovku a v tom je kámen úrazu. Použitý typ obrazovky se zpravidla nepodaří sehnat. Jiná obrazovka má i jiné rozměry, proto je nutno měnit uspořádání přístroje, volit jiné rozměry desek s plošnými spoji atd. Kdo chce stavbou osciloskopu získat pouze dobře fungující přístroj pro svoji práci v jiném oboru (například v oblasti Hi-Fi techniky), dělá mnoho zbytečné práce navíc a nemá-li dostatek zkušeností, riskuje i to, že vlastnosti hotového přístroje nebudou odpovídat vynaložené práci a finančním nákladům. V popisované stavebnici osciloskopu není mnoho nového v elektrickém zapojení. Nová je stavebnicová koncepce, umožňující stavět přístroj v nejrůznějších uspořádání širokého okruhu i méně zkušených zájemců.

### Popis zapojení

#### Vertikální a horizontální zesilovač

Jak již bylo uvedeno, jsou oba zesilovače stejné (zapojení je na obr. 1, rozmístění součástek na desce je v obr. 2.). Oproti zapojení, popsanému v [1], byly provedeny jen drobné změny. Odpor potenciometru  $P_2$  byl

### Koncepce

Obvody osciloskopu byly rozděleny na samostatné funkční celky, umístěné na deskách plošných spojů jednotného rozměru  $90 \times 70$  mm:

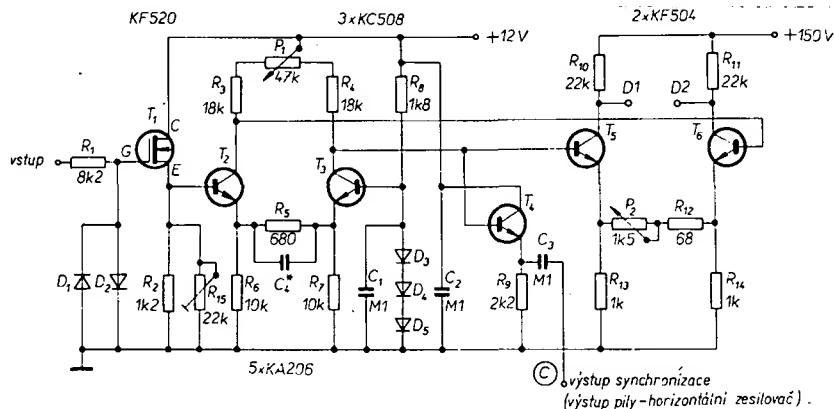
1. Zesilovač (zapojení podle [1]).
2. Generátor časové základny (zapojení podle [1]).
3. Generátor časové základny (zapojení podle [2]).
4. Kondenzátory časové základny.
5. Usměrňovače.
6. Usměrňovač vn pro obrazovku.
7. Obvody filtrace a stabilizace napájecího napětí 12 V.
8. Obvody filtrace a stabilizace napájecího napětí 150 V.
9. Vstupní děliče (odlišný rozměr desky  $115 \times 72$  mm).

Jak je z tohoto přehledu zřejmé, předpokládá se použití obrazovky se symetrickým vychylováním. Oba zesilovače (vertikální i horizontální) jsou stejné. Toto řešení zjednodušuje konstrukci a přináší i jiné výhody. Ve stejně zapojených zesilovačích jsou i stejné fázové poměry, což má význam při měřeních bez časové základny. Velký vstupní odpor horizontálního zesilovače (tranzistor FET na vstupu) nezatěžuje generátor pilovitého napětí, takže časová základna má výbornou linearitu.

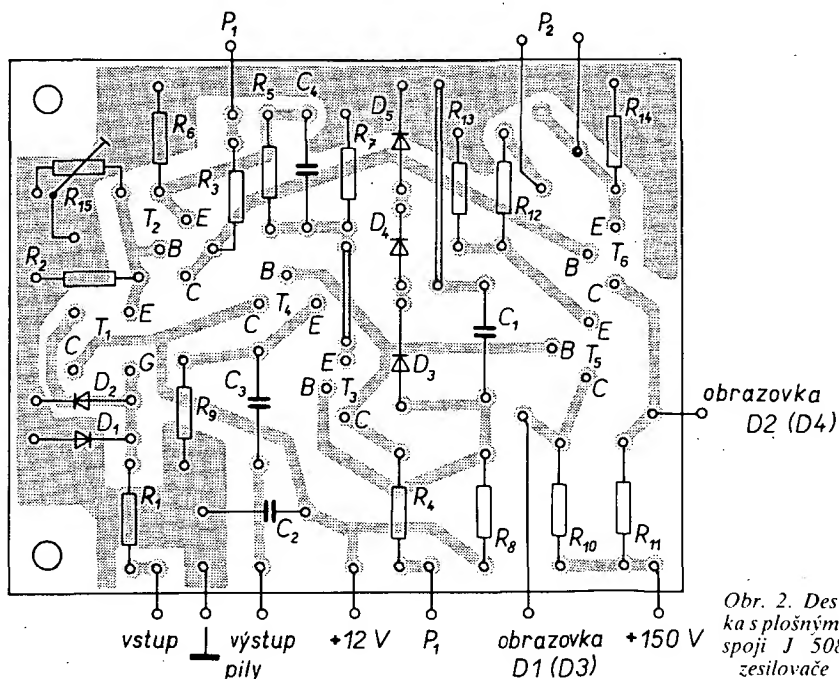
Stejně jsou i kompenzované vstupní děliče pro vertikální i horizontální vstup. Ukázalo se, že kompenzace vstupních děličů s dělicím poměrem řádově  $1 : 10\,000$  je nutná i v oblasti akustických kmitočtů, nemá-li být průběh zkoumaného napětí značně kmitočtové zkreslen.

Síťový zdroj je řešen s dostatečnou rezervou, což umožňuje použít i jiné zapojení zesilovačů s větším odběrem. S vhodnou obrazovkou lze postavit i dvoupaprskový osciloskop jednoduchým zdvojením bloku děličů, zesilovačů a časové základny.

Všechna napájecí napětí (mimo vn pro obrazovku) jsou stabilizována, což zajišťuje klidný obraz na stínítku. (Pro zajímavost uvádím, že při fotografování přístroje byla použita expozice 50 s a přesto je obrázek na stínítku ostrý.)

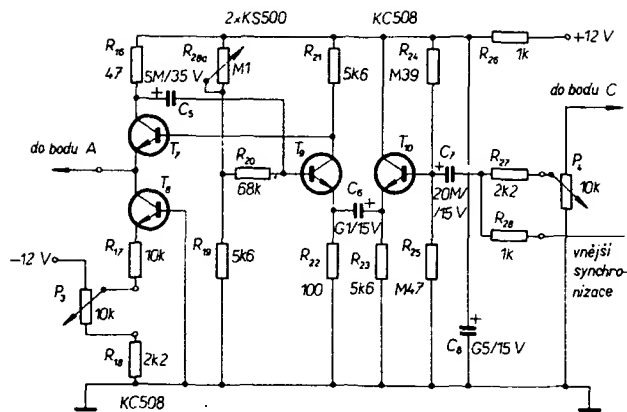


Obr. 1. Zapojení zesilovače



Obr. 2. Deska s plošnými spoji J 508 zesilovače

Obr. 3. Zapojení generátoru časové

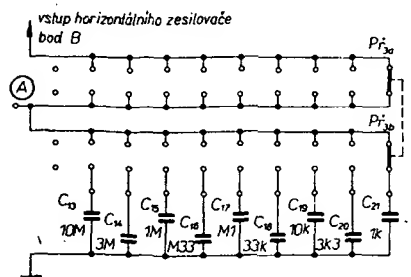


zmenšen na 1,5 k $\Omega$ . Místo dvou diod, zajišťujících předpětí báze tranzistoru  $T_3$ , jsou použity tři ( $D_3$  až  $D_5$ ). Na vstupu zesilovačů jsou zapojeny tranzistory KF520, které byly k dispozici. Zakoupené tranzistory KF504, KC508 je vhodné spárovat do dvojic a ty použít na místech  $T_2$ ,  $T_3$  a  $T_5$ ,  $T_6$ . Při ožiování zesilovačů je nutno věnovat pozornost tomu, aby při nastavení potenciometru  $P_1$  na střed odporové dráhy bylo na kolektorech koncových tranzistorů stejné napětí, a (což je zvláště důležité) aby toto napětí bylo asi o pět voltů větší, než je polovina napětí zdroje. Napětí se nastaví trimrem  $R_{15}$ , popř. změnou odporu  $R_2$ , dále použitím dvou nebo tří diod ( $D_3$  až  $D_5$ ), jejich výběrem a konečně (v malých mezích) změnou proudu tekoucího těmito diodami, tj. změnou odporu  $R_8$ . Volba odporu  $R_2$  je velmi kritická; je třeba nalézt takový odpor, aby trimr  $R_{15}$  mohl být nastaven v horní polovině svého celkového odporu.

Kmitočtový rozsah zesilovače pro pokles o 3 dB je asi 100 kHz. Použijeme-li kompenzační kondenzátor  $C_4$ , jehož kapacita je asi 2 nF (je nutno vyzkoušet), zvětší se kmitočtový rozsah asi na 150 kHz. Základní citlivost přístroje při použití obrazovky s citlivostí asi 1,6 mm/V je 100 mV pro rozkmit signálu přes celé stínítko. Při použití méně citlivé obrazovky je účelné nahradit tranzistor KF520 strmějším KF521, aby základní citlivost zůstala zachována. Osciloskop s uvedenými zesilovači je použitelný v oboru akustických kmitočtů. Na desku plošných spojů 90 × 70 mm je možno umístit i poměrně složitý obvod a požadujeme-li větší kmitočtový rozsah přístroje, lze použít jiné zapojení, například podle [2], a desky s plošnými spoji zesilovačů vyměnit.

### Generátor časové základny

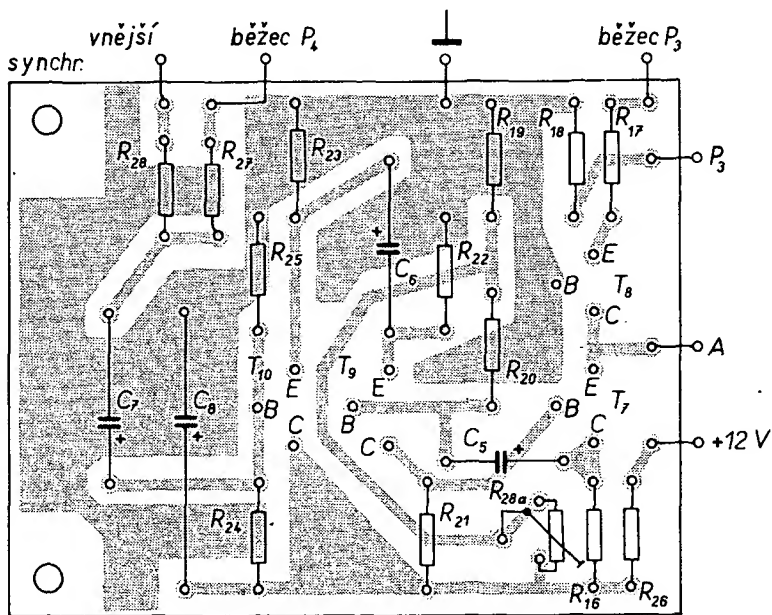
V přístroji bylo použito zapojení podle [2]. Zapojení je na obr. 3 a 4, desky s plošnými spoji jsou na obr. 5 a 6. Místo původních tranzistorů KSY62 jsou použity tranzistory KS500, které jsou levnější a v zapojení



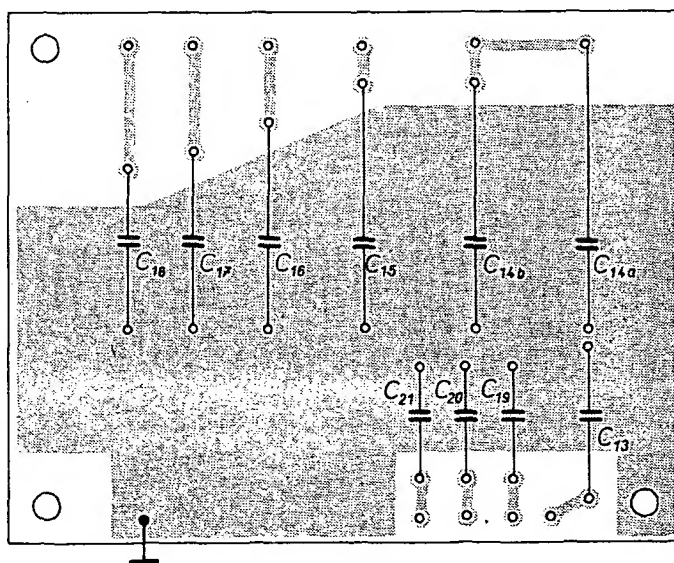
Obr. 4. Zapojení kondenzátorů časové základny

pracují dobře. Při uvádění do chodu nastavíme trimr  $R_{28a}$  tak, aby zkreslení bylo minimální a aby také kmitočet základny byl v požadovaných mezích. Odporů děliče  $R_{64}$  a  $R_{78}$  (obr. 7), jímž je generátor připojen na vstup horizontálního zesilovače, nastavíme výchylku paprsku v horizontálním směru přes celé stínítko. Součet odporů  $R_{64}$  a  $R_{78}$  by měl být asi 1 M $\Omega$ . Kapacitním trimrem  $C_{30}$  nastavíme nejmenší zkreslení průběhu základy při větších rychlostech.

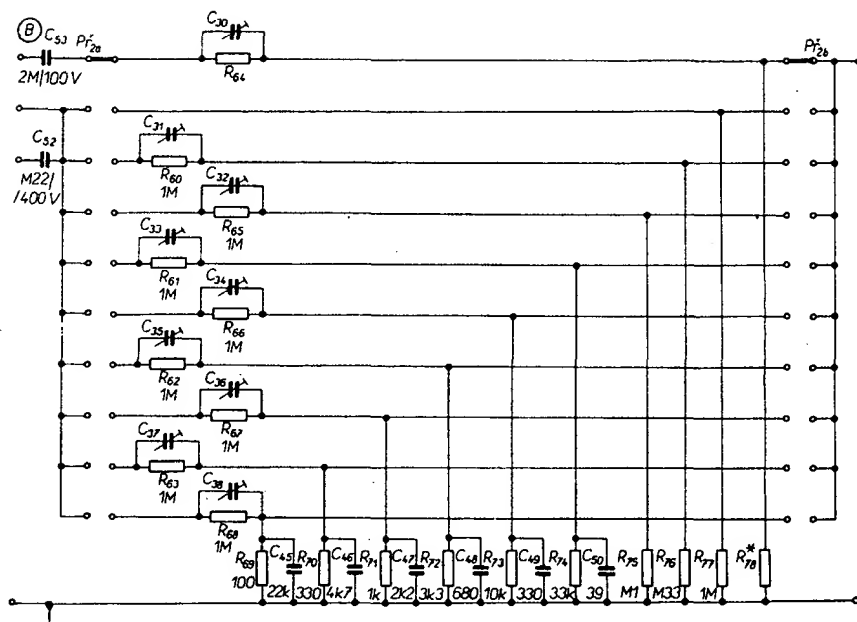
Alternativně je možno použít zapojení generátoru podle [1] (obr. 8). Příslušná spojovací deska je na obr. 9, v popisovaném přístroji však nebyla vyzkoušena. Za zmínku snad ještě stojí to, že deska s generátorem podle [2] byla použita ke zdokonalení staršího elektronkového osciloskopu. I tady se generátor plně osvědčil a přispěl ke značnému zlepšení funkce přístroje.



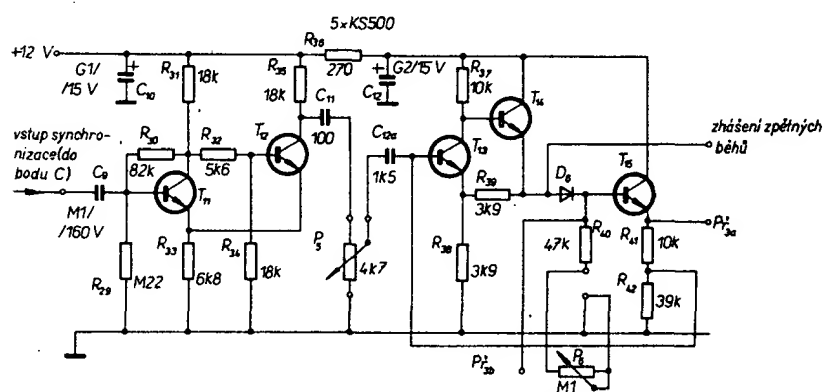
*Obr. 5. Deska s plošnými spoji J 509 generátoru časové základny*



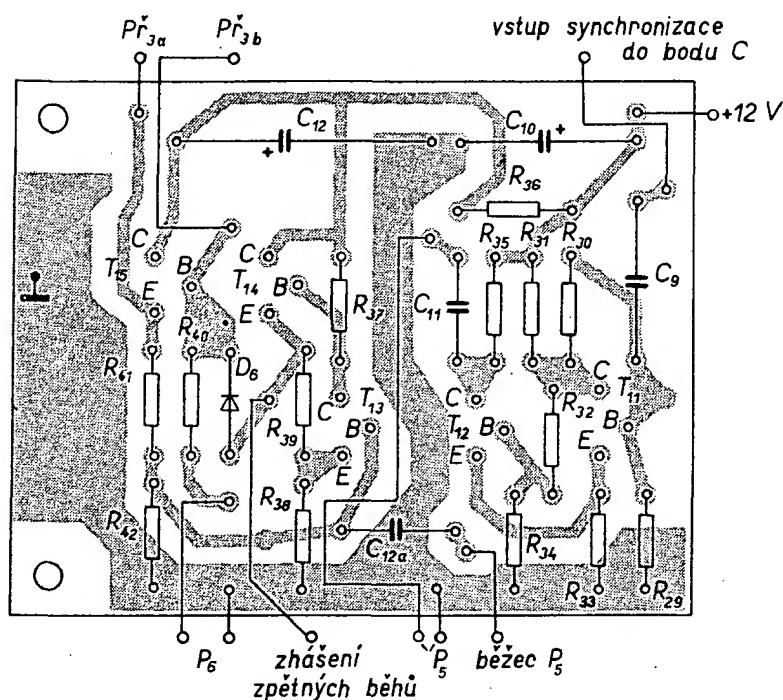
Obr. 6. Deska s plošnými spoji J 510 kondenzátorů časové základny



Obr. 7. Zapojení vstupního děliče horizontálního zesilovače



Obr. 8. Zapojení generátoru časové základny podle [1]



Obr. 9. Deska s plošnými spoji J 511 pro generátor časové základny podle obr. 8

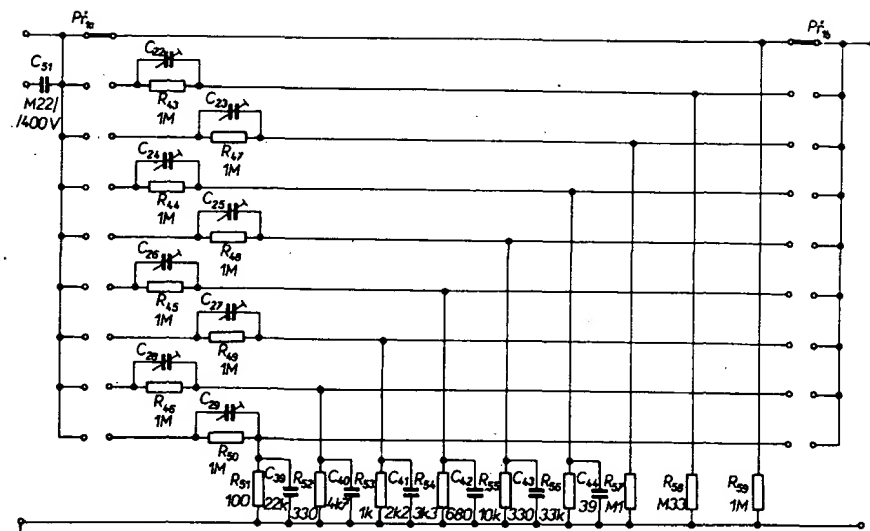
### Vstupní děliče

Vstupní děliče jsou v obvyklém zapojení (obr. 7 a 10, deska s plošnými spoji je na obr. 11). Bez kompenzace děličů na nejmenších rozsazích (od 0,1 V) integruje (hrana obdélníkového impulsu je zaoblená). Asi na třetím nebo čtvrtém stupni není průběh zkreslen a na větších rozsazích děličů derivuje (na přední straně impulsu se objevuje překmit). Je to způsobeno tím, že na citlivějších rozsazích převažuje vstupní kapacita zesilovače, na méně citlivých rozsazích naopak kapacita přepínače a spojů, působící paralelně k odporu  $R_{43}$  až  $R_{68}$ , popř.  $R_{60}$  až  $R_{68}$ . Při kompenzaci děliče musíme dosáhnout stavu, kdy  $C_1 R_1 = C_2 R_2$ , přičemž  $R_1$ ,  $R_2$  je příslušná dvojice odporů děliče a  $C_1$ ,  $C_2$  jsou celkové kapacity připojené paralelně k těmto odporům. Na místě  $C_{22}$  až  $C_{38}$  jsou použity skleněné doladovací trimry, zapojené spodní stranou do plošného spoje. Odpory  $R_{43}$  až  $R_{50}$ ,  $R_{60}$  až  $R_{68}$  jsou jedním vývodem připájeny do plošného spoje a druhým na pájecí očka příslušných kondenzátorů. Druhá pájecí očka kondenzátorů slouží pro jejich spojení s přepínačem  $P_{16}$  nebo  $P_{17}$ . Kondenzátory  $C_{39}$  až  $C_{50}$  jsou připojeny se strany plošného spoje. Udané kapacity jsou informativní; je nutno je vyzkoušet. Pro jednotlivé vstupy jsou na přední stranu přístroje vyvedeny zdířky. Není to řešení dokonalé. Při měření obvodů s větší impedancí se může do měřicích kabelů indukovat brum. Výhodnější je použít souosé kabely s konektory. Rozhodnete-li se pro toto řešení, které je však nákladnější, vykompenzujte vstupní děliče při připojených souosých kabelech, aby byla do kompenzace zahrnuta i kapacita kabelů.

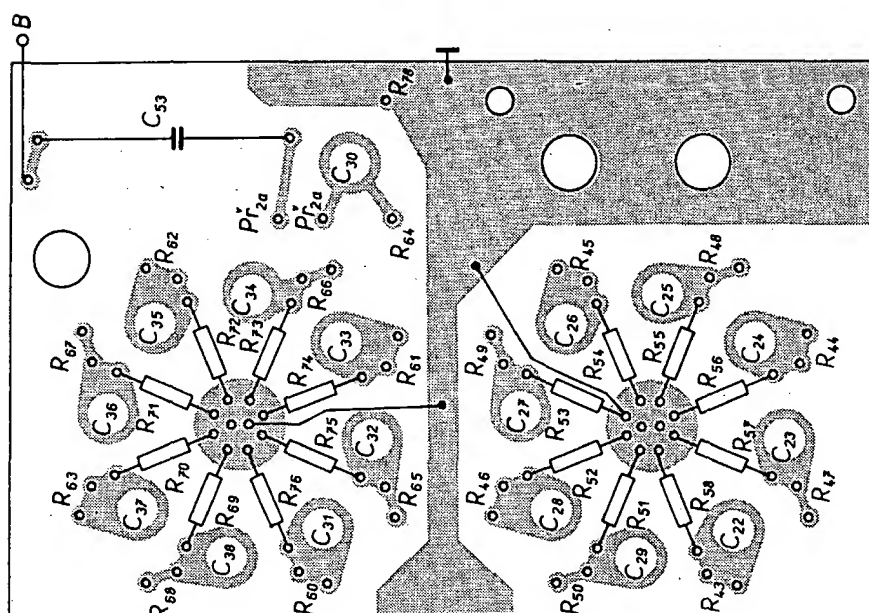
### Obrazovka

Při konstrukci amatérských osciloskopů byly zpravidla používány malé obrazovky o  $\varnothing$  7 cm. Kromě rozměrů asi hrála roli i skutečnost, že u větších obrazovek je zpravidla předepisováno velké anodové napětí (i několik tisíc voltů) a udávaná vychylovací citlivost je malá. Začneme-li v tomto směru experimentovat, zjistíme, že při postačující ostroty a jasů stopy lze anodové napětí podstatně snížit (až na 1 až 1,5 kV) a že se přitom zvětší citlivost obrazovky natolik, že je možno použít i koncové zesilovače s tranzistory KF504. V popisovaném přístroji byla použita obrazovka DG10-54 s průměrem stínítka 100 mm. Napětí  $U_{a2} = 1000$  V a  $U_{a3} = 1500$  V, přičemž potenciál vychylovacích desek je na úrovni napětí  $U_{a2}$ . Při tomto anodovém napětí má obrazovka citlivost asi 1,6 mm/V pro vertikální desky a 1,4 mm/V pro horizontální desky. Při této citlivosti obrazovky by bylo dokonce možno zmenšit napájecí napětí koncových stupňů zesilovačů, zmenšit odpory koncových tranzistorů a rozšířit tak přenášené kmitočtové pásmo. V přístroji byly dále vyzkoušeny obrazovky 8LO29 a B10S3. Vychylovací citlivost byla u těchto obrazovek menší, ale i tak bylo možno snadno dosáhnout rozkmitu paprsku přes celé stínítko. Lze předpokládat, že při napájecím napětí koncových stupňů 150 V je možno v přístroji použít většinu symetrických obrazovek se stínítkem o  $\varnothing$  70, 100 i 135 mm (tedy i naši obrazovku 12QR50).

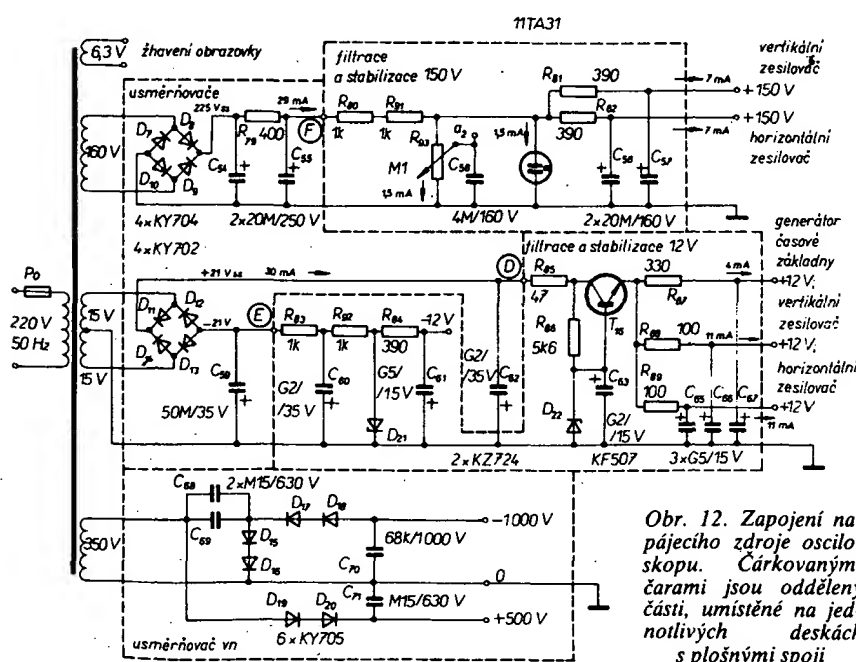
Snad bude vhodné uvést několik všeobecných zásad, podle nichž lze odhadnout některé vlastnosti obrazovky i při její zběžné prohlídce. Jak již bylo uvedeno, závisí citlivost obrazovky na velikosti použitého anodového napětí; záleží na přesnosti a propracování zaostřovacího systému. S dokonalejším zaostřovacím systémem je elektronkový paprsek ostrý a stopa dostatečně jasná i při



Obr. 10. Zapojení vstupního děliče vertikálního zesilovače



Obr. 11. Deska s plošnými spoji vstupních děličů



Obr. 12. Zapojení napájecího zdroje osciloskopu. Čárkovanými částmi jsou odděleny části, umístěné na jednotlivých deskách s plošnými spoji

menším anodovým napětí. Citlivost je též závislá na geometrii vychylovacích desek. Jsou-li vychylovací desky delší, déle působí na elektronový paprsek vychylující elektrostatické pole a vychýlení je větší. Konečně záleží citlivost také na poměru průměru stínítka k délce obrazovky. Při stejném úhlu vychýlení paprsku je u delší obrazovky, jež má větší poměr délky k průměru stínítka, větší obrazek na stínítku při jinak stejných podmínkách.

#### Zdroj

Zapojení napájecích obvodů (obr. 12) je běžné a nepotřebuje bližší vysvětlení. Za zmínku snad stojí pouze to, že zdroj vysokého napětí pro obrazovku je zapojen jako ztrojnásobný napětí. Dvojnásobným napětím je napájena anoda  $a_2$  a trojnásobným  $a_3$ . Proti zemi má katoda obrazovky záporné napětí  $-1000\text{ V}$  a  $a_3 +500\text{ V}$ . Použijeme-li obrazovku bez  $a_3$ , je možno vypustit diody  $D_{19}$ ,  $D_{20}$  a kondenzátor  $C_{71}$ . Zdroj je pak zapojen jako zdvojnásobný napětí.

Síťový transformátor je navinut na jádru typu EI, střední sloupek má rozměry  $25 \times 25\text{ mm}$ . Je třeba věnovat pozornost dobré izolaci žhavicích vinutí pro obrazovku (musí snést s dostatečnou bezpečností anodové napětí obrazovky).

Síťový transformátor má tato vinutí:

primární

220 V – 1540 z, drát CuL o  $\varnothing 0,20\text{ mm}$ ;

sekundární

1. 350 V – 2500 z, drát CuL o  $\varnothing 0,08\text{ mm}$ ;

2. 160 V – 1150 z, drát CuL o  $\varnothing 0,18\text{ mm}$ ;

3.  $2 \times 15\text{ V}$  –  $2 \times 108\text{ z}$ , drát CuL o  $\varnothing 0,22\text{ mm}$ ;

4. 6,3 V – 46 z, drát CuL o  $\varnothing 0,6\text{ mm}$ .

Zdroj je sestaven na čtyřech deskách s plošnými spoji (obr. 13 až 16).

Zapojení obrazovky DG10-54 je na obr. 17. Pro jiný typ použité obrazovky je nutno zapojení přizpůsobit.

#### Použité součástky

Kromě obrazovky jsou všechny součástky použité v přístroji běžně dostupné na trhu. Na místě potenciometrů  $P_1$  až  $P_8$  jsou použity potenciometry typu TP 052, a to z rozměrových důvodů. Potenciometry  $P_1$  a  $P_8$  jsou upevněny izolovaně od kostry. Příslušné knoflíčky musí být jakostní, aby bezpečně snesly anodové napětí obrazovky. Plošné spoje jsou navrženy pro použití odporů TR 152, avšak téměř na všech místech je možno použít i odpory TR 151, případně TR 112a nebo WK 650 53. Odpory děliče  $R_{50}$  a  $R_{68}$  jsou typu TR 153 pro jejich větší přípustné napětí.

#### Mechanická konstrukce

Jak již bylo naznačeno, modulová koncepce umožňuje stavbu přístrojů v nejrůznějších formách. Je však třeba si uvědomit, že při stavbě osciloskopu je vždy velkým problémem dokonalé stínění obrazovky proti rozptylovým polím. Elektrické pole je možno odstínit jakýmkoli uzeměným kovovým krytem s dobrou vodivostí; horší je to s polem magnetickým. Podle praktických zkušeností, které se velmi dobře shodují s údaji uvedenými v [3], naprosto nestačí kryt z ocelového plechu tloušťky 1 až 1,5 mm, jak bývá v této souvislosti v různých návodech uváděno. Stínící účinek takového krytu je [3] asi 5 dB, což je málo. Dokonalého stínění je možno dosáhnout krytem z magneticky měkkého materiálu s vysokou relativní permeabilitou, jakým je např. permaloy. To je ovšem řešení pro amatéra jen těžko dostupné. Je proto třeba věnovat velkou pozornost umístění síťového transformátoru (hlavního zdroje

rušivých magnetických polí) v přístroji. Nejlépe tu pomůže praktická zkouška. Zapojíme obrazovku tak, aby na stínítku byl svítící bod a najdeme takovou polohu transformátoru, kdy je deformace tohoto bodu nejmenší. Při stísněné konstrukci bude asi nejvhodnější umístit transformátor za obrazovku tak, aby se osa transformátoru a osa obrazovky shodovaly. Toto řešení bylo použito např. v [4].

Umístění síťového transformátoru v popísaném přístroji bylo určeno délkou obrazovky a stísněnou montáží. Při prvních zkouškách se ukázalo, že rozptylové pole transformátoru způsobuje pohyb bodu na stínítku s rozkmitem asi 7 mm, a to i přesto, že obrazovka byla v ocelovém krytu s tloušťkou stěny 1,5 mm (při snižování anodového napětí obrazovky se zvětšuje její vychylovací citlivost, což je příznivé; zvětšuje se však i citlivost k rušivým rozptylovým polím, které se v okolí obrazovky vyskytují). Takto by byl přístroj nepoužitelný. Po různých pokusech byla nakonec použita kompenzace rušivého pole. Mezi obrazovku a transformátor byl umístěn malý transformátoček (1,5 W), který byl natočen tak, aby jeho rozptylové pole působilo opačně, než pole transformátoru velkého. Zároveň se změnou polohy kompenzačního transformátoru byl měněn proud procházející jeho vinutím (potenciometrem 2 kΩ). Po nastavení transformátoru zajistíme v optimální poloze a potenciometr nahradíme pevným odporem vyzkoušené hodnoty. S takto provedenou kompenzací nebyly u stopy na stínítku pozorovatelné rušivé vlivy.

Skříňka přístroje je z hliníkového plechu. Je-li vnitřek skříňky natřen matným černým lakem, není třeba dělat větrací otvory; stačí povrchové chlazení přístroje. Celkový příkon osciloskopu není velký (asi 10 W). Skříňka by mohla být i dřevěná, bylo by však nutno vylepit zevnitř stěnu kolem vstupních děličů a zesilovačů stinicí hliníkovou fólií a tu uzemnit. Skříňka by musela mít větrací otvory. Ať už je řešení jakékoli, musí být dokonale vzájemně stíněny oba vstupní děliče a zesilovače.

Konstrukce osciloskopu, postaveného autorem, je patrná z obrázků na 3. straně obálky.

#### Ožívování a uvádění do chodu

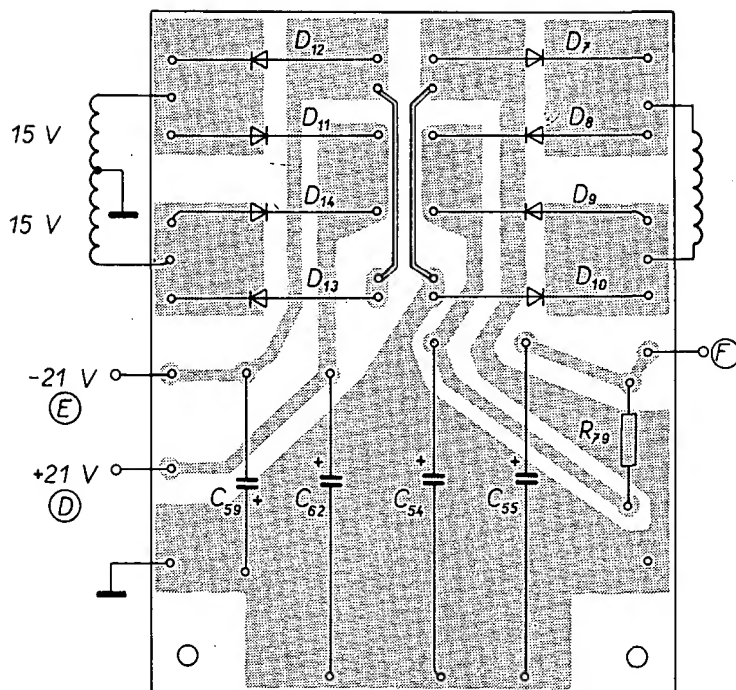
Nejprve oživíme a nastavíme funkční celky na jednotlivých deskách a teprve pak začneme s montáží přístroje. Postupovat bychom měli od napájecího zdroje; potom by měly následovat obvody obrazovky, časové základny a zesilovačů. Při použití dobrých (proměřených) součástek a při pečlivé práci by se neměly vyskytnout problémy. Závěrečnou prací je kompenzace kmitočtové závislosti vstupních děličů. Aby bylo toto nastavení umožněno, nesmíme zapomenout na otvory, umožňující přístup ke kapacitním trimrům  $C_{22}$  až  $C_{38}$ . K nastavování postačí Avomet a signální generátor s obdélníkovitým průběhem výstupního napětí. Kdo má možnost použít osciloskop, bude mít práci usnadněnou.

Závěrem je nutno upozornit, že v přístroji se používají vysoká napětí, která mohou být životu nebezpečná. Zvláště při experimentování musíme mít tuto skutečnost stále na mysli.

#### Seznam součástek

Zesilovač – deska J 508 (použity dva kusy).

Odpory	
$R_1$	8,2 kΩ; TR 152
$R_2$	1,2 kΩ; TR 152
$R_3$	18 kΩ; TR 152



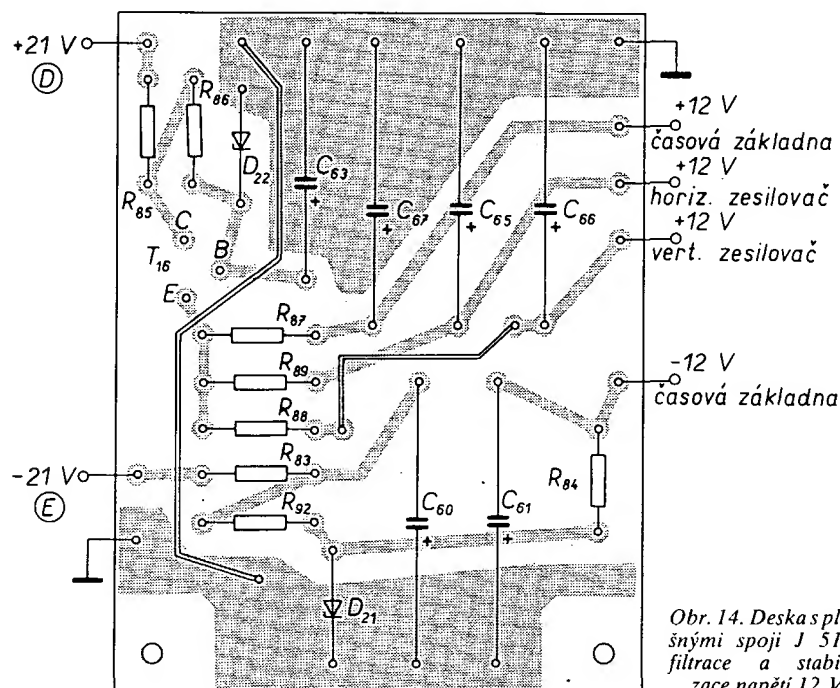
Obr. 13. Deska s plošnými spoji J 513 usměrňovačů

$R_4$	18 kΩ; TR 152
$R_5$	680 Ω; TR 152
$R_6$	10 kΩ; TR 152
$R_7$	10 kΩ; TR 152
$R_8$	1,8 kΩ; TR 152
$R_9$	2,2 kΩ; TR 152
$R_{10}$	22 kΩ; TR 153
$R_{11}$	22 kΩ; TR 153
$R_{12}$	68 Ω; WK 650 53
$R_{13}$	1 kΩ; TR 152
$R_{14}$	1 kΩ; TR 152
$R_{15}$	22 kΩ; trimr TP 015
$P_1$	47 kΩ; potenciometr TP 052
$P_2$	1,5 kΩ; potenciometr TP 052
Kondenzátory	
$C_1$ až $C_3$	0,1 μF/40 V, keramický
$C_4$	nutno vyzkoušet, slídový

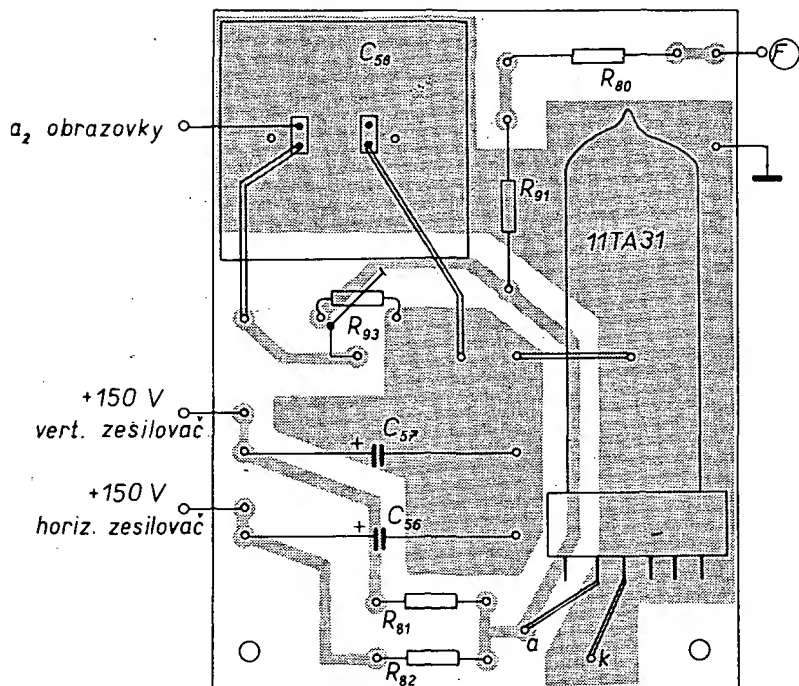
Polovodičové součástky	
$T_1$	KF 520 (KF521)
$T_2$ až $T_4$	KC508 (KC509, KC507)
$T_5, T_6$	KF504
$D_1$ až $D_5$	KA206

Časová základna – deska J 509 a J 510

Odpory	
$R_{16}$	47 Ω; WK 650 53
$R_{17}$	10 kΩ; TR 152
$R_{18}$	2,2 kΩ; TR 152
$R_{19}$	5,6 kΩ; TR 152
$R_{20}$	68 kΩ; TR 152
$R_{21}$	5,6 kΩ; TR 152
$R_{22}$	100 Ω; TR 152
$R_{23}$	5,6 kΩ; TR 152



Obr. 14. Deska s plošnými spoji J 514, filtrace a stabilizace napětí 12 V

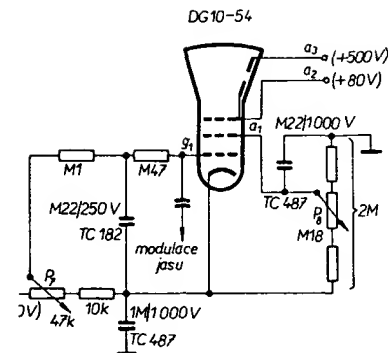


Obr. 15. Deska s plošnými spoji J 515, filtrace a stabilizace napětí 150 V

$R_{24}$	390 k $\Omega$ ; TR 152
$R_{25}$	470 k $\Omega$ ; TR 152
$R_{26}$	1 k $\Omega$ ; TR 152
$R_{27}$	2,2 k $\Omega$ ; TR 152
$R_{28}$	1 k $\Omega$ ; TR 152
$R_{28a}$	100 k $\Omega$ ; trimr TP 015
$P_3$	10 k $\Omega$ ; potenciometr TP 052
$P_4$	10 k $\Omega$ ; potenciometr TP 052
<b>Kondenzátory</b>	
$C_5$	5 $\mu$ F/35 V; TE 986
$C_6$	100 $\mu$ F/15 V; TE 984
$C_7$	20 $\mu$ F/15 V; TE 984
$C_8$	500 $\mu$ F/15 V; TE 984
<b>Polovodičové součástky</b>	
$T_7, T_9$	KS500
$T_8, T_{10}$	KCS08

#### Časová základna – deska J 511 (alternativně)

<b>Odpory</b>	
$R_{29}$	0,22 M $\Omega$ ; TR 152
$R_{30}$	82 k $\Omega$ ; TR 152
$R_{31}$	18 k $\Omega$ ; TR 152
$R_{32}$	5,6 k $\Omega$ ; TR 152
$R_{33}$	6,8 k $\Omega$ ; TR 152
$R_{34}$	18 k $\Omega$ ; TR 152
$R_{35}$	18 k $\Omega$ ; TR 152
$R_{36}$	270 $\Omega$ ; TR 152
$R_{37}$	10 k $\Omega$ ; TR 152
$R_{38}$	3,9 k $\Omega$ ; TR 152
$R_{39}$	3,9 k $\Omega$ ; TR 152
$R_{40}$	47 k $\Omega$ ; TR 152



Obr. 17. Zapojení obvodů obrazovky typu DG-10-54 (pro jiný typ je nutno zapojení upravit)

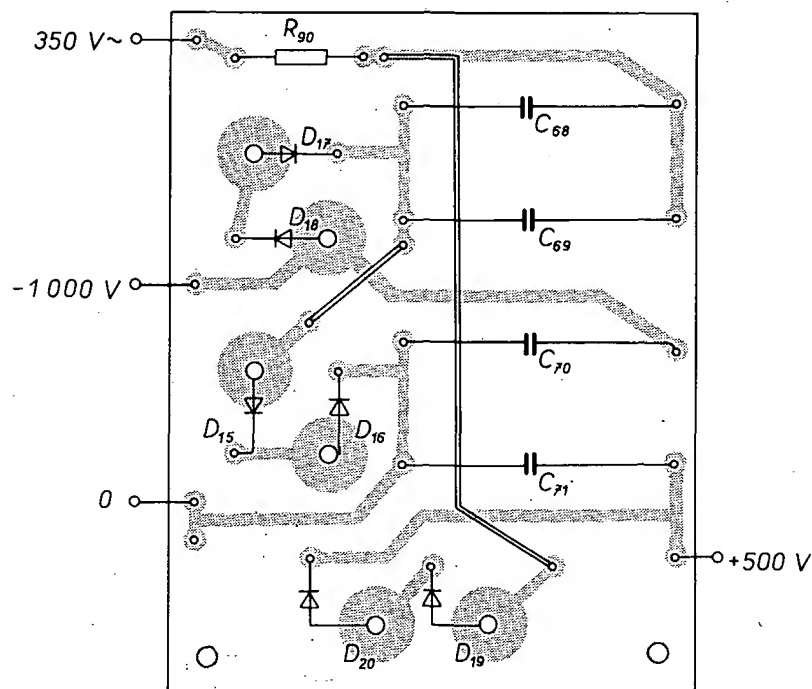
$R_{41}$	10 k $\Omega$ ; TR 152
$R_{42}$	39 k $\Omega$ ; TR 152
$P_5$	4,7 k $\Omega$ ; potenciometr TP 052
$P_6$	100 k $\Omega$ ; potenciometr TP 052
<b>Kondenzátory</b>	
$C_9$	0,1 $\mu$ F/160 V; TC 181
$C_{10}$	100 $\mu$ F/15 V; TE 984
$C_{11}$	100 $\mu$ F/100 V; styroflexový
$C_{12}$	200 $\mu$ F/15 V; TE 984
$C_{12a}$	1,5 nF/100 V; styroflexový
<b>Polovodičové součástky</b>	
$T_{11}$ až $T_{15}$	KS500

#### Kondenzátory časové základny – deska J 510

$C_{13}$	10 $\mu$ F/35 V; TE 986
$C_{14a}$	2 $\mu$ F/100 V; TC 180
$C_{14b}$	1 $\mu$ F/100 V; TC 180
$C_{15}$	1 $\mu$ F/100 V; TC 180
$C_{16}$	0,33 $\mu$ F/100 V; TC 180
$C_{17}$	0,1 $\mu$ F/160 V; TC 181
$C_{18}$	33 nF/160 V; TC 181
$C_{19}$	10 nF/160 V; TC 181
$C_{20}$	3,3 nF/250 V; TC 182
$C_{21}$	1 nF/630 V; TC 184

#### Napájecí zdroj – desky J 513 až J 516

<b>Odpory</b>	
$R_{79}$	390 $\Omega$ ; TR 153
$R_{80}$	1 k $\Omega$ ; TR 154
$R_{81}$	390 $\Omega$ ; TR 152
$R_{82}$	390 $\Omega$ ; TR 152
$R_{83}$	1 k $\Omega$ ; TR 152
$R_{84}$	390 $\Omega$ ; TR 152
$R_{85}$	47 $\Omega$ ; WK 650 53
$R_{86}$	5,6 k $\Omega$ ; TR 152
$R_{87}$	330 $\Omega$ ; TR 152
$R_{88}$	100 $\Omega$ ; TR 152
$R_{89}$	100 $\Omega$ ; TR 152
$R_{90}$	–
$R_{91}$	1 k $\Omega$ ; TR 154
$R_{92}$	1 k $\Omega$ ; TR 152
$R_{93}$	trimr 100 k $\Omega$ ; TP 015
<b>Kondenzátory</b>	
$C_{54}$	20 $\mu$ F/250 V; TC 968
$C_{55}$	20 $\mu$ F/250 V; TC 968
$C_{56}$	20 $\mu$ F/160 V; TE 990
$C_{57}$	20 $\mu$ F/160 V; TE 990
$C_{58}$	4 $\mu$ F/160 V; TC 455
$C_{59}$	50 $\mu$ F/35 V; TE 986
$C_{60}$	200 $\mu$ F/35 V; TE 986
$C_{61}$	500 $\mu$ F/15 V; TE 984
$C_{62}$	200 $\mu$ F/35 V; TE 986
$C_{63}$	200 $\mu$ F/15 V; TE 984
$C_{64}$	500 $\mu$ F/15 V; TE 984
$C_{65}$	500 $\mu$ F/15 V; TE 984
$C_{66}$	500 $\mu$ F/15 V; TE 984
$C_{67}$	500 $\mu$ F/15 V; TE 984
$C_{68}$	0,15 $\mu$ F/630 V; TC 184
$C_{69}$	0,15 $\mu$ F/630 V; TC 184
$C_{70}$	68 nF/1000 V; TC 185
$C_{71}$	0,15 $\mu$ F/630 V; TC 184
<b>Polovodičové součástky</b>	
$T_{16}$	KF507
$D_7$ až $D_{10}$	KY704
$D_{11}$ až $D_{14}$	KY702
$D_{15}$ až $D_{20}$	KY705



Obr. 16. Deska s plošnými spoji J 516 usměrňovače vn

Odpory	
$R_{43}$ až $R_{49}$	1 M $\Omega$ ; TR 152
$R_{50}$ až $R_{53}$	1 M $\Omega$ ; TR 152
$R_{54}$ až $R_{57}$	1 M $\Omega$ ; TR 152
$R_{58}$ , $R_{59}$	1 M $\Omega$ ; TR 153
$R_{60}$ , $R_{61}$	vyzkoušet
$R_{62}$ , $R_{63}$	100 $\Omega$ ; TR 152
$R_{64}$ , $R_{65}$	330 $\Omega$ ; TR 152
$R_{66}$ , $R_{67}$	1 k $\Omega$ ; TR 152
$R_{68}$ , $R_{69}$	3,3 k $\Omega$ ; TR 152
$R_{70}$ , $R_{71}$	10 k $\Omega$ ; TR 152
$R_{72}$ , $R_{73}$	33 k $\Omega$ ; TR 152
$R_{74}$ , $R_{75}$	100 k $\Omega$ ; TR 152
$R_{76}$ , $R_{77}$	0,33 M $\Omega$ ; TR 152
$R_{78}$	1 M $\Omega$ ; TR 152

Kondenzátory	
$C_{22}$ až $C_{28}$	0,5 až 4,5 pF; trimr WK 701 22
$C_{29}$ až $C_{30}$	nutno vyzkoušet
$C_{31}$	0,22 $\mu$ F/400 V; TC 183
$C_{32}$	0,22 $\mu$ F/400 V; TC 183
$C_{33}$	2 $\mu$ F/100 V; TC 180

## Obvody obrazovky

Hodnoty součástek a zapojení nutno zvolit podle použité obrazovky

## Ostatní součástky

stabilizátor napětí 11 TA31 (StR 150/30)  
přepínač WK 533–37 3 kusy

## Literatura

- [1] Marek, Zuska: Osciloskop. RK č. 4/72, str. 40.
- [2] Zuska: Stejnoseměrný tranzistorový osciloskop. AR č. 5/71, str. 173.
- [3] Volin: Parazitní vazby a přenosy. SNTL: Praha 1970, str. 63.
- [4] Orýs: Tranzistorový osciloskop. AR č. 12/69, str. 449.

# SS měřicí přístroj

Ing. Radovan Keil

## Technické údaje

Měřicí rozsahy:	
napětí:	10, 30, 100, 300 mV; 1, 3, 10, 30, 100, 300 V;
proudů:	10, 30, 100, 300 $\mu$ A; 1, 3, 10, 30, 100, 300 mA;
odporů:	10 $\Omega$ , 1 k $\Omega$ , 10 k $\Omega$ , 100 k $\Omega$ , 10 M $\Omega$ .

Vstupní odpor  
napětíových  
rozsahů: 10 M $\Omega$ .

Úbytek napětí  
na proudových  
rozsazích: 10 mV.

Přesnost přístroje: + 3 % z plné výchylky.

Drift nuly: 2 % délky stupnice za ho-

dinu.

Napájecí napětí: 13,5 V (tři ploché baterie)

Spotřeba: 12 mA.

Rozměry: 120 × 120 × 200 mm.

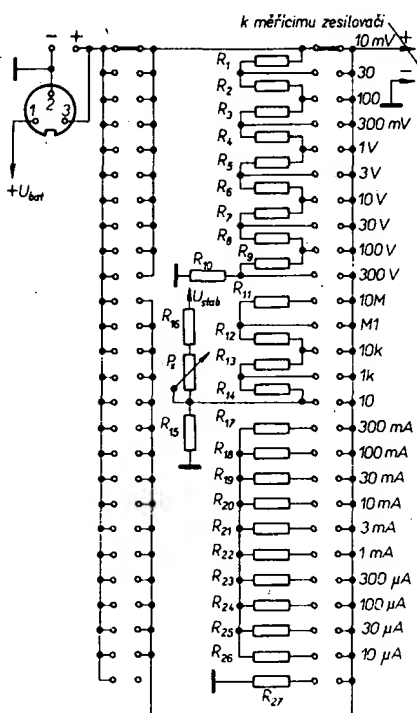
Hmotnost: 1,6 kg.

## Popis zapojení

Schéma přístroje je na obr. 1 a 2. Přístroj se skládá z měřicího zesilovače a vstupní části. Vstupní část tvoří odpory napětového děliče, bočníky a řada porovnávacích odporů pro měření odporu. Potenciometrem  $P_1$  se na odporu  $R_{15}$  přesně nastavuje měřicí napětí 10 mV. Potenciometr je spřažen se spínačem napájecího napětí. Všechny odpory jsou připájeny na vývodech radiče 2 × 26 poloh a jsou většinou složeny z menších hodnot; přesný odpor je nastaven „škrábáním“. Miniaturní odpory plně vyhoví. Přesnost použitých odporů by měla být lepší než 1 %.

Na vstupu měřicího zesilovače je napětový omezovač (odpor 1 M $\Omega$  a tranzistory  $T_1$ ,  $T_2$ ), který chrání tranzistor  $T_3$  teoreticky až do napětí asi 700 V. Diody typu KA503, KA206 nejsou pro tento účel vhodné, neboť zmenšují vstupní odpor měřicího zesilovače na 20 až 100 M $\Omega$ . Jako  $T_1$ ,  $T_2$  vyhoví např. tranzistory řady KC.

K dosažení velkého vstupního odporu a vyhovující teplotní stability přístroje je na vstupu použit sdružený prvek KF552 – dvojice tranzistorů MOSFET na společném substrátu s kanálem p. Polarita napájecího napětí je tedy v běžném provozu opačná než u tranzistorů s kanálem n (např. KF520).



Obr. 1. Zapojení vstupní části

Vlivem kladných iontů ve vrstvě SiO<sub>2</sub> hradla je tranzistor s kanálem p při nulovém předpětí hradla zavřený a otevírá se až od jistého prahového záporného předpětí. Výstupní charakteristiky použitého tranzistoru jsou na obr. 3. V měřicím zesilovači je využito inverzního provozu tranzistoru. Přenos použitého zapojení je přibližně jednotkový. Podmínkou úspěšné činnosti zapojení je, aby substrát ( $S_u$ ) byl na kladném potenciálu vzhledem k ostatním elektrodám, prakticky na potenciálu emitoru. Odpory  $R_{k1}$ ,  $R_{k2}$  slouží k vyrovnání nestejných výstupních charakteristik dvojice vzhledem ke změnám napájecího napětí. Odpory jsou zapojeny u toho z obou tranzistorů, který má větší prahové napětí ( $U_{GEF}$ ). Potenciometrem  $P_1$  se nastavuje elektrická nula přístroje.

Celé zesílení měřicího zesilovače se získává diferenčním zapojením tranzistorů  $T_3$  a  $T_6$ . V zapojení je použit opět sdružený prvek KCZ58. Pracovní bod stupně ( $I_k = 0,1$  mA) se nastavuje společným emitorovým odporem  $R_e$ .

Přizpůsobení velkého výstupního odporu diferenčního stupně vnitřnímu odporu měřidla zajišťují tranzistory  $T_7$  a  $T_8$  (KF508) v zapojení se společným kolektorem. Měřidlo typu MP120 s nožovou rúčkou má rozsah 150  $\mu$ A.

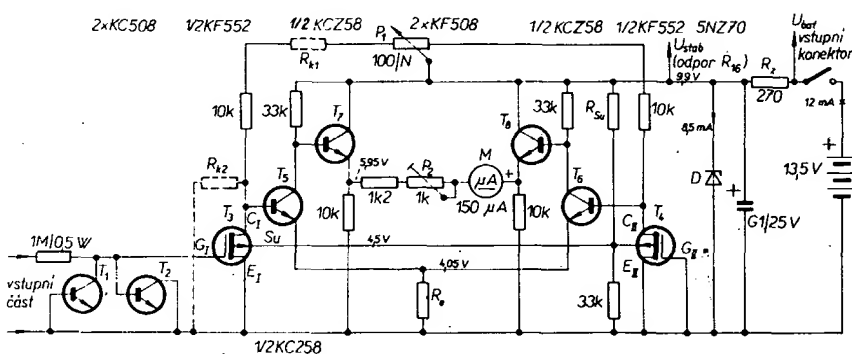
Napájecí napětí zesilovače je stabilizováno Zenerovou diodou D. Odpor  $R_z$  je nastaven proud diodou na 8 až 10 mA (při použití nových baterií).

Celková citlivost přístroje se při konečném cejchování nastavuje trimrem  $P_2$ . Všechny odpory v měřicím zesilovači jsou miniaturní.

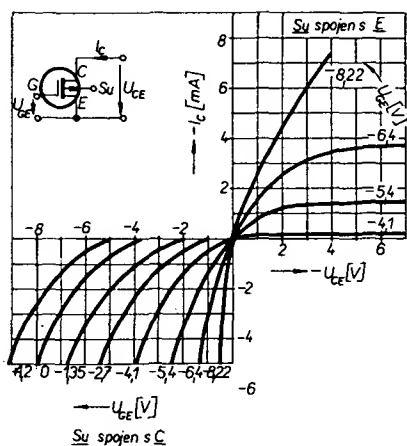
## Mechanické provedení

K zapojení je použita deska s plošnými spoji podle obr. 4. Ostatní mechanické výkresy jsou na obr. 5 až 7. Sestava je patrná z fotografií na druhé straně obálky a v obr. 8.

Přístroj je sestaven ze dvou základních panelů a skříňky přístroje s víkem. Všechny



Obr. 2. Zapojení měřicího zesilovače



části měřicího přístroje jsou upevněny na čelním panelu (z organického skla), který je slepen ze dvou částí a z vnitřní strany po-lepen snímací hliníkovou fólií. Osazený panel se do skříňky přístroje vkládá zepředu a je k ní přišroubován z vnitřní strany. Zadní pa-nel je též z organického skla a slouží jako držák baterií. Do skříňky se vkládá zeza-du. Skříňka a zadní viko jsou vyrobeny z pocíno-vaného železného plechu o tloušťce 0,8 mm. Vnitřní úchytky obou panelů jsou ke skřínce připájeny. K úchytlům jsou připájeny mosaz-né destičky tloušťky 2 mm, v nichž je vyří-znuto závit M3. Celá skříňka se zadním ví-kiem je potažena samolepicí tapetou (s imi-tací dřeva). Na vnější části předního panelu je matná bílá samolepicí tapeta. Nápisy jsou provedeny obtiský „Propisot“. Knoflíky potenciometrů jsou z magnetofonu B44, ovládací prvek řadiče je upraven z knoflíku k televiznímu kanálovému voliči.

## Použití přístroje

Přístroj se zapíná spínačem spřaženým s potenciometrem  $P_x$  (vpravo nahoře). Potenciometrem  $P_l$  (vlevo nahoře) se nastavuje elektrická nula přístroje (je možné ji nastavit po celé délce stupnice).

Ovládacím prvkem řadiče nastavujeme potřebný rozsah napětí, proudů nebo odporu. V poloze pro měření odporu je ručka měřidla u pravého okraje stupnice; při zkratevaných vstupních svorkách nastavíme potenciometrem  $P_1$  ručku na nulu, při rozpojených vstupních svorkách nastavíme ručku na příslušnou značku.

Vstup přístroje je vyveden na dvě zdířky a zároveň na tříkolíkový konektor. Na třetí kolík konektorového vstupu je vyvedeno nestabilizované napájecí napětí.

Konektorový vstup umožňuje připojení sondy vf. měřiče síly pole, sacího měřiče apod., přičemž přístroj slouží jako indikátor a napájecí zdroj.

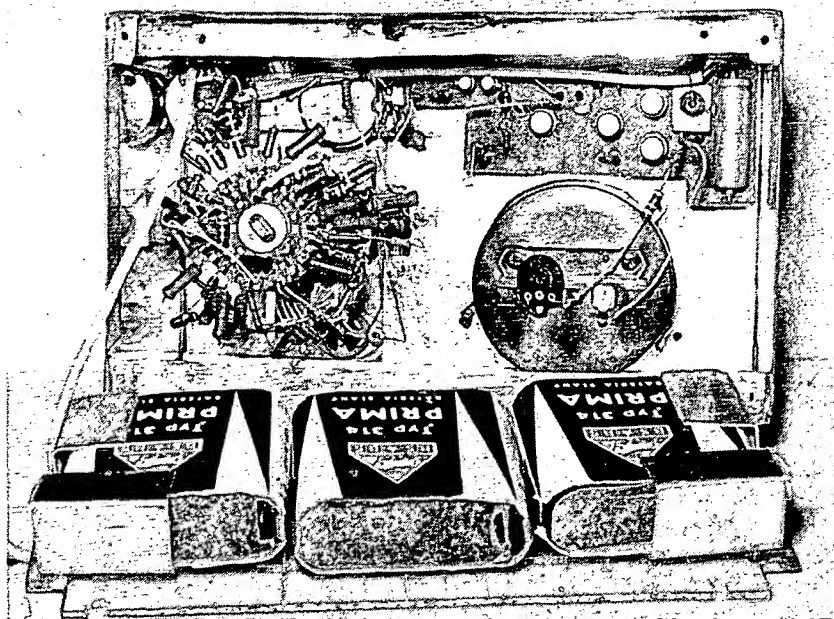
$R_1$	6,66 M $\Omega$
$R_2$	2,33 M $\Omega$
$R_3$	666 k $\Omega$
$R_4$	233 k $\Omega$
$R_5$	66,6 k $\Omega$
$R_6$	23,3 k $\Omega$
$R_7$	6,66 k $\Omega$
$R_8$	2,33 k $\Omega$
$R_9$	666 $\Omega$
$R_{10}$	333 $\Omega$
$R_{11}$	9,9 M $\Omega$
$R_{12}$	90 k $\Omega$
$R_{13}$	9 k $\Omega$
$R_{14}$	990 $\Omega$
$R_{15}$	10 $\Omega$
$R_{16}$	9 k $\Omega$
$R_{17}$	0,0333 $\Omega$
$R_{18}$	0,1 $\Omega$
$R_{19}$	0,333 $\Omega$ -
$R_{20}$	1,00 $\Omega$
$R_{21}$	3,33 $\Omega$
$R_{22}$	10,0 $\Omega$
$R_{23}$	33,3 $\Omega$
$R_{24}$	100 $\Omega$

$R_{25}$  333  $\Omega$   
 $R_{26}$  1,00 k $\Omega$   
 $R_{27}$  10,0 M $\Omega$   
 $P_1$  potenciometr 1 k $\Omega$  lineární s vypínačem

Vybrané odpory měřicího zesilovače údaje jsou pouze informativní, odpory je nutno vybrat podle vlastností použitých polovodičových prvků)

$R_6$  22 k $\Omega$   
 $R_{5u}$  40 k $\Omega$   
 $R_{61}$  1,8 k $\Omega$   
 $R_{62}$  0,22 M $\Omega$

Údaje ostatních součástek zesilovače jsou ve schématu na obr. 2.



Obr. 8. Pohled na hotový přístroj po odejmutí zadní stěny

# V- $\mu$ Ametr s rozvaděčovým měřidlem

Ing. Lubor Závada

Byl jsem okouzlen tranzistorovým měřidlem tovární výroby, v němž byl jako měřicí přístroj použit rozvaděčový miliampérmetr s citlivostí 2 mA. Tajemství přístroje bylo v použití komplementárních dvoustupňových zesilovačů symetricky zapojených jako rozdílový zesilovač a osazených tranzistory 2  $\times$  102NU71 a 2  $\times$  GC501. Napájecí napětí bylo 12 V. Přístroj fungoval výborně.

V době nedostatku citlivých měřicích přístrojů se základním rozsahem 50 až 200  $\mu$ A, které se obvykle v tranzistorových voltmetrech používají, a při dostatku výprodejních přístrojů méně citlivých se tu ukázala zajímavá možnost jejich využití pro kutily.

Měl jsem velmi pěkný miliampérmetr 120  $\times$  120 mm s citlivostí systému 2 mA a se stupnicí 250 dílků. Ležel ladem a tak jsem začal s pokusy o jeho oživení v tranzistorovém voltmetru. Po řadě pokusů (celkem zdařilých) s dvoustupňovými zesilovači jsem nakonec použil jednostupňový zesilovač s tranzistorem KC510. Zjednodušením se získala větší spolehlivost, aniž by to bylo na újmu funkce přístroje.

Než byl přiveden na svět spolehlivě pracující přístroj s dobrou shodou s původní stupnicí, byl popsán celý sešit zápisků o zkouškách. Kreslení stupnice v amatérských podmínkách je totiž jednou z nejobtížnějších prací a výsledek nebývá úměrný námaze.

## Podmínky pro použití málo citlivého měřidla

Aby mohlo být s úspěchem použito málo citlivé měřidlo pro tranzistorový voltmetr, je nutno u použitého zesilovače splnit tyto podmínky:

- velké proudové zesílení,
- linearita zesilovače v poměrně značném rozsahu proudových hodnot,
- stálost nuly a přesný návrat ručky přístroje po měření veličin v okolí maximální výchylky zpět na nulu.

Tyto podmínky jsem splnil takto.

Použil jsem tranzistorovou dvojici KC510, u níž každý z tranzistorů měl proudový zesilovací činitel nakrátko v pracovním bodě zesilovače asi 600.

Pro dosažení potřebné linearitě bylo nutno použít několikanásobně větší celkový proud zesilovače, než je proud potřebný pro plnou výchylku měřidla. V mém případě byl celkový odběr 15 mA, tedy na jednu větev 7,5 mA. Citlivost měřidla byla 2 mA. Zvětšovat proud zesilovače nad tento poměr se neukázalo účelné.

Při těchto podmínkách byl průběh stupnice v 85 % její délky lineární s odchylkami maximálně  $\pm 2$  %, pouze na konci stupnice byla chyba  $-3$  %. Tyto hodnoty jsou více než příznivé.

Stálost nuly a hlavně návrat ručky na nulu po měření s plnou výchylkou byly dosaženy

použitím dvojitého tranzistoru KC510. Původně se zdálo výhodné použít párových tranzistorů KC508, neboť mají jednak velké proudové zesilovací činitele nakrátko, jednak se snadněji vyberou dva shodné tranzistory. Při zkouškách se však projevilo pomalé ustalování ručky v oblasti maximální výchylky a po odpojení se ručka nevracela na nulu; výchylka se zmenšila na hodnotu blízkou nule, ale trvalo dosti dlouho, než se ručka vrátila úplně. Příčinou bylo nestejně ohřátí tranzistorů (stačil k tomu již rozdíl proudů 2 mA); tím se změnila jejich parametry a porušilo se vyvážení můstku. Při použití dvojitého tranzistoru KC510 se tento nedostatek neprojevilo.

## Napájení zesilovače tranzistorového voltmetru

Zesilovač odebírá ze zdroje poměrně značný proud, kromě toho musí být napájecí napětí vyšší než u tranzistorových voltmetrů s citlivými měřidly. Zesilovač je také citlivý na změny napájecího napětí. Stabilizovat napájení z baterie by bylo zbytečně nákladné, a proto jsem použil miniaturní síťový napáječ s napětím 9 V. Je to pouze zdánlivá nevýhoda – jedná se totiž o přístroj dosti rozměrný, používaný stabilně na pracovním stole. Není ovšem problém napájet přístroj např. ze šesti monočládků; pokládám však síťové napájení za výhodnější a také levnější řešení. Napáječ je do přístroje trvale vestavěn.

## Výběr tranzistorového páru KC510 pro zesilovač

Pro správnou činnost přístroje je nezbytné, aby oba tranzistory měly prakticky stejný proudový zesilovací činitel nakrátko, a to v pracovním bodě zesilovače (v našem případě při napětí 6 V a proudu 7,5 mA). Nelze použít údaje získané měřením při malých kolektorových proudech, neboť v této oblasti je proudový zesilovací činitel nakrátko u křemíkových tranzistorů poměrně malý. Také průběh proudového zesilovacího činitele nakrátko v závislosti na kolektorovém proudu je u jednotlivých tranzistorů odchýlný.

Proto je nutné měřit jej v předpokládaném pracovním bodě. Nejlépe je použít ke kontrole obou systémů zkoušeče tranzistorů TESLA; informativní a dostatečně přesné hodnoty získáme i při použití zkoušeče tranzistorů, popsaného v AR 10/1972 (článek Tranzistorový voltampérmetr a mikroampérmetr), popř. metodou, kterou jsem uvedl v AR 9/1974.

Důležité je, aby proudový zesilovací činitel nakrátko v zapojení se společným emitorem byl u obou tranzistorů dostatečně velký (větší než 500).

Z vlastní zkušenosti vím, že jen málokterý dvojitý tranzistor má oba tranzistory shodné. Ve vzorku přístroje mají oba tranzistory  $\alpha = 600$ . Výběr se podařil z osmi kusů. Pro jistotu byly provedeny zkoušky s KC510, jež tuto podmínku nesplňovaly a opravdu pro přístroj nevyhověly, ač bylo provedeno mnoho zkoušek, jak je učinit upotřebitelnými. Samozřejmě lze použít dvojitý tranzistor KCZ59 (viz AR 8/1974). Velký proudový zesilovací činitel nakrátko  $\alpha$  a jeho stejná velikost u obou sdružených tranzistorů je však podmínkou.

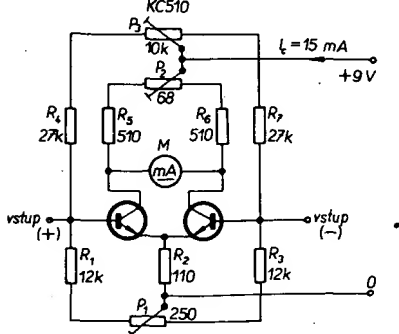
### Zesilovač tranzistorového voltmetru

Schéma zesilovače je na obr. 1. Zapojení je zcela prosté. Protože pro přístroj bylo nutno dosáhnout co největšího zesílení, není v zesilovači zavedena žádná záporná zpětná vazba; proudové zesílení (počítáno od vstupu až k měřicímu přístroji) bylo u vzorku asi 520. Přitom se neprojevila ani nestabilita nuly, ani nepřijatelně velká nelinearita. Velká citlivost zesilovače si však vyžádala tři prvky k nastavení nuly, neboť jinak je regulace příliš hrubá. Pro nulování vyvedené na vnější desku přístroje je vhodný potenciometr  $P_2$ . Zkoušení a nastavování zesilovače je obdobné jako u konstrukce, uveřejněné v AR 9/1974 a nepokládám za nutné je opakovat. Nutné však je měřit celkový proud odebraný zesilovačem a nastavit jej na vhodnou velikost (asi 15 mA). V zesilovači doporučuji použít odpory s kovovou vrstvou ( $R_2, R_3$  a  $R_6$  na zatížení 0,5 W).

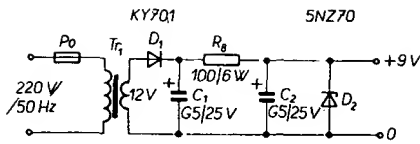
Proudový odběr nastavíme změnou (souhlasnou) odporů v dělicích  $R_1, R_4$  a  $R_3, R_7$ . Zvětšováním odporů  $R_1$  a  $R_3$  se proud zesilovače naprázdno zvětšuje.

### Napáječ pro zesilovač

Zapojení je na obr. 2. Ve vzorku byl použit výstupní transformátor neznámého původu, jehož sekundární vinutí bylo převínuto na 12 V. Zkouška vhodnosti výstupního transformátoru (z elektronického přijímače) je prostá. Primární vynutí se připojí přes odpor asi 2 k $\Omega$  na síť a sleduje se oteplování odporu (proto je vhodný odpor s větší zatížitelností).



Obr. 1. Schéma zesilovače



Obr. 2. Zapojení napájecího zdroje

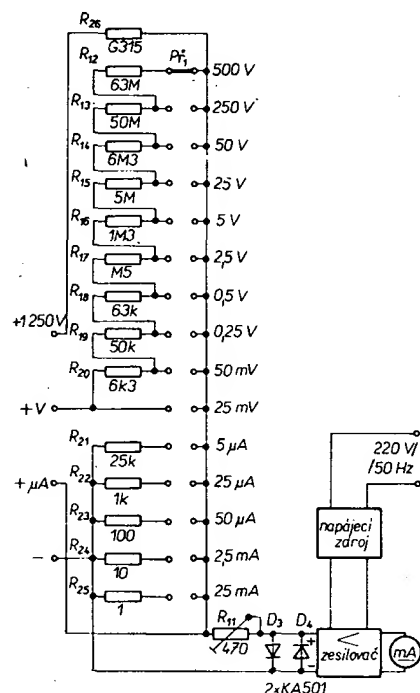
Nezahřívá-li se odpor, připojíme primární vinutí výstupního transformátoru přímo na síť. Nezahřeje-li se trafo příliš asi během hodiny, můžeme jej použít. Sekundární napětí má být alespoň 8 V; je-li napětí menší, přivíneme další závity drátem CuL o  $\varnothing 0,2$  až 0,25 mm (pozor na dokonalou izolaci od primárního vinutí). Plechy není nutné skládat střídavě, stačí vyjmout vložku, tvořící mezeru v magnetickém obvodu, a nahradit ji kondenzátorovým papírem (z důvodů izolace plechů). V přístroji lze použít jakýkoli transformátorek se sekundárním napětím od 8 do 12 V (v případě potřeby můžeme poněkud změnit odpor  $R_8$ ). Elektrolytický kondenzátor  $C_2$  může být i na menší napětí (např. 12 V). Dioda  $D_1$  může být libovolná (pro proud do 0,5 A), Zenerovu diodu 5N270 ( $D_2$ ) je vhodné opatřit chladičem. Dvojitěné usměrňování se čtyřmi diodami se však při zkoušce ukázalo jako zbytečné.

Napájecí napětí 9 V bylo zvoleno z toho důvodu, aby bylo možno přístroj napájet i ze dvou plochých baterií nebo šesti monočlánků.

### Celkové zapojení tranzistorového voltmetru a mikroampérmetru

Schéma je na obr. 3; dosud popsané obvody jsou doplněny ochrannými diodami, sadou předřadných odporů voltmetru a sadou bočníchků pro použití přístroje jako mikroampérmetru.

V ochranném bloku byly použity diody KA501 a plně se osvědčily na rozdíl od



Obr. 3. Celkové zapojení přístroje

zkoušenosti, popsaných v článku F. Smoly (AR 8/1974), který doporučuje použít typ KA503. Snad jsem měl větší štěstí při nákupu. Činnost ochrany byla vysvětlena v již zmíněném AR 9/1974 a nebudu ji proto opakovat. Jako přepínač byl použit dvanáctipolohový přepínač z výprodeje (za 10 Kčs). Vyhoví každý dobrý přepínač; bude-li mít méně poloh, bude nutno omezit počet rozsahů.

V přístroji jsem volil větší počet rozsahů, aby běžná napětí bylo možno měřit při výchylce ručky v okolí 150. dílku, kde je přesnost největší (tam byl přístroj cejchován).

I když je to méně vhodné z důvodů výrobních, řadil jsem předřadné odpory napětových rozsahů do série. Při samostatných odporech by bylo cejchování snazší a případnou změnou jednoho odporu by se změnil jen jeden rozsah, kdežto při sériovém zapojení předřadných odporů změna jednoho odporu ovlivní všechny další (vyšší) rozsahy. Tento způsob zapojení má však výhodu v menším počtu velkých odporů a zmenšuje napětové namáhání izolačního materiálu přepínače mezi kontakty. V použitém zapojení je největší rozdíl napětí mezi sousedními kontakty jen 250 V.

Protože přístroj má být používán také při opravě TVP, je opatřen rozsahem 1 250 V, který má z izolačních důvodů samostatný vývod. Na tomto rozsahu lze měřit účinnostní napětí.

Odpory jsou při cejchování skládány do série i paralelně. Je vhodné použít delší dobu skladované odpory (pokud ovšem mají dobré vývody a vzhled), které jsou vystarlé.

Megaohmové odpory je dobré volit alespoň na zatížení 0,5 W (z důvodů napětového namáhání odporů); čím jich bude v sérii více, tím lépe. Odpor pro rozsah 1 250 V jsem např. složil z 11 odporů označených 29 M $\Omega$  (z výprodeje). S opatřováním velkých odporů jsou obvykle potíže. Chápu snahu autorů používat vstupní děliče i pro tranzistorové voltmetry; výhoda děliče pro malý odběr přístroje při měření napětí je však velmi omezená.

Popisovaný přístroj má vstupní odpor voltmetru 13,2 M $\Omega$  již při rozsahu 50 V; při tomto rozsahu je tedy lepší než elektronkový voltmetr nebo tranzistorový voltmetr se vstupním děličem o příčném odporu 10 M $\Omega$  a při dalších rozsazích jeho vnitřní odpor dále stoupá. U malých napětí menší vnitřní odpor přístroje zpravidla nevadí, neboť je měříme obvykle na zdrojích o malém vnitřním odporu.

Důležitá je i skutečnost, že popsaný přístroj, jako ostatně každý tranzistorový voltmetr s předřadnými odpory, odebrá při měření vždy proud, odpovídající výchylce ručky měřidla, který je stejný na všech rozsazích, a je tedy možnost (pokud by to bylo nutné) jednoduché korekce. Při použití vstupního děliče je na každém rozsahu odběr proudu jiný. Kromě toho lze daleko snadněji ocejchovat předřadné odpory pro jednotlivé rozsahy než zhotovovat dostatečně přesný vstupní dělič.

### Cejchování přístroje

Cejchování napětových i proudových měřicích rozsahů je běžné.

Než přistoupíme k cejchování, je důležité alespoň informativně se přesvědčit o linearitě stupnice.

Nejsnadněji se to provede při použití nové ploché baterie. Při plném napětí (tři články v sérii – úmyslně neuvádím 4,5 V, neboť

v praxi se vyskytují odchylky napětí až  $+0,3$  V) nastavíme vhodným předřadným odporem plnou výchylku měřidla tranzistorového voltmetru a pak zmenšíme napětí přepnutím na dva a na jeden článek baterie. Tím dostaneme na stupnici tři body. Počet dílků stupnice mezi těmito body má být stejný.

Poslední „třetina“ stupnice bude pravděpodobně znatelně menší než první. Je-li odchylka příliš výrazná, budeme hledat jiný pracovní bod tranzistorů, a to buď změnou budičeho proudu bázi, nebo změnou napájecího napětí. Druhý způsob je rychleji realizovatelný.

Po dalších zkouškách jsem našel tímto způsobem takové odpory v obvodu zesilovače, při nichž byla stupnice dostatečně lineární, a předpokládám, že i u dalších realizovaných vzorků vyhoví. Velikost chyby, způsobené nelinearitou, jež se přece jen u stupnic v nepatrné míře projevuje, omezíme tím, že nastavujeme předřadné odpory a bočníky při výchylce přibližně ve dvou třetinách délky stupnice. V tomto místě je tedy chyba měření nejmenší, při menších hodnotách je kladná, při větších záporná. Tímto způsobem lze dosáhnout dobré průměrné přesnosti přístroje, jak o tom svědčí cejchovní tabulka (tab. 1), cejchovní křivka na obr. 4 a křivka chyb na obr. 5.

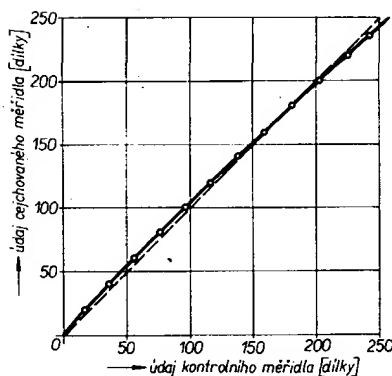
Třída přesnosti přístroje se počítá z chyby, vztažené k celkové délce stupnice. Má-li tedy stupnice celkem 250 dílků, pak třída přesnosti 1 (tj. 1 %) znamená největší odchylku 2,5 dílku, a to v kterékoliv části stupnice. Je tedy výhodné měřit tak, aby ručka přístroje byla při měření vždy v druhé polovině stupnice.

Trimr  $R_{11}$  slouží k nastavení základního napětového rozsahu, který byl v mém případě pozoruhodně malý, a to 25 mV. Tento rozsah je společný i pro obvody měření proudu. Trimr je vhodné nahradit po cejchování pevným odporem, neboť přechodový odpor běžce trimru (a dokonce i vývodových nýtů odporové dráhy) se mění, což má vliv na přesnost přístroje (zejména u proudových rozsahů).

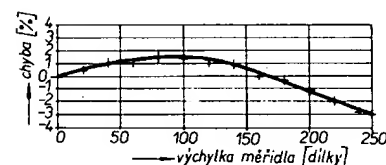
#### Použití měřidla s jinou citlivostí

Nedoporučuji použít měřicí systém s menší citlivostí (tj. více mA), neboť pak by se citlivost na konci stupnice značně zmenšovala a bylo by nutno buď měnit zapojení a napájecí napětí, nebo překreslit stupnici. Měřidlo o spotřebě 2 mA, jež jsem použil, je běžné a obvykle nemají deprezské systémy rozváděčových voltmetrů větší spotřebu.

Při použití měřidla s citlivostí např. 1 mA by nastaly potíže s předřadnými odpory,



Obr. 4. Cejchovní křivka přístroje



Obr. 5. Křivka chyb

neboť vstupní citlivost zesilovače podle obr. 1 by byla příliš velká. V tomto případě stačí rozdělit emitorový odpor  $R_2$  na dva odpory ( $2 \times 200$  až  $220 \Omega$ ) a ty samostatně zapojit mezi jednotlivé emitory a běžec potenciometru  $P_1$ . Tím se zavede proudová záporná zpětná vazba, která nejen omezí zesílení, ale i příznivě ovlivní linearitu zesilovače, a tím se zlepší i souhlas stupnice. Je tedy použití přístroje o větší citlivosti výhodné. Pro měřidlo o citlivosti 100 až  $300 \mu A$  je však lépe použít zapojení podle AR 9/1974. Zesilovač je jednodušší a značně levnější.

#### Větší proudové rozsahy

Přístroj byl původně určen k měření proudů menších, než je základní citlivost systému použitého měřidla. Protože zůstaly nevyužity dva kontakty přepínače, byl přístroj doplněn o rozsahy 2,5 mA a 25 mA. Jak patrně z blokového schématu, je pro rozsah 25 mA použit bočník  $1 \Omega$ . Pro 250 mA by byl odpor už jen  $0,1 \Omega$  a při této malé hodnotě by se mohl nepříznivě projevit přechodový odpor kontaktů přepínače. Proto je pro měření větších proudů vhodné přepínat samotné měřidlo ke kombinovanému bočníku, u něhož není nebezpečí ovlivňování měření přechodovým odporem kontaktů přepínače.

Přímé měření je také přesnější, neboť tranzistorový zesilovač vždy vnáší do měření další chyby.

#### Konstrukční provedení

Přístroj je vestavěn do skříňky vhodné velikosti, slepené z novodurových desek (stačí však i Sololit), kterou můžeme přestříkat lakem nebo polepit tapetou se vzorem dřeva a popř. přestříknout čírym nitrolakem.

Měřidlo je umístěno ve svislé poloze, ve které bylo pro rozváděče cejchováno. Údaje na stupnici jsou dobře čitelné i z větší dálky, což usnadňuje práci.

#### Závěr

Budu velmi rád, když moje konstrukce pomůže oživit všelijaké ty „budíky“, na něž dosud amatér pohlíží pohrdavě pro jejich velkou proudovou spotřebu. Zatím je to můj nejvíce používaný přístroj, protože práce s ním je pohodlná a údaje se snadno čte i na dálku. Ještě jednou zdůrazňuji důkladnou izolaci mezi vinutími transformátoru pro napáječ a přeci všem, kteří si přístroj postaví, mnoho zdaru.

#### Elektronika hlídá vagóny

Zařízení Sicaroid firmy Siemens (NSR) identifikuje železniční vagóny mikrovlnnou technikou. Každý vagón má na podvozku pasivní anténu se 24 různě dlouhými rezonátory, které působí jako sací obvod. Na kontrolních místech trati jsou mezi kolejnicemi uloženy vysílače, přijímač a „čtecí“ zařízení. Vysílač se plynule přeladuje v pásmu 3,1 až 4,2 GHz. Délka rezonátorů působí jako kód. Odražené vlny vytvoří v přijímači 24-impulsový signál, který „čtecí“ přístroj dekoduje na dvanáctimístné číslo vagónu.

Radio, Fernsehen, Elektronik č. 1/74

#### Nový tepelný spínač

Sklo s přísadou fosfátu vanadu mění při přestoupení jistého napětí mezi elektrodami elektrickou vodivost téměř skokem ze stavu izolantu na vodič. Napětí je nepřímě úměrné teplotě. Firma England's Standard Telcom Laboratories vyvinula „spínače“ ve tvaru malých perliček z vanadiofosfátového skla se zapuštěnými drátkovými elektrodami. Jevu se dá také využít pro spínače tenkých vrstev ( $1 \mu m$  skla na fosfátovém substrátu), které se hodí pro přímý dotek s měřeným tělesem. Prozatím je teplotní hranice 50 až  $55^\circ C$ .

Radio, Fernsehen, Elektronik č. 20/73

#### Doutnavkový displej

sestavující z  $80 \times 212$  doutnavek vytváří oranžově zářící obraz rozměrů  $60 \times 120$  mm. Celek je pouze 17 mm vysoký. Prozatím slouží doutnavkový displej k přenosu čísel a nápisů; pracuje se i na pokusném předvádění televizních obrazů. Potřebný elektrický příkon odpovídá asi příkonu barevné televizní obrazovky. Displej vyvinula firma Zenith Corp. (USA).

Radio, Fernsehen, Elektronik č. 4/74

#### Diodový stabilizátor proudu

Speciální tranzistory FET, jejichž elektrody G a S jsou uvnitř spojeny, mají charakteristiku diod, jejichž proud je v širokých mezích konstantní. Tyto diody se hodí jako generátory pilovitého napětí, pro předpětí diferenciálních zesilovačů, k linearizaci stupnic ohmmetrů apod. Firma Siliconix vyvinula takovou diodu (E505) s jmenovitým proudem 1 mA, (který kolísá nejvýše o  $\pm 20\%$ , mění-li se přiložené napětí od 0,1 do 50 V).

Radio, Fernsehen, Elektronik č. 4/74

Tab. 1. Cejchování přístroje

Údaj měřidla cejchovaného přístroje [dílků]	Údaj kontrolního měřidla [dílků]	Chyba [%]
0	0	0
20	18,8	+0,5
40	37,5	+1
60	57,5	+1
80	76,3	+1,5
100	96,8	+1,3
120	117,5	+1
140	137,5	+1
160	160	0
180	180,7	-0,3
200	202,5	-1
220	225	-2
240	247	-2,8
250	257,5	-3

# Měřič tranzistorů TRANZITEST 01

Jaroslav Novotný

O důležitosti měření tranzistorů bylo na stránkách AR již mnoho napsáno, takže není nutno tuto skutečnost opakovat. Popisovaný přístroj dovoluje rychlé proměření všech běžných statických veličin tranzistorů a diod včetně závěrečného napětí.

## Technické údaje

Rozměry: 75 × 165 × 75 mm.  
Hmotnost: 1,15 kg.  
Napájení: 220 V/50 Hz.  
Měřené veličiny:  $I_{CB0}$ ,  $I_{CE0}$ ,  $\beta$ ,  $U_{CBM}$ ,  $U_{CEM}$ .

## Popis zapojení

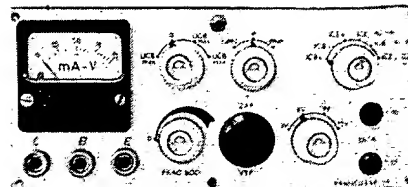
Celkové zapojení měřicího přístroje je na obr. 1. Přístroj je napájen z vestavěného síťového zdroje, který umožňuje měření při volitelném napětí 3, 6, 9 nebo 12 V, dále slouží jako zdroj napětí 100 a 200 V pro měření  $U_{CEM}$  a  $U_{CBM}$ . Nízké napětí je dvoucestně usměrněno diodami  $D_1$  a  $D_2$ , vyhlazeno kondenzátorem  $C_3$  a odebíráno z děliče  $R_{23}$  až  $R_{26}$  přes přepínač  $Pf_{1B}$ . Napětí 100 a 200 V jsou jednocestně usměrněna diodami  $D_3$ ,  $D_4$ .

## Princip měření jednotlivých veličin

### 1. Zbytkový proud báze $I_{CB0}$ .

$I_{CB0}$  měříme při zvoleném napětí (u dobrých tranzistorů nemá prakticky vliv) při odpojeném emitoru podle obr. 2.

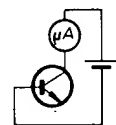
Měříme jej ve dvou polohách přepínače  $Pf_1$  (polohy 1, 2). V poloze 1 ( $I_{CBx}$ ) měříme přes ochranný odpor  $R_{19}$  až  $R_{22}$  podle zvoleného měřicího napětí, což zaručí, že nedojde k poškození měřidla, je-li měřený tranzistor vadný; v případě špatné volby polarity (p-n-p, n-p-n) se tím chrání měřený tranzistor před zničením. Ochranný odpor omezí maximální proud na 200  $\mu A$ . Výchylka měřidla v této poloze přepínače nesmí být větší než do poloviny stupnice. V případě, že tomu tak není, nepřepínáme do další polohy. Je-li vše v pořádku, přepneme  $Pf_1$  do polohy 2 ( $I_{CB0}$ ) a měříme skutečný zbytkový proud při rozsahu měřidla 200  $\mu A$ .



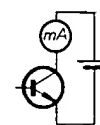
### 2. Zbytkový proud kolektoru $I_{CE0}$ .

$I_{CE0}$  měříme rovněž při zvoleném napětí (obvykle stejném jako  $I_{CB0}$ ) při odpojené bázi podle obr. 3.

Měříme jej při čtyřech polohách přepínače  $Pf_1$ . V poloze 3 ( $I_{CEx}$ ) měříme přes ochranný odpor  $R_{15}$  až  $R_{18}$  obdobně jako při měření  $I_{CB0}$ . V této poloze je přepínačem  $Pf_{1B}$  připojen k měřidlu bočník, takže citlivost měřidla je 10 mA. Obdobně jako v předchozím případě nesmí být výchylka měřidla větší než do poloviny stupnice. V poloze 4 ( $I_{CB0} - 10$  mA) měříme skutečný zbytkový proud na rozsahu 10 mA, popř. v další (páté nebo šesté) poloze při rozsahu 4 mA nebo 200  $\mu A$ . Odpor  $R_{10}$  tvoří bočník pro rozsah 10 mA,  $R_9$  pro 4 mA.



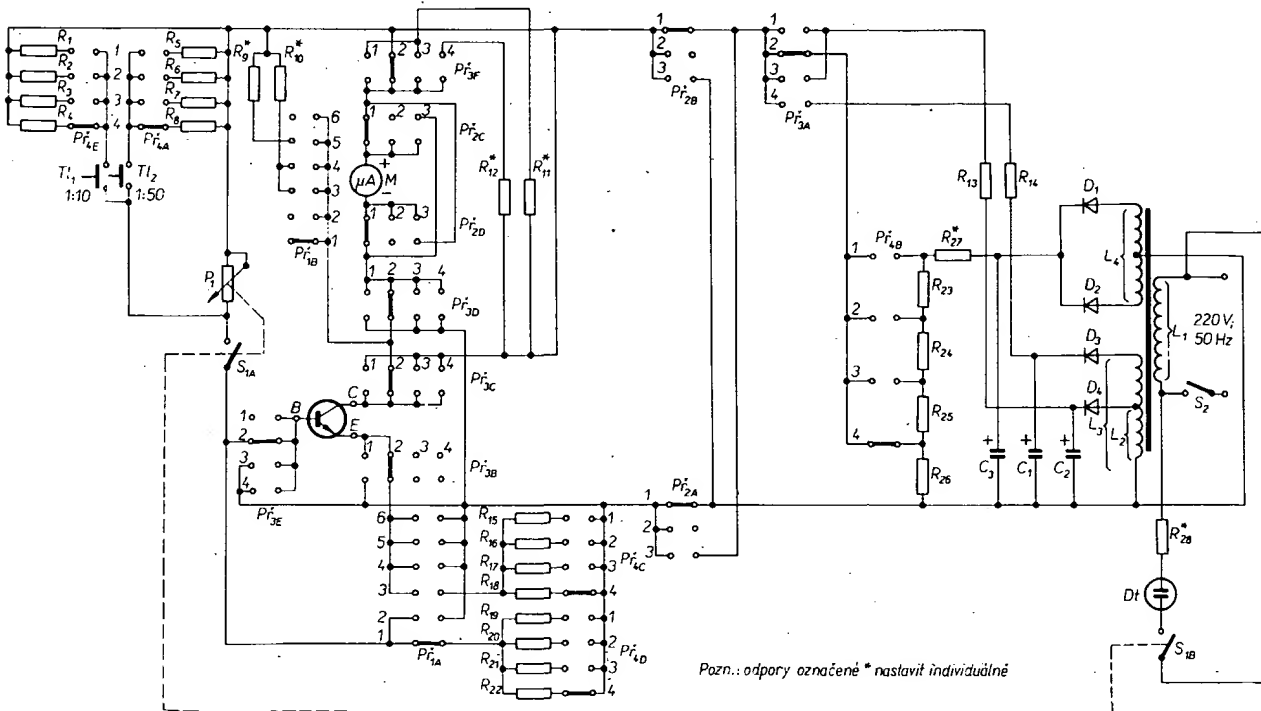
Obr. 2. Měření  $I_{CB0}$



Obr. 3. Měření  $I_{CE0}$

### 3. Zesilovací činitel

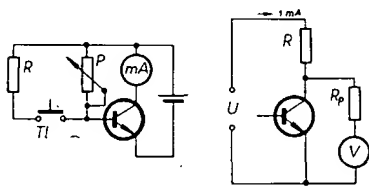
Zesilovací činitel  $\beta$  lze měřit v libovolném pracovním bodě, což je velmi důležité, jelikož tato veličina se značně mění se změnou pracovního bodu. V případě potřeby lze takto postupně proměřit a zakreslit celou



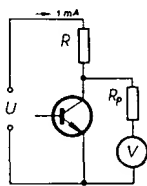
Pozn.: odpory označené \* nastavit individuálně

Obr. 1. Schéma zapojení měřiče (odpory označené\* nastavit individuálně)

charakteristiku. Princip měření je na obr. 4. Pro jednoduchost uvažujeme, že měříme při napětí 6 V. Transistor je zapojen se společným emitorem. Báze je napájena přes potenciometr  $P$  (1 M $\Omega$ ), jímž nastavíme předem určený kolektorový proud, tj. pracovní bod při zvoleném napětí, při němž chceme činitel  $\beta$  měřit (např. 1 mA). Stisknutím tlačítka  $T1$  se paralelně k potenciometru  $P$  připojí odpor  $R$ , v našem případě 0,6 M $\Omega$ , čímž zvětšíme proud báze o 10  $\mu$ A (bez ohledu na polohu potenciometru  $P$ ). Pro určení hodnoty  $\beta$  dělíme přírůstek kolektorového proudu deseti a obdržíme měřenou hodnotu. Např.: po stisknutí tlačítka se kolektorový proud zvětší o 1 mA, tj. 1 000  $\mu$ A : 10 = 100. Ve skutečném zapojení je potenciometr, označený jako  $P_1$ , spřažen se spínačem  $S_1$ , kterým se do báze zapojuje. Druhá dvojice kontaktů spínače ( $S_{1B}$ ) spíná doutnavku  $D1$ , která signalizuje, že do báze je zapojen potenciometr. Při měření všech veličin kromě  $\beta$  musí být tedy doutnavka zhasnuta (tj. potenciometr vypnut); jinak by měření byla nesprávná, popř. by se mohl zničit měřený transistor. U transistorů s malým činitelem  $\beta$  by zvětšení proudu báze o 10  $\mu$ A způsobilo malý přírůstek kolektorového proudu, proto má přístroj ještě druhé tlačítko, po jehož stisknutí se proud báze zvětší o 50  $\mu$ A. Postup měření je stejný, pouze přírůstek kolektorového proudu musíme při použití tohoto tlačítka dělit padesáti. Pro zavedení přídavného proudu 10  $\mu$ A, popř. 50  $\mu$ A do báze slouží odpory  $R_1$  až  $R_4$  (pro 10  $\mu$ A) a  $R_5$  až  $R_8$  (pro 50  $\mu$ A), přepínané současně s volbou měřicího napětí přepínačem  $P_{2E}$  a  $P_{4A}$ .



Obr. 4. Měření  $\beta$



Obr. 5. Měření  $U_{CEM}$

#### 4. Maximální napětí $U_{CBM}$ a $U_{CEM}$

Princip měření  $U_{CEM}$  je na obr. 5. Na vývody C a E měřeného tranzistoru připojíme přes ochranný odpor, který omezí maximální proud na 1 mA, napětí 100 V (200 V). Paralelně k měřenému tranzistoru připojíme voltmetr s velkým vnitřním odporem, který ukáže přímo hledanou hodnotu  $U_{CEM}$ . Výhodou tohoto způsobu měření je, že nemůže dojít ke zničení měřeného tranzistoru. Ve skutečném zapojení můžeme měřit  $U_{CEM}$  do velikosti 100 V a  $U_{CBM}$  ve dvou rozsazích (do 100 nebo 200 V), což je pro většinu transistorů dostatečné. Obdobně lze mezi svorkami C a B měřit závěrné napětí diod až do 200 V. Měření  $U_{CEM}$  a  $U_{CBM}$  se přepíná přepínačem  $P_3$ , který je při všech ostatních měřeních v poloze 2, označené 0. Jako předřadné odpory pro maximální proud 1 mA slouží  $R_{13}$  a  $R_{14}$ . Současně je pomocí přepínače  $P_3$  měřidlo zapojeno jako voltmetr s předřadnými odpory  $R_{11}$ , popř.  $R_{12}$  pro maximální rozsah 100 nebo 200 V. Voltmetr v tomto zapojení má vnitřní odpor pouze 5 k $\Omega$ /1 V, což způsobuje jistou nepřesnost v měření; naměřená hodnota je tedy menší než skutečná. Tato chyba není příliš na závadu, uvážíme-li, že nám poskytuje jisté procento bezpečnosti pro transistor použitý v provozu.

#### Postup měření

Při měření je nejvýhodnější postupovat takto:

přepínač  $P_1$  (přepínač funkcí  $I_{CB0}$ ,  $I_{CE0}$ ) v poloze  $I_{CB0}$ ;  
přepínač  $P_2$  (p-n-p, n-p-n) v poloze 0;  
přepínač  $P_3$  ( $U_{CBM}$ ,  $U_{CEM}$ ) v poloze 0;  
přepínač  $P_4$  (volba napětí) v poloze libovolné podle napětí, při němž budeme měřit;  
potenciometr  $P_1$  (pracovní bod) v poloze 0 (kontrolka nesvítí).

Po připojení tranzistoru přepneme  $P_2$  do polohy podle polarit (p-n-p nebo n-p-n). V případě špatně zvolené polarit ukáže měřidlo plnou výchylku ( $P_1$  je v poloze  $I_{CB0}$ ). Transistor se však nezničí. Je-li výchylka měřidla malá (ne větší než do poloviny stupnice), změříme  $I_{CB0}$  a  $I_{CE0}$ , jak bylo popsáno v odst. 1 a 2.

Zesilovací činitel  $\beta$  měříme v poloze  $P_1$   $I_{CE0}$  – 10 mA nebo  $I_{CE0}$  – 4 mA (jak bylo popsáno v odst. 3). Při nastavování pracovního bodu tranzistoru je nutno otáčet potenciometrem  $P_1$  zvolna za stálé kontroly kolektorového proudu. Potenciometr nesmí být nikdy vytočen zcela doprava, došlo by ke zničení tranzistoru, příp. poškození měřidla. Z bezpečnostních důvodů by bylo vhodné zařadit do série s potenciometrem ochranný odpor asi 50 k $\Omega$ . Po změření  $\beta$  doporučuji ihned potenciometr vytočit směrem vlevo a vypnout.

Jako poslední změříme napětí  $U_{CEM}$  a  $U_{CBM}$ .

Poloha přepínače  $P_1$  a  $P_4$  je libovolná.  $P_2$  je nastaven podle vodivosti tranzistoru, potenciometr  $P_1$  vypnut. Přepínačem  $P_3$  v poloze  $U_{CEM}$  měříme závěrné napětí kolektor – emitor do 100 V; měřidlo má v této poloze rozsah 100 V.  $U_{CBM}$  měříme ve dvou stupních do 100 nebo do 200 V, tj. v poloze 3 nebo 4. V poloze 4 měříme při napětí 200 V; také měřidlo má v této poloze rozsah 200 V. Při přepínání do polohy  $U_{CEM}$  nebo  $U_{CBM}$  se může stát, že ručka měřidla vykývá na doraz, což je způsobeno mžikovým spojením dvou sousedních kontaktů přepínače. V tomto okamžiku dojde k přetížení měřidla max. proudem 1 mA (tj.  $5 \times$ ), což u magnetoelektrického systému nemůže způsobit jeho poškození.

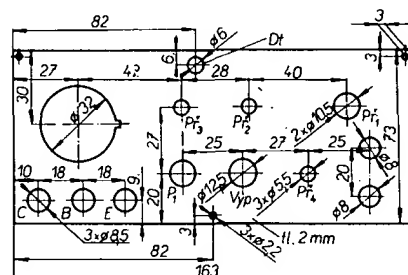
Tim jsou všechna měření skončena, přepínače vrátíme do výchozích poloh a měřený transistor odpojíme. Veškeré manipulace

s měřeným tranzistorem, tj. připojování a odpojování, je nutno provádět s  $P_2$  v poloze 0, při níž jsou výstupní svorky bez napětí. Při měření lze tranzistor připojit buď pomocí držáku nebo přímo do výstupních zdířek pomocí kablíků.

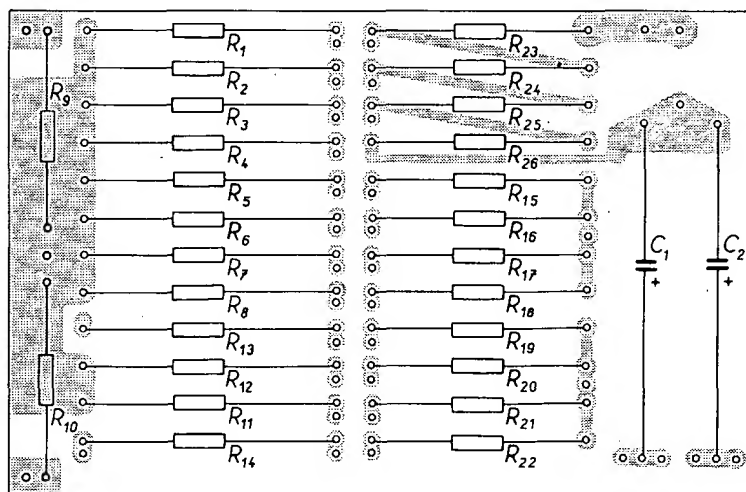
#### Konstrukce přístroje a použité součástky

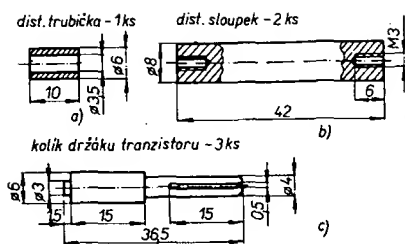
Celý přístroj je sestaven ve skřínce rozměrů 75  $\times$  165  $\times$  75 mm. Plášť je z ocelového plechu o tl. 1 mm, ohnutý vcelku, ve spodní části snýtovaný. V horních rozích a dole uprostřed jsou k plášti přínýtovány upevňovací úhelníčky, na které jsou pomocí šroubů M2 připevněny přední panel a zadní víko, zhotovené z hliníkového plechu o tl. 2 mm. Všechny přepínače a síťový transformátor jsou upevněny na předním panelu (rozložení je patrné z obr. 6). Deska s plošnými spoji (obr. 7), nesoucí většinu drobných součástí, je pomocí distanční trubičky (obr. 8a) a šroubu M3 upevněna na přepínači  $P_1$ . Deska síťového zdroje (obr. 9) nesoucí diody  $D_1$  až  $D_4$  a kondenzátor  $C_3$  je upevněna pomocí přínýtovaného úhelníku s otvorem o  $\varnothing$  9 mm pod maticí střední připojovací zdířky. Síťový transformátor je upevněn za měřidlem pomocí dvou distančních sloupků se závity M3 (obr. 8b). V horní části čelního panelu je ještě přínýtována deska, nesoucí signální doutnavku  $D1$  s předřadným odporem. Celé vnitřní uspořádání je velmi dobře patrné z připojených fotografií (obr. 10 a 11).

Přepínače  $P_2$ ,  $P_3$ ,  $P_4$  jsou miniaturní přepínače pro tranzistorové přijímače (6  $\times$  4 polohy), přičemž  $P_2$  má přesuvným dorazem, který je součástí přepínače, nastavený pouze tři polohy.

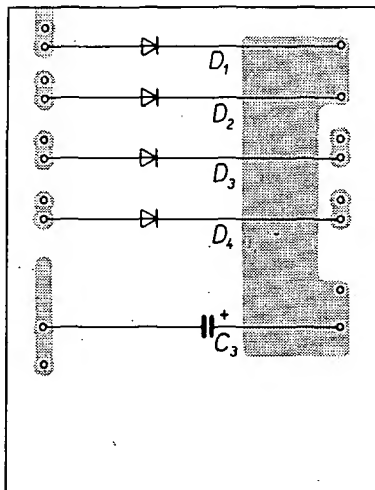


Obr. 7. Deska s plošnými spoji J 518 měřiče

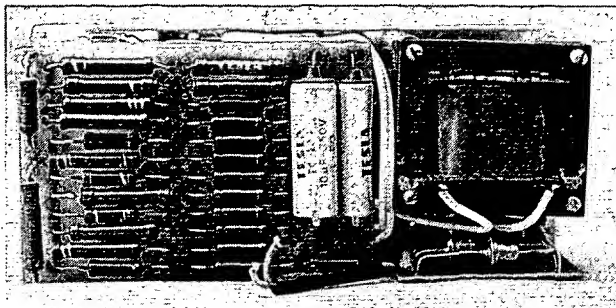




Obr. 8. Rozměry kolíků a distančních sloupků



Obr. 9. Deska s plošnými spoji J 519

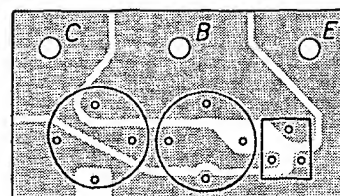


Obr. 10. Pohled na vnitřek přístroje zezadu

Výrobce u těchto přepínačů zaručuje elektrickou pevnost 500 V mezi dvěma sousedními kontakty, což je pro náš účel dostatečné. Uvedené přepínače byly svého času k dostání ve výprodeji po 15 Kčs. Přepínač  $P_1$  je jednosegmentový vlnový přepínač  $3 \times 4$  polohy, který musíme upravit. Opatrně jej rozebereme, ve vašce vyplujeme další dva zářezy a s takto upravenou vačkou aretační část přepínače znovu sestavíme. Z pevné desky nesoucí kontakty vyjmeme dva. Takto vzniklou mezerou potom z otočné desky vytlačíme jeden kontakt a druhý přemístíme tak, aby byly zbývající dva kontakty proti sobě. Potom vložíme zpět do pevné desky vyjmuté dva kontakty a celý přepínač sestavíme. Tyto přepínače mají zpravidla velmi tuhý chod; tuhost lze zmírnit vyjmutím jedné, popř. dvou pružin, které tlačí na aretační kuličku.

Jelikož celá konstrukce přístroje je značně stěsnaná, bylo nutno zhotovit i tlačítka. Základ tlačítkových spínačů tvoří kontakty z relé RP 100, zkrácené na délku asi 30 mm a znovu upevněné v původním držáku. Na kolík z plastické hmoty, který je pevně zalisován v pohyblivém kontaktu, je lepidlem Epoxy 1200 přilepena ovládací část tlačítka, vysoustružená z organického skla nebo z jiného izolačního materiálu. Takto zhotovené tlačítko je dvěma šroubky M3 připevněno k čelní desce. Díry pro upevňovací šroubky je nutno vyvrtat až po ustavení tlačítek; z toho důvodu nejsou na výkresu čelního panelu zakresleny. Síťový spínač  $S_2$  je páčkový dvou-pólový. Potenciometr je typu TP 281 s výpínačem. Použitý měřicí přístroj DHR 3 s citlivostí  $200 \mu A$  měl vnitřní odpor  $500 \Omega$ . Vnitřní odpor se může u jiných měřidel lišit; z toho důvodu je nutno odpory  $R_9, R_{10}, R_{11}, R_{12}$  stanovit individuálně.

Držák tranzistorů je tvořen deskou s plošnými spoji (obr. 12), do které jsou zapájeny tři objímky pro tranzistory, z nichž jedna je čtyřhranná (třípólová) a dvě kulaté, čtyřpólové. Dále jsou do desky zapájeny tři rozřiznuté kolíky (obr. 8c) k zasunutí do tří výstupních zdílek. Rozteč kolíků musí být shodná s roztečí zdílek. Pod objímkami je nalepen štítek nesoucí označení jednotlivých vývodů (obr. 13). Vývody jsou voleny tak, aby vyhovovaly pro všechny běžné čs. tranzistory. Do tohoto držáku lze zasunout pouze tranzistory, které nebyly ještě pájeny, protože zbytek času na vývodech brání jejich zasunutí. Pro použité tranzistory je nutno použít přírodní kablíky, připojené do zdílek.

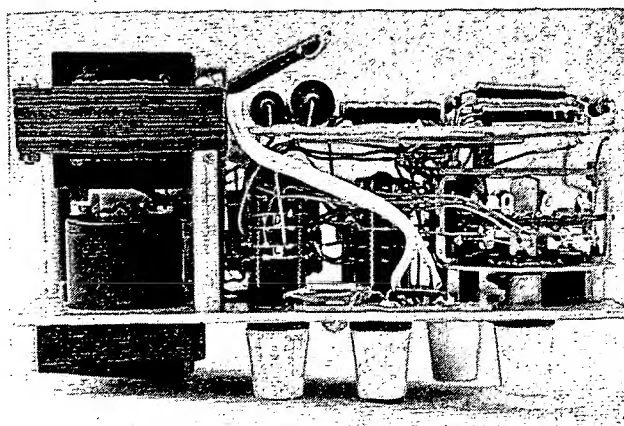


Obr. 12. Deska s plošnými spoji J 520 držáku tranzistorů

připojíme tranzistor (nejlépe některý levný typ) a proměříme jej. Měříme při všech čtyřech napětích, abychom se přesvědčili o správné činnosti přístroje.

#### Použité součástky

Odpory	
$R_1$	1,2 M $\Omega$
$R_2$	0,9 M $\Omega$
$R_3$	0,6 M $\Omega$
$R_4$	0,3 M $\Omega$
$R_5$	0,24 M $\Omega$
$R_6$	0,18 M $\Omega$
$R_7$	0,12 M $\Omega$
$R_8$	60 k $\Omega$
$R_9$	26,85 $\Omega$
$R_{10}$	10,4 $\Omega$
$R_{11}$	0,4995 M $\Omega$
$R_{12}$	0,9995 M $\Omega$
$R_{13}$	0,1 M $\Omega$
$R_{14}$	0,2 M $\Omega$
$R_{15}$	1,2 k $\Omega$
$R_{16}$	900 $\Omega$
$R_{17}$	600 $\Omega$
$R_{18}$	300 $\Omega$
$R_{19}$	60 k $\Omega$
$R_{20}$	45 k $\Omega$

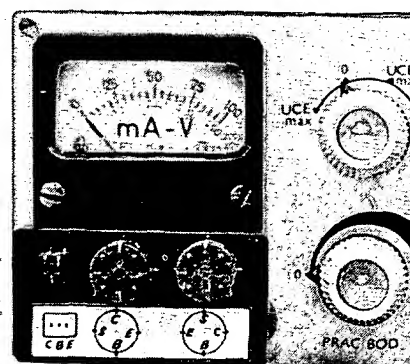


Obr. 11. Pohled na vnitřek přístroje shora

Popis ovládacích prvků na panelu je proveden samolepicími znaky na křídovém papíru. Panel je chráněn proti znečištění průhlednou fólií.

Přesné hodnoty odporů byly získány buď výběrem z běžných odporů nebo jejich dobrou broušením na potřebnou velikost. Na jejich dodržení závisí přesnost měření a jejich výběru je proto nutno věnovat patřičnou péči. Pro snazší orientaci při zapojování nebo opravách je výhodné označit jednotlivé sekce přepínačů písmeny souhlasné se schématem. Pro spoje je vhodné používat vodiče s izolací různých barev a jejich barvu ve schématu zaznamenat.

Před uvedením do provozu je nejlépe přezkoušet činnost přístroje (např. pomocí měřidla Avomet) měřením napětí na jednotlivých vstupních zdílkách v závislosti na poloze přepínačů. Teprve po této zkoušce



Obr. 13. Držák tranzistorů vložený do zdílek měřice

$R_{21}$  30 k $\Omega$   
 $R_{22}$  15 k $\Omega$   
 $R_{23}$  až  $R_{27}$  39  $\Omega$   
 $R_{28}$  0,22 M $\Omega$   
 $P_1$  1 M $\Omega$ /N s vypínačem  
 Kondenzátory  
 $C_1$  10  $\mu$ F/350 V  
 $C_2$  10  $\mu$ F/350 V  
 $C_3$  1 000  $\mu$ F/15 V  
 Diody  
 $D_1, D_2$  KY701  
 $D_3$  KY705  
 $D_4$  KY703  
 Transformátor průřez jádra 2,9 cm<sup>2</sup>, vinutí podle tab. 1.

## Literatura

Tichý I.: Měřič tranzistorů a diod. AR 4/68, str. 130.  
 L. K.: Měřič průrazného napětí diod. AR 6/68, str. 228.

Tab. 1.

Vinutí	Napětí [V]	Počet závitů	Průměr drátu CuL [mm]
$L_1$	220	3 200	0,1
$L_2$	78	1 153	0,07
$L_3$	156	2 300	0,07
$L_4$	2× 12,2	2× 181	0,25

Polohy přepínačů

Poloha	Př <sub>1</sub>	Př <sub>2</sub>	Př <sub>3</sub>	Př <sub>4</sub>
1	$I_{CBX}$	n-p-n	$U_{CEM}$	12 V
2	$I_{CB0}$	0	0	9 V
3	$I_{CEX}$	p-n-p	$U_{CBM}$	6 V
4	$I_{CE} - 10$ mA		$U_{CBM}$	3 V
5	$I_{CE} - 4$ mA			
6	$I_{CE} - 0,2$ mA			

# Měřič teploty TUM0Z 1

Miloš Stilz

## Úvodem k měření teploty

Měření teploty jako neelektrické veličiny přeměnou na měření elektrické veličiny (elektrického odporu) uskutečňujeme pomocí odporových čidel, měnících svůj odpor v závislosti na teplotě okolí. Dříve byla čidla zhotovována z měděného nebo platinového drátku, který vykazoval lineární přírůstek odporu v závislosti na přírůstku teploty okolí. Nyní se k tomuto účelu používají téměř výlučně termistory (převážně perlickové) s nelineárním úbytkem odporu v závislosti na přírůstku teploty okolí, a to vzhledem k jejich větší citlivosti a malé tepelné setrvačnosti.

Jako čidlo k měření teploty je často používán také germaniový tranzistor, jehož zbytkový proud  $I_{CB0}$  nebo  $I_{CE0}$  je značně závislý na teplotě okolí. Průběh závislosti je lineární. Pouzdro tranzistoru je však příčinou značné tepelné setrvačnosti čidla.

Za základní metodu měření teploty je považováno zapojení čidla jako jednoho z odporů Wheatstoneova můstku; v příčné větvi můstku je měřidlo s předřadným odporem ke změně citlivosti.

Tato zapojení jsou nejobvyklejší. Citlivost přístrojů je různá; používají se buď jako indikátory nebo jako přímoukazující měřiče teploty.

U některých elektronických teploměrů se používá jiné zapojení; čidlo se zařazuje do stabilizačních obvodů tranzistorů nebo do jiných citlivých míst zapojení tak, aby změna teploty okolí způsobila po zesílení velkou proudovou změnu. Tato zapojení jsou převážně používána v regulační technice k udržování stálé teploty.

Rozsah měřených teplot (citlivost na změnu teploty okolí) je u termistoru závislý především na protékajícím proudu, který jej ohřívá. Se zvětšujícím se proudem se citlivost na změnu teploty zvětšuje. Proud však nemůžeme zvětšovat příliš; podle údajů výrobce nesmíme překročit největší povolený příkon, který je u perlickového provedení termistoru 300 mW. V měřeném prostředí je termistor vlastně ochlazován a pokud je jeho teplota

větší než teplota okolí, reaguje na ochlazení okamžitě. Je-li protékající proud malý, reaguje termistor na zvětšení teploty (větší než je jeho vlastní teplota) podstatně pomaleji, neboť je svým okolím ohříván.

Proud procházející termistorem závisí na přiloženém napětí. Z toho plyne, že se zvětšováním tohoto napětí se zvětšuje citlivost, ale zároveň i závislost na změně napájecího napětí. Vlivem poklesu napájecího napětí při stárnutí baterie by mohlo docházet k chybám měření a vlivem poklesu zesílení by se zmenšoval rozsah měření. Proto je nutné při konstrukci citlivých měřičů teplot stabilizovat napájecí napětí můstku.

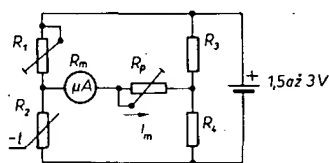
Na obr. 1 je základní zapojení Wheatstoneova můstku, na obr. 2 až 5 jsou uvedeny některé jednoduché příklady stabilizace napětí pro můstek při malých napájecích napětích.

Wheatstoneův můstek bez stabilizace lze použít jen k indikaci nebo u málo citlivých měřičů. Je-li  $R_1 = R_2 = R_3 = R_4$ , pak proud protékající zátěží (měřidlem)

$$I_m = 2I' \frac{R_1 \Delta R_1}{R_m (4R_1 + \Delta R) + 2R_1 (2R_1 + \Delta R_1)}$$

kde  $I'$  je proud v každé z větví můstku, jsou-li všechny čtyři odpory stejné ( $R_1$ ),  $\Delta R_1$  je přírůstek odporu termistoru,  $R'_m$  je celkový odpor v úhlopříčce můstku ( $R_m + R_p$ ).

Obr. 2. Napětí na můstku je konstantní, nezávislé na  $\Delta U$ . Nevýhodou zapojení je zvětšená spotřeba z baterií. Citlivost zvětšíme volbou většího Zenerova napětí  $U_Z$  a tím i většího  $U_b$ .



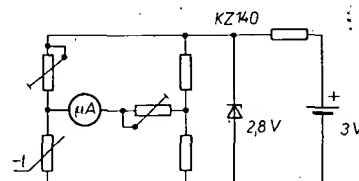
Obr. 1. Základní zapojení můstku

Minimální  $U_Z$  je u čs. typu KZ140 (2,8 V).

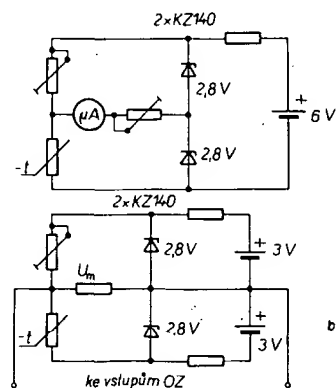
Obr. 3a. V tomto zapojení je hospodárněji využito proudu Zenerovými diodami, nevýhodou je použití dvou těchto diod. Zvětšování napětí baterie nemá na citlivost měřiče vliv.

Obr. 3b. Činnost je stejná jako u obr. 3a, je pouze vyveden střed napájecího napětí pro měření pomocí OZ.

Obr. 4a. V tomto zapojení se využívá ke stabilizaci (k vytvoření napěťového normálu) proudu procházejícího diodami v propustném směru. Změna procházejícího proudu vyvolá jen nepatrnou změnu napětí na diodách. Zapojení je vhodné pro přenosné teploměry s menší citlivostí a s dobrou stabilizací. Použijeme-li diodu KA501, měřidlo 100  $\mu$ A (bez  $R_p$ ) a termistor 16 NR 17, je rozsah měřených teplot 0 až 36 °C.



Obr. 2. Stabilizace napájecího napětí můstku jednou Zenerovou diodou



Obr. 3. Stabilizace se dvěma Zenerovými diodami, (a) - s jednoduchým zdrojem, (b) - zdroj s vyvedeným středem

Obr. 4b. Činnost je stejná jako u obr. 4a, citlivost je větší (0 až 20 °C na plnou výchylku), stabilizace se zhorší vzhledem k součtu úbytků na diodách.

Obr. 5. Je vyveden střed pro měření pomocí OZ (použito u zapojení popisovaného přístroje).

### Konstrukce přístroje

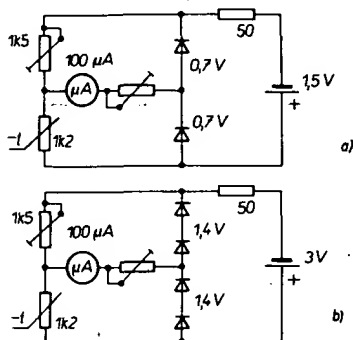
Volba složitějšího zapojení je určena použitím tohoto přístroje; archeolog potřeboval pro práci v terénu měřidlo s těmito vlastnostmi:

- lehký přenosný přístroj s malou spotřebou a s rozměry, umožňujícími přenášet přístroj v kapse;
- rozsah měření (citlivost) volitelný podle potřeby; nejdříve (pro orientační měření) 4 až 14 °C, pak např. 6 až 10 °C na plnou výchylku měřidla;
- důraz se klade na rychlost měření teploty vzhledem k velkému množství měřených míst. Kromě toho se vyžaduje stálost cejchování, snadná obsluha, indikace vybitých baterií.

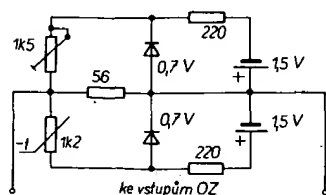
Pro splnění požadavků podle bodu a) byly použity k napájení dva monočlánky střední velikosti vzhledem k jejich rozměrům, váze a dlouhé době provozu při odběru proudu max. 6 mA. Bod b) – byl zvolen perličkový termistor zatavený ve skle, s malou tepelnou setrvačností. Bod c) – s ohledem na malé  $U_b$ , požadovanou „přeladitelnost“ rozsahu měřených teplot s nutnou rezervou v citlivosti a na stálost zesílení při nezávislosti na  $U_b$  byl pro zesilovač použit operační zesilovač, jehož zapojení (obr. 6) bylo popsáno v souvislosti s jeho využitím jako zesilovače univerzálního měřidla v [3]. Indikace stavu baterií není nutná, neboť nejde-li již nastavit nula přístroje příslušným trimrem, je patrné, že baterie jsou vyčerpány.

### Popis měření

Postup měření spočívá v připojení baterií (obr. 6) tlačítkem k můstku, jehož větve

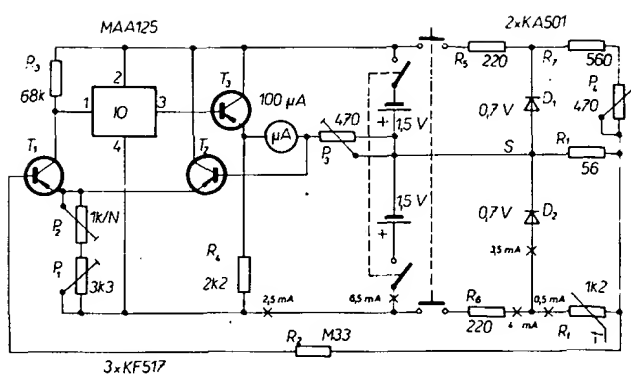


Obr. 4. Použití diod pro stabilizaci malého napájecího napětí



Obr. 5. Zapojení jako v obr. 4a s vyvedným středem zdroje

Obr. 6. Schéma zapojení měřiče teploty



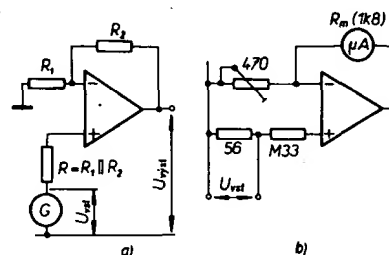
jsou tvořeny stabilizačním obvodem se dvěma diodami a odporem  $R_7$ , trimrem  $P_4$  a termistorem  $R_1$ . Rovná-li se odpor složený z  $R_7$  a  $P_4$  odporu termistoru  $R_1$ , nevytvoří se žádné napětí na  $R_1$ , OZ není buzen žádným napětím, ručka měřidla zůstane na nule. Naopak, bude-li mít termistor menší odpor než  $R_7$  a  $P_4$ , vznikne na  $R_1$  napětí, které po zesílení v OZ způsobí výchylku měřidla, úměrnou změně odporu termistoru. Odpor  $R_1$  je součástí děliče v bázi  $T_1$ , který určuje proud tohoto tranzistoru.

V klidovém stavu po zapnutí přístroje (bez stisknutí tlačítka) nemůže na  $R_1$  vzniknout žádné napětí. Posun nuly souvisí pouze s funkcí OZ; je mírně závislý na teplotě okolí, případné odchylky od nuly se vyrovnávají potenciometrem  $P_2$ , který je za tím účelem vyveden na panel přístroje.

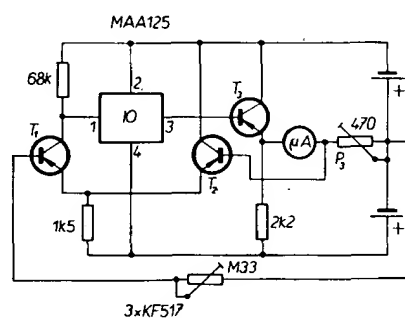
Na obr. 7a je znázorněn princip měření teploty při použití symboliky používané pro operační zesilovače.  $R_1$  je předřadný odpor měřidla,  $R_2$  vnitřní odpor měřidla,  $R$  odpor děliče určujícího proud báze  $T_1$ ,  $U_{st}$  je napětí přiváděné z můstku (obr. 7b). Podle [2] platí vztahy

$$U_{st} = U_{výst} \frac{R_1}{R_1 + R_2}$$

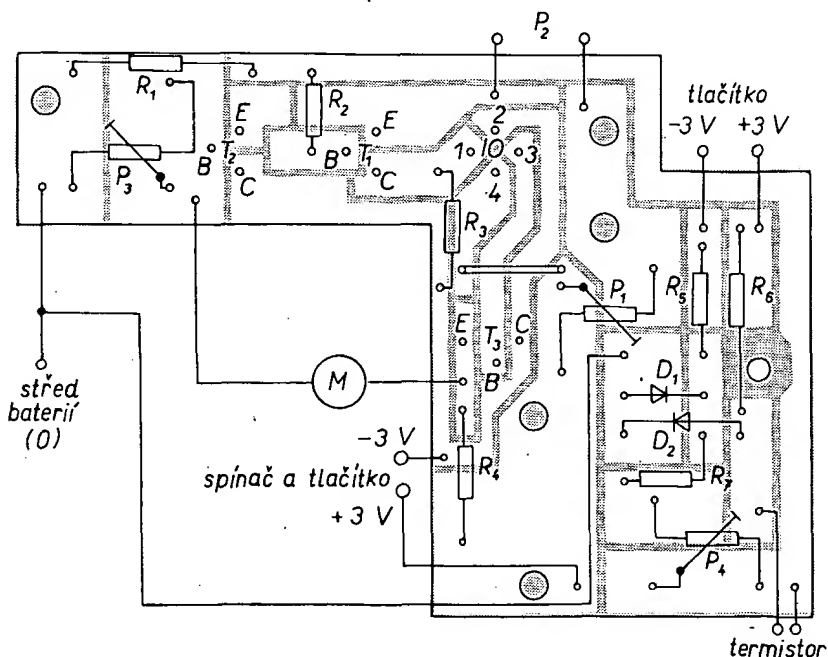
$$U_{výst} = U_{st} \frac{R_1 + R_2}{R_1}$$



Obr. 7. Základní schéma s použitím symboliky používané pro OZ



Obr. 8. Zapojení pro zkoušení tranzistorů



Obr. 9. Deska s plošnými spoji J 521 měřiče teploty

$$R_p = R_{vst} \frac{A_v}{A}.$$

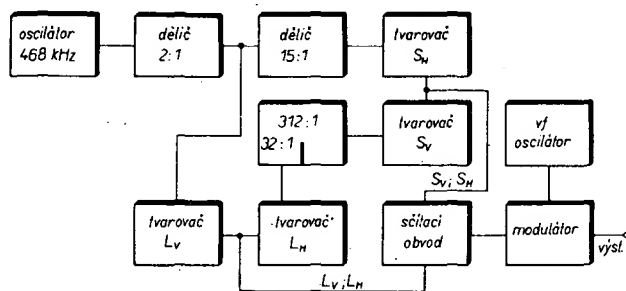
# generátor mříží

Ing. Jiří Říha

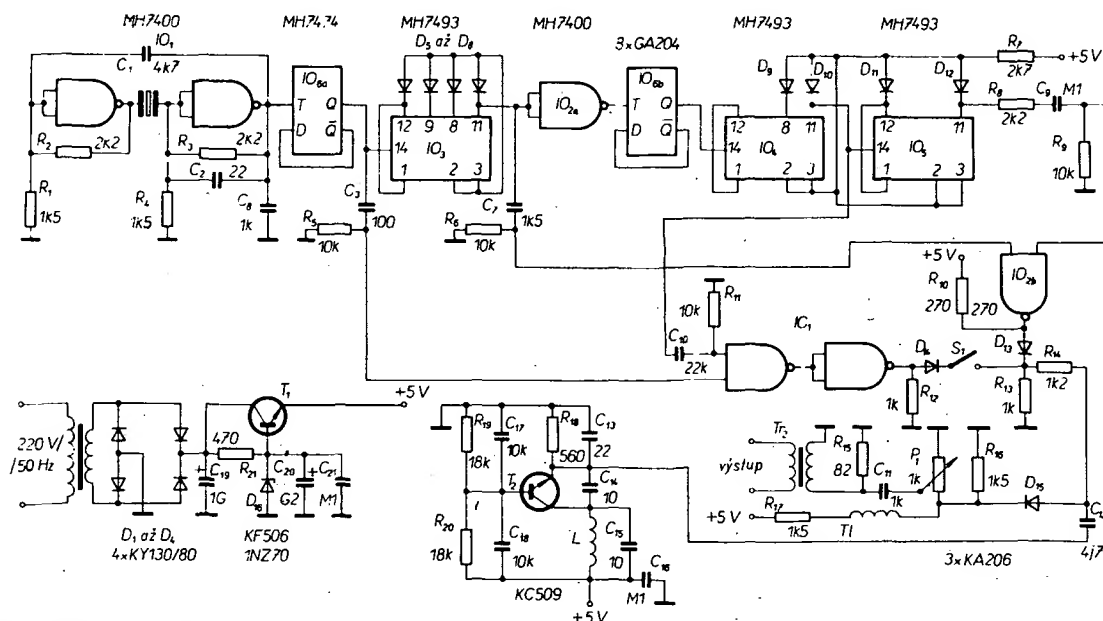
Při nastavování konvergenčních obvodů, posuzování vlastností vychylovacích obvodů i při kontrole citlivosti televizního přijímače lze s výhodou použít generátor mříží. Popisovaný generátor je zdrojem vysokofrekvenčního signálu s modulací vhodnou pro vytvoření obrazu ve formě bílých mříží na obrazovce TVP. Přístroj je osazen převážně číslicovými integrovanými obvody.

Princip činnosti generátoru vyplývá z blokového schématu na obr. 1. Kmitočet modulačního signálu je odvozen ze základního oscilátoru (468 kHz) řízeného krystalem. Tím je zaručena dostatečná stálost kmitočtu odvozených impulsních průběhů a tím i stabilní zobrazení. Ze základního oscilátoru se získávají jednak synchronizační impulsy, jednak signál vlastních mříží jako kombinace vertikálních a horizontálních čar. Odvozený řádkový a obrazový kmitočet je  $f_H = 15\,600\text{ Hz}$  a  $f_V = 50\text{ Hz}$ . Dělením kmitočtu 468 kHz v poměru 2 : 1 získáme kmitočet impulsů pro vytvoření vertikálních čar, dalším dělením (15 : 1) kmitočet řádkových synchronizačních impulsů  $S_H$ . Při použitím poměru číselného a zpětného běhu je z 15 čar zobrazeno na obrazovce 12. Děličem s dělicím poměrem 312 : 1 se získává obrazový

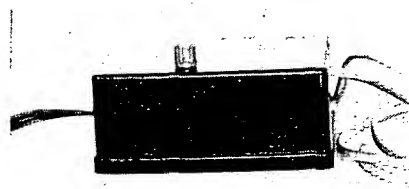
kmitočet 50 Hz. Z tohoto děliče je třeba odvodit impulsy signálu horizontálních čar. Kmitočet horizontálních čar, řádkový kmitočet a obrazový kmitočet nelze vzájemně vázat jednoduchými dělicími poměry. Kmitočet horizontálních čar je získán z děliče 32 : 1, přičemž dělič ukončuje cyklus po 312. impulsu. Časový interval mezi horizontálními čarami je v tomto případě 2,05 ms a (odečteme-li trvání zpětného běhu) na obrazovce se tedy umístí 8 až 9 čar podle vlastností přijímače. Při počtu 12 vertikálních na 9 horizontálních čar je poměr stran obrazu 4 : 3 a mříže jsou čtvercové. Jak synchronizační impulsy, tak impulsy čar jsou získány tvarováním derivovaných impulsů z příslušných děličů. Časové konstanty derivačního členu a vlastnosti integrovaných obvodů určují šířku jednotlivých impulsů.



Obr. 1. Blokové schéma generátoru

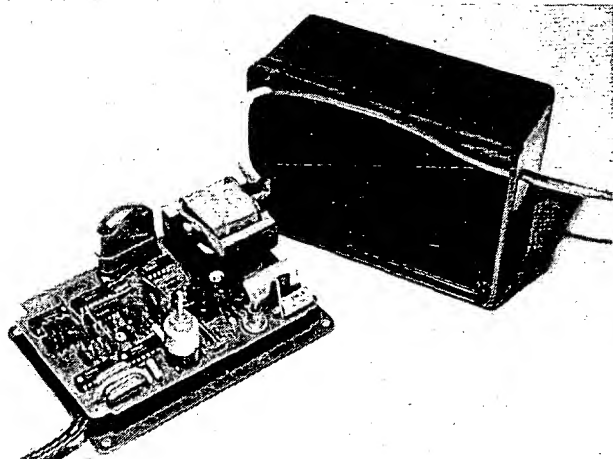


Obr. 2. Schéma zapojení generátoru

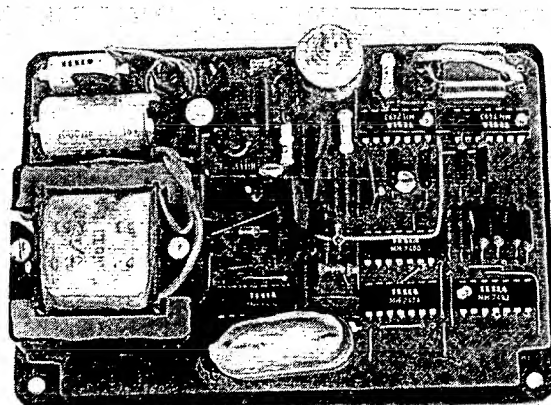


Synchronizační impulsy a impulsy čar jsou sečteny a přivedeny do modulatoru. Vysokofrekvenční signál z oscilátoru, pracujícího na kmitočtu 3. kanálu II. TV pásma, je modulován zkušebním videosignálem a přivádí se na anténní vstup televizního přijímače.

Schéma zapojení přístroje je na obr. 2. Mechanické provedení je zřejmé z obr. 3 a 4, deska s plošnými spoji J 522 je na obr. 5. Základní oscilátor s kmitočtem 468 kHz tvoří integrovaná hradla  $IO_1$  (a, b). Děliče 2 : 1 jsou z klopných obvodů typu D (MH7474) s vazbou D na Q. Děliče 15 : 1 a 312 : 1 jsou koncepčně řešeny obdobně. Využívají k dělení binárních děličů MH7493, přičemž počítací cyklus je po dosažení určitého stavu, odpovídajícího dělicímu poměru, ukončen pomocí diodové matice návratem integrovaných obvodů do stavu log. 0. Pro pochopení činnosti můžeme vyjít z tabulky logických stavů při čítání. Po dosažení stavu log. 1 na zvolených výstupech má diodová matice výsledný součet log. 1 a nulovací vstup uvede obvod do počátečního (vynulovaného) stavu a cyklus začíná znovu. Na jednom integrovaném obvodu MH7493 tak lze získat dělicí poměr od 2 do 16. Děličem 15 : 1 je integrovaný obvod  $IO_3$ , dělič 312 : 1 tvoří integrované obvody  $IO_4$  a  $IO_6$ . Impulsy pro horizontální čáry jsou odvozeny z části děliče 312 : 1 ( $IO_3$ ,  $IO_6$ ). Jak již bylo uvedeno, je jak pro impulsy čar, tak pro synchronizační impulsy nutno zajistit určitou šířku. Impuls z děliče je proto tvarován derivačním členem RC a následujícím integrovaným hradlem. Časová konstanta derivačního členu, zahrnující v sobě vliv odporu u vstupního



Obr. 3. Celkové provedení generátoru mříží



Obr. 4. Montáž desky přístroje

tranzistoru hradla, a překlápěcí úroveň hradla určují šířku impulsů svislých a vodorovných čar a synchronizačních impulsů. Derivačními členy čar jsou  $R_5C_3$ ,  $R_{11}C_{10}$ , u synchronizačních impulsů  $R_6C_7$ ,  $R_9C_8$ . Logický součin součinovými hradly NAND zajistí stav výstupu hradla log. 1, vyskytne-li se na vstupu impuls alespoň jedné čáry, popř. synchronizačního impulsu. Výsledné synchronizační impulsy mají úroveň log. 1, impulsy čar log. 0. Amplituda synchronizačních impulsů je záměrně větší než úroveň impulsů čar (pomocí předpětových odporů  $R_{10}$ ,  $R_{12}$ ), aby synchronizační signál přesahoval úroveň „černé“. Synchronizační signál a signál mříží je sečten pomocí diod  $D_{13}$  a  $D_{14}$ , které současně oddělují výstupy tvarovačů. Vysokofrekvenční oscilátor s tranzistorem  $T_2$  pracuje na kmitočtu asi 78 MHz (3. kanál II. TV pásma). Vysokofrekvenční signál a modulační signál se přivádějí na modulační diodu  $D_{15}$ , která mění svoji vodivost podle

předpětí na diodě, daného modulací a stejnosměrným napětím ( $R_{17}$ ,  $R_{16}$ ,  $P_1$ ). Dioda vede nejvíce v oblasti synchronizačních impulsů a nevede v době trvání impulsů čar. Tímto způsobem získáváme modulovaný vysokofrekvenční signál. Úroveň signálu je řízena potenciometrem  $P_1$  až do úrovně 50 mV. Přes symetrizační člen  $T_7$  se signál přivádí na vstup TVP. K napájení všech obvodů slouží stabilizovaný zdroj +5 V s jednoduchou stabilizací tranzistorem  $T_1$  a referenčním napětím z diody  $D_{16}$ . Vypnutím spínače  $S_1$  se přeruší přívod signálu čar do modulační (na obrazovce se objeví pouze bílá plocha).

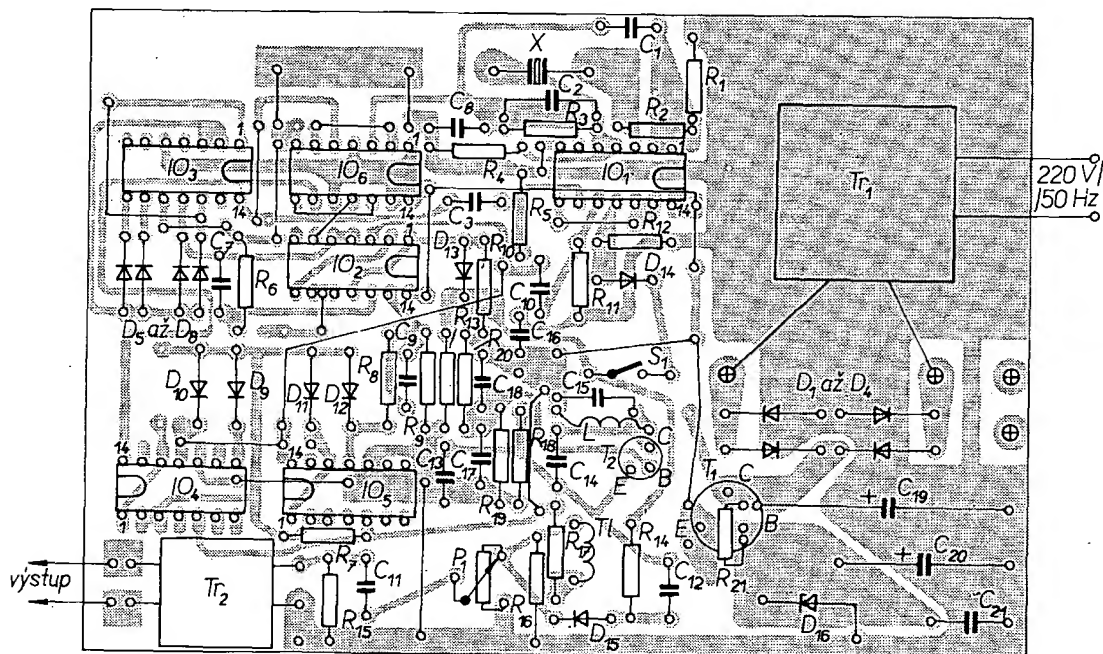
Mechanické provedení generátoru mříží je zřejmé z obr. 3 a 4. Součástky jsou připájeny na desce s plošnými spoji, celek je vestavěn do krabíčky z plastické hmoty. Na horní stěně skříňky je knoflík potenciometru pro řízení amplitudy výstupního signálu; vř signál je vyveden televizní dvoulínkou.

Rozmístění součástek je patrné z obr. 5.

Údaje a označení použitých součástek odpovídají schématu na obr. 2. Typ použitých součástek není kritický; odpory jsou vesměs TR 112 a TR 151, kondenzátory keramické a elektrolytické (řada TE 980). Síťový transformátor je tovární výrobek (TRMc 12 MuR), vyhoví však kterýkoli síťový transformátor 220 V/12 V pro proud sekundárního vinutí alespoň 0,2 A. Indukčnost laděného obvodu  $L$  je samonosná cívka (12 z drátu o  $\varnothing$  0,3 mm), vysokofrekvenční tlumivka  $Tl$  má 30 z drátu o  $\varnothing$  0,15 mm na feritové tyčce o  $\varnothing$  3 mm.

#### Literatura

- [1] Filipzik, H.: PAL – Regenbogengenerator. Funktechnik, 22, č. 9/1967, str. 311 až 315.
- [2] Gublass, E.: Angewandte Digitaltechnik im Fernseh-Service-Gittermuster-Generator „SPG 221“. Funktechnik, 29, č. 4/1974, str. 125 až 128.



Obr. 5. Deska s plošnými spoji J 522 generátoru mříží

# Přijímací technika

## Tuner pro VKV 66 až 104 MHz

Ing. Jan Klabal

*Tuner je řešen jako doplňková jednotka k vestavění do přijímače či nf zesilovače. Jeho mechanická i elektrická koncepce je netradiční, avšak přesto by ani jeho výroba, ani nastavení neměly činit valné potíže i méně vyspělým zájemcům o jeho stavbu. Tuner sestává ze dvou samostatných celků (na dvou deskách s plošnými spoji), ze vstupní jednotky a z mezifrekvenčního zesilovače, jehož hlavní částí je integrovaný obvod MAA661. Řešení se dvěma deskami bylo zvoleno proto, aby bylo možno v případě potřeby využít pouze jedné části zapojení. Obě desky jsou spolu (po zapojení součástek) pevně spojeny připájením (přes stínící prepážku).*

### Vstupní jednotka

Je osazena třemi tranzistory a má čtyři laděné obvody; záporný pól napájecího napětí je spojen s kostrou. Ladění přes obě pásma VKV zajišťuje čtveřice varikapů čs. výroby KB105G; řídicí napětí pro ně je kladné (od 1,5 do 20 V). Potlačení nežádoucích kmitočtů: mf kmitočet 74 dB; zrcadlový kmitočet 34 dB; potlačení signálu stanice, která pracuje na kmitočtu, o polovinu mf kmitočtu větším než je přijímaný kmitočet ( $f_p + 1/2 \text{ mf}$ ) je 54 dB. Napěťový zisk jednotky je 36 dB, jmenovité napájecí napětí je 12 V. Protože vstupní jednotka musí být schopna přijímat nejen slabé signály vzdálených vysílačů pásma CCIR, ale musí také dobře zpracovat silné signály místních stanic, je použit samostatný tranzistor v obvodu oscilátoru, aby nedocházelo ke strhávání kmitočtu oscilátoru silným přijímaným signálem. Toto zapojení má také podstatně větší kmitočtovou stabilitu ve srovnání se samokmitajícím směšovačem, což se příznivě projevuje při příjmu slabších stanic.

Podnětem k použití čs. varikapů k ladění jednotky byl trvalý nedostatek vhodných ladících kondenzátorů na našem trhu, a také výhodné vlastnosti varikapů, jako jsou malé rozměry, snadná montáž, možnost dálkového či tlačítkového ladění aj. Protože je stavba tuneru určena spíše těm méně znalým, nebude na škodu říci si několik slov pro objasnění činnosti varikapu.

Varikap je v podstatě polovodičová dioda s přechodem p-n, na kterém se vlivem volných děr a elektronů (dále nositelů) vytvoří rozdíl potenciálů (difúzní napětí  $U_D$ ). Vznikem  $U_D$  se zastaví další difúze, neboť toto napětí odpudí elektrostatickou silou další volné nositele od přechodu. Vytvoří se tak přechodová vrstva bez volných nositelů, jejíž izolační vlastnosti odpovídají dielektrické konstantě příslušného polovodiče. Připojením vnějšího napětí na přechod (záporným pólem na oblast p, kladným n na oblast n) se zvětší přechodová izolační vrstva, neboť se zvětší elektrostatické odpudivé síly pro volné nositele. Změnou velikosti vnějšího napětí můžeme ovlivňovat tloušťku izolační vrstvy a tím kapacitu přechodu. Při zvětšení vnějšího

ho napětí se kapacita zmenšuje, při zmenšení napětí se zvětšuje. Maximální přípustné napětí na přechodu v závěrném směru (a tím i nejmenší dosažitelná kapacita) jsou udány výrobcem. Proud v závěrném směru je téměř nulový.

Průběh kapacity varikapu v závislosti na řídicím napětí je značně nelineární a svým charakterem se poněkud přibližuje průběhu logaritmickému. Je proto výhodné použít k regulaci řídicího napětí logaritmický potenciometr zapojený tak, aby se oba průběhy částečně kompenzovaly. Varikap však lze také řídit napětím střídavým, což poněkud zpřisťuje požadavky na stejnosměrné řídicí napětí, jež musí být nejen dokonale stabilizované, aby se tuner nerozladil vlivem kolísání napětí, ale také musí být dokonale usměrněné (při dálkovém ladění jeho vedení stíníme, aby se nemohl namodulovat do signálu brum). Rovněž napětí blízkého vysílače nakmitané na laděných obvodech může být zdrojem nepříjemnosti, protože varikap je současně také usměrňovací diodou. Je-li nakmitané vř napětí dosti velké, může po usměrnění posouvat počáteční kapacitu varikapu, popř. se může zmenšit odolnost proti křížové modulaci a intermodulaci. Nejmenší ladící napětí pro varikap musíme volit tak velké, aby bylo větší než toto případné napětí.

Abyste bylo možno vstupní jednotku snadněji realizovat, byly všechny indukčnosti laděných obvodů navrženy v plošném tvaru a vyrobeny odleptáním spolu se spoji na společné desce. Z hlediska opakované stavby jsou výhody těchto cívek nesporné, neboť odpadá shánění potřebného materiálu na výrobu vinutých cívek (kostry, jádra, drát) i jejich přesná výroba a nastavení. Určité nevýhody plošných cívek však značně omezují možnosti jejich použití; proto se s jejich vlastnostmi seznámíme podrobněji.

Určujícími veličinami při návrhu plošné cívky jsou (kromě indukčnosti) také požadovaná jakost a rozměry. Pro výpočet indukčnosti plošných cívek sice existují pokusné stanovené vzorce, avšak při konečném návrhu je třeba počítat s tím, že výsledná indukčnost se změní působením okolního prostředí. Dosažitelná jakost plošných cívek je určena

hlavně plochou vodiče, vzdáleností mezi závitů, geometrickým tvarem cívky a ztrátovým činitelem izolační podložky. Všeobecně platí, že čím je závit širší a mezera mezi závitů menší, tím je jakost cívky větší. Jak z hlediska výroby cívky, tak i z hlediska prostoru je tento vztah pro jakost nepříznivý. Rovněž velká plocha styku vodiče se základním materiálem jakost cívky zhoršuje vlivem ztrátového činitele materiálu podložky. Při návrhu a konstrukci těchto cívek je třeba volit vhodný kompromis mezi velikostí cívky, šířkou vodiče a mezerou mezi závitů.

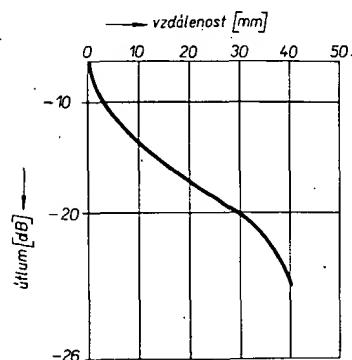
Tvar plošných cívek může být různý. V našem případě je použita pravouhlá spirála, jež má (při stejném počtu závitů) přibližně o 12 % větší indukčnost než spirála kruhová, ale činitel jakosti je poněkud menší vlivem vířivých proudů, vznikajících v rozích spirály. Mechanická stálost plošných cívek závisí hlavně na vlastnostech izolačního podkladu, jehož rozměry se při změnách teploty mění. V tomto ohledu je výhodnější použít pro plošné spoje cuprexit než cuprekkart.

Plošné cívky tvoří vlastně malou rámovou anténu (jak vysílací, tak i přijímací), a aby nedocházelo k vzájemné vazbě mezi nimi, musí být od sebe dostatečně vzdáleny. Průběh útlumu v závislosti na vzdálenosti cívek je v grafu na obr. 1. Zesílení stupně musí být navrženo s ohledem na možnou vzdálenost vstupní a výstupní cívky.

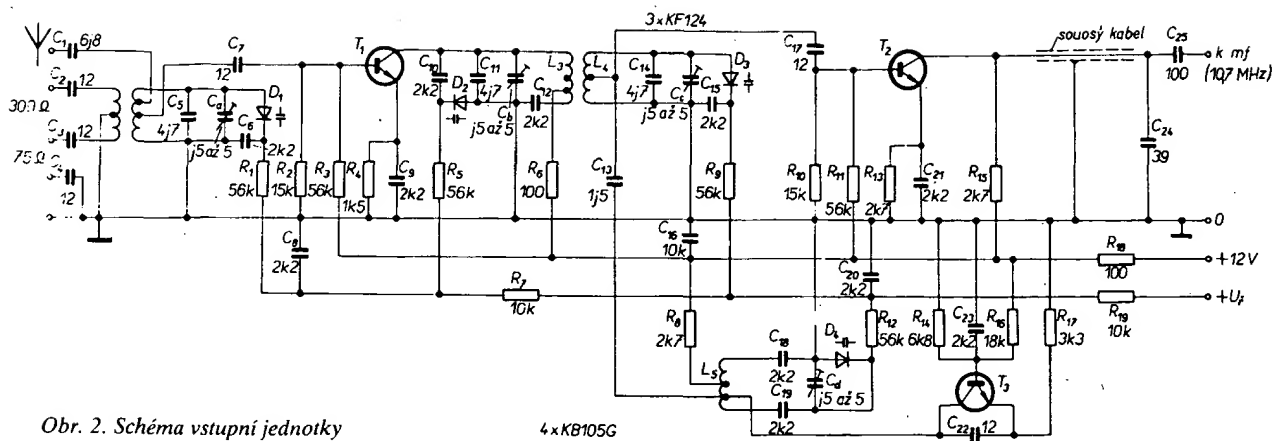
Cívky tuneru jsou navrženy tak, aby bylo dosaženo příznivých parametrů vstupní jednotky i za cenu poněkud větších rozměrů jednotky. Jakost obvodů realizovaných těmito plošnými cívkami není příliš velká; tím je i šířka přenášeného pásma dosti značná, což má nepříznivý vliv na přenosové vlastnosti jednotky. Bylo proto zvoleno zapojení vstupní části se čtyřmi laděnými obvody a s transformátorovou vazbou mezi vstupním a směšovací trázistorem.

### Popis zapojení vstupní jednotky

Schéma zapojení je na obr. 2. Anténní vstup je symetrický (300  $\Omega$ ), s uzemněným středem. Na jednu polovinu této symetrické smyčky, řešené v plošném tvaru, lze (proti



Obr. 1. Vliv vzdálenosti dvou plošných cívek na útlum indukovaného napětí



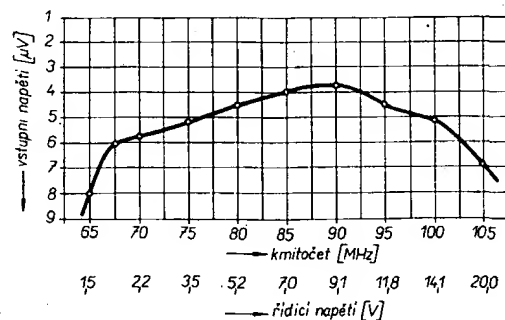
zemi) připojit sousoy kabel (75  $\Omega$ ). Pro místní příjem lze připojit na vstupní cívku přes kapacitu  $C_1$  náhražkovou drátovou anténu. Vhodným provedením anténní vazby u vstupní cívky (obr. 3) je dosaženo symetrie obou polovin vazebního vinutí lepší než 1 dB (proti uzemněnému středu). Kapacity v anténním přívodu ( $C_2$ ,  $C_3$ ) a v zemním přívodu při použití sousošého vodiče ( $C_4$ ) jednak galvanicky oddělují jednotku od anténního svodu (bude-li vestavěna do síťového přijímače), jednak omezují případné pronikání signálů krátkovlnných stanic z antény přes vstupní jednotku do mf zesilovače. Tyto kapacity poněkud zmenšují úroveň vstupního signálu a proto je nepouzijeme, nebude-li jich bezpodmínečně zapotřebí. Aby malá

impedance tranzistorů netlumila vstupní obvod, je signál veden na bázi  $T_1$  přes malou kapacitu ( $C_1$ ).

destičce, jejich velikost, směr vinutí a vzájemná vzdálenost. Obvod musí být správně navržen a experimentálně dorešen autorem; při samotné stavbě na hotové desce s plošnými spoji je práce ve srovnání s „vinutými“ obvody mnohem snazší.

Kapacity 2,2 nF u jednotlivých laděných obvodů slouží ke stejnosměrnému oddělení obvodů. Musí mít malé rozměry a co nejmenší indukčnost, aby příliš neměnily rezonanční kmitočet obvodů. Vhodné jsou malé typy poduškového provedení (hnědé barvy). Jejich kapacita není kritická a může být 1 až 5 nF. Příklady ke všem součástkám v laděných obvodech co nejvíce zkrátíme, aby se jejich indukčnost příliš neuplatnila. Směšovač je navázán na laděný obvod malou kapacitou ze stejného důvodu jako u vstupního obvodu. Vše napětí z oscilátoru je přivedeno na bázi směšovače přes kapacitu  $C_{13}$ , která má být co nejmenší, aby silný signál místního vysílače, přivedený přes vstup na bázi směšovače přes tuto kapacitu, nerozlaďoval oscilátor. Výstup ze směšovače je veden krátkým sousoým kabečkem přes kapacitu 1,5 nF do mř zesilovače. Kondenzátor 39 pF tlumí vyšší složky směšovacích produktů.

Zapojení oscilátoru je běžné; ihned po zapojení by měl oscilátor správně pracovat. Při stavbě vstupní jednotky doporučuji zapojit a vyzkoušet nejprve oscilátor, což bude pro většinu zájemců velmi snadné i bez použití jakýchkoli měřicích přístrojů. Po zapojení všech součástek oscilátoru na desku připojíme napájecí napětí (stačí dvě ploché baterie) a přes potenciometr (jeho konce připojíme na toto napájecí napětí, střed na vývod  $U_i$ ) připojíme řídicí napětí varikapu. Pro kontrolu správné činnosti použijeme přístroj, který se dnes jistě najde v každé domácnosti, a to televizní přijímač, který bude indikovat druhou harmonickou kmitočtu našeho oscilátoru. Kanálový volič TV přepneme na některý kanál ve třetím TV



Obr. 4. Citlivost vstupní jednotky pro poměr signálu k šumu 26 dB v závislosti na kmitočtu, popř. řídicím napětí (měřeno při kmitočtovém zdvihu 22,5 kHz)

pásmu. Do anténní zdířky TVP zasuneme kus vodiče, který přiblížíme k cívkě oscilátoru nebo jej připojíme na některý pól napájení oscilátoru (jen pokud napájíme z baterií). Pomalým otáčením potenciometru musíme nalézt jedno či více míst, kdy se ve zvuku TVP zvětší šum a obrazovka potmění, popř. se na ní objeví četné vertikální vlnění. Při největším ztemnění obrazovky šum v reproduktoru zanikne. Nereaguje-li TVP při otáčení potenciometrem, je vada jediné v oscilátoru. Po zapojení celé vstupní jednotky je vhodné tuto zkoušku opakovat. Průběh změny kmitočtu v závislosti na řídicím napětí je patrný z grafu na obr. 4.

Všechny použité odpory jsou běžné (malého provedení), kondenzátory poduškovité či terčíkové. Stéblkové (trubičkové) kondenzátory nepoužíváme pro jejich poměrně velkou indukčnost. Je-li jednotka správně vyrobena a nastavena (o nastavení si povíme v závěru), nelší se svými parametry od přijímačů střední jakostní třídy.

### Koncepce mezifrekvenčního zesilovače

Uvedení integrovaného obvodu MAA661 na trh umožnilo realizovat novou koncepci laděného mf zesilovače. Zisk tohoto obvodu na kmitočtu 10,7 MHz je srovnatelný se ziskem třístupňového zesilovače; při jeho použití jako mf zesilovače je třeba připojit na jeho vstup dostatečně selektivní pásmovou propust, aby bylo zesíleno pouze potřebné kmitočtové pásmo. K tomuto účelu se používají buď filtry soustředěné selektivity sestavené z několika jednoduchých laděných obvodů, vázaných většinou kapacitní napětovou vazbou, nebo keramické filtry. Filtry soustředěné selektivity s obvody LC jsou výrobně náročné a jejich správné a přesné nastavení vyžaduje těžko dostupné měřicí přístroje. Keramické filtry jsou zase svou prodejní cenou a naprostým nedostatkem na trhu pro většinu zájemců nedostupné.

V mf zesilovači, použitém v tuneru, se používá autorem navržené a četnými zkouškami ověřené řešení. Filtr je velmi levný, lehce dostupný, výrobně jednoduchý, poměrně snadno nastavitelný a průběh jeho kmitočtové charakteristiky je srovnatelný s kmitočtovou charakteristikou třístupňového zesilovače. Řešení využívá skutečnosti, že při induktivní vazbě dvojitého laděného obvodu je určujícím činitelem průběhu kmitočtové charakteristiky nejen jakost obvodů, ale také stupeň vazby mezi nimi.

Volba šířky pásma, jakou má přenést mf zesilovač, je stále ještě do určité míry věcí názoru. Z teorie kmitočtové modulace je známo, že signál FM obsahuje široké kmitočtové spektrum a k jeho přenesení by bylo třeba značné šířky kmitočtového pásma. I když jsou postranní složky přenášeného kmitočtu v signálu potřebné, neboť dotvářejí věrný zvuk, přesto je třeba šířku pásma omezit na únosnou míru. Západní normy doporučují užší kmitočtové pásmo, protože jsou k tomu nuceny velkým počtem vysílačů s malými odchylkami nosných kmitočtů; norma CCIR z r. 1963 doporučuje šířku podstatně větší. Optimální řešení pro přijímač pracující v obou normách a splňující požadavky na jakostní přenos signálu i z hlediska rušení sousedními vysílači je šířka přenášeného pásma 200 až 240 kHz a co nejstrmější boky křivky propustnosti. Tato šířka pásma se doporučuje pro příjem monofonního i stereofonního signálu.

Dvojitě laděné obvody (pásmové propusti) jsou velmi často používány jako vazební články mf zesilovačů, protože jejich selekti-

vita je mnohem větší než při vazbě jednoduchými obvody. Součin zisku a šířky pásma u vícestupňových zesilovačů je při jejich použití velmi nepříznivý. Aby byla selektivita dostatečná při potřebné šířce přenášeného pásma i při příjmu stereofonního signálu, navrhuje se obvykle mf zesilovače tří až čtyřstupňové. Zisk takového zesilovače je již plně vyhovující i při šířce pásma 250 kHz a strmosti boků křivky propustnosti 30 až 36 dB při šířce pásma 600 kHz.

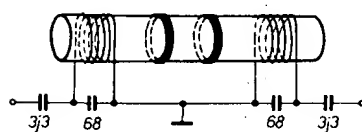
Pásmová propust, použitá v popisovaném mezifrekvenčním zesilovači, je v podstatě velmi málo zatlučený dvojí laděný obvod vázaný pouze vzájemnou indukční vazbou, jednoduše a přesně nastavitelnou. K tomu, aby mohl být stupeň vazby plynule měněn a tím byl dosažen potřebný tvar přenosové charakteristiky, bylo třeba vhodně uspořádat oba rezonanční obvody tak, aby bylo možno vazbu měnit.

Zapojí-li se dva paralelní rezonanční obvody LC tak, aby je zdroj i zátěž zatěžovaly co nejméně, bude jakost obvodů při použití jakostní cívky a dobrého jádra značná, strmost boků křivky propustnosti každého obvodu bude velká, avšak šířka přenášeného pásma (pro pokles o 3 dB) každého z obvodů bude velmi malá. Změnou vzájemné vazby mezi těmito obvody můžeme dosáhnout podkritické, kritické či nadkritické vazby a tomu odpovídající průběh křivky propustnosti. Vhodným tlumením obou obvodů a nastavením vazby mezi cívkami lze měnit šířku propouštěného pásma a strmost boků křivky propustnosti.

### Konstrukce pásmové propusti

Jako nejvýhodnější pro vytvoření potřebného stupně vazby a pro její plynulou změnu se ukázala po mnoha ověřovacích pokusech běžně dostupná feritová tyčka z materiálu N2N, používaná pro feritové antény v pásmu středních vln. Bývá označena modrým nebo zeleným bodem; oba typy jsou stejně vhodné a po nepatrném doladění záměnné. Uvedené ferity jsou vhodné jako vazební prvek pro pásmové propusti popsaného typu, které pracují na rezonančním kmitočtu v pásmu 3 až 20 (25) MHz. Při vyšších kmitočtech se zmenšuje strmost boků a zvětšuje se přenášená šířka pásma. Při kritické vazbě lze dosáhnout na kmitočtu 3 MHz šířky pásma 100 kHz, na kmitočtu 21,4 MHz šířky až 1 MHz. Délka feritové tyčky je (podle použitého rezonančního kmitočtu) 100 mm (pro 3 MHz) až 40 mm (pro 21,4 MHz). Pro kmitočet 10,7 MHz byla zjištěna jako nejvýhodnější délka 55 mm.

Výroba feritové pásmové propusti (obr. 5) je velmi snadná a je obdobná pro libovolný rezonanční kmitočet. Pro kmitočet 10,7 MHz je použita tyčka o průměru 7 až 8 mm a o délce  $55 \pm 2$  mm, zakoupená buď přímo s tímto rozměrem, nebo získaná zkrácením delšího kusu (hranou ostrého pilníku se zapiluje do hloubky 1 mm drážka a ferit se přelomí). Na tyčku je z každé strany (2 mm od konce) ve stejném smyslu navinuto po osmi závitech drátu o průměru 0,25 až 0,3 mm CuL závit vedle závitu. Vnitřní



Obr. 5. Feritová pásmová propust

konce obou cívek jsou uzemněné. Vzájemná záměna vývodů či záměna smyslu vinutí nemá podstatný vliv na tvar přenosové charakteristiky, má pouze malý vliv na útlum. Obě cívky jsou zajištěny proti posunutí zakápnutím (voskem, lakem).

Jsou-li oba rezonanční obvody stejně vzdáleny od konců tyčky, je střední kmitočet přenášeného pásma nejmenší a útlum propusti také nejmenší. Posuvem feritové tyčky lze měnit rezonanční kmitočet až o 1 MHz směrem k vyšším kmitočtům, přičemž se útlum zvětší až o 6 dB. Posuvem cívek rezonančních obvodů ke středu feritu přechází vazba v nadkritickou.

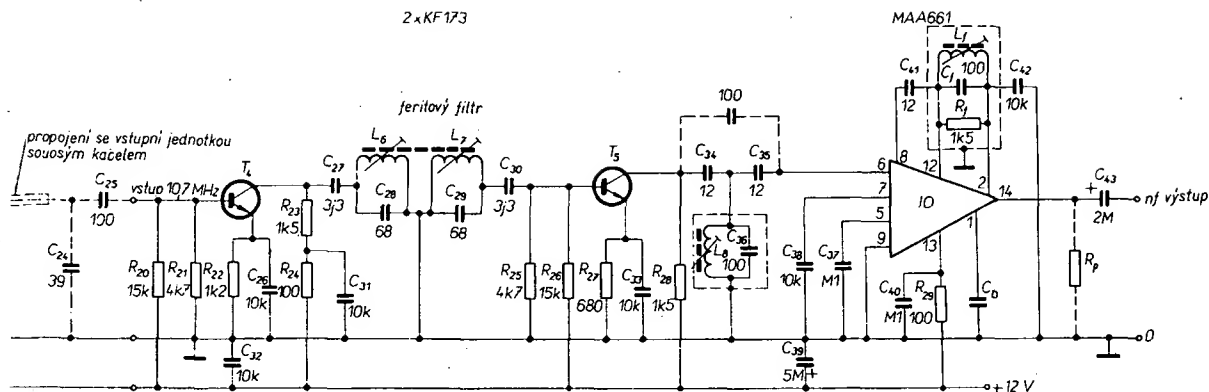
Mezi oběma rezonančními cívkami jsou na feritu umístěny dva zkratovací měděné kroužky posuvné po tyčce. Jsou vyrobeny navinutím dvou závitů neizolovaného měděného drátu o průměru 0,8 mm propájených cínem. Symetrickým posouváním obou kroužků po feritu směrem k cívkám se mění vazba mezi obvody od nadkritické (oba kroužky uprostřed), přičemž je šířka pásma pro pokles o 3 dB větší než 350 kHz, až k podkritické vazbě se šířkou pásma asi 150 kHz. Dalším posuvem kroužků k cívkám se začne zvětšovat útlum propusti a šířka propouštěného pásma se již téměř nemění; poněkud se mění pouze rezonanční kmitočet. Místo dvou kroužků lze použít jeden prstenec o šířce 5 až 20 mm podle požadované šířky přenášeného pásma (pro 200 kHz je prstenec široký 14 mm). Posunem feritové tyčky (s prstencem tlumení uprostřed) mezi cívkami upevněnými nepohyblivě na desce s plošnými spoji lze jednoduše dosáhnout kritické vazby nastavením na nejmenší útlum propusti. Čím užší je prstenec, tím je propouštěné pásmo širší.

Pro dané určité tlumení, dané polohou kroužků či šířkou prstence, je charakteristická nejvýhodnější vzdálenost obou cívek na feritu a tomu odpovídající šířka propouštěného pásma se stejným útlumem přenášeného signálu.

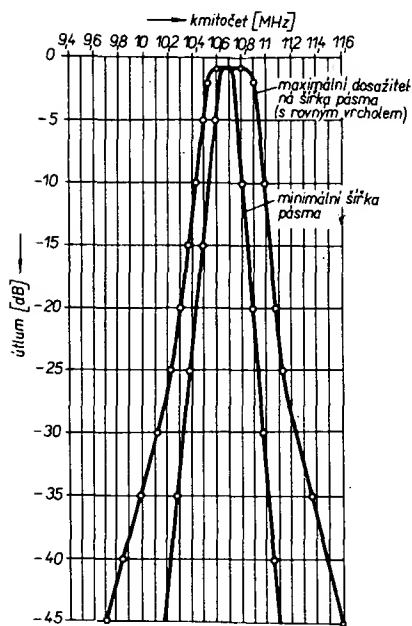
Feritovou pásmovou propust (ať již s kroužky nebo s prstencem) lze poměrně jednoduše a dobře nastavit, a to pouze na minimální útlum, i bez měřicích přístrojů; s jejich použitím je však možno nastavit optimální pracovní podmínky propusti, tj. minimální útlum signálu při požadované šířce pásma. S takto nastavenou pásmovou propustí se již oba následující obvody mf zesilovače ladí svými jádry pouze na maximální zisk (největší hlasitost nf signálu po demodulaci).

Upevněním feritové tyčky s cívkami na desku s plošnými spoji a paralelním připojením kondenzátorů 68 pF ke každé desce je propust hotová, zbývá ji pouze nastavit. Stínit ji není bezpodmínečně nutné, protože vlivem tlumících kroužků je ferit rozdělen na dvě samostatné části a pro pracovní kmitočet je už ferit tohoto typu jako anténa nevhodný. Při umístění feritové propusti se snažíme, aby nebyly v její těsné blízkosti (10 až 20 mm) rozměrnější kovové předměty; malá vzdálenost (menší než 5 mm) vodivých předmětů zvětšuje útlum propusti.

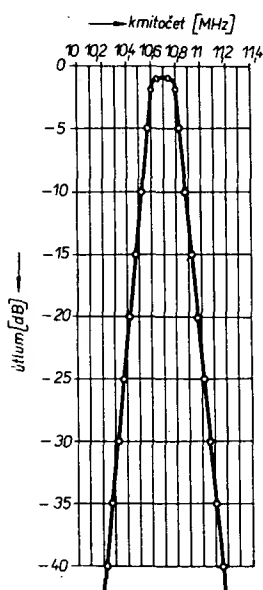
S délkou feritové tyčky 55 mm lze dosáhnout na kmitočtu 10,7 MHz vazby kritické i nadkritické; při kritické vazbě je také přenos v napětí největší, nastavujeme tedy vazbu na maximální zesílení. Vhodný průběh křivky dosáhneme posouváním zkratovacích kroužků po tyčce mezi cívkami. Protože se posunem kroužků poněkud mění rezonanční kmitočet obvodu, musíme, je-li třeba jej bezpodmínečně dodržet, oba obvody doladit buď paralelním připojením malých kapacit nebo malou změnou polohy rezonančních



Obr. 8. Schéma mf zesilovače a demodulátoru



Obr. 6. Nejmenší a největší dosažitelná šířka pásma propusti



Obr. 7. Šířka pásma propusti, nastavená u popisovaného tuneru

cívky na feritu. Optimálním nastavením tlumících kroužků lze dosáhnout mírně nadkritické vazby se šířkou pásma 200 až 250 kHz; průběh křivky  $S_{300}$  (strmost boků) je srovnatelný s křivkou zesilovače běžného provedení se třemi laděnými propustmi.

Vazba feritové pásmové propusti na výstup a vstup tranzistorů je (obr. 5) napětová kapacitní s použitím velmi malých kapacit, aby rezonanční obvody byly co nejméně tlumeny vnitřním odporem tranzistorů. Zvětšením vstupní a výstupní kapacity se sice zmenší útlum, ale rozšíří se přenosová křivka. Na obr. 6 jsou křivky útlumu feritové pásmové propusti pro nejmenší a největší (při ploché vrcholové průběhu) dosažitelnou šířku pásma, na obr. 7 je křivka útlumu propusti, použitá v tuneru.

### Zapojení mf zesilovače

Je na obr. 8. Vstupní obvod mezifrekvenčního zesilovače je neladěný, signál se přivádí přímo na bázi tranzistoru  $T_1$ . Vazba na vstupní jednotku je realizována pouze kapacitním děličem  $C_{24}$  a  $C_{25}$ . Výstup mf signálu z tranzistoru  $T_3$  je na vstup integrovaného obvodu přiveden přes jednoduchý laděný obvod, který (protože je naladěn na střed přenášeného pásma) poněkud vyrovnává křivku v případě malé nadkritické vazby. Tento obvod také částečně zlepšuje přenos signálu a upravuje fázové poměry na vstupu integrovaného obvodu; na selektivitě zesilovače se prakticky nepodílí.

Mf signál je zesílen a demodulován integrovaným obvodem TESLA MAA661. Tento obvod je ekvivalentní zahraničnímu obvodu TAA661B. Obvod obsahuje na desce rozměrů  $1,25 \times 1,25$  mm širokopásmový limitující zesilovač, koincidenční detektor určený k demodulaci signálu FM, napětový stabilizátor, který umožňuje spolehlivou činnost obvodu v rozmezí napájecího napětí 6 až 15 V a výstupní nf zesilovač. Kmitočtový rozsah, který je tento obvod schopen zpracovat, je podle údajů výrobce 5 kHz až 60 MHz.

Širokopásmový zesilovač je složený ze tří diferenciálních stupňů vzájemně vázaných emitorovými sledovači. Zisk zesilovače na kmitočtu 10,7 MHz je asi 60 dB a při dostatečném vstupním vf napětí se amplituda signálu dokonale symetricky omezuje bez parazitních fázových posuvů. V zesilovači je zavedena stejnosměrná stabilizační zpětná vazba, jež zajišťuje spolehlivou činnost obvodu v teplotním rozsahu 0 až 100 °C. K demodulaci signálu není použit klasický detektor; využívá se k ní logické funkce (koincidence).

### Zapojení a činnost demodulačních obvodů

Správná činnost celého mf zesilovače je závislá i na dodržení optimálních pracovních podmínek detektoru v IO. I když je nastavení těchto podmínek v praxi jednoduché, přesto nebude na škodu, když se v krátkosti seznámíme s činností demodulačních obvodů. Napětí z výstupu diferenciálního zesilovače se vede na dva omezující zesilovače jednak přímo, jednak přes vnější fázovací obvod. Následkem koincidence (délky časové shody dvou napětových impulsů, vzájemně fázově posunutých o 90°) obvodu budou na jeho výstupu kladné impulsy pouze tehdy, budou-li mít napětí na jeho vstupech shodnou polaritu. Při změnách kmitočtu se mění také fázový posuv obou vstupních napětí a tím i interval, v němž budou obě polarity shodné. Výsledná šířka výstupního impulsu bude proto závislá na okamžitém kmitočtu vstupního signálu. Výstupní impulsy s proměnnou šířkou se přivádějí na integrační člen RC, jehož kondenzátor ( $C_D$  na vývodu 1 IO) se nabíjí na střední hodnotu napětí. Při středním mf kmitočtu  $f_0$  bude na kondenzátoru právě polovina maximální hodnoty vstupního napětí. Změnil-li se kmitočet, změnil se i fázový posuv. Při změně kmitočtu na jednu stranu od  $f_0$  dochází ke koincidence v delších časových intervalech a výsledné napětové impulsy jsou delší (tím je také výstupní napětí větší než polovina). Při opačné změně kmitočtu je koincidence kratší, impulsy jsou kratší a výsledné napětí menší. Tak se bude amplituda výstupního signálu zvětšovat či zmenšovat souhlasně s fázovým rozdílem obou napětí a bude tedy přímo úměrná kmitočtovému zdvihu.

Aby koincidenční detektor pracoval bez zkreslení, musí fázovací člen splňovat požadavek lineárního převodu napětí v daném kmitočtovém pásmu. Tomuto požadavku nejlépe vyhovuje jednoduchý obvod LC. Použije-li se tento obvod jako součást fázovacího obvodu, závisí lineární oblast demodulační charakteristiky pouze na jeho kvalitě. Čím je jakost obvodu větší, tím je použitelné kmitočtové pásmo užší a demodulační křivka strmější; také amplituda výstupního signálu se zvětší. Zlepší se i potlačení parazitní amplitudové modulace. Výhoda tohoto detektoru je zřejmá: k jeho nastavení stačí pouze přesně doladit jediný laděný obvod, a to na maximum přijímaného signálu. Zatlumením obvodu vhodným odporem lze dosáhnout různé strmosti demodulační charakteristiky a současně měnit šířku pásma propouštěného detektorem.

Nemá-li docházet ke zkreslení výstupního nf signálu z IO vlivem nepřizpůsobení, je

důležité znát odpor zátěže. Největší přípustné zatížení výstupu integrovaného obvodu (nejmenší odpor) je při napájecím napětí 6 V odporem asi 10 k $\Omega$  (při napětí 12 V 2 k $\Omega$ ).

Při použití těchto odporů je zkreslení nf signálu asi 1 % při zdvihu 50 kHz. Velký zatěžovací odpor (desítky či stovky kiloohmů) obvodu nevadí; malý odpor jej neúměrně zatěžuje a zvětšuje se zkreslení nf signálu. Chceme-li použít zesilovač s malou vstupní impedancí, zařadíme na výstup IO přídavný zatěžovací odpor  $R_p$  (do série), kterým se upraví stejnosměrný pracovní bod výstupního tranzistoru IO (pro zatěžovací impedanci 500  $\Omega$  je odpor  $R_p$  1,5 k $\Omega$ ).

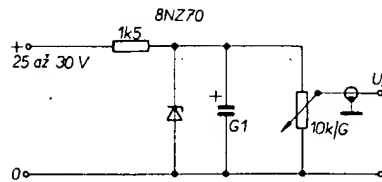
Kondenzátor  $C_D$  plní funkci deemfáze; má-li být přijímač používán pouze pro monofonní příjem, je jeho kapacita 4,7 nF, pro příjem stereofonního signálu je to 150 pF. Větší kapacita pro „mono“ je použita proto, aby se potlačily vysoké kmitočty zdůrazněné na výstupu straně a snížil se tak šum, což má význam zejména při příjmu slabších stanic. Kondenzátor o kapacitě 150 pF použijeme k potlačení mf kmitočtu 10,7 MHz; po uvedení celého přijímače do provozu a po jeho konečném nastavení jej nahradíme kapacitou 4,7 nF.

Laděný obvod fázovacího členu (a jeho správné nastavení) určuje velikost zkreslení a potlačení rušivé amplitudové modulace. I když výroba tohoto obvodu není pracná; musíme ji věnovat náležitou pozornost. Jakost nemusí být velká, spíše naopak; obvod je ještě ztlumen odporem  $R_f$ , aby šířka pásma detektoru byla dostatečná. Příliš velké ztlumení zhoršuje potlačení AM a zmenšuje úroveň výstupního nf signálu. Cívka  $L_f$  je navinuta na kostře o průměru 5 mm s jádrem M4 (ferit nebo ferokart) a je umístěna v hliníkovém krytu. Vinutí má 20 závitů drátu o průměru 0,25 mm CuL.

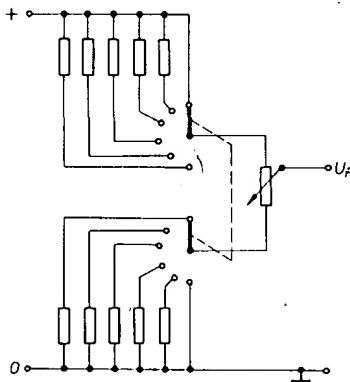
Integrovaný obvod nezapojujeme do obvodu přímo, ale pomocí objímky, kterou vyrábí n. p. TESLA Liberec a která je běžně k dostání (v provedení se šestnácti kolíky pod označením 6 AF 49769 nebo se čtrnácti kolíky pod označením 6 AF 46770). Objímky jsou zapájeny do desky s plošnými spoji. Pokud bychom chtěli zapojit IO přímo do desky, vložíme jej do předvrtaných otvorů o průměru 1 mm v přesných roztečích 2,5 mm tak, aby spodek pouzdra neležel na desce, ale 0,5 až 1 mm nad ní. Osazení na vývodech integrovaného obvodu tuto vzdálenost zaručuje. Po vložení vývodů do otvorů se dva úhlopříčné protilehlé vývody ohnou, aby se během pájení (vždy s druhé strany desky!) nemuselo pouzdro tisknout k desce. Při pájení se doporučuje dokonale uzemnit hrot páječky, aby v obvodech nedošlo k nežádoucím přepětím a tím ke zničení IO. Doba pájení jednoho vývodu by neměla přesáhnout 5 s. Zapojení zbývajících součástek je běžné.

### Konstrukce a uvádění do chodu

Protože je tuner určen jako doplněk nf zařízení, u něhož umožňuje příjem rozhlasových pořadů v obou pásmech VKV, a také proto, že ladičí prvek může být umístěn i odděleně od vlastní vstupní jednotky, není řešena celková mechanická koncepce tuneru. Obě desky jsou pouze připájeny delšími stranami (kladným pólem) k sobě tak, aby tvořily jeden celek (lze také použít jedné společné desky s plošnými spoji). Mezi kladný spoj obou desek je vložen (kolmo na desku se spojí) pásek mosazného plechu, popř. oboustranně plátovaný cuprexit o šířce 30 mm a délce 75 mm (na straně spojů



Obr. 9. Zapojení zdroje řídicího napětí  $U_f$



Obr. 10. Zapojení pro jemné ladění

přesahuje desky asi o 10 mm), jenž tvoří stínění mezi vstupní jednotkou a mf zesilovačem. Pozor, toto stínění je spojeno s kladným pólem zdroje; neuzemňuje se! Je vhodné umístit desku tuneru ve stíněném prostoru, aby se omezilo pronikání případných nežádoucích signálů do obvodů. Dalšími mechanickými úpravami si každý může přizpůsobit konstrukci vlastním požadavkům a podmínkám.

Ladění jednotky je možno řešit různými způsoby; pro přívod ladičického napětí  $U_f$  však musí být v každém případě použit stíněný vodič. Napětí pro ladění se odebírá ze zdroje o napětí 25 až 30 V, které je stabilizováno Zenerovou diodou 8NZ70. Zapojení stabilizátoru s regulací ladičického napětí je na obr. 9. Při tomto jednoduchém způsobu ladění je správné vyladění stanice dosti obtížné, neboť malý úhel otočení potenciometru má za

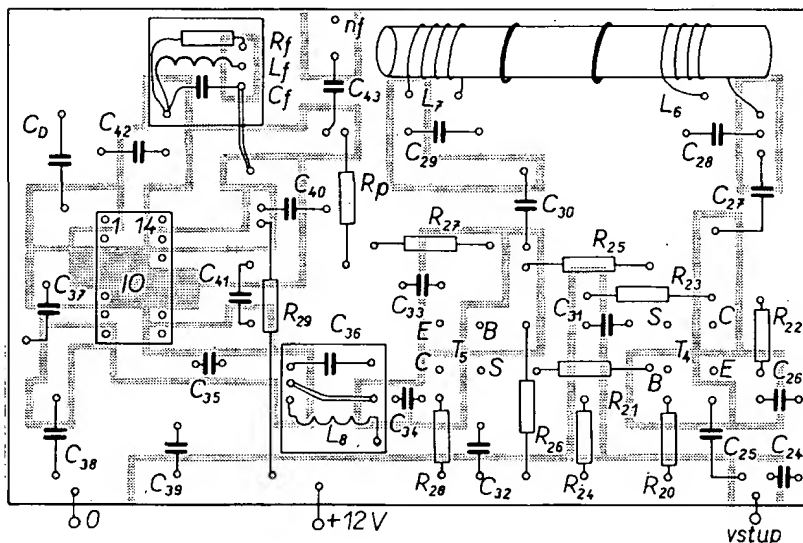
následek značnou změnu kmitočtu. Je proto potřebný velký mechanický převod ladění.

Nechceme-li zhotovovat mechanický převod a stupnici, můžeme využít zapojení podle obr. 10. Dvoupólovým několikapólovým přepínačem přepínáme vhodné zvolené pevné odpory, kterými je rozděleno celé přeladované pásmo na krátké úseky a v nich se pak ladí potenciometrem. Tento potenciometr již může být lineární a při dostatečném počtu rozsahů (čtyři a více) je úhel natočení potenciometru dostatečně velký, aby vyladění stanice nebylo obtížné. Celkový odpor jedné větve (i s potenciometrem) je 10 k $\Omega$ . Odpor potenciometru je určen počtem rozsahů a může být 1 až 5 k $\Omega$ .

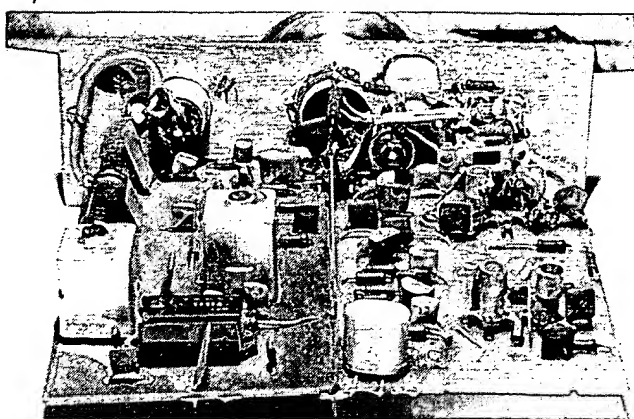
Při uvádění přijímače do chodu je vhodné použít jednodušší způsob ladění. Po zapojení celého tuneru, kontrole zapojení a připojení výstupu tuneru na nf zesilovač se připojí napájecí napětí. Je-li zapojení v pořádku, ozve se šum. Přiblížíme-li kousek drátu k vývodu 6 IO, popř. na bázi  $T_3$ , šum zesílí a můžeme zaslechnout signály stanic, vysílajících v pásmu KV. Není-li feritová pásmová propust předladěná, pak je pro snazší nastavení přijímače vhodné překlenout cívku  $L_4$  kondenzátorem o kapacitě 100 pF, který připojíme na kolektor  $T_3$  a na vývod 6 IO, a jádro cívky fázovacího členu zašroubujeme z jedné poloviny do cívky. Pak posouváním po feritu nastavíme kroužky do takové polohy, při níž je maximální šum na výstupu. Na vstup jednotky připojíme anténu a naladíme blízký vysílač. Feritovou propust doladíme kroužky na největší hlasitost signálu, odpojíme kondenzátor 100 pF, zapojený mezi  $T_3$  a IO a cívky  $L_4$  a  $L_f$  naladíme rovněž na největší hlasitost přijímaného signálu. Pak přeladíme jednotku do pásma CCIR a po zachycení stanice kapacitními trimry ve vstupní jednotce opět nastavíme největší hlasitost signálu.

Uvedený postup nastavení tuneru je vhodný pouze v případě, že nejsou k dispozici vhodné měřicí přístroje. Při pečlivém a několikrát opakovaném nastavení všech laděných prvků na maximální zesílení však můžeme dosáhnout dostatečné citlivosti přijímače i při tomto zjednodušeném způsobu sladování.

Deska s plošnými spoji mf zesilovače je na obr. 11, na obr. 12 je pohled na rozmístění součástek u funkčního vzorku tuneru.



Obr. 11. Deska s plošnými spoji J 524 mf zesilovače a demodulátoru.



Obr. 12. Rozmístění součástek u funkčního vzorku tuneru

### Použité součástky

#### Vstupní jednotka

##### Odpor

Všechny použité odpory jsou typu TR 112a.

$R_1, R_2, R_3, R_4$	56 k $\Omega$
$R_{11}, R_{12}$	15 k $\Omega$
$R_2, R_{10}$	1,5 k $\Omega$
$R_4$	100 $\Omega$
$R_6, R_{18}$	10 k $\Omega$
$R_7, R_{19}$	2,7 k $\Omega$
$R_8, R_{13}, R_{15}$	6,8 k $\Omega$
$R_{14}$	18 k $\Omega$
$R_{16}$	3,3 k $\Omega$

##### Kondenzátory

Použijeme keramické podušky, popř. terčíky.

$C_1$	6,8 pF
$C_2, C_3, C_4, C_7$	12 pF
$C_{17}, C_{22}$	4,7 pF
$C_5, C_{11}, C_{14}$	4,7 pF
$C_6, C_8, C_9, C_{10}$	2,2 nF
$C_{12}, C_{15}$	1,5 nF
$C_{18}$ až $C_{21}, C_{23}$	10 nF
$C_{13}$	39 pF
$C_{16}$	100 pF
$C_{24}$	
$C_{25}$	

##### Ostatní součástky

$C_9$ až $C_{10}$	dolaďovací trimry 0,5 až 5 pF WK 701 22
$D_1$ až $D_4$	čs. varikap KB105G
$T_1$ až $T_3$	tranzistory KF124 (KF125, KF524, KF525)
$L_1$ až $L_6$	plošné cívky (viz text)

#### Mf zesilovač

##### Odpor

Všechny použité odpory jsou typu TR 112a.

$R_{20}, R_{26}$	15 k $\Omega$
$R_{21}, R_{25}$	4,7 k $\Omega$
$R_{22}$	1,2 k $\Omega$
$R_{23}, R_{28}$	1,5 k $\Omega$
$R_{24}, R_{29}$	100 $\Omega$
$R_{27}$	680 $\Omega$
$R_8$	1,5 k $\Omega$

##### Kondenzátory

Použijeme keramické podušky, popř. terčíky.

$C_{24}$  (39 pF),  $C_{25}$  (100 pF) jsou uvedeny u vstupní jednotky.

$C_{26}, C_{31}, C_{32}, C_{33}$

$C_{38}, C_{42}$  10 nF

$C_{27}, C_{30}$  3,3 pF

$C_{28}, C_{29}$  68 pF

$C_{34}, C_{35}, C_{41}$  12 pF

$C_{36}$  100 pF

$C_{37}, C_{40}$  0,1  $\mu$ F

$C_1$  100 pF

$C_0$  pro mono 4,7 nF

pro stereo 150 pF

$C_{39}$  5  $\mu$ F/15 V, elektrolytický

$C_{43}$  2  $\mu$ F/15 V, elektrolytický

##### Ostatní součástky

$T_4, T_5$	tranzistory KF173
$IO$	integrovaný obvod MAA661
$L_6, L_1$	20 z drátu CuL o $\varnothing$ 0,25 mm, navinuto na kostře o $\varnothing$ 5 mm

feritová pásmová propust – viz text

popisu, který je součástí tohoto článku. U každé antény mám předzesilovač, popř. konvertor a všechny signály vedu na reléové přepínače, které jsou umístěny na půdě. Přepínače ovládám z místa poslechu dálkové signály, vedenými souosým kabelem (svod prochází zdí), z něhož současně odebírá signal pro televizní přijímač. Konvertory převádím přijímané signály na kmitočet prvního televizního kanálu, na němž v místě mého bydliště nelze „chytit“ žádný signál z jakéhokoli vysílače.

Při pokusech o příjem signálů II. TV programu jsem vyzkoušel mnoho nejrůznějších antén, nejlepší výsledky byly s anténami Yagi. Protože jsem chtěl, aby anténu bylo možno snadno instalovat, aby byla co nejlehčí a co nejmenší, experimentoval jsem (kromě jiných) i s anténami se sítkovou reflektorovou stěnou – výsledky však nebyly nejlepší, neboť zisk těchto antén se zvětšuje se zvyšujícím se kmitočtem přijímaného signálu – což je v našich podmínkách nevýhodné.

Při konstrukci své antény jsem vyšel z posledně jmenované antény, přičemž jsem se pokoušel zhotovit typ pro jeden kanál, který by bylo možno pouze změnou délky a umístění zářičů přizpůsobit pro příjem signálů na 21. až 40. kanálu.

Výsledkem experimentů je anténa, jejíž sestava a díly jsou na obr. 1. Upozorňuji předem, že nezbytnou pomůckou při zhotovování antény je měřič rezonance. Měřič používám při ladění antény, ladím jak zářiče, tak reflektory. Antény jsou zhotoveny pouze z dostupných materiálů. Nosná část zářičů je ze dvou nosných pásků organického skla tloušťky 6 až 8 mm. Zářiče jsou z železného drátu o  $\varnothing$  4 mm. Propojovací vedení je pájeno přímo na zářiče, které jsou do pásků z organického skla upevněny dvěma matice-mi M4. Mezi oběma pásky organického skla je ze stejného materiálu rozpěrná deska šířky 20 mm, k níž je připevněn úhelník z hliníku nebo ze železa. Úhelník nese reflektory. Reflektory jsou vzdáleny od zářičů 120 mm. Celá anténa je vysoká 600 mm, váží přibližně 1 kg. Svod z televizní dvojlinky s pěnovým dielektrikem ke konvertoru (anténěmu zesilovači) vede z prostředního „patra“ a upevňuji ho tak, že vytvaruji oblouk směrem k hornímu patru antény a svod upevním k pomocnému izolantu blíže reflektorů. Tím zamežuji tomu, aby do jeho dielektrika vnikala voda – navíc samozřejmě zaliji konec izolantu dvojlinky kalafunou.

Anténu lze upevnit libovolným způsobem (za reflektory). Lze ji zavěsit na zeď, umístit na balkon atd. Antény lze podle zásad anténní techniky řadit vedle sebe, zisk se pak zvětšuje patrným způsobem (o 3 dB?). Podle mých nedokonalých měření je průměrný zisk mé antény roven asi zisku devatenáctiprvkové antény Yagi. Anténou lze velmi dobře „hledat“ signál, neboť s ní lze dobře manipulovat jak ve vodorovném, tak i svislém směru, navíc je i dosti směrová, poměrně ostře rozliší signály z různých, nepříliš od sebe vzdálených směrů. Jako „dvojče“ má vyzařovací úhel asi 20°. Je též širokopásmovější než běžné antény Yagi, neboť i když se mi nepodařilo získat stejný jakostní signál obrazu i zvuku s anténou Yagi, vždy se to podařilo s popisovanou anténou.

Největší předností antény je však její jednoduchost. Lze ji zhotovit téměř „na koleně“, ke zhotovení stačí vrtačka, závitové očko M4, pilka na železo a příslušný materiál (a k rozdělení propojovacího vedení kousky pletací jehlice z plastické hmoty).

Po kompletaci antény se měřičem rezonance zjistí, zda všechny zářiče rezonují na požadovaném kmitočtu. Přiblížením měřiči

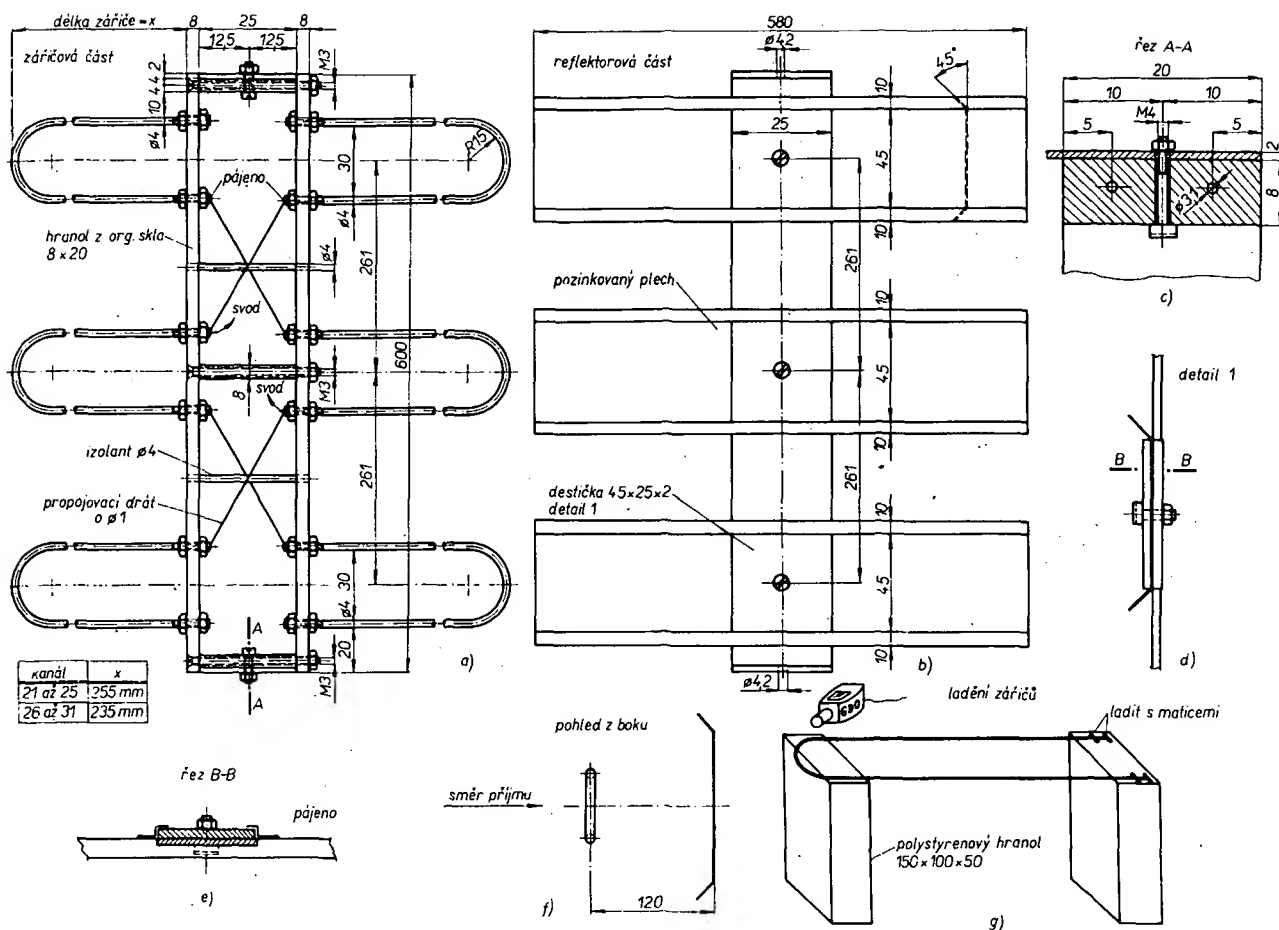
# Anténa pro IV. TV pásmo

J. Ryšavý

Do Přílohy AR jsme se rozhodli zařadit i tento článek o anténách přesto, že je především svou formou poněkud neobvyklý. Je totiž psán ve formě dopisu redakci a autor v něm popisuje anténu, která je neběžná a zřejmě (podle výsledků, kterých s ní dosáhl) velmi dobrá. V úvodu svého dopisu vzpomíná autor na AR č. 11/74, na článek Kouzlo antén (s nímž souhlasí) a píše, že hloubavě kutily většinou zaujme něco neobvyklého – a že se proto rozhodl popsat svoji anténu. Nabádá ty, kteří se vyznají dobře v teorii i praxi antén, aby posoudili vlastnosti jeho antény, a to jak po teoretické, tak po praktické stránce a rozdělili se o své poznatky s ostatními na stránkách AR.

Tedy tedy dopis z východních Čech: „Bydlím ve Východočeském kraji nedaleko Žamberka. Nadmořská výška v místě mého bydliště je 320 m. Přijímám velmi dobře vysílací východní Čechy na šestém kanálu, Wrocław

na dvanáctém kanálu a dvacátém pátém kanálu a vysílá Ještěd na třicátém prvním kanálu. Jsou-li dobré podmínky, lze přijímat i rakouský vysíláček na dvacátém prvním kanálu. Všechny antény jsou zhotoveny podle



Obr. 1. Anténa pro příjem v pásmu 21. až 40. kanálu. Zářičová část (a); reflektorová část (b); řez A-A (c); detail 1 (d); řez B-B (e); pohled z boku (f); ladění zářičů (g)

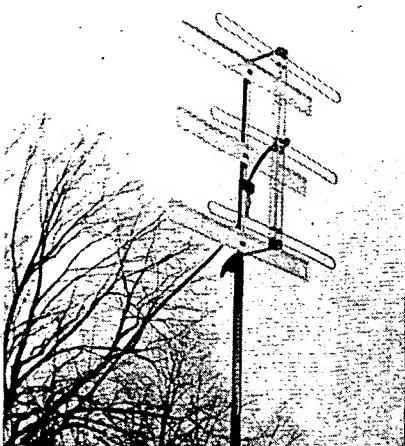
sondy GDO k oblouku svodu lze ladit zářiče na příslušnou harmonickou (např. pro kanál 31 na třetí harmonickou). Měřič rezonance je vhodné před touto prací zkontrolovat podle televizního signálu – poznamenat si střední kmitočet žádaného signálu na ovládacím prvku měřiče. Reflektory ladím tak, že usthnu z pozinkovaného plechu pásek délky asi 530 mm a šířky 50 mm. Pásek stočím do

tvaru U (šířka U je 80 mm), přiblížím k němu „GDO a „ustřihnu“ konec tak dlouho, až je naladěn do rezonance. Potom plech vyrovnám a na ohýbačce (stačí úhlové železo) vytvaruji do konečné podoby podle obrázku. Reflektory jsou k upevňovacímu pásku připraveny šroubem M5. Na zadní části reflektoru (plechu) jsou podél pásku upevněny pájením plechové úhelníčky, čímž se zamezí

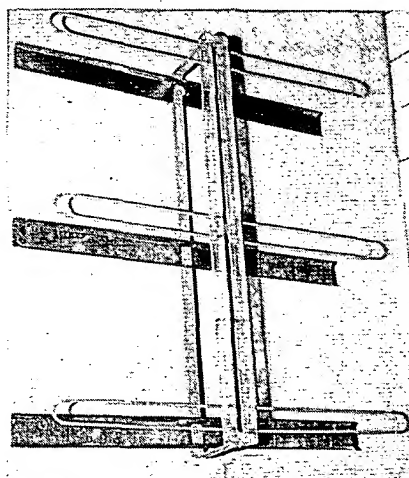
uvolnění reflektoru za větru. Propojovací drát Cu má průměr 1,0 mm.

To je tak asi všechno, co lze o této anténě napsat. Doufám, že i jiní zájemci potvrdí její dobré vlastnosti a to na jakémkoli kanálu, počínaje 21. a konče 40. kanálem.

Tolik tedy východočeský amatér. V závěru dopisu nás žádá, abychom anténu postavili a sami vyzkoušeli její vlastnosti. Protože však (především díky stěhování a návalu práce po i před stěhováním) jsme jeho přání nemohli vyhovět, přenášíme jeho prosbu (či žádost) na naše čtenáře – postavte si tuto anténu a rozdělte se s ostatními o zkušenosti s jejími vlastnostmi (i když třeba pouze porovnáním s jinými typy antén). Ukáže-li se reprodukovatelnost vlastností antény za různých podmínek příjmu, byla by na světě jednoduchá a dobrá anténa, která by mohla pomoci vyřešit mnohé „příjmové“ starosti.



Obr. 2. Anténa na stožáru



Obr. 3. Anténa, připevněná ke zdi

#### Barevná obrazovka 118°

Tímto vychylovacím úhlem překonává všechny dosavadní typy. Jde o dosud největší dosažený vychylovací úhel. Obrazovka má místo děrové masky masku páskovou se začerněnými okraji. Zmenšením průměru hrdla z 36,5 na 29 mm a použitím čtvercové stavby systému klesl elektrický příkon na 95 W. Novou obrazovku vyvinula japonská firma Toshiba.

Radio, Fernsehen, Elektronik č. 3/74

# Elektronika v motorových vozidlech

## Palubní kontrolní přístroje

Ing. Milan Rozhoň

Kontrolní přístroje umístěné na palubní desce automobilu usnadňují kontrolu chodu motoru a jiných zařízení vozu na místě i za jízdy. Přístroje včas a rychle upozorní na vzniklou poruchu a kromě toho mohou být použity také např. k seřízení volnoběhu motoru, k seřízení regulátoru dobíjecího proudu a k dalším účelům. K základním kontrolním přístrojům patří otáčkoměr, ampérmetr a voltmetr.

Rozhodl jsem se pro stavbu těchto tří přístrojů pro vůz Trabant, který je jedním z nejrozšířenějších automobilů u nás. Při úvahách o tom, zda zhotovit sdružený přístroj nebo volit samostatné přístroje pro jednotlivé měřené veličiny, jsem vycházel ze základních požadavků, kladených na palubní kontrolní přístroje:

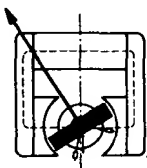
- přehledné umístění stupnice,
  - snadné čtení měřené veličiny v požadovaných jednotkách,
  - dobře čitelné stupnice,
  - jednoduché ovládání, které by pokud možno neodvádělo pozornost řidiče od řízení,
  - jednoduchá montáž a připojení,
  - současná indikace všech měřených veličin.
- Z těchto požadavků jasně vyplývají přednosti použití samostatného měřicího přístroje pro každou měřenou veličinu bez přepínání funkcí a rozsahů.

### Měřicí systém přístrojů

Pro náš účel použijeme jako nejvhodnější měřicí přístroje se systémem s otáčivou cívkou (tzv. depřezské), a proto se blíže seznámíme s jejich činností a konstrukcí. Činnost těchto přístrojů je založena na poznatku, že prochází-li vodičem umístěným v magnetickém poli (kolmo na siločáry) elektrický proud, působí na tento vodič síla úměrná protékajícímu proudu podle vztahu

$$F = B I l,$$

kde  $B$  je indukce magnetického pole,  $I$  je délka vodiče a  $l$  proud. Konstrukce přístroje

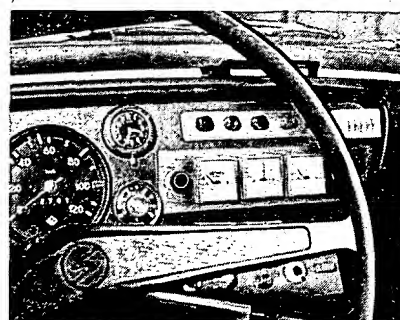


Obr. 1. Základní konstrukce systému měřicího přístroje s otáčivou cívkou

je znázorněna na obr. 1. Ve válcové dutině mezi pólovými nastavci permanentního magnetu je koncentricky umístěn váleček z měkkého železa. Ve vzniklé vzduchové mezeře je otočně uložena cívka, navinutá na lehkém hliníkovém rámečku. Měřený proud je k cívce přiveden dvěma spirálovitými pružinami, které současně vytvářejí direktivní moment. S cívkou je spojena ručka měřicího přístroje. Permanentní magnet vytváří ve vzduchové mezeře potřebnou magnetickou indukci  $B$ . Prochází-li cívkou o  $N$  závitů proud  $I$ , působí na ni moment systému  $M$ ,

$$M_s = 2 B I N r l,$$

kde  $l$  je efektivní délka cívky a  $r$  její střední poloměr. Proti momentu systému působí direktivní moment pružin. Oba momenty jsou vždy (je-li ručka v klidu) v rovnováze. Nulovou polohu ručky na stupnici nastavujeme pootáčením konce jedné z pružin. Magnetické pole je silné, proto je vliv vnějších magnetických polí malý. Také moment systému je velký a přístroje s těmito systémy tedy patří mezi nejpřesnější a nejcitlivější. Je-li magnetická indukce  $B$  ve vzduchové mezeře konstantní, je moment síly, působící na cívku, úměrný procházejícímu proudu, a tedy i výchylka je přímo úměrná proudu ( $M \sim I$ ) a stupnice přístroje je rovnoměrná (lineární). Tyto přístroje lze použít k měření stejnosměrného proudu (rozsah je možno zvětšit



bočníkem) nebo stejnosměrného napětí (rozsah je možno zvětšit předřadným odporem).

Pro náš účel by byly nejvhodnější typy těchto přístrojů poněkud odlišné konstrukce, které mají úhlovou výchylku ručky  $270^\circ$ . Ty se však u nás nevyrábějí; dostupné jsou pouze přístroje Metra typu DHR a MP s úhlovou výchylkou ručky  $90^\circ$ . Pro větší délku stupnice (přesnější čtení) musíme volit přístroj o větších celkových rozměrech, musíme však současně počítat s prostorem, který máme na palubní desce k dispozici.

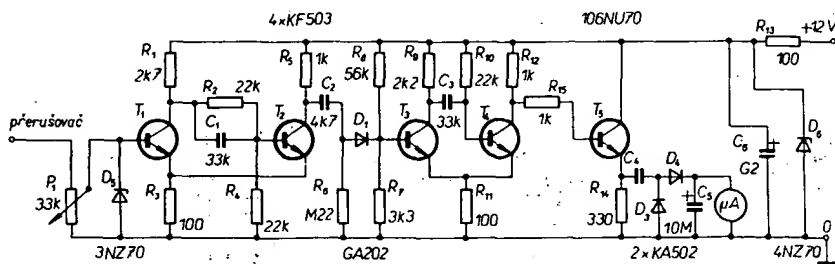
### Elektronický otáčkoměr

Otáčkoměr měří rychlost otáčení automobilového motoru a umožňuje:

- posoudit pravidelnost chodu motoru při určité rychlosti otáčení,
- nastavit správný volnoběh motoru,
- seřídit regulátor napětí,
- udržovat při jízdě optimální rychlost otáčení motoru (s ohledem na maximální krouticí moment, pro maximální výkon, popř. pro nejmenší spotřebu paliva),
- kontrolovat maximální rychlost otáčení (abychom „nepřetáčeli“ motor),
- seřídit předstih zapalování a kontrolovat činnost odstředivého regulátoru,
- volit při jízdě včas optimální převodový stupeň; kromě toho indikuje chod motoru při jízdě bez zařazeného převodového stupně nebo s volnoběžkou.

### Základní zapojení otáčkoměru

Tranzistorové otáčkoměry pracují na principu integrování impulsů. Zdrojem impulsů může být přerušovač, jehož impulsy však nemají přesné obdélníkovitý průběh. Ampli-



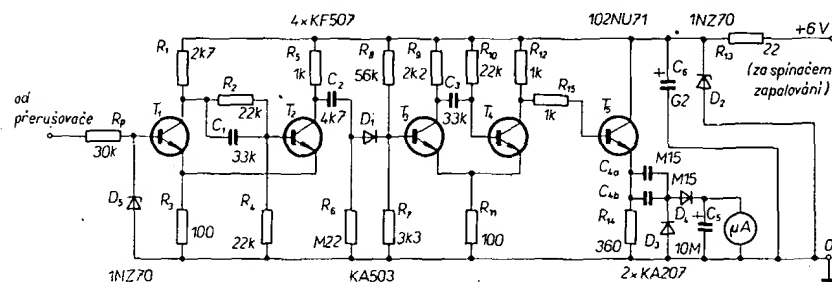
Obr. 2. Schéma zapojení otáčkoměru pro napájecí napětí 12 V

tuda ani šířka nejsou konstantní, mění se s nastavením kontaktů přerušovače, s opalováním kontaktů apod. Amplituda pulsů závisí na napětí palubní sítě, které se rovněž mění (závisí na stavu akumulátoru a kabelů, na činnosti dynama a napětového regulátoru, na celkovém odběru proudu ze zdroje apod.). Přerušovač a zapalovací cívka tvoří obvod s velkou indukčností. V závislosti na rychlosti rozpojení kontaktů přerušovače vznikají různé velké napětové špičky (až několik set voltů) a dochází k zamítávání. Chceme-li měřit rychlost otáčení přesně, musíme tyto impulsy upravit.

Jako základ jsem použil zapojení podle obr. 2, uveřejněné v [1]. Impulsy z přerušovače jsou přes odpor  $P_1$  přivedeny na vstup Schmittova klopného obvodu, jímž se upraví jejich tvar na obdélníkový. Takto upravenými impulsy se spouští monostabilní klopný obvod, na jehož výstupu získáváme impulsy s konstantní amplitudou i šířkou. Přes emitorový sledovač  $T_5$ , kterým se zmenšuje velká výstupní impedance monostabilního klopného obvodu, vedeme impulsy na diodový integrátor. Střední napětí na výstupu integrátoru je přímo úměrné počtu impulsů (za určitý čas) na jeho vstupu. Toto napětí měříme přístrojem, jehož stupnice je oceňována přímo v ot/min.

#### Otáčkoměr pro napájecí napětí 6 V

Ve voze Trabant se používá napětí 6 V. Zapojení otáčkoměru, upravené pro toto napětí, je na obr. 3. Vstupní impulsní napětí pro otáčkoměr odebíráme ze zapalovací cívky (svorka 1); používáme-li elektronické zapalování, musíme odebírat vstupní impulsní napětí z kontaktu přerušovače, protože na zapalovací cívce je napětí asi 300 V! Amplituda impulsů se omezuje odporem  $R_0$  (30 k $\Omega$ , TR 151) a Zenerovou diodou 1N270. Tranzistory jsou křemíkové vysokofrekvenční (KF507) diody rovněž křemíkové (KA501 až 503 nebo KA206 až 207). Jako emitorový sledovač lze použít germaniový tranzistor řady NU (např. 102NU71, 105 až 107NU70). Napájecí napětí je stabilizováno Zenerovou diodou 1N270 s odporem  $R_{13}$  (22  $\Omega$ , TR 151).



Obr. 3. Schéma zapojení otáčkoměru pro napájecí napětí 6 V

Tab. 1.

Napětí palubní sítě, $U_z$ [V]	Stabilizované napětí pro otáčkoměr $U_0$ [V]	Údaj otáčkoměru [ot/min]
6,5	5,8	2 950
7,0	5,85	
7,5	5,88	
8,0	5,9	3 050

Všechny použité odpory jsou miniaturní (TR 112 nebo TR 151). Kondenzátory je možno použít keramické (mají větší teplotní závislost) nebo typu MP, a to  $C_1$ ,  $C_3$  TC 181 (TC 191, TC 276),  $C_2$  TC 193 (TC 276),  $C_4$  TC 180,  $C_5$  TE 003 (TC 942, TC 963),  $C_6$  TE 984. Součástky jsou umístěny na desce s plošnými spoji D40 podle [1]. Měřicí přístroj je typ MP 40 s rozsahem 100  $\mu$ A.

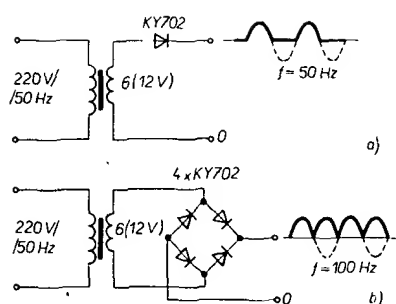
#### Cejchování otáčkoměru

Rozsah měření volíme 0 až 5000 ot/min (maximální rychlost otáčení motoru vozu Trabant je 4 200 ot/min). S původní stupnice odstraníme číslice a označení měřené veličiny (jemně seškrábeme žiletkou) a na jejich místo obdržíme nové (Propisot 2 mm);  $\mu$ A zaměníme za ot/min  $\times 1 000$ . Při cejchování je třeba vycházet z možností, které má amatér. Má být jednoduché, bez použití složitých měřicích přístrojů (např. čítače impulsů apod.) a dostatečně přesné. Při cejchování nastavujeme výchylku ručky měřicího přístroje na cejchovní rychlost otáčení změnou kondenzátoru  $C_4$ . K cejchování můžeme využít síťového kmitočtu 50 Hz. Cejchovní rychlost otáčení vypočítáme ze vzorce

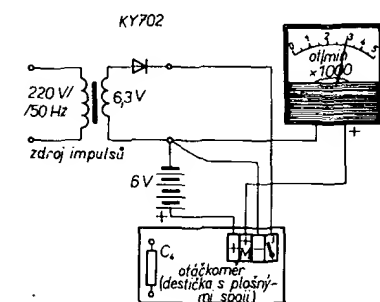
$$N = \frac{60fk}{n}$$

kde  $f$  je kmitočet napětí sítě,  $n$  je počet válců na jeden přerušovač a  $k$  konstanta podle druhu motoru (pro dvoudobý motor  $k = 1$ , pro čtyřdobý motor  $k = 2$ ). Pro automobil Trabant bude  $N = 3 000$  ot/min, pro čtyřválcový čtyřdobý motor  $N = 1 500$  ot/min, pro šestiválcový čtyřdobý motor  $N = 1 000$  ot/min atd., při kmitočtu 50 Hz.

Stupnice přístroje je lineární a stačí tedy cejchovat v jednom bodě stupnice. Další bod můžeme použít ke kontrole. Přesněji nastavíme cejchovní rychlost otáčení uprostřed, popř. v druhé polovině stupnice. Z tohoto důvodu je výhodné (zvláště pro víceválcové motory) použít cejchování kmitočtem 100 Hz, přičemž bude cejchovní rychlost otáčení dvojnásobná. Na obr. 4a, b jsou zapojení jednoduchých zdrojů impulsního napětí pro cejchování. Zapojení otáčkoměru při cejchování je na obr. 5.



Obr. 4. Jednoduchý zdroj impulsů pro cejchování otáčkoměru s kmitočtem 50 Hz (a) a 100 Hz (b)



Obr. 5. Zapojení otáčkoměru při cejchování

#### Stabilizace napájecího napětí 6 V

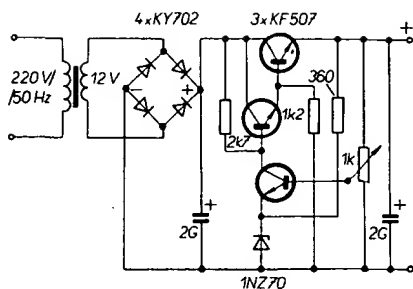
Napětí nabitého akumulátoru je asi 6,5 V. Při spouštění motoru se sice napětí značně zmenší, ale i rychlost otáčení je velmi malá, takže ji ani nelze dobře číst na stupnici otáčkoměru. Pracuje-li motor po spuštění ve volnoběhu, napětí palubní sítě je asi 6,5 V. Se zvětšující se rychlostí otáčení motoru se zvětšuje i napětí palubní sítě (až na 8 V). Rozmezí napětí palubní sítě je tedy běžné 6,5 až 8 V.

Sestavený otáčkoměr jsem vyzkoušel jednak v zapojení podle obr. 5, jednak s regulovatelným zdrojem napětí podle obr. 6. Měnil jsem napájecí napětí v rozmezí 6,5 až 8 V, měřil jsem (přístrojem Avomet 1) stabilizované napětí pro otáčkoměr a současně jsem zaznamenal i největší a nejmenší údaj otáčkoměru. Výsledky jsou v tab. 1. Pro ověření pracovních podmínek Zenerovy diody a k zjištění spotřeby přístroje byl měřen při měnícím se napájecím napětí  $U_A$ , získaném tentokrát z oceloniklových akumulátorů, jednak proud  $I_Z$  Zenerovou diodou, jednak celkový odběr ze zdroje. Výsledky měření jsou v tab. 2.

Kromě chyby měření způsobené kolísáním napájecího napětí dochází obvykle k další chybě nepřesným čtením údaje na stupnici. Použijeme-li v otáčkoměru měřicí přístroj malých rozměrů, je chyba čtení srovnatelná s chybou, způsobenou kolísáním napájecího

Tab. 2.

$U_A$ [V]	$I_c$ [mA]	$I_Z$ [mA]
5,15	10	0,5
6,5	23	14,5
7,7	76	66
9,1	120	107



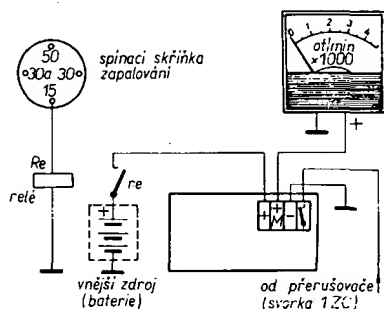
Obr. 6. Regulovatelný zdroj pro určení závislosti údaje otáčkoměru na napájecím napětí

napětí, a stabilizace Zenerovou diodou je tedy dostačující. Použijeme-li přístroj typu DHR 8 (100  $\mu$ A), můžeme na jeho stupnici číst údaj s přesností asi 25 ot/min; srovnáním s údaji v tab. 1 zjistíme, že v tomto případě již tato jednoduchá stabilizace nestačí. Při provozu kolísá napětí stabilizované Zenerovou diodou v rozmezí 0,1 V. Použijeme-li tranzistorový stabilizátor podle obr. 6; zmenší se kolísání napájecího napětí pro otáčkoměr na pouhé 0,2 V. Bylo by vhodné použít pro stabilizátor germaniové tranzistory; zmenšil by se jeho odpor a výstupní napětí by bylo méně závislé na odebraném proudu. Pro dobrou stabilizaci má být vstupní napětí stabilizátoru asi o 4 V větší než výstupní.

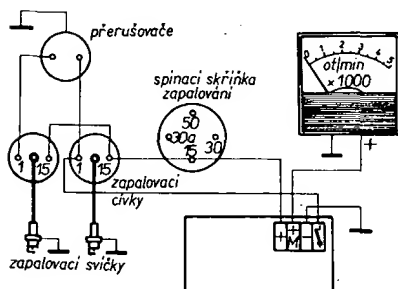
Stabilnější napájecí napětí můžeme získat též použitím samostatného zdroje (např. baterie 6 V pro tranzistorové přijímače nebo zvonkové baterie 9 V), připojovaného pomocí vhodného relé, jež by se uvádělo do chodu při zapnutí zapalování automobilu (obr. 7).

#### Připojení otáčkoměru ve vozidle

Zapojení ve voze Trabant je znázorněno na obr. 8. Deska s plošnými spoji otáčkoměru

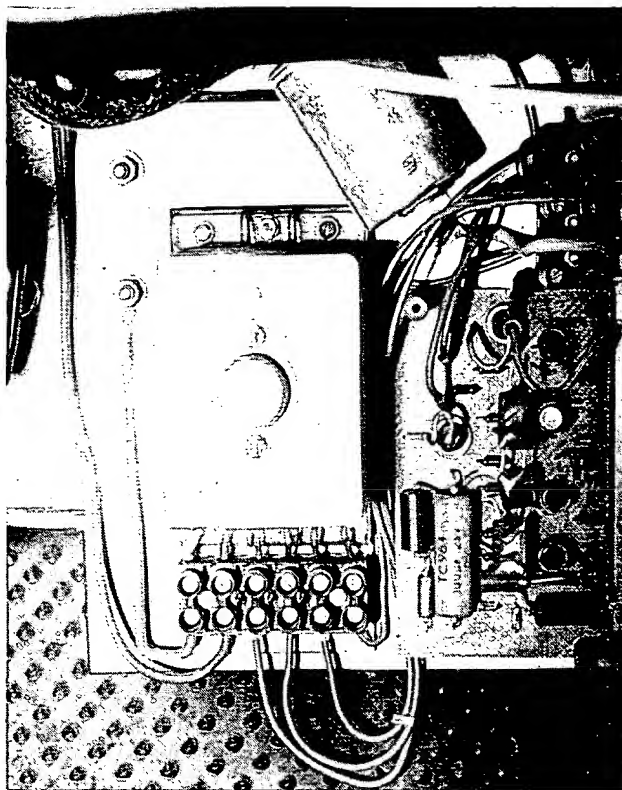


Obr. 7. Zapojení otáčkoměru ve voze při napájení ze samostatného zdroje



Obr. 8. Zapojení otáčkoměru napájeného z akumulátoru vozidla

Obr. 9. Umístění desky otáčkoměru ve voze Trabant



je umístěna u cyklovače stíračů pod přerušovačem směrových světel (pod palubní deskou vlevo, obr. 9). Je upevněna na duralové desce, uchycené na upevňovací šrouby regulátoru napětí.

Popsaný elektronický otáčkoměr pracuje přes dva roky (20 000 km) v automobilu Trabant bez závad. Na stupnici přístroje lze barevně označit rychlosti otáčení, důležité pro chod motoru (např. rychlost otáčení motoru při volnoběhu a při maximálním krouticím momentu, maximální rychlost otáčení motoru apod.). Otáčkoměr se stane dalším důležitým přístrojem na palubní desce, který vás bude neustále informovat o práci motoru vašeho automobilu.

#### Palubní ampérmetr

Dalším důležitým přístrojem na palubní desce automobilu může být ampérmetr, který nás informuje o

- práci dynamu,
- dobíjení akumulátoru,
- činnosti zpětného spínače regulátoru napětí,
- činnosti brzdových světel,
- činnosti světlometů a směrových světel,
- zapnutí a vypnutí jiných elektrických spotřebičů.

Ampérmetry, které je možno zakoupit v prodejnách n. p. Mototechna, se zapojují do série s akumulátorem; musíme tedy k ampérmetru přivést dva kabely o dosti velkém průřezu (obvykle 4 až 6 mm<sup>2</sup>). Rozhodl jsem se pro amatérskou konstrukci ampérmetru s bočníkem.

#### Měřicí přístroj

Jako měřicí přístroj je vhodný ss miliampérmetr (systém s otáčivou cívkou) s malým vnitřním odporem a hlavně s malým úbytkem napětí na systému. Měl jsem k dispozici měřicí přístroj typu MP 40 s rozsahem

60 mA, k němuž jsem chtěl zhotovit bočník. Potřeboval jsem tedy znát vnitřní odpor přístroje. V katalogovém listu výrobce (Metrablansko) je pro tento typ přístroje a rozsahy 15 až 600 mA udáván úbytek napětí na přístroji (při plné výchylce ručky) 60 mV. Z toho plyne vnitřní odpor přístroje

$$R_i = \frac{U}{I} = \frac{60 \text{ mV}}{60 \text{ mA}} = 1 \Omega.$$

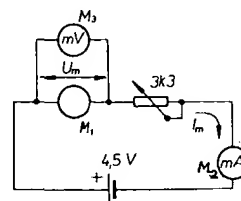
Vzhledem k tomu, že přístroj nebyl nový a jeho stupnice byla již prepisována, rozhodl jsem se pro jistotu vnitřní odpor přístroje změřit, a to v zapojení podle obr. 10 ( $M_1$  je měřený přístroj,  $M_2$  přesný miliampérmetr a  $M_3$  přesný milivoltmetr s velkým vnitřním odporem; byl použit číslicový voltmetr Solartron LM 1450). Naměřené hodnoty:

$U_p$ [mV]	18,4	12,52	9,2
$I_p$ [mA]	4,09	2,78	2,06

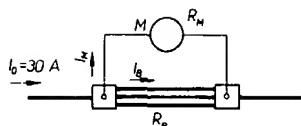
Z naměřených hodnot lze vypočítat vnitřní odpor přístroje

$$R_p = \frac{U_p}{I_p} = 4,5 \Omega,$$

tedy podstatně více, než by mělo být podle katalogových údajů. Po demontáži přístroje jsem zjistil, že k systému přístroje je zapojen odpor 0,62  $\Omega$ , navinutý z manganinového drátu. Nechal jsem ho zapojen. Podle veli-



Obr. 10. Měření vnitřního odporu měřidla



Obr. 11. Zapojení bočníku

kosti vnitřního odporu jsem usoudil, že jde patrně o přístroj s rozsahem 10 mA, který byl již upravován.

### Úprava systému přístroje

Aby se dal měřit odběr proudu z akumulátoru i dobíjecí proud, je nutno posunout nulu přístroje do středu stupnice. Po vyjmutí systému přístroje jsem odpájel jeden konec horní spirálové pružiny systému, zkrátal ji asi o půl závitů a opět připájel. Ručka musí být v klidové poloze ve středu stupnice; u spirály musíme zachovat její pravidelnost. Tato práce vyžaduje přesnost a pečlivost; je samozřejmě výhodnější použít přístroj s nulou uprostřed, máme-li jej. K novému popisu stupnice jsem použil obtisky Propisot (2 mm).

### Výpočet bočníku

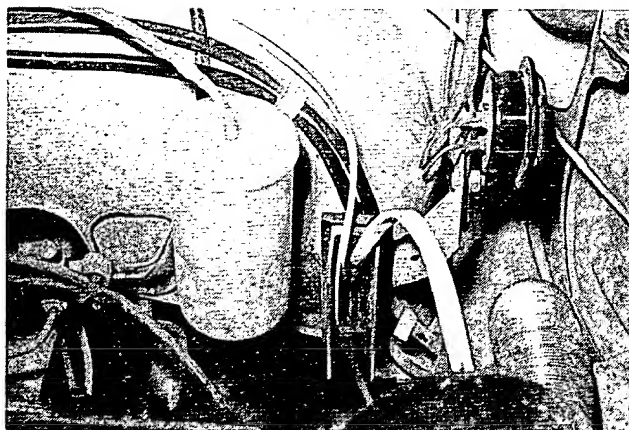
Nejdříve zvolíme rozsah měření proudu; vycházel jsem z odebíraného proudu podle příkonu jednotlivých spotřebičů:

hlavní světlomety	2 × 45 W,
koncová světla	2 × 5 W,
brzdová světla	2 × 21 W,
osvětlení SPZ	3 × 5 W,
popř. další spotřebiče (vnitřní osvětlení, zapalování aj.).	

Při praktickém provozu nepřichází v úvahu současný odběr proudu z akumulátoru všemi spotřebiči. V závislosti na rychlosti otáčení dynamu je spotřeba částečně nebo úplně kryta proudem z dynamu. Zvolil jsem rozsah měření  $\pm 30$  A (+ dobíjení, - spotřeba). Pro tento rozsah a uvedený měřicí přístroj jsem zhotovil bočník.

K dispozici jsem měl manganinový drát o  $\varnothing 4$  mm (měrný odpor manganinu je  $0,42 \Omega \text{ mm}^2/\text{m}$ ). S ohledem na mechanickou pevnost, ohřátí a kompaktnost jsem použil tři paralelně zapojené dráty (obr. 11). Při průměru drátu  $d_1 = 4$  mm je jeho průřez  $F_1 = 12,56 \text{ mm}^2$  a celkový průřez při paralelním spojení tří drátů  $F_c = 37,68 \text{ mm}^2$ . Vnitřní odpor měřicího přístroje  $R_p = 4,5 \Omega$ , přičemž proud pro plnou výchylku přístroje (30 A) je  $I_p = 4,1 \text{ mA}$ . Proud označený v obr. 11  $I_0$ , se dělí; část prochází bočníkem

Obr. 13. Umístění bočníku v automobilu Trabant



( $I_B$ ), část měřidlem ( $I_M$ ), při čemž  $I_0 = I_B + I_M$ . Úbytek napětí na bočníku a na měřicím přístroji musí být stejný ( $U = R_B I_B = R_M I_M$ ). Z těchto dvou vztahů určíme odpor bočníku

$$R_B = R_M \frac{I_M}{I_B} = R_M \frac{I_M}{I_0 - I_M} = 4,5 \frac{0,0041}{30 - 0,0041} = 0,000615 \Omega$$

Odpor bočníku  $R_B$  o průřezu  $F_c$  a délce  $l$  z materiálu s měrným odporem  $\rho$  se určí ze vztahu

$$R_B = \rho \frac{l}{F_c}, \text{ z toho délka bočníku}$$

$$l = R_B \frac{F_c}{\rho} = 0,000615 \frac{37,68}{0,42} = 0,056 \text{ m} = 56 \text{ mm}$$

### Konstrukce bočníku

Manganinové dráty jsem zapájel do mosazných hranolků o rozměrech  $30 \times 20 \times 10$  mm, v nichž jsem vyvrtal díry pro manganinové dráty, pro upevnění bočníku a otvory se závitem M3 pro uchycení vývodů k měřicímu přístroji. Bočník jsem upevnil na desku tloušťky 8 mm z texgumoidu. Abych zbránil případnému zkratu, který by mohl vzniknout spojením bočníku s kovovými částmi karosérie nějakým kovovým předmětem, zhotovil jsem ještě ochranné bočnice (také z texgumoidu). Rozměry jednotlivých částí a celková sestava bočníku jsou zřejmé z obr. 12.

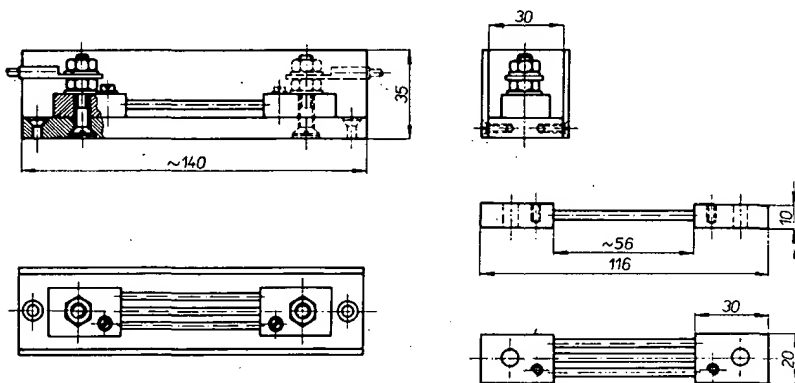
### Cejchování bočníku

Před vestavěním ampérmetru do automobilu je nutno přesně nastavit odpor bočníku pro daný přístroj, popř. upravit citlivost

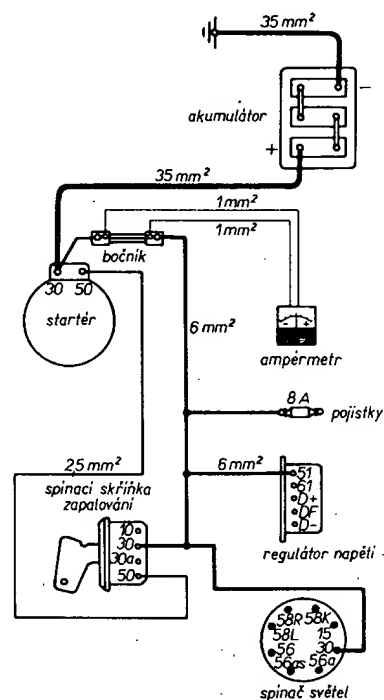
přístroje tak, aby při použití zhotoveného bočníku odpovídal údaj na stupnici měřenému proudu. K cejchování jsem použil kontrolní ampérmetr s rozsahem 30 A a s třídou přesnosti 0,2, jako zdroj olověný akumulátor 12 V/50 Ah, jako zátěž posuvný odpor (musí být dimenzován na příslušný proud). Pro cejchování jsem zvolil proud 10 a 20 A. Přesný souhlas údaje cejchovaného přístroje lze nejnázorněji dosáhnout změnou odporu, zapojeného do série s cívkou měřicího systému přístroje.

### Vestavění ampérmetru do automobilu

Bočník jsem upevnil do vozu Trabant u držáku houkačky (obr. 13) dvěma šrouby. Měřicí přístroj jsem umístil na přístrojovou desku a připojil k bočníku izolovaným měděným lankem o průřezu  $1 \text{ mm}^2$ , jehož celková délka je asi 1,5 m. Vliv odporu přívodů můžeme vyloučit tím, že je připojíme již při cejchování, nebo jej můžeme zanedbat (měrný odpor mědi je  $0,01786 \Omega \text{ mm}^2/\text{m}$  a odpor přívodů je tedy



Obr. 12. Konstrukce bočníku



Obr. 14. Zapojení ampérmetru ve vozidle

Obr. 15. Celkový pohled na upravenou palubní desku

$$R_v = \varrho \frac{L}{F} = 0,017 \frac{2 \cdot 1,5}{1} = 0,05 \, \Omega.$$

Na obr. 14 je schéma zapojení ampérmetru do sítě automobilu. Ze svorky startéru, na níž vede kabel o průřezu 35 mm<sup>2</sup> od akumulátoru, jsem odpojil kabel o průřezu 6 mm<sup>2</sup> a připojil jej na jeden konec bočnicku. Pro spojení druhého konce bočnicku s příslušnou svorkou startéru zhotovíme kabel o průřezu 6 mm<sup>2</sup> a délce 40 cm s pájecími kabelovými oky na obou koncích.

Při tomto zapojení ampérmetru měříme proud, který jde do akumulátoru, a proud odebíraný z akumulátoru kromě proudu startéru. Při vypnutém motoru, popř. při malé rychlosti otáčení motoru, při níž je rozpojen zpětný spínač regulátoru a dynamo nedodává do palubní sítě proud, můžeme tedy měřit proud odebíraný jednotlivými spotřebiči.

#### Palubní voltmetr

Dalším přístrojem na palubní desce našeho vozu může být palubní voltmetr, který nás bude informovat o

- napětí a stavu akumulátoru,
- práci dynamu,
- činnosti regulátoru napětí.

Pro vůz Trabant s napětím palubní sítě 6 V jsem zvolil měřicí přístroj typu MP 40 s rozsahem 0 až 10 V. Pro automobily s napětím 12 V by vyhovoval rozsah 25 V.

#### Zapojení voltmetru v automobilu

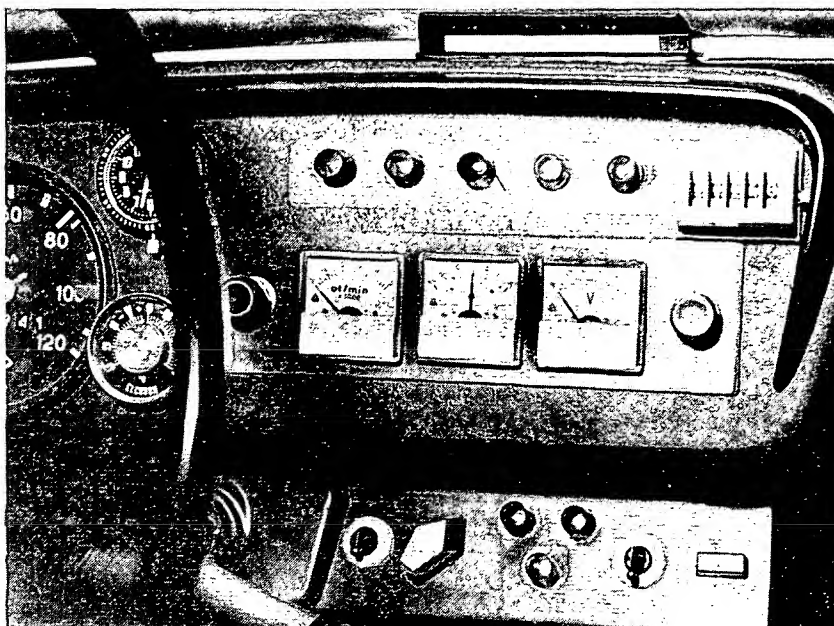
Na svorku kladného pólu měřicího přístroje přivedeme napětí od spínací skříňky zapalování (svorka 15) izolovaným měděným lankem o průřezu 1 mm<sup>2</sup>. Svorku záporného pólu uzemníme na šasi. Voltmetr je při tomto zapojení v provozu jen při zapnutém zapalování.

#### Rozmístění přístrojů na palubní desce

Na titulním obrázku a na obr. 15 je celkový pohled na upravenou palubní desku automobilu Trabant a na přidavný panel. Ovládací a indikační prvky na spodním přidavném panelu jsou (zleva doprava): spínač a potenciometr cyklovače stíračů, signalizační žárovky pro indikaci zapnutého cyklovače, osvětlení motorového prostoru a kontroly brzdových světel, spínač osvětlení motorového prostoru, tlačítko houkačky s harmonickým akordem (fanfáry). Signalizační žárovky nad měřicími přístroji indikují (zleva doprava) činnost zpětných světlometů, směrových světel, osvětlení přístrojů, halogenové mlhovky a ruční brzdy.

#### Literatura

- [1] Steklý, M.: Otáčkoměry pro motorová vozidla. AR č. 6/1970.
- [2] Bílý, K.: Tranzistorový otáčkoměr. AR č. 2/1971.
- [3] Slaviček, I.: 500 tranzistorových obvodů. Práce: Praha 1967.



## Dobíjení akumulátoru u motocyklu

Ing. Petr Skopový

*Kdo se podrobněji zabýval problematikou údržby a provozu akumulátoru, jistě si všiml, že i když je na motocyklu vše po elektrické stránce v pořádku, dostává akumulátor „zabrat“. Z praktických zkušeností vyplývá, že u většiny motocyklů je nabíjecí proud trvale příliš velký.*

Napětí dynamu musí být přibližně stejné nebo nepatrně vyšší, než je napětí akumulátoru v závěrečné fázi nabíjení, tj. asi 7,4 až 8 V. I při sebepečlivějším nastavení napěťového regulátoru (relé) kolísá napětí dynamu v rozmezí několika desetin voltu v závislosti na otáčkách a zatížení. Napětí akumulátoru se mění zhruba v tomtéž rozmezí v závislosti na jeho nabití. Nabíjecí proud  $I$  je dán vztahem

$$I = \frac{\Delta U}{R_1 + R_d} \quad [A, V, \Omega],$$

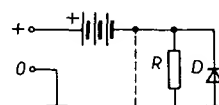
kde  $\Delta U$  je rozdíl napětí dynamu a akumulátoru (bere se v úvahu pouze kladný),  $R_1$  je vnitřní odpor akumulátoru a  $R_d$  vnitřní odpor dynamu.

Vnitřní odpor akumulátoru závisí nejen na teplotě a hustotě elektrolytu, nabití, konstrukci a stavu akumulátoru, ale též na způsobu měření. Při vybíjení je vnitřní odpor menší než při nabíjení a u dobrého motocyklového akumulátoru je (při nabíjení) několik setin až desetin ohmu. Vnitřní odpor dynamu je řádově desítky ohmů. Proto každá změna napětí v obvodu vyvolá velkou změnu nabíjecího proudu (až 2,5 A).

Podíváme-li se do návodu pro údržbu a provoz, dodávanému ke každému akumulátoru, zjistíme, že při nabíjení nemá být proud (v ampérech) větší než jedna desetina

kapacity akumulátoru (v ampérhodinách). V počáteční fázi nabíjení (při zcela vybitém stavu) lze sice tento proud překročit; v konečné fázi je však nutno zmenšit proud tak, aby akumulátor příliš „nevařil“. Při nadměrném vytváření plynů dochází k odtrhávání aktivní hmoty z desek a po delší době provozu k nahromadění kalu na dně. Někdy se též desky přehřívají a tedy rychleji stárnou. Mimoto vytvářející se bublinky svým objemem vytlačují elektrolyt, který přetéká [1]. Kdo neudělá včas opatření k jeho zachycení, přesvědčí se, co dovede způsobit napětí na chromu výfuku.

Úprava elektrického zapojení podle obr. 1 zlepší poměry v obvodu nabíjení (zmenší se především nabíjecí proud). Čárkované je nakresleno původní zapojení. Po úpravě je akumulátor nabíjen přes odpor  $R$ , protože dioda je pro tento směr proudu uzavřena. Nabíjecí proud se zmenší a při kolísání napětí



Obr. 1. Upravené zapojení nabíjecího obvodu

dynamu se nemění v tak velkém rozmezí jako u původního zapojení. Odpor volíme takový, aby při nabití akumulátoru, správně seřazeném regulátoru a střední rychlosti otáčení byl nabíjecí proud asi 0,5 A. Obvykle vyhoví odpor 1 až 3,3 Ω, dimenzovaný na zatížení 2 až 6 W.

Odebíráme-li z akumulátoru proud (při malé rychlosti otáčení nebo po zastavení motoru), teče tento proud opačným směrem, tzn. přes otevřenou diodu a odpor, zapojený paralelně k ní. Na diodě se sice tvoří úbytek napětí 0,6 až 1,1 V podle zatížení (platí pro křemíkovou diodu), o který je nyní napětí pro spotřebiče motocyklu menší, ale tento úbytek lze připustit. Na germaniové diodě (např. 40NP70, která se však již nevyrábí) je úbytek napětí menší a tato dioda je tedy pro náš účel výhodnější. Lze použít libovolnou diodu, která má přípustný proud alespoň 5 A (např. KY708).

Obě součástky jsem umístil do skřínky akumulátoru. Diodu jsem připevnil na skříňku a tak ušetřil chladič. Je-li u motocyklu spojen s kostrou kladný pól akumulátoru, lze

zapojení a chlazení diody přizpůsobit třemi způsoby:

1. Zhotovit chladič pro diodu a upevnit jej izolovaně od skřínky. Diody čs. výroby mají totiž na „šroubu“ vždy anodu.
2. Použít diodu KYZ75 a zalisovat ji do silnější vodivé destičky, kterou pak přišroubojeme na skříňku. Dioda je určena pro alternátory a nemá upevňovací šroub [2].
3. Přepólovat dynamo. Je to velice snadné. Zapojíme akumulátor tak, jak je nakresleno na obr. 1 a při vypnutém motoru (!) na okamžik stiskneme prstem kotvu relé. Proud z akumulátoru projde budičím vinutím a přemagnetuje stator. Je vhodné polaritu napětí dynamu překontrolovat při otáčejícím se motoru voltmetrem (přitom odpojíme kabel ze svorky 51). Kdyby polarita byla opačná než žádáme, vypneme motor, zapojíme kabel zpět na svorku 51 a opět stiskneme kotvu relé. Vliv přepólování na zapalovací soustavu nebyl pozorován.

Úprava má i jisté nevýhody. Případné kolísání napětí se nyní mnohem více projeví. Při zapnutí světel (při počátečním větším odběru proudu – než se vlákna žárovek rozžhají) může např. vlivem poklesu napětí vynechat motor. Nepravidelný chod motoru může být způsoben také radiální vůlí klikového hřídele (opotřeбенé ložisko) a tuhým chodem uhlíků, které v těchto případech nedosedají celou plochou na kolektor. V zimním období, kdy je akumulátor více zatěžován, je původní provedení vhodnější.

Úprava je zvláště vhodná pro novější typy motocyklů s malým akumulátorem (např. ČZ 175 Sport – 4,5 Ah), u nichž se vlivem přebíjení akumulátor velmi brzy zničí.

#### Literatura

- [1] Olověný akumulátor, starý problém, nové řešení. ST č. 1/1973.
- [2] Katalog polovodičových součástek TESLA.

# Elektronika ve fotografii

## Elektronický blesk na batérie i na sieť

R. Bečka

*Elektronický blesk ako zdroj umelého svetla vo fotografii je veľmi obľúbený pre jeho mnohé výhody. Na stránkach AR boli už mnohokrát popísané rôzne amatérske, ale i profesionálne výrobky. Elektronické blesky podľa druhu elektrickej energie možno rozdeliť na batériové a blesky so sieťovou prevádzkou. V nasledujúcich riadkoch bude popísaný elektronický blesk s batériovou i sieťovou prevádzkou.*

Pri amatérskej stavbe blesku vychádzame v prvom rade z toho, aký elektrolytický kondenzátor a výbojku sa nám podarí získať. Tu treba pripomenúť, že bežné elektrolytické kondenzátory na filtráciu v napájačoch nie sú najvhodnejšie pre použitie v blesku. Pri zapálení blesku tečie výbojkou veľký špičkový prúd (100 až 500 A), ktorým sú namáhané elektródy a privody ku elektródam. Tieto sú okrem elektrického namáhania i mechanicky namáhané vplyvom silného magnetického poľa vzniklého prútokom veľkého prúdu. Tým sa môže elektrolytický kondenzátor predčasne zničiť alebo zmenšiť svoju kapacitu, čo má za následok zmenšenie smerného čísla blesku. Kondenzátory určené pre blesky sú v katalógu udávané ako „výbojkové“. V tab. 1 sú parametre výbojkových kondenzátorov vyrábaných u nás. Hviezdičkou sú označené zastaralé typy. Pre zrovnanie sú v posledných riadkoch tabuľky dva typy výbojkových kondenzátorov vyrábaných firmou Siemens od roku 1971. Tieto kondenzátory vyrábané s tzv. dvojistou anódou sú podstatne menšie ako naše výrobky.

Kapacitu elektrolytického kondenzátora volíme podľa požadovanej energie (alebo opačne zo zvoleného kondenzátora vypočítame energiu blesku) zo vzorca

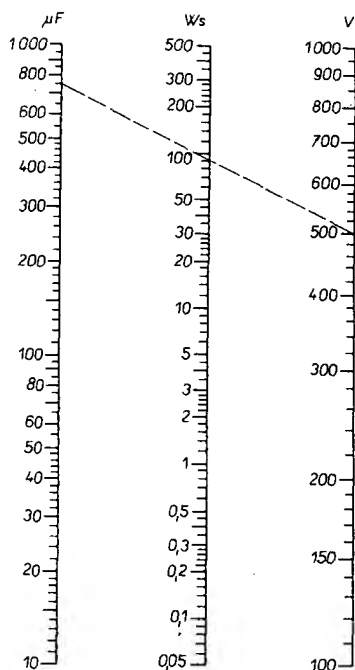
$$A = U^2 \frac{C}{2} \quad (1),$$

Tab. 1. Parametre výbojkových kondenzátorov

Výrobc	Typové označenie	Kapacita [μF]	Napätie [V]	Rozmery [mm]		Energia [Ws]	Pomer [Ws]/[cm <sup>3</sup> ]
				Ø	L		
TESLA	WK 704 70 *	150	450	35	116	15	0,135
	WK 705 84 *	400	450	60	90	40	0,158
	WK 705 85 *	800	450	80	90	80	0,177
	TC 589	500	300	35	114	22,5	0,205
	TC 509	300	500	40	114	37,5	0,263
	TC 509	250	500	35	114	31,5	0,285
	Vývojové vzorky	400	500	35	90	50	0,578
Sie-mens		500	360	26	60	32,4	1,01
		1 100	360	35	65	71	1,12

kde  $U$  je napätie [kV],  $C$  kapacita [μF] a  $A$  je energia [Ws].

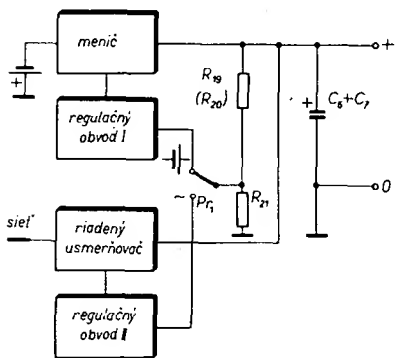
Energii blesku možno tiež určiť z nomogramu na obr. 1, ktorý je zhotovený na základe rovnice (1). Vypočítaná energia je len približná, keďže uvedený vzorec platí za predpokladu, že sa využila všetka energia nazhromaždená v kondenzátore. V skutočnosti výbojkou tečie prúd len do určitého napätia medzi anódou a katódou. Pri poklese napätia pod tzv. zhášacie napätie výbojka zhasne a prestane vyžarovať svetlo. Zhášacie napätie výbojek s pracovným napätím do 500 V je asi 60 až 100 V, u vysokonapäťových výbojek asi 200 V. Presnejšiu veľkosť energie, ktorá sa vo výbojke premení na svetlo, získame, ak od energie vypočítanej podľa rov. (1) odpočítame energiu, ktorá ostala v kondenzátore po zhasnutí výbojky. Napr.: v blesku bude použitý kondenzátor o kapacite 250 μF nabitý na 500 V a použitá výbojka má zhášacie napätie 100 V. Energia v kondenzátore je 31,25 Ws. Po zhasnutí výbojky ostane v kondenzátore energia 1,25 Ws. Skutočná energia premenená vo výbojke na svetlo je 30 Ws. Ak si ku každému kondenzátoru vypočítame maximálnu energiu, ktorú môžeme z nej odobrať, a pre-



Obr. 1. Nomogram na výpočet parametrov elektronického blesku

počítame ju na 1 cm<sup>3</sup> objemu kondenzátora, zistíme, že je výhodnejšie použitie kondenzátora na napätie 500 V ako na napätie 300 V, keďže energia kondenzátora sa zväčšuje kvadraticky s napätím a lineárne s kapacitou kondenzátora. V popisovanom blesku sú použité dva vývojové vzorky elektrolytických výbojkových kondenzátorov o kapacite 400 μF na napätie 500 V. Bez elektrických úprav je možno použiť tri bežné kondenzátory TC 509 250 μF, ktoré sú väčšie, čím sa podstatne zväčšia aj rozmery blesku.

Blokové schéma blesku je na obr. 2. Pozostáva z dvoch samostatných častí, a to z batériovej a sieťovej časti. Pre obe časti je spoločný výbojkový kondenzátor a delič. Z deliča sa odoberá vzorka výstupného napätia, ktorá je cez prepínač „batéria – sieť“ privádzaná na regulačné obvody. Úlohou regulačných obvodov je zapínať menič, popr. riadený usmerňovač tak, aby napätie na výbojkových kondenzátoroch  $C_6$  a  $C_7$  bolo konštantné.



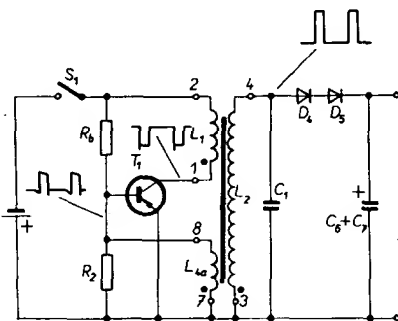
Obr. 2. Blokova schéma

### Technické dáta

Energia pri polovičnom výkone:	50 Ws.
Energia pri plnom výkone:	100 Ws.
Čas nabíjania z batérie	
pri polovičnom výkone:	asi 4 s.
pri plnom výkone:	asi 8 s.
Čas nabíjania zo siete	
pri polovičnom výkone:	asi 2 s.
pri plnom výkone:	asi 4 s.
Trvanie záblesku:	1/750 s.
Použitý akumulátor:	6V/4,5 Ah.

### Batériová časť

Pri batériovej prevádzke nabíja výbojkové kondenzátory tranzistorový jednočinný menič osadený tranzistorom  $T_1$ . Princípálne schéma je na obr. 3. Menič pracuje ako blokujúci oscilátor. Po zapnutí spínača  $S_1$  pretečie prúd cez odpor  $R_6$  do báze tranzistora. Tento sa otvorí a umožní prietok prúdu cez primárne vinutie  $L_1$ . V spätnoväzobnom vinutí  $L_{4a}$  sa indukuje napätie, ktoré je privádzané do báze tranzistora. Polarita spätnoväzobného napätia je volená tak, aby vznikla kladná väzba potrebná pre kmitanie meniča. Sekundárne vinutie  $L_2$  a diódy  $D_1$  a  $D_3$  sú pólované tak, že počas zapnutia  $T_1$  sú diódy v nepriepustnom smere. Zátaz sa teda netransformuje na primárne vinutie, kde preteká induktívny prúd, ktorý sa lineárne zväčšuje. Po nasatí transformátora  $T_1$  sa zmenší budiace napätie, v dôsledku čoho sa zablokuje tranzistor. Počas prietoku prúdu cez primárne vinutie (tranzistor  $T_1$  otvorený) nahromadí sa v indukčnosti transformátora energia, ktorá po rozpojení tranzistora vyvolá v sekundárnom vinutí opačne pólovaný napätový impulz, ktorý cez diódy pólované v priepustnom smere nabíja výbojkové kondenzátory  $C_6$  a  $C_7$ . Keď sa napätie na sekundárnom vinutí  $L_2$  zmenší



Obr. 3. Princípálne zapojenie meniča (bodkami sú označené začiatky vinutí pri dodržaní stále rovnakého zmyslu vinutia)

pod napätie na kondenzátoroch  $C_6$  a  $C_7$ , zatvorí sa diódy  $D_1$  a  $D_3$ . Spätý impulz, ktorý sa cez spätnoväzobné vinutie  $L_{4a}$  dostane na bázu  $T_1$ , tento tranzistor otvorí a celý cyklus sa znovu opakuje.

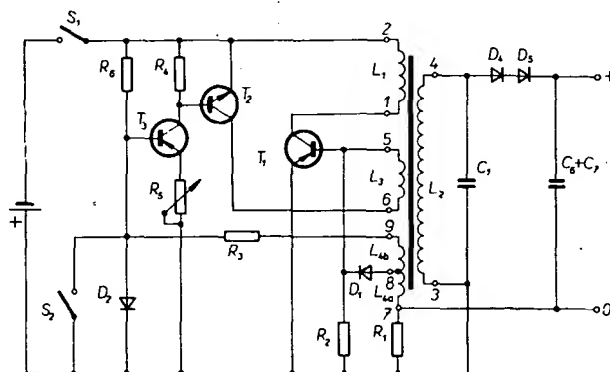
Maximálny kolektorový prúd v čase otvorenia tranzistora závisí od zosilňovacieho činiteľa tranzistora a od odporu  $R_6$ . Ak chceme, aby boli výbojkové kondenzátory  $C_6$  a  $C_7$  rýchlo nabité, je potrebné, aby kolektorový prúd bol asi 5 až 6 A. Veľký kolektorový prúd sa získa pri dostatočnom buzení tranzistora. Z toho vyplýva, že odpor  $R_6$  by mal byť malý. Ak sa kondenzátory  $C_6$  a  $C_7$  nabíjajú na požadovanú hodnotu, je potrebné, aby tranzistor prestal kmitať. Bázový delič pozostávajúci z odporov  $R_8$  a  $R_2$  by však zaťažoval batériu. Pri zväčšení odporu  $R_8$  by sa síce zmenšil odtok prúdu z batérie, avšak menič by nespôsobilivo kmital.

Po navinutí transformátora možno ho vyzkúšať podľa zapojenia z obr. 3. Ak sa miesto odporu  $R_6$  použije odpor asi 470 Ω, musí menič kmitať. Keďže v tomto zapojení nemá menič automatické vypínanie po nabití výbojkových kondenzátorov, treba merať napätie na kondenzátoroch, pretože menič ich dokáže nabíjať i na podstatne väčšie napätie, ako je ich maximálne prípustné napätie, t.j. 550 V.

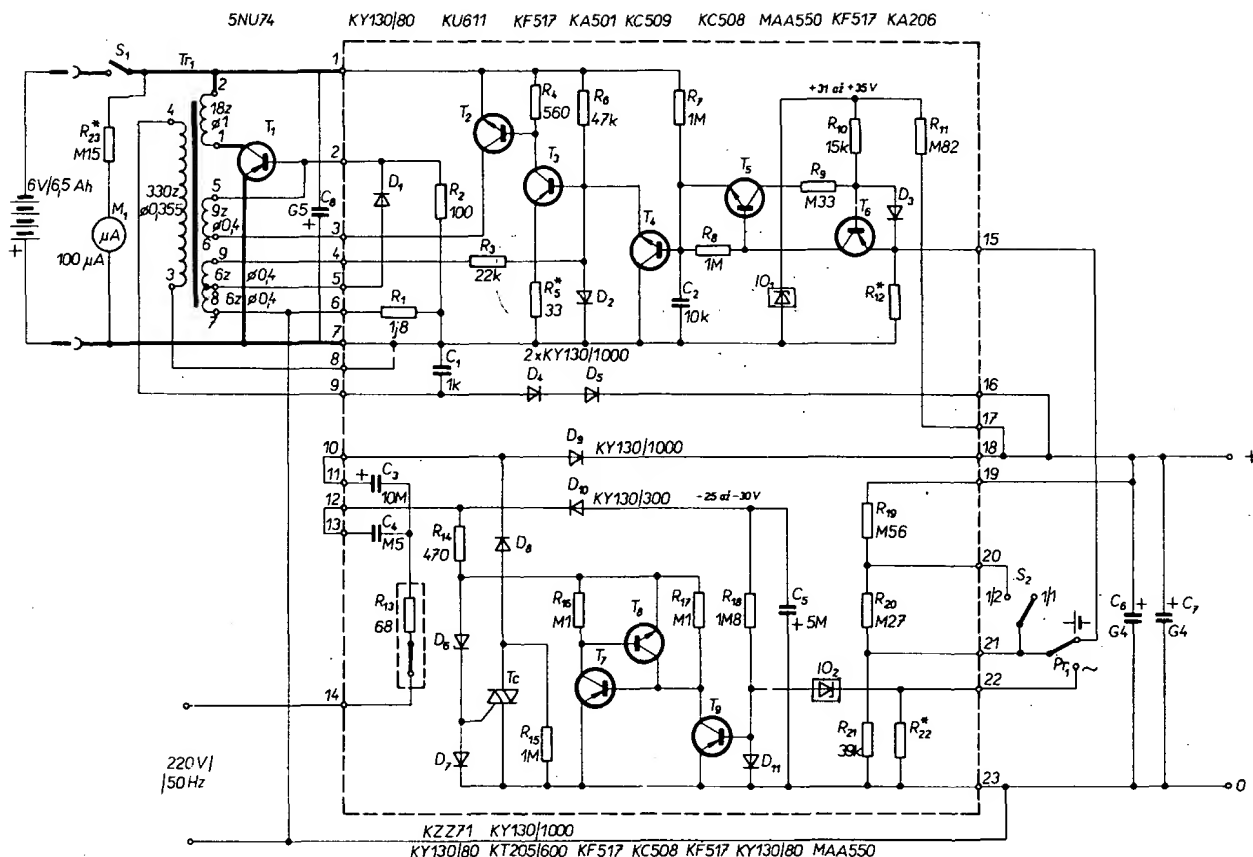
V skutočnom zapojení je báza tranzistora  $T_1$  buďená cez tranzistor  $T_2$ . Zapojenie generátorovej časti blesku je na obr. 4. Spätnoväzobné napätie sa odoberá jednak z vinutia  $L_{4a}$ , ktoré je cez oddelovaciu diódu  $D_1$  pripojené na bázu tranzistora  $T_1$ , ako aj z vinutia  $L_{4b}$ , ktoré je cez odpor  $R_3$  spojené s bázou tranzistora  $T_3$ . Po zosilnení v tranzistoroch  $T_3$  a  $T_2$  je toto spätnoväzobné napätie privedené cez vinutie  $L_3$  na bázu tranzistora  $T_1$ . Vďaka tejto spätnej väzbe menič spoľahlivo kmitá i pri zmenšenom napätí akumulátora. Keď sú výbojkové kondenzátory nabité na menovitú hodnotu, zopne spínač  $S_2$  (v skutočnosti tranzistor  $T_4$ ), skratuje sa spätnoväzobné napätie a oscilátor prestane kmitať. Ak oscilátor nekmitá, je odtok z akumulátora veľmi malý (asi 3 mA). Tranzistor  $T_2$  (obr. 5) pracuje ako spínač, ktorý je ovládaný tranzistorom  $T_3$  a  $T_6$ . Integrovaný obvod  $IO_1$  je referenčný zdroj, ktorého napätie sa privádza do báze tranzistora  $T_6$ . Do emitora tohto tranzistora sa privádza vzorka výstupného napätia z deliča  $R_{19}$  až  $R_{21}$ .

### Sieťová časť

Pri sieťovej prevádzke blesku sa potrebné jednosmerné napätie získa zdvojením sieťového napätia, ktoré sa potom rovná  $220.2\sqrt{2} = 622$  V. Toto napätie sa v starších typoch bleskov zmenšovalo na 500 V odporom v privode sieťe. Odpor spolu so zbytkovým svodovým od-



Obr. 4. Zapojenie meniča bez automatiky



Obr. 5. Celkové zapojenie (čiarokvane je vyznačený okraj dosky s plošnými spojmi,  $R_{13}$  je odpor s tepelnou poistkou. Odpor  $R_5$  má byť  $330 \Omega$  až  $1,8 k\Omega$ . Nastavuje sa ním odtok z batérie na 5 až 6 A. Akumulátor má byť správne označený 6V/4,5 Ah)

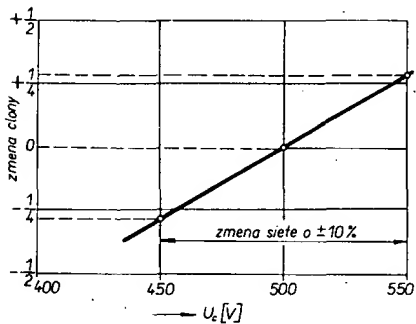
porom elektrolytického kondenzátora znižoval jednosmerné napätie na tomto kondenzátore a súčasne znižoval účinnosť zdvojovača. Takéto zapojenie má veľkú nevýhodu v tom, že keď je blesk dlhšie zapnutý, zväčší sa napätie na kondenzátore nad maximálne prípustné napätie, čo mnohokrát viedlo k prerazeniu kondenzátora a k rôznym pochybným teóriám o tom, že naše výbojkové kondenzátory sú nespoľahlivé.

Ako najjednoduchšie sa núka použiť sieťový autotransfórator na znižovanie napätia pre zdvojovač. U tohoto riešenia okrem toho, že autotransfórator by podstatne zväčšoval aj váhu a rozmery blesku, menilo by sa napätie na výbojkovom kondenzátore pri zmene sieťového napätia. Ak vychádzame z predpokladu, že napätie siete sa môže meniť v medziach  $\pm 10 \%$ , menilo by sa napätie na výbojkovom kondenzátore od

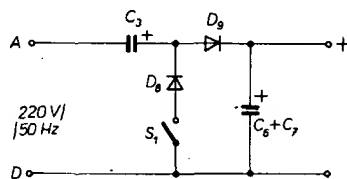
450 do 550 V. Tým by sa menila energia blesku (s kondenzátorom o kapacite  $800 \mu F$  od 81 do 121 Ws) a s ňou i smerné číslo blesku, čo by v konečnom efekte zapríčinilo nesprávne osvetlenie filmu. Obr. 6 ukazuje množstvo svetla vyžiareného výbojkou pri zmene sieťového napätia o  $\pm 10 \%$ , teda pri zmene napätia na výbojkovom kondenzátore od 450 do 550 V. Zmena osvetlenia je vyjadrená ako odchýlka clony, o ktorú treba upraviť clonu na fotografickom prístroji, aby film bol správne osvetlený.

Výhodnejšie riešenie je na obr. 7. Keď je zapnutý spínač  $S_1$ , pracuje zapojenie ako Villardov zdvojovač napätia. Pri zápornej polvine striedavého napätia na svorku A je dióda  $D_8$  otvorená a prúd tečie cez ňu nabíja kondenzátor  $C_3$  vyznačenou polaritou. Pri kladnej polvine striedavého napätia na svorku A je otvorená dióda  $D_9$ . V tomto okamihu je napätie na kondenzátore  $C_3$  zapojené v sérii s napätím zápornej polviny striedavého napätia. Cez otvorenú diódu  $D_9$  vybije sa kondenzátor  $C_3$  do kondenzátorov  $C_6$  a  $C_7$ , ktoré sú súčasne nabíjané aj kladnou polvinou striedavého napätia. Keďže kapacita kondenzátora  $C_3$  je mnohokrát menšia ako

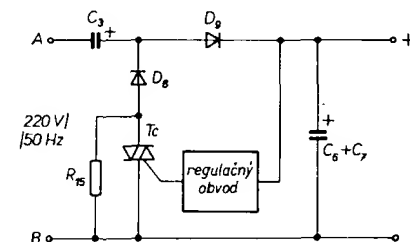
kapacita kondenzátorov  $C_6$  a  $C_7$ , nenabijú sa kondenzátory  $C_6$  a  $C_7$  hneď na dvojnásobné napätie siete, ale nabíjanie prebieha podľa exponenciálnej funkcie trvá niekoľko sekúnd. Keď napätie na kondenzátoroch  $C_6$  a  $C_7$  dosiahne určitú (želanú) hodnotu napätia (500 V), preruší sa nabíjanie rozpojením spínača  $S_1$ . Ako spínač je použitý triak (obr. 8), ktorý je otváraný regulačným obvodom v závislosti od napätia na kondenzátoroch  $C_6$  a  $C_7$ . Pretože pri otvorení je triak vodivý pre obe polviny striedavého napätia, je s ním do série zapojená dióda  $D_8$ . Odpor  $R_{15}$  zapojený paralelne ku triaku vytvára spolu so záverným odporom diódy  $D_8$  delič napätia. Keďže odpor diódy  $D_8$  v závernom smere je podstatne väčší ako odpor  $R_{15}$ , bude i väčšia časť záverného napätia na dióde  $D_8$ , čím vlastne dióda preberá funkciu záverného prechodu. Pri kladnej polvine striedavého napätia na svorku A je triak vďaka odporu  $R_{15}$  a dióde  $D_8$  namáhaný napätím asi 200 V. Pri zápornej polvine je dióda  $D_8$  otvorená, a ak je triak zatvorený (kondenzátory  $C_6$  a  $C_7$  nabité na



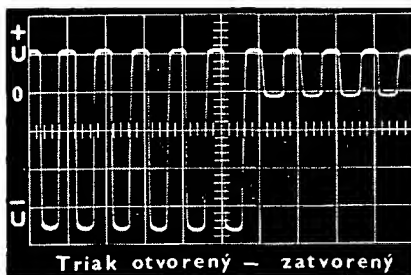
Obr. 6. Potrebná korekcia clony (u bleskov bez automatiky udržiavajúcej konštantné napätie na výbojkových kondenzátoroch) pri zmene sieťového napätia o  $\pm 10 \%$



Obr. 7. Principiálne zapojenie sieťovej časti



Obr. 8. Zapojenie s triakom

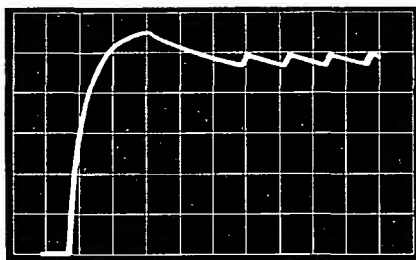


Obr. 9. Priebie napätia na anóde Zenerovej diódy  $D_6$  (citlivosť:  $x - 20$  mV/dielok,  $y - 2$  V/dielok)

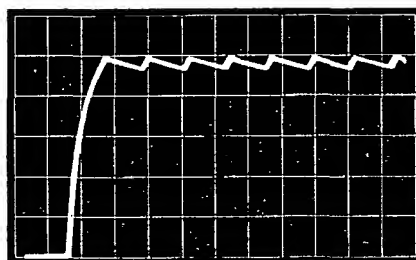
menovité napätie), je prechod triaku namáhaný napätím  $220\sqrt{2} = 311$  V. Dióda  $D_6$  (podobne dióda  $D_9$ ) musí mať dostatočné záverné napätie. Je namáhaná napätím  $2 \times 220\sqrt{2} = 622$  V a pri zväčšení sieťového napätia o 10 % až napätím 685 V. Vzhľadom na bezpečnú prevádzku sú ako diódy  $D_6$  a  $D_9$  použité KY130/1000, ktorých záverné napätie je 1 000 V.

Kompletné zapojenie sieťovej časti blesku je na obr. 5 (v spodnej časti). Potrebný riadiaci impulz pre triak sa získava pomocou člena RC ( $C_4$ ,  $R_{14}$ ). Kondenzátor  $C_4$  spĺňa pri tom dve funkcie. Zmenšuje činný výkon v spúšťacom obvode a tým aj tvorenie tepla a spôsobuje posunutie fázy spúšťacieho prúdu tak, že už pred začiatkom zápornej polovlny anódového napätia tečie prúd do riadiacej elektródy triaku, čím sa zabráni rušeniu pri otváraní triaku, keďže tento je otvorený už pri malých prúdoch. Odpor  $R_{14}$  obmedzuje prúdové špičky v spúšťacom obvode pri zapnutí prístroja. Napätie na odpore  $R_{14}$  je diódou  $D_{10}$  usmernené a po filtrácii kondenzátorom  $C_5$  slúži ako pomocné napätie, na ktoré bude poukázane ďalej. V spúšťacom obvode triaku  $T_c$  je zapojená Zenerová dióda  $D_6$ . Pri záporných spúšťacích prúdoch pracuje ako Zenerová dióda, pri kladných polvlnách pracuje ako dióda v prednom smere. Pri týchto (nežiaducich) kladných polvlnách je otvorená dióda  $D_7$  a zväzda kladné polvlny striedavého napätia. Paralelne ku Zenerovej dióde je zapojená komplementárna dvojica tranzistorov  $T_7$ ,  $T_8$  regulujúca prúd do riadiacej elektródy triaku. Keď je potenciál emitora  $T_8$  menší ako Zenerové napätie diódy  $D_6$ , nedostane riadiaca elektróda triaku budiaci prúd. Tranzistory  $T_7$  až  $T_9$  pracujú nasledovne: po zapnutí blesku začnú sa nabíjať výbojkové kondenzátory  $C_6$  a  $C_7$ . Napätie na katóde  $IO_2$  je menšie ako napätie potrebné na jeho otvorenie, teda prúd netečie. Pomocným napätím na kondenzátore  $C_5$  je vyvolaný budiaci prúd privádzaný cez odpor  $R_{18}$  do báze tranzistora  $T_9$ , ktorý je týmto prúdom otvorený do saturácie a zatvára tranzistor  $T_7$  a  $T_8$ . Budiaci prúd, ktorý sa privádza cez odpor  $R_{17}$  do báze  $T_7$  je otvoreným tranzistorom zvedený. Keďže sú tranzistory  $T_7$  a  $T_8$  zatvorené, môže tečť cez Zenerovú diódu  $D_6$  prúd do riadiacej elektródy triaku, ten sa otvorí a elektrolytické kondenzátory  $C_6$  a  $C_7$  sa nabijajú. Keď je na kondenzátoroch menovité napätie, začne integrovaný obvod  $IO_2$  viesť prúd a zatvori tranzistor  $T_9$ . Tým sa otvorí tranzistor  $T_7$  a  $T_8$  a zvedú budiaci prúd tečúci kondenzátorom  $C_4$  a odporom  $R_{14}$ . Do riadiacej elektródy triaku  $T_c$  netečie riadiaci prúd a pri najbližšom poklese anódového prúdu pod pridrznú hodnotu sa triak uzavrie a výbojkový kondenzátor sa prestane nabíjať. Týmto je

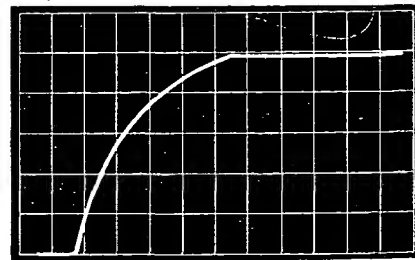
na výbojkovom kondenzátore udržiavané konštantné napätie s presnosťou lepšou ako 1 %. Na obr. 9 je priebeh napätia na anóde Zenerovej diódy  $D_6$  pri otvorení a zatvorení triaku. V starších druhoch bleskov sa používali na miesto integrovaného obvodu dútnavky. Nevýhodou dútnaviek je, že k ich prvému zápalu dochádza pri podstatne vyššom napätí ako ďalším zápalom. Táto vlastnosť sa veľmi neprijemne prejaví v tom, že pri zapnutí blesku prevyší napätie na výbojkovom kondenzátore maximálne prípustné napätie, čo môže viesť k prerazeniu kondenzátora. Obr. 10 ukazuje priebeh napätia na výbojkovom kondenzátore po zapnutí blesku na sieť asi po dvojtýždňovej prestávke v používaní. Ako vidno z fotografie oscilogramu, prvýkrát dútnavka zapálila až vtedy, keď napätie na výbojkovom kondenzátore dosiahlo 550 V. Keď sa napätie na výbojkovom kondenzátore zmenší pod 465 V, dútnavka zhasne a nabíjací cyklus sa obnoví dotiaľ, kým sa dútnavka znova nezapáli. Ako vidno z obr. 10, druhý a ďalšie zápaly dútnavky sú rovnaké. Po prvom odpálení blesku ďalší nabíjania výbojkového kondenzátora pre-



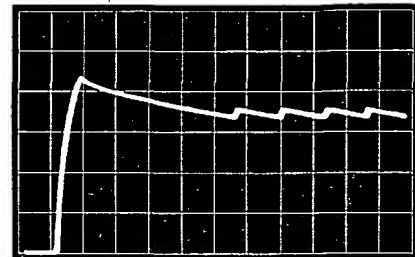
Obr. 10. Priebeh napätia na výbojkových kondenzátoroch pri použití dútnavky miesto  $IO_2$ , blesk zapnutý na sieťovú prevádzku asi po dvojtýždňovej prestávke v používaní (citlivosť:  $x - 2$  s/dielok,  $y - 100$  V/dielok)



Obr. 11. Priebeh napätia na výbojkových kondenzátoroch s dútnavkou miesto  $IO_2$  po prvom blesku (citlivosť rovnaká ako v obr. 10)



Obr. 12. Priebeh napätia na výbojkových kondenzátoroch pri sieťovej prevádzke s použitím integrovaného stabilizátora  $IO_2$  (citlivosť:  $x - 1$  s/dielok,  $y - 100$  V/dielok)

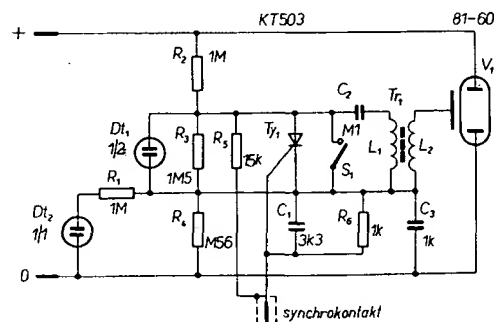


Obr. 13. Priebeh napätia na kondenzátoroch za podmienok ako pri obr. 10 s tým rozdielom, že prepínač výkonu je prepnutý na 1/2 (citlivosť:  $x - 2$  s/dielok,  $y - 100$  V/dielok)

biehajú podľa obr. 11. Kolísanie výstupného napätia od 460 do 500 V je spôsobené rozdielom medzi zápalným a zhasinacím napätím použitej dútnavky. Obr. 12 ukazuje priebeh napätia na výbojkovom kondenzátore pri použití integrovaného obvodu MAA550 namiesto dútnavky. Ak sa predsa niekto rozhodne použiť dútnavku, je potom potrebné pri zapnutí blesku na sieť (hlavne po dlhšej prestávke v používaní) prepnúť spínač  $S_2$  na polovičný výkon. Ak vidno z obr. 13, je i teraz prvý zápal dútnavky pri vyššom napätí, avšak toto napätie nie je pre výbojkový kondenzátor nebezpečné. Keďže zápalné napätie dútnavky je podstatne väčšie ako napätie integrovaného obvodu, je potrebné zmeniť delič pozostávajúci z odporov  $R_{19}$  až  $R_{22}$ . Tento delič je navrhnutý tak, aby výstupné napätie bolo 500 V. Pomocou spínača  $S_2$  sa mení deliaci pomer výstupného deliča a tým sa skokom zmení výstupné napätie na 360 V, ktoré odpovedá polovičnému svetelnému výkonu blesku.

## Reflektor

Zapojenie reflektora je na obr. 14. Cez odporový delič pozostávajúci z odporov  $R_2$  až  $R_4$  je nabíjajúci zapalovací kondenzátor  $C_2$  na napätie asi 150 V. Odpor  $R_2$  a  $R_4$  pri tom



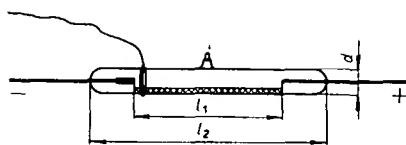
Obr. 14. Zapojenie reflektora

spĺňajú podmienku ochranných odporov voči nebezpečnému dotyku, keďže synchrokontakt fotoaparátu je jedným pólom spojený cez tieto odpory so sieťou. Tu treba pripomenúť, že ku sieťovým bleskom bez oddeľovacieho transformátora, ako je väčšina sieťových bleskov a aj blesk podľa obr. 5, nemožno pripojiť taký reflektor, ktorý by nemal oba ochranné odpory ( $R_2$  a  $R_1$ ). Reflektory batériových bleskov kvôli jednoduchosti väčšinou jeden z ochranných odporov nemajú. Pri batériovej prevádzke to nie je na závädu, avšak pri prevádzke zo siete mohlo by prísť k smrteľnému úrazu a preto sa treba presvedčiť, či starší reflektor, ktorý už náhodou vlastnime, má oba oddeľovacie odpory.

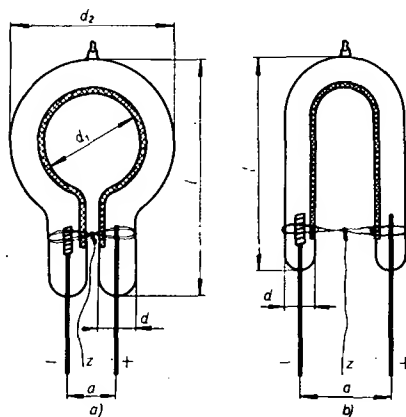
Delič napätia pozostávajúci z odporov  $R_2$  a  $R_1$  je navrhnutý tak, aby dútnavka  $D_1$  sa rozsvietila vtedy, keď napätie na výbojkových kondenzátoroch dosiahne asi 310 V, tj. dútnavka sa rozsvieti o niečo skôr, ako sa dosiahne napätia odpovedajúceho polovičnému svetelnému výkonu (360 V). Dútnavka  $D_2$  sa rozsvieti až vtedy, keď je na výbojkovom kondenzátore napätie asi 460 V. Pri polovičnom výkone blesku (prepínač v polohe 1/2) svieti dútnavka  $D_1$  a pri plnom výkone svietia obe dútnavky. Dútnavka  $D_1$  je pripojená priamo k odporu  $R_3$  a pracuje súčasne ako stabilizátor – udržiava konštantné napätie na zapalovacom kondenzátore  $C_2$ , čím sa získa ako pri polovičnom, tak i pri plnom výkone rovnaký zapalovací impulz. Odpor  $R_1$  je tiež oddeľovací (ochranný) odpor proti úrazu vtedy, keď je zapálená dútnavka  $D_2$ .

Zapalovací kondenzátor  $C_2$  je zapojený cez primárne vinutie zapalovacej cievky k odporu  $R_3$  a dútnavke  $D_1$ . Cez odpory  $R_2$  a  $R_1$  sa tento kondenzátor nabíja na napätie 150 V. Blesk sa spúšťa skratovaním kontaktov synchrozásuvky. Tým sa cez odpor  $R_5$  privedie prúd do riadiacej elektródy tyristora  $T_1$ , ktorý sa otvorí a zapalovací kondenzátor  $C_2$  sa vybije cez tyristor a primárne vinutie zapalovacej cievky. V sekundárnom vinutí  $L_2$  sa indukuje vysokonapäťový impulz, ktorý zionizovaním plynov zapáli výbojku  $V_1$ . Použitie tyristora ako spínacieho prvku má veľkú výhodu v tom, že spínací prúd tečúci synchrokontaktom vo fotografickom prístroji je asi 10 mA (pri klasickom zapojení dosahuje špičkový prúd až 10 A). Hoci tento prúd tečie kontaktom približne 5 až 10  $\mu$ s, vzniká na kontaktoch iskrenie a kontakty sa opafujú, čím sa zväčšuje ich prechodový odpor. Pri zväčšenom prechodovom odpore kontaktov blesk nespôľahlivo štartuje. Niekedy sa dokonca môže stať, že sa vplyvom iskrenia kontakty „zlepia“. Uvedené zapojenie pracovalo naprosto spoľahlivo i s takým fotografickým prístrojom, ktorého synchrokontakty boli dokonale opálené (kúpodivru profesionálne vyrábaným bleskom).

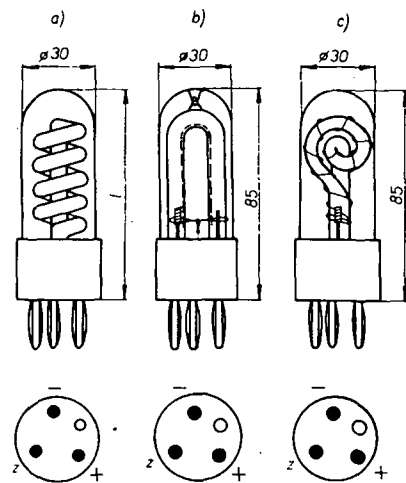
I napriek tomu, že kondenzátor  $C_1$  zapojený medzi riadiacu elektródu a katódu tyristora potláča rušivé impulzy, treba prívod ku riadiacej elektróde tyristora zapojiť na stredný kontakt synchrozásuvky. V opačnom prípade, tj. keď riadiaca elektróda je spojená s vonkajším vývodom synchrozásuvky a teda vo väčšine aj s kostrou fotografického prístroja, môže prísť vplyvom statickej elektriny pri uchytení prístroja k neželateľnému zapáleniu blesku. Pri dnešnom veľkom používaní umelých hmôt na odevy a rôzne poháry nábytku dochádza k silnému nabíjaniu statickou elektrinou. Pri uchytení fotografického prístroja príde k vybitiu statického náboja, a ak riadiaca elektróda tyristora  $T_1$  je spojená s kostrou fotoaparátu, postačí impulz zo statickej elektriny k otvoreniu tyristora a tým aj k zapáleniu blesku. Túto jedinou



Obr. 15. Rozmery tyčkovitých výbojek



Obr. 16. Rozmery a prevedenie prstencovitých výbojek a výbojek tvaru U



Obr. 17. Rozmery a zapojenie výbojek, typy 80-22 a 80-72 (a), typ 81-60 (b) a typ G-350 (c)

nevýhodu tyristorového zapalovania možno však, ako už bolo uvedené, ľahko odstrániť tým, že riadiaca elektróda tyristora bude spojená so stredným vývodom synchrozásuvky.

Ručné zapálenie blesku sa prevádza spínačom  $S_1$ . Ako spínač sa môže použiť mikrosplínač typ QN 559 02. Kondenzátor  $C_3$  pre striedavý prúd spojuje katódu výbojky s dolným koncom sekundárneho vinutia zapalovacej cievky. Tým sa zväčší amplituda vysokonapäťového impulzu privádzaného medzi katódu a zapalovaciu elektródu výbojky. V opačnom prípade by sa zapalovací impulz privádzal na katódu výbojky cez veľký oddeľovací odpor  $R_4$ .

## Výbojky

Výbojky pre elektronické blesky používajú princíp oblúkového výboja studenej katódy. Sú plnené vzácnym plynom xenónom.

Vybíjaním kondenzátora cez výbojku vznikajú veľmi silné záblesky, pričom výboj sa zapája krátkym vysokonapäťovým impulzom, ktorý kapacitnou väzbou zionizuje plyn vo výbojke.

Výbojky pre elektronické blesky sa zhotovujú z tvrdého skla vyrobeného z vybraného kremeňa. Vo výbojke sú vstavané dve wolframové elektródy (anóda a katóda). Katóda býva rozmerovo väčšia ako anóda (niektoré malé tyčkové výbojky majú obe elektródy rovnaké). Geometrický tvar výbojek býva tyčkovitý, prstencovitý, v tvare U alebo špirálovitý. Na obr. 15 až 18 sú tvary a rozmery jednotlivých výbojek. Pri montáži treba dodržať správne zapojenie výbojky, na hrubšiu elektródu (tj. katódu) sa privádza vždy záporný pól napätia.

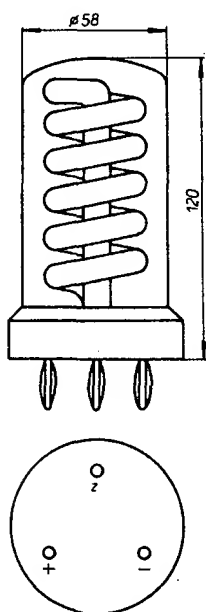
V tab. 2 a 3 sú zhrnuté dáta výbojek vyrábaných v NDR a dáta sovietskej výbojky IFK 120, ktorú možno u nás kúpiť. Pre každú výbojku je charakteristické tzv. pracovné napätie, tj. napätie medzi anódou a katódou pred zapálením výbojky. Pracovné napätie musí byť v rozsahu, ako je udané v tabuľkách. Pri zvýšení napätia nad pracovné napätie môže nastať spontánne zapálenie výbojky a tým k jej zničeniu v dôsledku preťaženia. Pri menšom napätí nemusí výbojka zapáliť. V tabuľkách udaná maximálna elektrická práca vo Ws platí pre udaný počet zábleskov za jednu minútu. Pomocné napätie je také napätie, na ktoré má byť nabitý zapalovací kondenzátor o kapacite 47 nF pri použití výrobcom doporučovanej zapalovacej cievky. Pri zmene kapacity zapalovacieho kondenzátora, ako aj pri použití inej zapalovacej cievky, je dôležité, aby zapalovacie napätie bolo väčšie než minimálne zapalovacie napä-

Tab. 2. Dáta výbojek

Typ	82-00	82-20	82-30	82-40
Pracovné napätie [V]	400 až 700	350 až 500	400 až 600	300 až 500
Max. el. práca $A_{max}$ [Ws]	40	40	35	35
Pomocné napätie [V]	200	175	200	150
Max. počet zábleskov pri $A_{max}$ za 1 min.	10	6	6	4
Min. zápalné napätie [kV]	1,6	0,8	0,75	1
Optická dĺžka $l_1$ [mm]	44	38	30	25
Celková dĺžka $l_2$ [mm]	72	65	48	38
Priemer $d$ [mm]	5,5	5,5	5,5	6
Prevedenie	trubkove (obr. 15)			

Tab. 3. Dáta výbojok

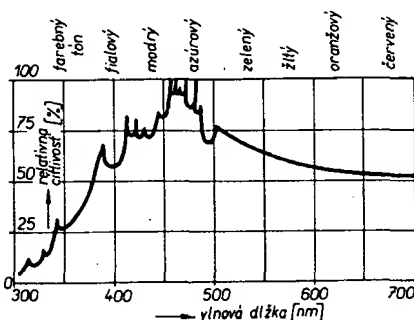
Typ	83-00	83-20	83-30	81-00	81-10	IFK 120	81-60	80-22	80-72	G 350	80-151
Pracovné napätie [V]	400 až 1 000	500 až 1 000	400 až 1 000	380 až 500	220 až 350	300 až 320	360 až 500	500 až 1 000	2 500 až 4 000	1 000 až 1 300	4 000 až 5 000
Max. elektrická práca $A_{max}$ [Ws]	165	125	250	150	100	120	200	200	400	80	1000
Pomocné napätie [V]	200	200	250	190	200		150	250	300	300	400
Max. počet zábleskov pri $A_{max}$ za 1 min.	6	6	3	4	4		4	4	2	4	2
Min. zápalné napätie [kV]	2,0	1,2	1,5	0,6	0,4		0,6	2,5	4,5	4,0	6,0
Dĺžka [mm]	47	71	95	42	45		54				
Vnútorň priemer $d_1$ [mm]	19	24,5	58								
Vonkajší priemer $d_2$ [mm]	33	47,5	77								
Rozteč elektród $a$ [mm]	10	16	16	18	14		16				
Priemer $d$ [mm]	7,5	10,5	10	6	6		7				
Prevedenie	prstencové (obr. 16a)			tvar U (obr. 16b)			obr. 17b	obr. 17a		obr. 17c	obr. 18



Obr. 18. Rozmery výbojky 80-151

tie udané v tabuľkách charakteristických hodnôt.

Spektrálne zloženie svetla výbojek plnených xenónom odpovedá približne zloženiu denného svetla, alebo žiareniu čierneho telesa teploty asi 6 000 °K. Spektrálna charakteristika výbojky je na obr. 19. Keďže spektrálne zloženie svetla blesku je podobné dennému svetlu, možno s výhodou použiť filmy

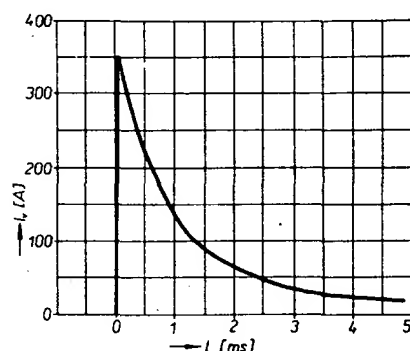


Obr. 19. Spektrálne zloženie svetla výbojek plnených xenónom

určené pre denné svetlo aj pri fotografovaní bleskom, čo má veľkú výhodu hlavne pri fotografovaní na farebné inverzné filmy, u ktorých už nie je možná dodatočná farebná korekcia.

Využitie svetla výbojkového blesku (merný výkon) je asi 35 lm/W a je definované ako pomer vyžiareného svetla a príkonu  $\Phi/N$ , kde  $\Phi$  je svetelný tok [lm] a  $N$  je príkon [W].

Pre porovnanie je v tab. 4 zhrnutý merný výkon rôznych svetelných zdrojov. Ako vidno z tabuľky, je využitie svetla výbojkového blesku síce väčšie ako u fotografickej žiarovky Teslafor B, je však menšie ako využitie svetla žiarivky. Avšak vďaka tomu, že trvanie záblesku elektrického blesku sa pohybuje od 1/250 do 1/1 000 s, je intenzita svetla mnohokrát väčšia ako u ostatných zdrojov svetla. Trvanie záblesku závisí od kapacity výbojkového kondenzátora a vnútorného odporu výbojky. Vnútorň odpor jednotlivých typov výbojek je rozdielny (asi 1 až 10  $\Omega$ ). Voľbou typu výbojky a kapacity kondenzátora dajú sa doceliť časy záblesku 1  $\mu$ s až 10 ms. Čas trvania záblesku sa počíta od zapálenia blesku po dobu, kedy klesne svetelný výkon na polovicu. Na obr. 20 je znázornený priebeh prúdu tečúceho výbojkou, ktorý vyvolá približne rovnaký priebeh svetelného toku. Pri meraní bola použitá výbojka 81-60 napájaná z kondenzátora o kapacite 800  $\mu$ F nabitého na napätie 500 V. Na predĺženie záblesku možno zapojiť do prívodu k výbojke indukčnosť 0,1 až 1 mH. Použitím cievky sa súčasne zmenší prúdová špička a tým aj zaťaženie výbojky, čím sa predĺži jej doba života, ktorá je všeobecne viac tisíc výbojov a závisí od prevádzkových podmienok. Pri bežných bleskoch sa môže podľa výrobcu počítať s najmenej 5 000 výbojmi. Koniec doby života je signalizovaný začíernením banky najmä v okolí katódy v dôsledku rozprašovania materiálu katódy.



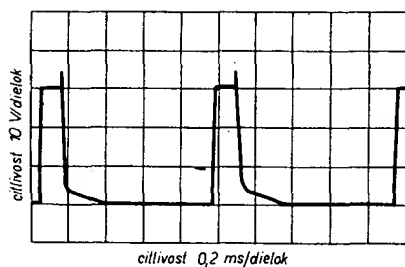
Obr. 20. Priebeh prúdu tečúceho výbojkou pri zapálení blesku

### Nastavenie blesku

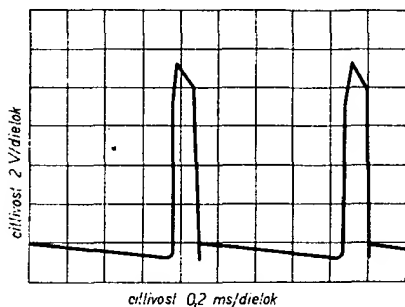
Nastavenie blesku sa prevádza tak, že sa každá časť nastavuje zvlášť. Je výhodné najprv nastaviť sieťovú časť. Ak je zapojenie správne, pracuje obvod na prvé zapnutie. Spínač  $S_2$  sa prepne do polohy 1/2. Odpor  $R_{22}$  sa vyberie taký, aby výstupné napätie merané na výbojkových kondenzátoroch bolo 360 V. Potom sa prepne spínač  $S_2$  do polohy 1/1 a odpor  $R_{20}$  sa vyberie tak, aby výstupné napätie bolo 495 až 500 V. Pri nastavovaní sieťovej časti treba napájať blesk z oddeľovacieho transformátora, keďže blesk je tzv. univerzálne zariadenie, podobne ako niektoré rozhlasové alebo televízne prijímače, čiže je galvanicky spojený so sieťou. Treba pamätať aj na to, že napätie na výbojkovom kondenzátore (500 V) je životu nebezpečné, a preto do stavby blesku sa môže pustiť len odborník. Náležitú pozornosť treba venovať aj prívodu k reflektoru. V popisovanom

Tab. 4. Účinnosť rôznych zdrojov svetla

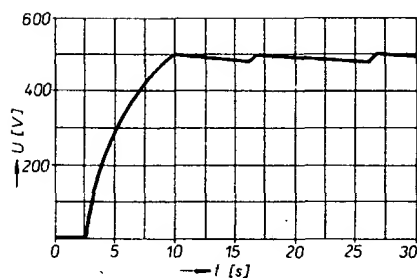
Zdroj svetla	Merný výkon [lm/W]
Žiarovka 100 W číra	14
Žiarovka 500 W číra	17
Žiarovka Teslafor B 500 W	22
Halogénová žiarovka 1 000 W	31
Výbojkový blesk	35
Žiarivka 40 W biela	65



Obr. 21. Priebeh napätia na kolektore tranzistora  $T_1$ . Pri meraní bol na výstup blesku (ku kondenzátorom  $C_6$  a  $C_7$ ) zapojený zaťažovací odpor  $16\text{ k}\Omega/25\text{ W}$



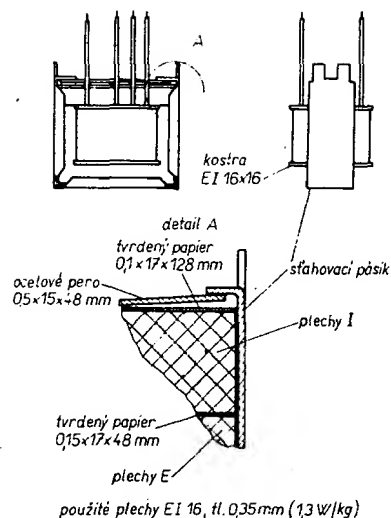
Obr. 22. Priebeh napätia na báze tranzistora  $T_1$  (záťaž ako pri obr. 21)



Obr. 23. Priebeh napätia na výbojkových kondenzátoroch po zapnutí blesku pri batériovej prevádzke

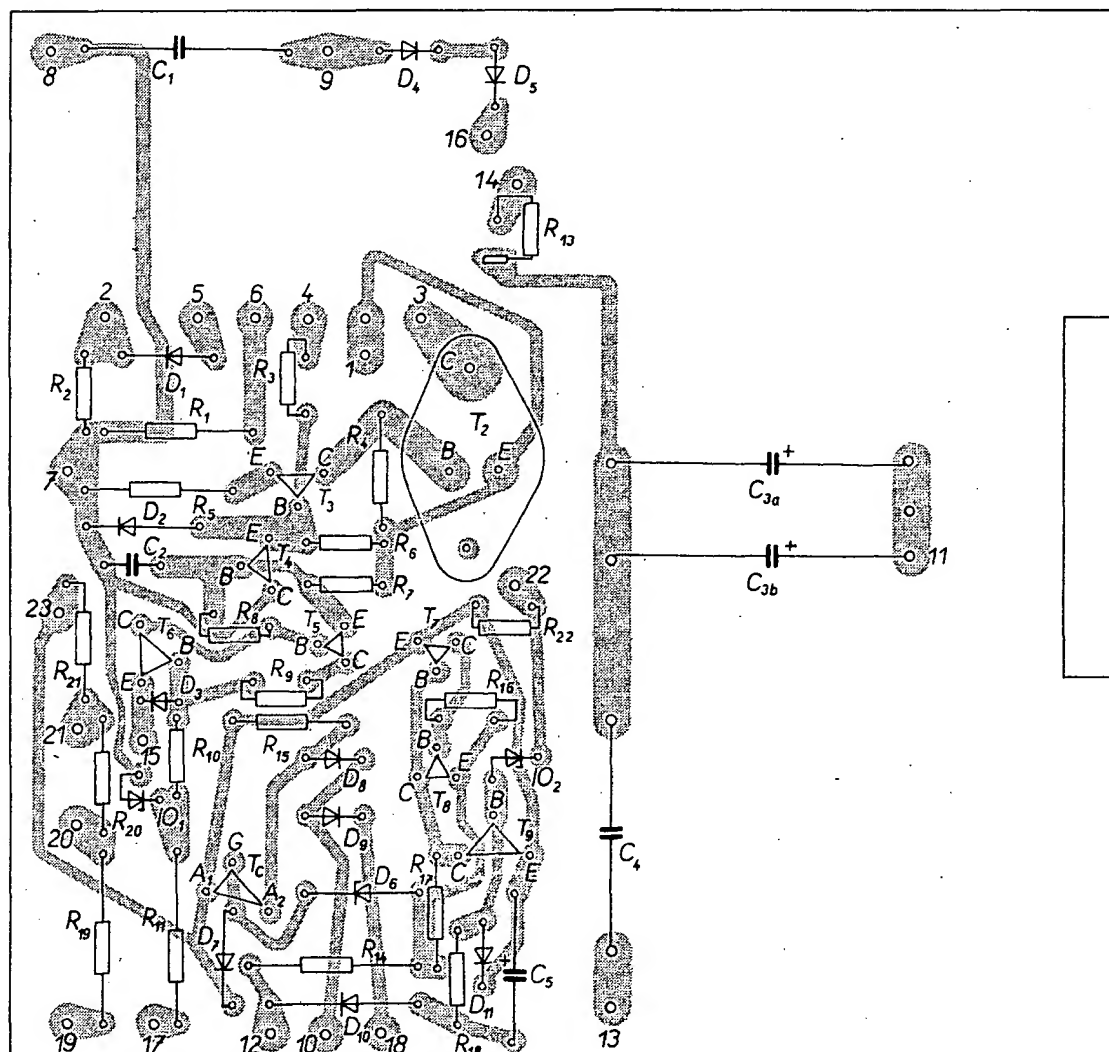
blesku je reflektor spojený so zdrojovou časťou dvojpramennou šnúrou typ TP 06/53 E 578/67, ktorá má zosilnenú izoláciu a pritom je dostatočne ohybná a má i pekný vzhľad.

Po oživení sieťovej časti odpojí sa blesk od siete a zapne spínačom  $S_1$ . Ak je zapojenie správne (hlavne správne zapojené vývody na transformátore), začne oscilátor kmitať. Keď oscilátor nekmíta, treba skontrolovať vývody vinutia  $L_1$  a  $L_2$ . Odpor  $R_5$  sa vyberie tak, aby priebeh napätia na kolektore mal tvar podľa obr. 21. Priebeh napätia na báze  $T_1$  je na obr. 22. Ak nemáme k dispozícii osciloskop, nastavíme odber na 5 až 6 A. Odpor  $R_{12}$  vyberieme tak, aby výstupné napätie pri



Obr. 24. Zostava transformátora  $Tr_1$

batériovej prevádzke bolo také ako pri sieťovej (500/360 V). Ak nie je možné odporom  $R_{12}$  nastaviť správne napätie, treba upraviť veľkosť odporu  $R_{21}$ . Potom však treba pri sieťovej prevádzke dosaviť odporom  $R_{22}$  správne výstupné napätie. Priebeh napätia na výbojkových kondenzátoroch po zapnutí blesku pri batériovej prevádzke je na obr. 23.



Obr. 25. Rozloženie súčiastok na doske s plošnými spojmi J 525 (odpor  $R_{12}$  nie je na obrázku zakreslený)

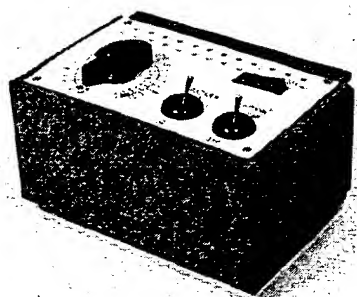
## Použité súčiastky

$I_{O1} = I_{O2} = \text{MAA550}$

1 nF, TC 195  
10 nF, TK 751  
2 x 5  $\mu$ F, TE 993  
0.5  $\mu$ F, TC 483  
5  $\mu$ F, TE 986  
400  $\mu$ F/500 V  
400  $\mu$ F/500 V  
500  $\mu$ F, TE 982  
akumulátor olovený 6 V/4,5 Ah, výrobok  
NDR  
merací prístroj M40

$P_{T1}$  mžikový spínač B 611  
 $S_1$  páčkový spínač 4162 - 18  
 $S_2$  prepínač WK 533 00  
1 ks prístrojová prívodka 5911 - 21/A  
1 ks prístrojová prívodka 5911 - 21/B  
1 ks zástrčka 5813 - 21

Ostatné súčiastky sú uvedené ve schématu. Zostava transformátora  $T_{T1}$  je na obr. 24, rozloženie súčiastok na doske s plošnými spojmi na obr. 25.



# Jednoduchý časový spínač pre zväčšovací prístroj

Ing. Igor Viňaz

## Technický popis

**Doba zopnutia:** plynule nastaviteľná;  
v rozsahu A 2,5 až 25 s,  
v rozsahu B 20 až 200 s.

**Doba obnovenia  
kludového stavu:** v rozsahu A max. 4 s,  
v rozsahu B max. 40 s.

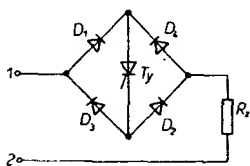
**Maximálny spi-  
navý príkon:** 220 VA.  
**Osadenie:** tranzistory 2 x KC508  
diódy 2 x KA501  
1 x 2NZ70  
4 x KY724F  
tyristor 1 x KT505

## Popis zapojenia

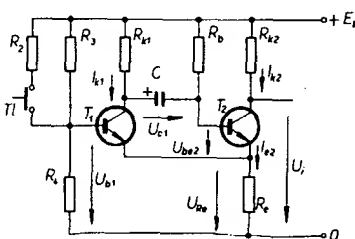
V časovom spínači je použitý ako spínač prvok tyristor. Tyristor je ovládaný napäťovými impulzmi z monostabilného klopného obvodu. Doba zapnutia sa nastavuje zmenou väzobného obvodu v monostabilnom klopnom obvode. Spínač možno vypnúť a prepnúť na trvale zopnutý stav.

Použitie tyristora ako spínacieho prvku na striedavý prúd má nevýhodu v tom, že pôsobí súčasne ako jednocestný usmerňovač. To má za následok zmenšenie efektívnej hodnoty pretekajúceho prúdu a tým aj zmenšenie výkonu na polovicu. Takýto spínač sa nedá použiť priamo na spínanie žiarovky, lebo jas žiarovky veľmi poklesne.

Túto nevýhodu tyristora odstránime tým, že tyristor budeme pre každú polvlnu „otáčať“. Vhodný spôsob komutácie je znázornený na obr. 1. Tyristor je pripojený v priečnej vetve mostíka tvoreného diódami. Ak je tyristor rozopnutý, mostíkom netečie prúd. Pri zopnutom tyristore tečie (pri kladnej



Obr. 1. Princíp komutácie tyristora



Obr. 2. Zapojenie klopného obvodu

polvlnu na zvierke 1) prúd cez  $D_1$ ,  $T_1$ ,  $D_2$ ,  $R_2$  na zvierku 2. Pri opačnej polarite napätia tečie prúd zo zvierky 2 cez  $R_2$ ,  $D_4$ ,  $T_1$ ,  $D_3$  na zvierku 1. Diódy pôsobia ako spínacie prvky, ktoré „otáčajú“ tyristor tak, že je vždy zapojený v prípustnom smere. Nevýhodou tohoto zapojenia je, že potrebujeme štyri diódy, ktoré musia zniesť rovnaký prúd ako tyristor a musia mať rovnako veľké záverné napätie. Zapojenie je však veľmi jednoduché, dá sa realizovať do malého priestoru a na spínanie tyristora potrebujeme podstatne menší výkon ako na spínanie relé.

## Klopný obvod

Zapojenie klopného obvodu je na obr. 2. Je to nesymetrický klopný obvod s emitorovou väzbou. V kludovom stave je tranzistor  $T_1$  zatvorený. Kondenzátor  $C$  sa nabíja na napätie  $U_{C1} = E_k - I_{k2} R_c - U_{be2}$ . V kludovom stave musí platiť, že  $U_{b1} < U_{be}$ , pri stlačení tlačítka  $Tl$  vzrastie napätie na báze tranzistora  $T_1$ ;  $T_1$  sa otvorí a napätie na jeho kolektore sa zmenší. Nastane lavínovité preklápanie obvodu. Tranzistor  $T_2$  je teraz zatvorený záporným napätím na kondenzátore  $C$ . Kondenzátor sa začne vybíjať v obvode:  $C$ ,  $R_6$ ,  $R_{k1}$ , a prebija sa na napätie  $U_{C2} = I_{k1} R_{k1}$ . Toto napätie má opačnú polaritu ako malo pôvodné napätie na kondenzátore. Keď sa napätie na kondenzátore zmenší na  $U_{C3} = U_{be1} - U_{be2}$ , tranzistor  $T_2$  sa otvorí, na odpore  $R_c$  vzrastie napätie a nastane lavínovité preklápanie obvodu do kludového stavu. Kondenzátor  $C$  sa znovu nabíja v obvode:  $R_{k1}$ ,  $C$ , báza  $T_2$ , emitor  $T_2$ ,  $R_c$ . Priebeh napätia na kondenzátore sú znázornené na obr. 3.

## Výpočet klopného obvodu

Ak si zvolíme amplitúdu napätia impulzu  $U_i$  a prúd  $I_{k2}$ , ktorý musí byť väčší ako je vstupný prúd tyristora, sú vzťahy pre výpočet klopného obvodu nasledovné:

$$R_{k2} = \frac{U_i}{I_{k2}} \quad R_{k1} \text{ volíme: } R_{k1} = (1 \text{ až } 3) R_{k2},$$

$$R_c = \frac{E_k - U_i}{I_{k2}}$$

Vzťahy pre výpočet odporov  $R_3$  a  $R_4$  sú odvodené z podmienky zatvorenia tranzistora  $T_1$  v kludovom stave:

$$R_4 = \frac{\beta R_c E_k (R_{k1} - R_{k2})}{E_k \cdot R_{k2} + \beta R_{k1} (R_{k2} + R_c) I_{CB0 \max}}$$

$$R_3 = \frac{\beta R_c R_{k1}}{R_4 + \beta R_c}$$

Odpor  $R_6$  volíme z podmienky  $R_6 \leq \beta R_{k2}$ , aby bol tranzistor  $T_2$  v kludovom stave nasýtený.

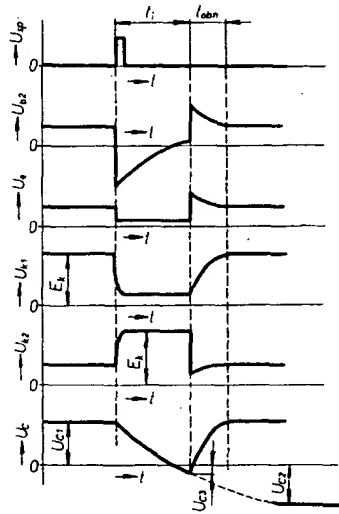
Kondenzátor  $C$  vypočítame na základe požadovanej doby zopnutia a odporu  $R_6$ . Pre uvedený klopný obvod platí vzťah:

$$C = \frac{t_{\max}}{R_6 \ln \left[ \frac{R_{k2} (R_c + R_{k1})}{R_{k1} (R_c + R_{k2})} + 1 \right]} \quad [F; s; \Omega]$$

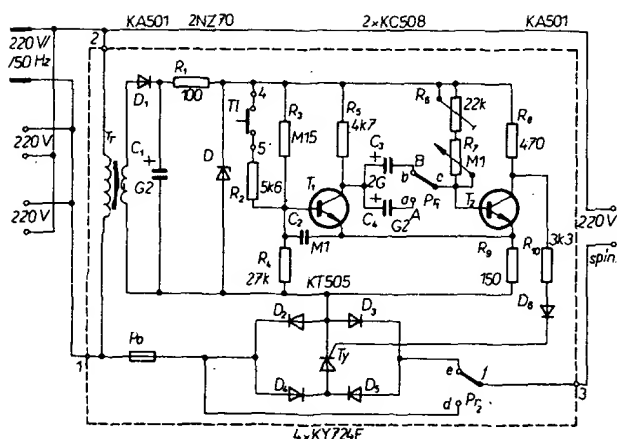
Doba obnovenia kludového stavu je daná nabíjacou konštantou kondenzátora  $C$ .

$$t_{\text{obn}} = 3 \tau_{\text{nab}} = 3 C (R_{k1} + R_c) \quad [s; F; \Omega]$$

Tranzistor  $T_2$  musí mať malý zvyškový prúd  $I_{CB0}$ , pretože by sa tento prúd podieľal na vybíjaní kondenzátora  $C$  pri zatvorení tranzistora  $T_2$  a obmedzila by sa tým maximálna doba zopnutia. Na obr. 4 je celkové zapojenie spínača. Na napájanie klopného



Obr. 3. Priebeh napätia na klopnom obvode



Obr. 4. Zapojenie časového spínača (v realizovaném spínači je  $D_1$  KY724 a nie KA501)

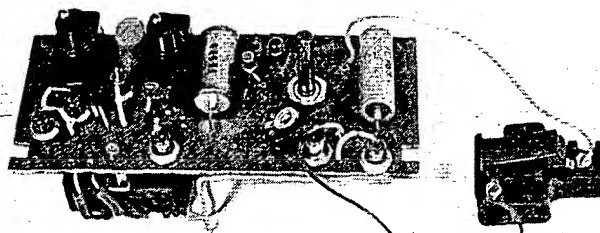
obvodu je použitý sieťový transformátor  $Tr$ . Transformované napätie sa usmerňuje diódou  $D_1$ , kondenzátor  $C_1$  je vyhladzovací. Na stabilizáciu napájacieho napätia pre klopný obvod je použitý stabilizátor so Zenerovou diódou. Záporný pól usmerneneného napätia je pripojený na katódu tyristora. Minimálna doba zopnutia v každom rozsahu sa nastavuje trimrom  $R_6$ , maximálna doba zopnutia je daná odporom  $R_6 + R_7$ . Odpor  $R_6$  musí byť dostatočne veľký, aby nedošlo k prekročeniu maximálneho prúdu báze pri vyradenom odpore  $R_7$ . Kondenzátor  $C_2$  zabráňuje samovoľnému náhodnému preklopeniu klopného obvodu pri poruchách v sieti (ako napr. pri zapínaní elektrických spotrebičov). Na kolektor tranzistora  $T_2$  je cez odpor  $R_{10}$  a diódu  $D_6$  pripojená riadiaca elektróda tyristora. Odporom  $R_{10}$  sa nastavuje prúd riadiacej elektródy tyristora. V kľudovom stave je na kolektore  $T_2$  malé napätie, dióda  $D_6$  je zatvorená. Vstupný prúd riadiacej elektródy tyristora je malý. Po preklopení klopného obvodu do pracovného stavu sa zväčší napätie na kolektore  $T_2$ , dióda  $D_6$  sa otvorí a prúd riadiacej elektródy tyristora je určený odporom  $R_{10}$ .

Prepínačom  $Pr_2$  vyradujeme spínací obvod a záťaž je trvale pripojená na sieť.

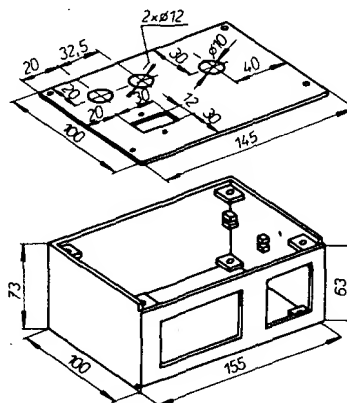
Pri používaní spínača môžeme v ľubovoľnom čase prerušiť dobu zopnutia. Urobíme to tak, že prepne prepínač rozsahov  $Pr_1$ . Dôjde tým k rozpojeniu obvodu spätnej väzby v klopnom obvode. Po opätovnom spojení obvodu spätnej väzby sa obvod ustáli v kľudovom stave.

#### Mechanická konštrukcia

Všetky použité súčiastky, vrátane transformátora, sú umiestnené na doske s plošnými spojmi (obr. 5 a 6). Poistka  $Pr_1$  je umiestnená na doske s plošnými spojmi pomocou držiaka z medeneho drôtu. Umiestnenie súčiastok na doske je vidieť z obrázkov. Použitý tlačítko je tlačítko na schodištvé osvetlenie. Krabíčka je zlepená epoxidom z preglejky hrubej 5 mm. Celkový pohľad na krabíčku je na obr. 7. V rohoch krabíčky sú vlepene hranolky  $10 \times 10 \times 5$  mm z preglejky. Do hranoliek sú zalepené matky M3 pomocou epoxidu zmiešaného s drevenými pilinami. Hranolky slúžia na pripavenie horného a dolného víka. Doska s plošnými spojmi nie je spojená na pevno s krabíčkou. Je zasunutá do drážok vytvorených z hranoliek  $5 \times 5 \times 5$  mm

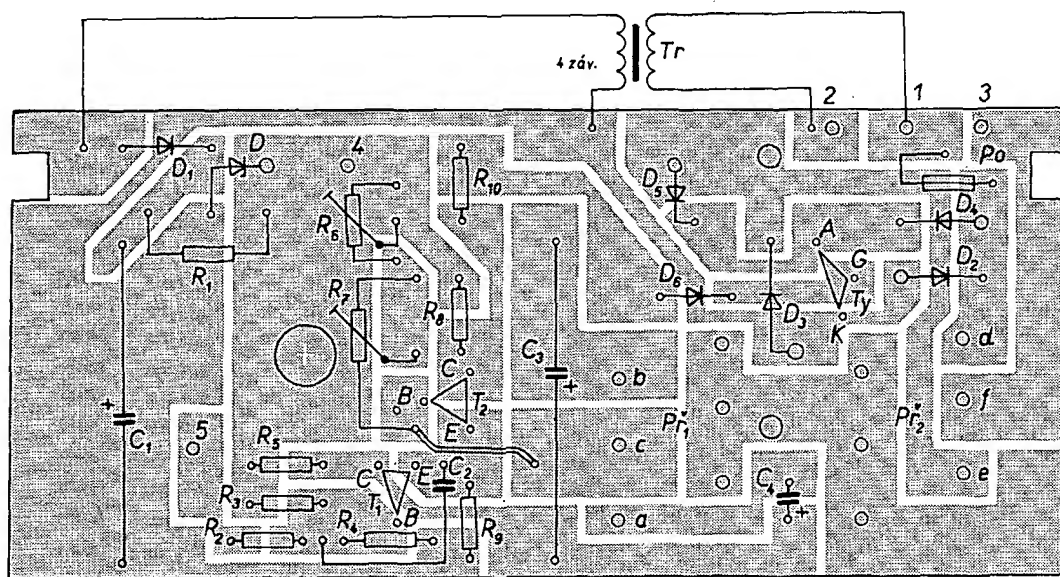


Obr. 6. Pohľad na dosku so súčiastkami



Obr. 7. Zostava krabíčky

z preglejky a zalepených do krabíčky. Na doske s plošnými spojmi sú vyrezané zárezy pre zasunutie dosky do týchto drážok. Tlačítko  $T_1$  je pripojené na hornom víku. Po priskrutkovaní horného víka sa zaskrutkujú upevňovacie matky na prepínače  $Pr_1$  a  $Pr_2$ . Tým sa súčasne upevní aj doska s plošnými spojmi ku krabíčke. Na zadnej strane krabíčky sú umiestnené zásuvky, jedna na spínaný výstup a dve zásuvky nespínané na pripojenie dvoch žiaroviek. Toto riešenie nám veľmi zjednoduší elektrický rozvod vo fotokomore najmä v tom prípade, že ako fotokomoru používame miestnosť len provizorne.



Obr. 5. Doska s plošnými spojmi J 526

Presnosť a stabilita spínača je pre bežné potreby vyhovujúca.

Presnosť a stabilita spínača je pre bežné potreby vyhovujúca.

$R_4$	27 k $\Omega$ , TR 112
$R_5$	4,7 k $\Omega$ , TR 112
$R_6$	22 k $\Omega$ , TP 040
$R_7$	0,1 M $\Omega$ , lineární TP 280
$R_8$	470 $\Omega$ , TR 112
$R_9$	150 $\Omega$ , TR 112
$R_{10}$	3,3 k $\Omega$ , TR 112

$D_2$ , a $\dot{z}$ $D_3$	KY724F
$D$	2NZ70
$T_y$	KT505

Tranzistory  
T<sub>1</sub>, T<sub>2</sub> KC508

*Odpor*

$R_1$  100  $\Omega$ , TR 112  
 $R_2$  5,6 k $\Omega$ , TR 112  
 $R_3$  0,15 M $\Omega$ , TR 112

### Kondenzatory

$C_1$	200 $\mu$ F, TC 963
$C_2$	200 $\mu$ F, TE 002
$C_3$	2 000 $\mu$ F, TE 981
$C_4$	0,1 $\mu$ F, TC 180

## Diody

D<sub>1</sub>, D<sub>2</sub> KA501

Všetky použité polovodičové súčiastky sú druhej akosti.

### Transformátor

primárne vinytie 220 V

sekundárne vinutie 6.5 V/200 mA. Jadro M12.

# Číslíková technika

# Rozšíření kmitočtového rozsahu čítačů

*U univerzálních čítačů a měřičů kmitočtu bývá hlavním problémem zvětšit kmitočtový rozsah vstupního zesilovače a také prvního čítače spolu s taktovacím hradlem.*

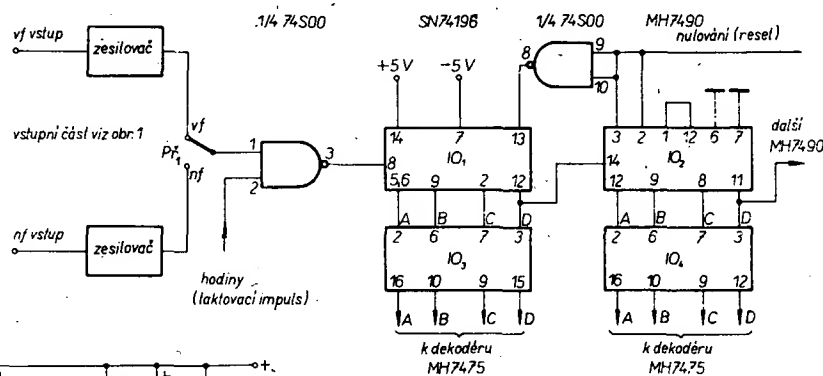
Vstupní zesilovače a také prvního etape spojují s tlakovacím mřížkem. Použití běžných tranzistorů, byly popsány v časopise UKW-Berichte a s tranzistory čs. výroby vyzkoušeny a používány v několika měřicích kmitočtu.

Vstupní zesilovač pro nízkofrekvenční kmitočet v rozsahu 1 Hz až 1,5 MHz je osazen tranzistorem KC508. Pro vysokofrekvenční kmitočty v rozsahu od 1 MHz do 120 MHz je zesilovač osazen tranzistorem KF525 (1 ks) a KSY71 (4 ks). Schéma těchto zesilovačů je na obr. 1.

Výstupy zesilovačů jsou zapojeny na přepínač a odtud je zesílený a tvarovaný signál veden do taktovacího hradla. Spojení mezi těmito zesilovači, přepínačem a hradlem by měly být co nejkratší. Nejvhodnější je umístit i toto hradlo a přepínač na stejnou destičku ke vstupním zesilovačům.

Problém zvětšení rozsahu čítačů je dán pouze dostupnou součástkovou základnou.

Budeme-li počítat s použitím zahraničních IO, jejichž ekvivalenty by měly být brzy i na



Obr. 2. Použití děličky SN74196 pro rozšíření kmitočtového rozsahu čítače do 50 až 80 MHz

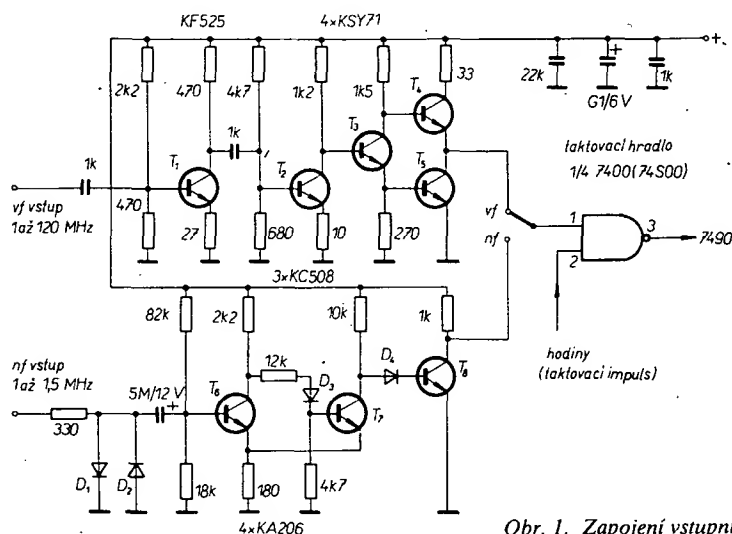
Další možností, jak zvýšit mezní kmitočet čítače, je použít děličku 2:1 typu SN74S112, jejíž ekvivalent bude též zařazen do výrobního programu n. p. TESLA Rožnov.

SN74S112 je dvojitá dělička 2:1 (může tedy dělit až 4:1), využívající ke zvýšení rychlosti antisaturačních Schottkyho diod.

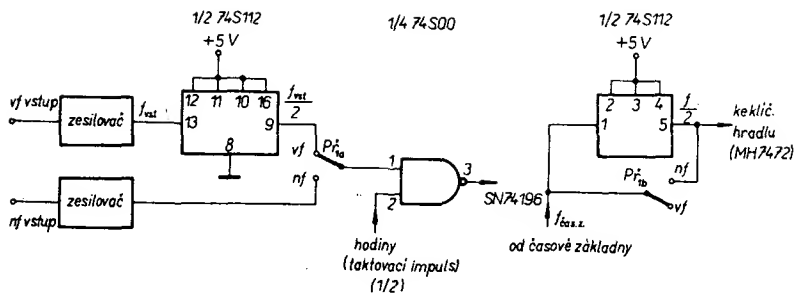
Na obr. 3 je zapojení vstupních zesilovačů z obr. 1, doplněných děličkou 2:1; signál je zaveden k čítání do čítače SN74196.

Pro praktické čtení na displeji čítače je ovšem nutno rovněž časy, přiváděné z časové základny, dělit dvěma, jak je zřejmé i z obr. 3.

Při využití obou polovin děličky SN74S112 lze s čítačem do 25 MHz zpraco-



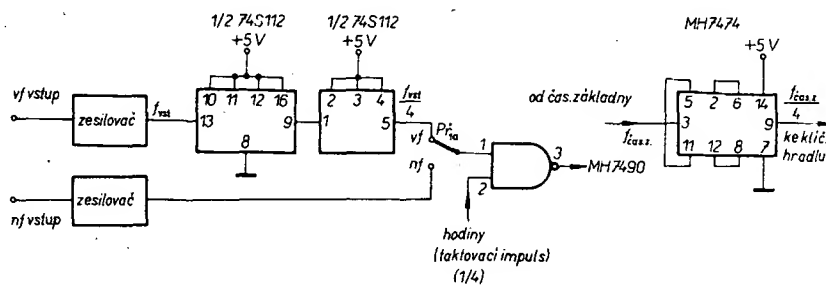
Obr. 1. Zapojení vstupního zesilovače



Obr. 3. Celkové zapojení pro zvětšení kmitočtového rozsahu

vat kmitočet asi až do 100 MHz. Pro toto využití musíme výstup časové základny za pomoci IO MH7474, zapojeného jako dělič 4:1, dělit na čtvrtinu; v tom případě je na displeji čítače skutečný kmitočet (viz též obr. 4), ovšem za cenu čtyřnásobného prodloužení čítací doby.

Závěrem je nutno si pouze přát, aby rychlé děličky 74S112 byly ve výrobě n. p. TESLA Rožnov co nejdříve a bylo možno rozšířit kmitočtové rozsahy čítačů jak amatérských, tak továrních.



Obr. 4. Zapojení pro zvětšení rozsahu čítače do 100 MHz

## Literatura

- [1] Jíreš, J.: Čtyřmístný měřič kmitočtu do 25 MHz. AR č. 2/73.
- [2] Bauer, H.: 50-MHz Universalzähler. Funktechnik č. 7/1972.
- [3] 50-MHz Zähler DL8TM. UKW-Berichte.

# Různě aplikovaná elektronika

## Palubní telefon

Silvin Frýbert

Protože nejsou všechna svazarmovská cvičná letadla vybavena palubním telefonem, zhotovil jsem (pro místní Aeroklub Svazarmu) dorozumivací zařízení pro spojení mezi žákem a učitelem při zkušebních letech. Bez tohoto palubního telefonu není možno se v letadle dorozumět pro hluk motoru.

### Technické údaje

Rozměry: 55×110×170 mm.  
Hmotnost: 0,9 kg včetně baterií.  
Napájecí napětí: 9 V (14 až 200 mA), dvě ploché baterie.  
Výstupní výkon: 0,5 W.  
Osazení: 1×MAA245, 1×GC521, 1×GC511.

### Popis zařízení

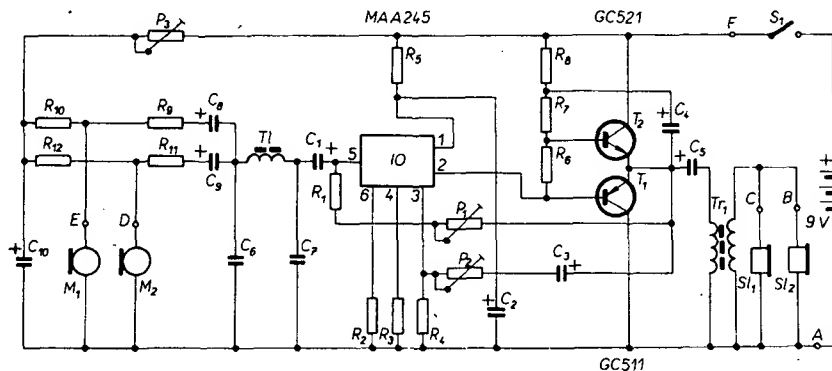
Palubní telefon je zesilovač, jehož vstup a výstup je přizpůsoben pro připojení uhlíkových (hrdelních) mikrofonů a pro připojení sluchátek, vestavěných v ochranných kuklách (obr. 1). Signál z mikrofonu se vede přes dolní propust, která zadržuje kmitočty vyšší než 3 kHz, a dále přes kondenzátor  $C_1$  o kapacitě 2  $\mu$ F, který omezuje přenos kmitočtů nižších než 350 Hz, do předzesilovače a buďče osazeného integrovaným obvodem.

TESLA MAA245. Koncový stupeň je tvořen dvojicí komplementárních tranzistorů GC511 a GC521. Zesilovač je stejnosměrně vázán. Pracovní bod je nastaven pomocí stejnosměrné záporné zpětné vazby z výstupu zesilovače do báze prvního systému inte-

grovaného obvodu. Dále je zesilovač vybaven dvěma zpětnými vazbami pro střídavý signál. Zápornou zpětnou vazbou z výstupu zesilovače do emitoru druhého systému integrovaného obvodu se ovlivňuje kmitočtová charakteristika zesilovače. Na výstupu zesilovače je transformátor pro impedanční přizpůsobení sluchátek. Obě kukly jsou propojeny paralelně.

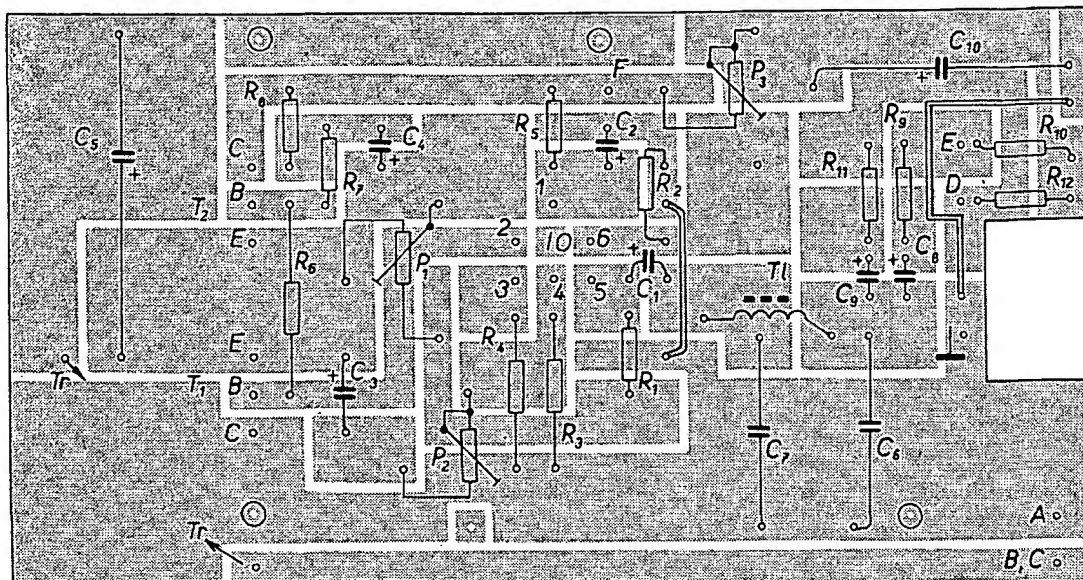
Zařízení je napájeno napětím 9 V, a to ze dvou plochých baterií. Je možno samozřejmě použít zdroj napětí, který je v letadle. Samostatný zdroj je použit proto, aby zařízení bylo lehce přenosné a dalo se použít i pro jiné účely (např. motocykl, automobil apod.).

Zesilovač s bateriemi je vestavěn do plechové skřínky, kterou je možno otevírat z obou stran (jak ze strany součástek, tak ze strany zdroje). Pro jednoduché upevnění je skříňka opatřena dvěma otvory a drážkou. Je-li třeba telefon vynést z letadla, stačí povolit dva šrouby a posunutím je možno celé zařízení vyjmout. Kukly včetně mikrofo-

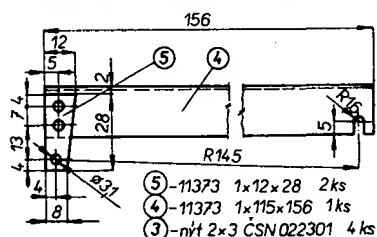


Obr. 1. Zapojení palubního telefonu

Obr. 2. Deska  
s plošnými spoji  
J527



Obr. 3. Dolní víko  
skříňky



#### Kondenzátory

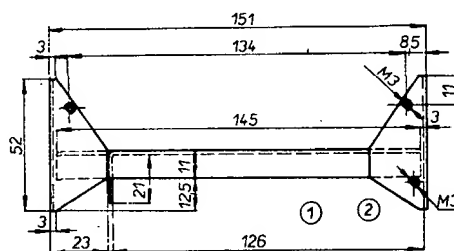
$C_1$	2 $\mu$ F/35 V, TE 005
$C_2$	200 $\mu$ F/6 V, TE 005
$C_3$	50 $\mu$ F/6 V, TE 005
$C_4$	100 $\mu$ F/10 V, TE 005
$C_5$	500 $\mu$ F/15 V, TE 005
$C_6$	68 nF/150 V, TE 005
$C_7$	20 $\mu$ F/15 V, TE 005
$C_8$	1 000 $\mu$ F/15 V, TE 005

nů se připojují pomocí starších mikrofonních konektorů, připájených zevnitř ke střednímu dílu skříňky. Tyto konektory jsou použity záměrně, protože se dají zajistit proti vypadnutí přesuvnými maticemi.

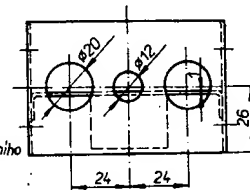
Palubní telefon se uvádí do chodu páčkovým spínačem, který je umístěn mezi konektorovými zásuvkami. Součástky zesilovače jsou rozmístěny na desce s plošnými spoji podle obr. 2; deska je upevněna ve skřínce čtyřmi šrouby.

Zesilovač nemá regulátor hlasitosti, potřebné zesílení se nastaví trvale odporovým trimrem  $P_1$ . Trimrem  $P_2$  nastavujeme největší srozumitelnost, potenciometrem  $P_3$  napětí pro mikrofony.

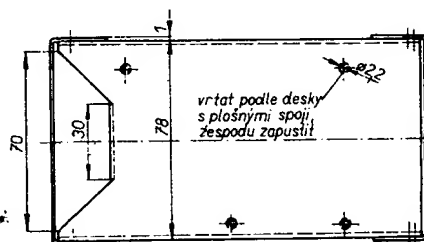
Výkresy mechanických dílů jsou na obr. 3 až 6, umístění lišty s kontakty, do nichž se



Obr. 5. Střední díl skříňky



díly sbodovat nebo pájet!



zasunou vývody plochých baterií, je patrné z obr. 7.

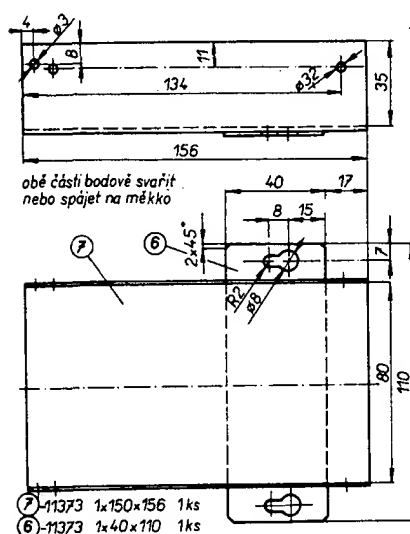
#### Použité součástky

##### Odporů (TR 112 A)

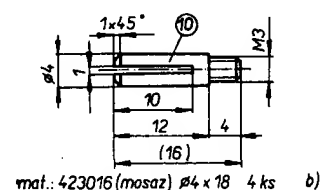
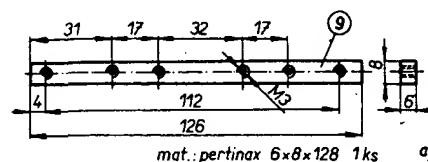
$R_1$	33 k $\Omega$
$R_2$	470 $\Omega$
$R_3$	180 $\Omega$
$R_4$	22 $\Omega$
$R_5$	4,7 k $\Omega$
$R_6$	10 $\Omega$
$R_7$	470 $\Omega$
$R_8$	180 $\Omega$
$R_9$	2,7 k $\Omega$
$R_{10}$	300 $\Omega$
$R_{11}$	2,7 k $\Omega$
$R_{12}$	300 $\Omega$

##### Trimry

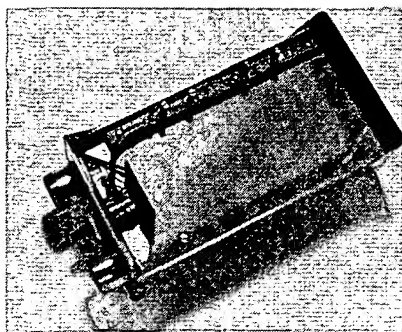
$P_1$ TP 041	1 M $\Omega$ /0,2 W
$P_2$ TP 041	6,8 k $\Omega$ /0,2 W
$P_3$ TP 041	33 k $\Omega$ /0,2 W



Obr. 4. Horní víko skříňky



Obr. 6. Lišta (a) a kontakt (b)



Obr. 7. Montáž a umiestnenie lišty s kontaktami

#### Ostatní součástky

Tl	670 z drátu CuL o Ø 0,19 na feritu E 4,5 x 4,5 (100 mH)
Tr	130 z drátu CuL o Ø 0,4 na feritu E 5,5 x 5,5 1 500 z drátu CuL o Ø 0,1 na feritu E 5,5 x 5,5
IO	MAA245
T <sub>1</sub>	GC511
T <sub>2</sub>	GC521

Mikrofonní konektor staršího typu s přesuvnou maticí (2 kusy)  
Páčkový spínač jednopólový

#### Použité mechanické díly

Označení	Materiál	Rozměry	Počet kusů
1	plech 11 373	1x96x145	1
2		1x52x122	2
3	Nýt	2x3 ČSN 02 2301	4
4		1x115x156	1
5		1x12x28	2
6		1x40x110	1
7		1x150x156	1
8	Deska s plošnými spoji J527		1
9	Pertinax	6x8x128	1
10.	42 3016 (mosaz)	Ø 4x18	4
11.	Novodur	Ø 5/Ø 2,5x3	4
12	Letovací očko	Ø 3	4
13	Šroub	M3x6 ČSN 02 1133	2
14	Šroub	M3x4 ČSN 02 1133	6
15	Šroub	M2x10 ČSN 02 1151	4
16	Podložka	3,2 ČSN 02 1701	6
17	Matic	M2 ČSN 02 1401	4
18	Podložka	2,2 ČSN 02 1701	4

#### Literatura

- [1] Syrovátko, M.: Nízkofrekvenční tranzistorová zapojení. SNTL: Praha 1972.
- [2] Svoboda, J.: Stavebnice tranzistorových zesilovačů a přijímačů. SNTL: Praha 1973.

znamená, že spoj od tlačidla  $Tl_1$  vedie k svorce 1, spoj od tlačidla  $Tl_2$  k svorce 2 a spoj od  $Tl_3$  k svorce 3 (obr. 1). Pri stlačení tlačidla  $Tl_1$  nabudí sa relé A. Tým sa zopne kontakt  $a_1$  a kontakt  $a_2$  pripraví stav pre zopnutie relé B. Stláčaním tlačidla  $Tl_2$  pritiahne relé B, ktoré cez svoj pridržiaci kontakt  $b_1$  zostane nabudené. Súčasne zopnutím kontaktu  $b_2$  pripraví stav pre relé C, kontakt  $b_3$  rozpojí obvod relé D. Pri stlačení tlačidla ďalšieho nastaveného čísla, tj.  $Tl_3$ , sa nabudí cez zopnutý kontakt  $b_2$  relé C, ktoré zopne svoj pridržiaci kontakt  $c_1$ . Kontakt  $c_2$  zapojí obvod elektromagnetu, ktorý uvoľní západku dverí. Súčasne sa rozsvieti kontrolná žiarovka, ktorá signalizuje otvorenie dverí. Stláčaním vybavovacieho tlačidla  $Tl_{11}$  pritiahne relé E, ktoré svojím kontaktom  $e_1$  rozpojí obvod napájania relé A, B, C, D, čím sa tieto vrátia do pôvodnej polohy. Paralelne s kontaktom  $c_2$  je zapojený kontakt tlačidla  $Tl_{12}$ , ktorý umožňuje otvorenie dverí z vnútornej časti bytu. Pri stlačení iného čísla, ako je nastavený kód, činnosť zariadenia je následovná:

predpokladajme stlačenie čísel 3, 4, 5 až 9. Stláčaním tlačidla  $Tl_3$  nemôže dôjsť k nabudeniu relé C, nakoľko nie je zopnutý kontakt  $b_2$ . Tlačidlom  $Tl_4$  nabudíme blokovač relé D, ktoré zopne pridržiaci kontakt  $d_1$  a kontaktom  $d_2$  rozpojí obvod napájania relé A, B až do zrušenia stavu stláčaním vybavovacieho tlačidla  $Tl_{11}$ . Stláčaním tlačidiel s číslami 5 až 9 je obvod blokovaný tak, ako v predchádzajúcom prípade.

Z vyššie uvedených dôvodov je preto nutné, aby sa stláčali čísla kódu v poradí tak, ako sú napojené na svorky 1, 2, 3. V opačnom prípade nemôže dôjsť k otvoreniu dverí.

Množstvo kombinácií, ktoré možno v tomto zariadení nastaviť je dané vzťahom:

$$A^3_{10} = \frac{10!}{(10-3)!} = 10 \cdot 9 \cdot 8 = 720,$$

Mnohokrát sa stáva, že vchodové dvere, ktoré sú opatrené z vonkajšej strany jednoduchou guľou, sa nám z rozličných príčin zatvoria bez toho, aby sme mali pri sebe kľúč, prípadne kľúč si pri odchode nezoberieme a dvere zatvoríme. Potom nám zostávajú len dve možnosti, čakať na člena rodiny, ktorý vlastní druhý kľúč, alebo vyložiť (vypáčiť) zámok.

Všetky tieto nevýhody odstraňuje elektrický, kybernetický a automatický zámok na kód, ktorého návod na zhotovenie popisujem. Po namontovaní zámku odpadá nosenie kľúča, takže máme len jeden „problém“ – zapamätať si číslo nastaveného kódu.

#### Popis zapojenia

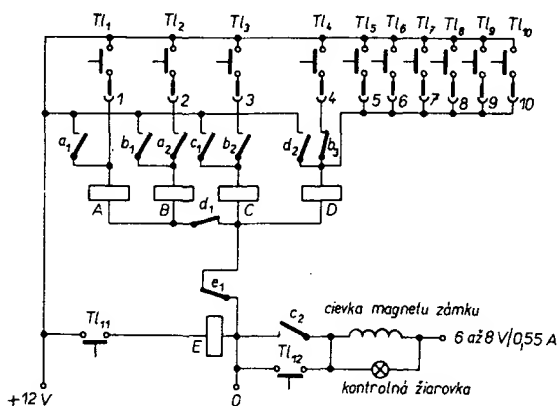
Pri konečnom rozhodnutí o druhu použitých súčiastok a zapojenia dal som prednosť reléovým obvodom pred polovodičovými ob-

vodmi pre jednoduchú konštrukciu, možnosť opakovanosti i menej skúseným amatérom a finančne výhodnejšiu stavbu.

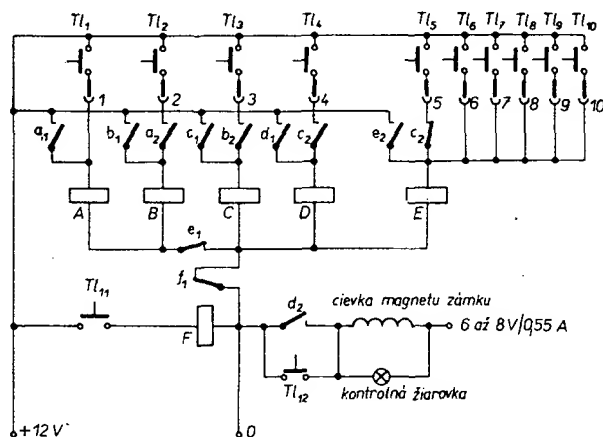
Schéma zapojenia je na obr. 1. Predpokladajme, že máme nastavený kód 1, 2, 3. To

$$A^4_{10} = \frac{10!}{(10-4)!} = 10 \cdot 9 \cdot 8 \cdot 7 = 5040,$$

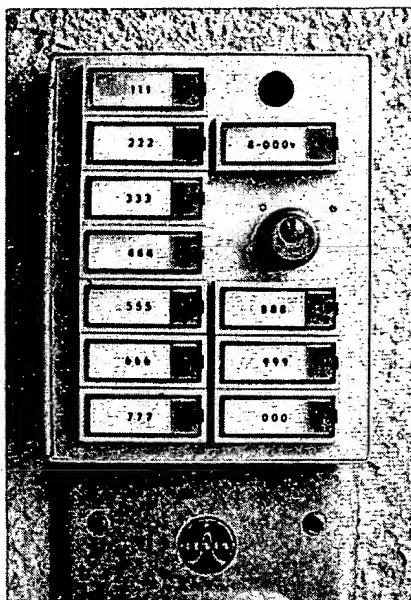
to znamená, že pravdepodobnosť sa zmenší na 1:5040.



Obr. 1. Schéma zapojenia zámku, verzia I



Obr. 2. Schéma zapojenia zámku, verzia II



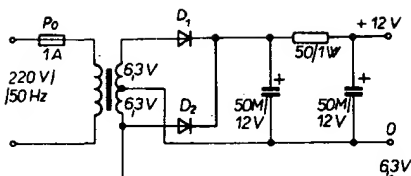
## Mechanická konštrukcia

Popisované zariadenie je vstavané do oceľovej skrinky o rozmeroch 160 × 200 mm, z plechu hrúbky 1,5 mm (obr. 3).

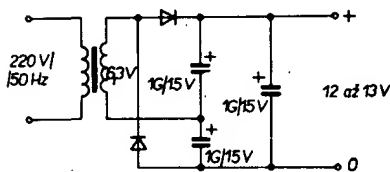
Čelná doska (panel) je pomocou pribodovaného klavírneho závesu napojená k rámu skrinky tak, aby bolo možné jej otváranie pri zmene kódu, servise a pod. Na uzamknutie skrinky je použitý nábytkový záмок zn. FÁB (na zásuvky). Záмок je upevnený z vnútornej strany štyrmi samoreznými skrútkami 4 x 10 mm. Na prednej strane je jedenásť tlačidiel (obr. 3) opatrených číslami 1 až 10 a vybavovacím tlačidlom, ktoré označuje číslom 11, alebo iným spôsobom, aby len zainteresovaní vedeli, že slúži na vybavenie.

Z vnútornej strany dvierok sú na úhľonkoch  $20 \times 20$  mm upevnené relé *A, B, C, D*. K upevneniu využijeme skrutiek, ktorými sú prichytené tlačidlá. Je možné použiť akýchkoľvek telefonných relé, ktoré spoľahlivo zopnú pri napätí 6 až 12 V (podľa napätia zdroja), a ktoré majú nasledovné zloženie kontaktov:

relé A : 2 zväzky spínacích kontaktov,  
relé B : 2 zväzky spínacích kontaktov,  
1 zväzok rozpínacích kontaktov,  
relé C : 2 zväzky spínacích kontaktov,



**Obr. 5. Zapojenie zdroja**



**Obr. 6. Zapojenie zdroja pri použití transformátora s jedným vinutím 6 V**

relé *D*: 1 zväzok rozpínacích kontaktov,  
1 zväzok spínacích kontaktov,  
relé *E*: 1 zväzok rozpínacích kontaktov.

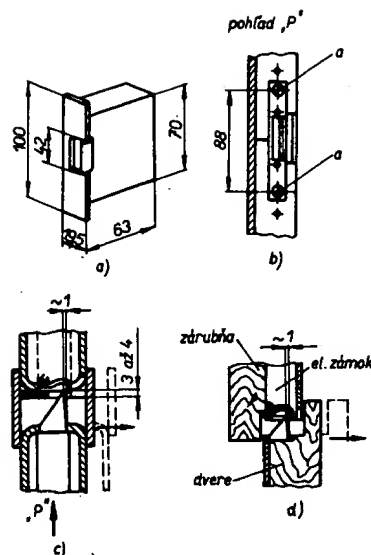
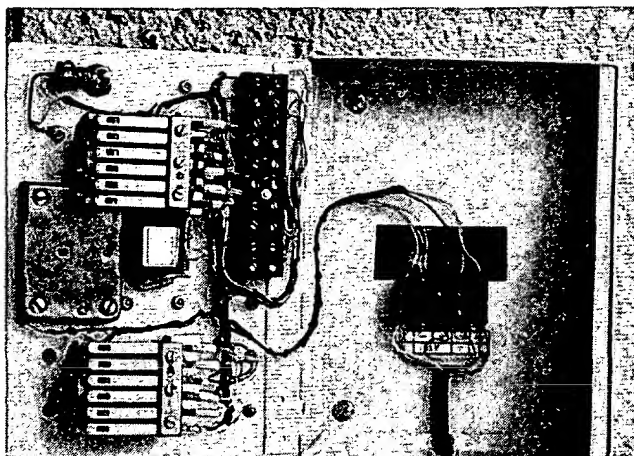
V prototypy boli použité dve reléové dvojčatá s tromi párami prepínacích kontaktov a miniatúrne relé s dvomi prepínacími kontaktmi (relé E). Vodiče od cievok relé sú propojené na desaťpólovú svorkovnicu, na ktorej prepajáním sa prevádza nastavenie kódu. Svorky 1, 2 a 3 sú označené. Taktiež vodiče k napájaniu elektromagnetu zámku a k bytovému tlačidlu sú vyvedené ke svorkovnici (obr. 4). Na napájanie použijeme samostatný zdroj podľa obr. 5, ktorý umiestnime na vhodnom mieste vo vnútri bvtu.

Pri použití sieťového transformátora s jedným vinutím 6 V použijeme zdvojovača napätia podľa obr. 6.

## Montáž elektromagnetického zámku

Ak máme kovové zárubne u vstupných dverí, vložíme záмок (obr. 7a) do pripraveného otvoru zárubne a pripievame dvomi skrutkami označenými „a“ (obr. 7b). Pri montáži treba dbať, aby boli dodržiavané medzery medzi západkou elektromagnetického zámku ako je uvedené na obr. 7c a 7d.

Zámok je možné montovať aj do drevenej zárubne, pravda táto musí byť prispôbena vysekaným otvorom tak, aby bolo možné namontovať elektrický zámok s prihliadnutím na rozmery podľa obr. 7a.



*Obr. 7. Rozměry a montáž zámku*

## Nastavenie a obsluha

Vodiče od tlačidiel zvoleného čísla zapojíme na svorky 1, 2, 3, zbývajúce vodiče zapojíme na svorky 4 až 10.

Pri správnom zapojení všetkých vodičov podľa obr. 1 zariadenie bude na prvýkrát správne fungovať.

Stláčaním tlačidla zvoleného čísla rozsvieti sa kontrolka, ktorá signalizuje uvoľnenie elektromagnetickej závery dverí. Počas bzudzania zámku návštevník odtlačí dvere. Pri použití jednosmerného prúdu počúť iba klapnutie kotvy elektromagnetu. Po otvorení dverí uvedieme zariadenie do pôvodného stavu stláčaním vybavovacieho tlačidla. Pri stláčaní nesprávneho čísla je potrebné zariadenie vynulovať stláčaním vybavovacieho tlačidla. Tlačidlo  $Th_2$  umožňuje ovládať dvere z vnútra bvtu.

## Použité súčiastky

Telefonné relé gufaté, 12 V (5 ks),  
zvonkové tlačidlá (11 ks),  
elektromagnetický záмок, 4 FN 877 00,  
nábytkový záмок zn. FÁB (na zásuvky),  
žiarovka 6,3 V,  
objímka na žiarovku,  
sieťový transformátor 220 V, 2 x 6,3 V/0,5 A,  
lamacia svorkovnica,  
signálna čočka,  
dioda KY721 (2 ks),  
nábytkový klavírny záves (20 cm).

## Bezšňúrová elektrická páječka

Pájení chloullostivých součástek, jako tranzistorů MOSFET a integrovaných obvodů síťovou páječkou může vést k jejich poškození nebo i zničení průrazem elektrického náboje ze sítě. Firma Inter Eleetronic KG vyrobila miniaturní páječku, napájenou vestavěným NiCd akumulátorem. Po stisknutí tlačítka se za 5 s vyhrje její pájecí hrot na 350 °C. Současné se rozsvítí žárovka, která osvětlí spájené místo. S jedním nábojem akumulátoru lze provést až 170 pájeních spojí.

-sn

Radio, Fernsehen, Elektronik č. 12/74

# Osvědčená zapojení

## Stereofonní Hi-Fi zesilovač jednoduché konstrukce

Inf. Josef Zigmund

### Technické údaje

Maximální výstupní výkon:

2 × 6 W sinus/4 Ω.

Činitel harmonického zkreslení

při výkonu 6 W:

0,35 % (0,8 kHz) až 0,7 % (12 kHz).

Vstupy:

krystalová přenoska 100 mV/1 MΩ, tuner, magnetofon, rozhlas, přijímač 100 mV/20 kΩ.

Útlumové zkreslení v pásmu 20 Hz až 20 kHz:

<0,5 dB.

Korekce:

hloubky ±15 dB/20 Hz, výšky

±15 dB/20 kHz.

Vyvážení kanálů:

+6 dB, -6 dB.

Maximální spotřeba:

1,2 A/20 V.

### Popis zapojení

Schéma jednoho kanálu stereofonního zesilovače Z6W-S je na obr. 1. Druhý kanál je zapojen shodně, odpovídající součástky mají index vyšší o 100.

Signál z krystalové přenosky se přivádí na vstup oddělovacího stupně, který je tvořen emitorovým sledovačem s tranzistorem  $T_1$ . Vstupní impedance tohoto stupně je asi 1 MΩ a jeho napětové zesílení je přibližně jedna. Výstupní signál z oddělovacího stupně se přivádí společně se signálem ze vstupů „tuner“, „magnetofon“, „rozhlasový přijímač“ (pro jednoduchost zakreslen jen jeden) na přepínač vstupů  $P_1$ . Další část popisovaného zesilovače je prakticky shodná s Z6W. Koncepte zesilovače Z6W byla podrobně vysvětlena v [1], kde jsou uvedeny i grafické výsledky měření jeho parametrů (rozsah korekce kmitočtové charakteristiky a činitel harmonického zkreslení).

Za regulátorem hlasitosti (potenciometr  $P_1$ ) následuje ovládací zesilovač s tranzistorem  $T_2$  a  $T_3$ , který je zapojen jako tzv. Williamsonův korektor. Předností tohoto zapojení korektoru je, že kromě regulace hloubek (potenciometr  $P_2$ ) a výšek (potenciometr  $P_3$ ) též zesiluje. Napětové zesílení ovládacího zesilovače je při rovném kmitočtovém průběhu určeno přibližně poměrem odporů  $R_{10}$  a  $R_8$  a polohou regulátoru vyvážení  $P_4$  (ve střední poloze  $P_4$  je zesílení asi 2,5). Regulátorem vyvážení  $P_4$  se mění zesílení obou kanálů zesilovače ve vzájemně opačném smyslu od nuly do maxima.

Výkonový zesilovač, který je osazen čtyřmi tranzistory, je klasického zapojení s kon-

covým stupněm s doplňkovými tranzistorem  $T_6$  a  $T_7$ . Použité typy koncových tranzistorů jsou sice germaniové, ale jejich poměrně vysoký mezní kmitočet  $f_T$  (1 MHz) umožňuje dosáhnout plného výstupního výkonu zesilovače v celém akustickém kmitočtovém pásmu. Budič s tranzistorem  $T_5$  pracuje ve třídě A, což přispívá k ochraně koncových tranzistorů při jejich případném přetížení. Předzesilovací stupeň je od budiče stejnosměrně oddělen a je osazen tranzistorem  $T_4$  téhož typu jako budič. Napětové zesílení výkonového zesilovače je určeno přibližně poměrem odporů  $R_{27}$  a  $R_{19}$  (je asi 20). Obvod  $R_{26}$ ,  $C_{18}$  zajišťuje stabilitu zesilovače (odolnost proti rušivému kmitání) a současně přispívá k požadovanému zmenšování zesílení v oblasti nadakustických kmitočtů.

Jediný rozdíl mezi zesilovačem Z6W a popisovanou částí Z6W-S je v kapacitě kondenzátoru  $C_{17}$ , která byla z konstrukčních důvodů zmenšena na polovinu. Protože je však tento kondenzátor zapojen ve zpětnovazební smyčce, změna jeho kapacity se na parametrech zesilovače prakticky neukázala.

V monofonní variantě zesilovače Z6W-M je potenciometr  $P_4$  vypuštěn a nahrazen odporem 10 kΩ, špička „h“ je připojena do bodu mezi  $R_{15}$  a  $C_{12}$ . Touto úpravou se změni

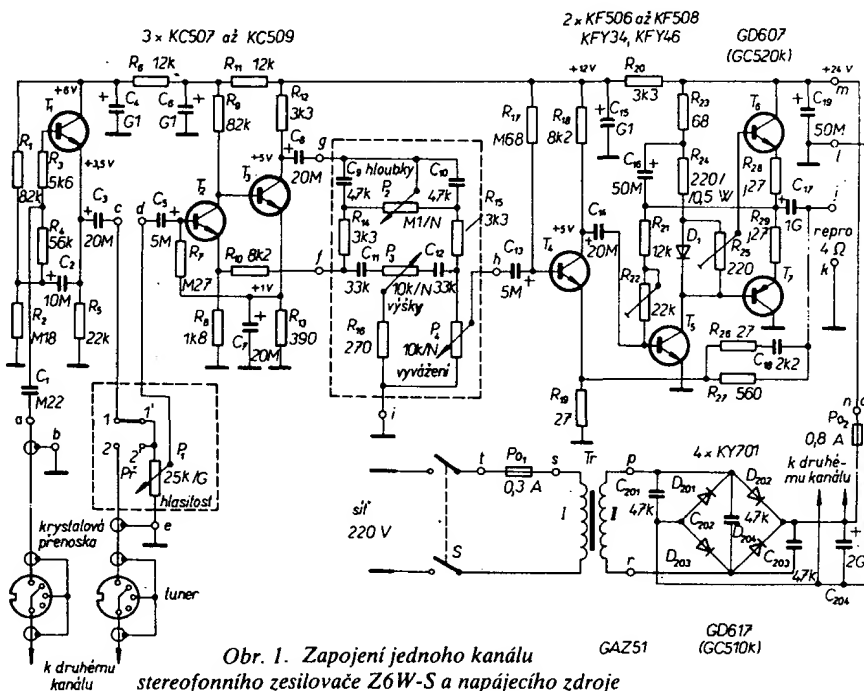
jmenovité vstupní napětí zesilovače Z6W-M na 50 mV.

K napájení zesilovačů Z6W-S a Z6W-M byl použit z ekonomických důvodů nestabilizovaný zdroj, jehož schéma je na obr. 1. Údaje sekundárního vinutí síťového transformátoru  $Tr$  se liší podle typů tranzistorů, použitých v koncovém stupni. Pro zesilovač s tranzistorem GC510K/GC520K, které dovolují získat maximální výstupní výkon asi 3 W, je totiž nutno (vzhledem k jejich kolektorové ztrátě) použít menší napájecí napětí, než pro zesilovač s tranzistorem GD607/GD617. Napájecí napětí zesilovače Z6W-S s tranzistorem GD607/GD617 je bez signálu na vstupu asi 25 V, při plném vybuzení se zmenší na 20 V. U zesilovače s GC510K/GC520K je napájecí napětí bez signálu asi 18 V, při plném vybuzení 15 V podle použitých tranzistorů a s dovoleným odběrem proudu asi 1,2 A.

### Konstrukce

Stereofonní zesilovač Z6W-S (i zesilovač Z6W-M) je konstrukčně rozdělen na dvě části: vlastní zesilovač a napájecí zdroj.

Součástky obou kanálů stereofonního zesilovače (včetně vládacích prvků) jsou umístěny na jedné desce (180 × 120 mm) s plošnými spoji (obr. 2). Rezistory  $R_{28}$ ,  $R_{29}$ ,  $R_{129}$ ,  $R_{128}$  s odporem přibližně 0,27 Ω jsou navinuty drátem o Ø 0,2 mm CuL délky 50 cm na tělisku odporu TR 144. Protože se přepínač určený pro plošné spoje běžně nevyskytuje, je přepínač vstupů  $P_1$  upevněn k desce drážku úhelníkem (obr. 3). K uchycení drážku jsou v desce s plošnými spoji dvě díry. Ve stereofonním zesilovači byl použit miniaturní otočný přepínač typu WK 533 16, který je



Obr. 1. Zapojení jednoho kanálu stereofonního zesilovače Z6W-S a napájecího zdroje

dvoupolový a má čtyři polohy, tj. vhodný pro přepínání čtyř vstupů. Lze však použít i jiný přepínač z řady WK 533 s vyhovujícím počtem kontaktů, musí však v každé poloze spínat dva páry kontaktů. Protože přepínače řady WK 533 mají poměrně krátké hřídele, je třeba je nastavit prodlužovacím hřídelem (např. z hřídele starého potenciometru).

Přepínač vstupů  $P_1$  je s konektory vstupů „tuner“, „magnetofon“, „přijímač“ propojen stíněnými kablíky. Na straně přepínače se jejich střední vodiče připojují přímo na příslušné vývody přepínače a jejich stínění k vodiči, připojenému do bodu „e“. Stínění vodičů na straně vstupních konektorů se připojují pouze na jejich kolík „2“, kryty vstupních konektorů jsou vodivě spojeny s uzemněným vývodem napájecího zdroje kovovým šasi zesilovače. K propojení přepínače s body na desce s plošnými spoji „1“, „101“ a „1“, „101“ jsou použity obyčejné krátké vodiče. Je výhodné použít potenciometry s délkou hřídele 50 mm (označení 60A), aby hřídele přesahovaly desku s plošnými spoji a nebylo je třeba nastavovat. Kryty potenciometrů jsou navzájem spojeny vodičem, který je připojen do bodu „f“. Přepínač vstupů je uzemněn svým kovovým držákem.

Koncové tranzistory typu GD607/GD617 jsou upevněny na chladičích podle obr. 4 mimo desku s plošnými spoji. Pro každý koncový tranzistor jsou použity dva chladiče sestavené proti sobě, což zabezpečuje dostatečné chlazení tranzistorů i při maximálním výkonu zesilovače. Chladiče všech čtyř tranzistorů jsou upevněny vedle sebe distančními sloupky délky 13 mm na desce 60×150 mm

z nevodivého materiálu (např. pertinaxu). Tranzistory je možno umístit i na jeden větší společný chladič; protože je na jejich pouzdrech vyveden kolektro, je nutné je navzájem izolovat.

Pro chlazení koncových tranzistorů typu GC510K/GC520K slouží jedna deska z duralového plechu tloušťky 3 mm podle obr. 5. Deska má rozměry shodné s deskou s plošnými spoji a připevňuje se k ní čtyřmi distančními sloupky délky 32 mm nebo čtyřmi dlouhými šrouby M3 s navlečenou distanční trubičkou délky 32 mm (nejvyššími součástmi na desce jsou potenciometry o výšce 31 mm). Při této délce sloupků není třeba nastavovat vývody použitých tranzistorů. Chladič je k desce s plošnými spoji otočen stranou, na níž jsou upevněny tranzistory. Protože žádný z vývodů těchto tranzistorů není vodivě spojen s pouzdem, jsou k chladiči přišroubovány všechny čtyři tranzistory bez izolačních podložek (obr. 6). Konstrukce stereofonního zesilovače s tranzistory GC510K/GC520K je tedy jednodušší, ale jak již bylo uvedeno, má tato varianta zesilovače menší výstupní výkon.

Pro monofonní zesilovač Z6W-M je určena deska 120 × 90 mm s plošnými spoji podle obr. 7. Její konstrukční řešení je shodné se zesilovačem Z6W [1] a proto lze bez úprav použít chladiče tranzistorů k Z6W. Deska s plošnými spoji zesilovače Z6W-M se od předcházejícího Z6W liší přidáním oddělovacího stupně pro krystalovou přenosku a záměnou trimrů typu TP 011 za dostupnější a levnější TP 041. Kondenzátor  $C_{17}$  je možno složit ze dvou kondenzátorů 500  $\mu$ F. Součástky oddělené ve schématu čárkovaně

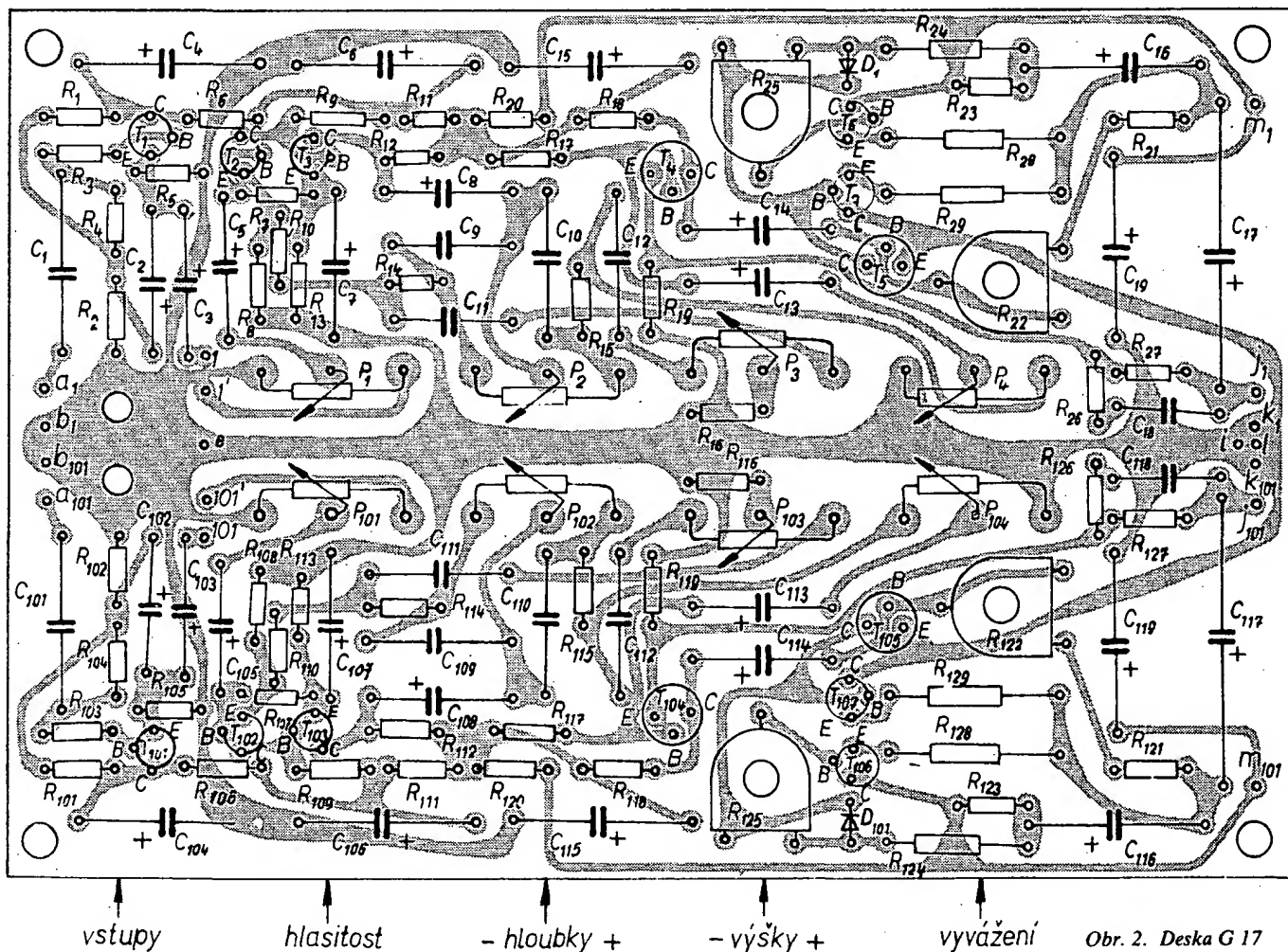
jsou umístěny mimo desku s plošnými spoji.

Zkušenější amatéři mohou použít dvě desky podle obr. 7 pro stavbu stereofonního zesilovače, u něhož lze pak rozmístit ovládací prvky podle vlastního návrhu.

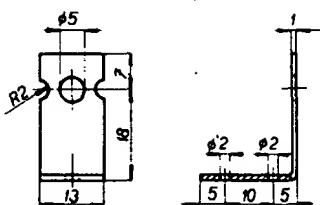
Napájecí zdroj je na desce 60 × 150 milimetrů s plošnými spoji. Kondenzátor  $C_{204}$  je připojen přímo za vývody, k přichycení trubičkových pojistek jsou použity držáky. K desce je připevněn i síťový transformátor Tr.

Konstrukce stereofonního zesilovače Z6W-S byla zvolena co nejjednodušší. Přední a zadní panel mají rozměry 300 × 60 mm. Panely jsou spojeny deskou napájecího zdroje a deskou s chladiči tranzistorů GD607/GD617 několika úhelníčky. Na straně vstupu stereofonního zesilovače jsou panely ještě spojeny stínicí deskou 60 × 150 mm, která je nutná k dosažení vyhovujícího odstupu signál/hluk vstupu pro krystalovou přenosku. Stínicí deska je z cuprexitu, zakrývá plošné spoje stereofonního zesilovače v šířce 60 mm a je otočena k plošným spojům stranou laminátu. Deska se součástkami stereofonního zesilovače je přichycena na straně vstupu dvěma šrouby k stínicí desce, na straně výstupu úhelníčky k přednímu panelu a k desce s chladiči koncových tranzistorů. Prostor mezi vstupními a výstupními konektory na zadním panelu lze případně využít k vestavění korekčního zesilovače pro magnetodynamickou přenosku (obr. 8).

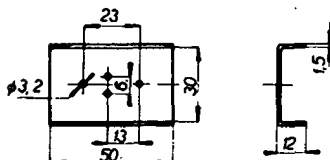
V předním panelu jsou díry pro zapuštěné šrouby. K jeho povrchové úpravě byla použita samolepicí tapeta, na níž jsou nápisy



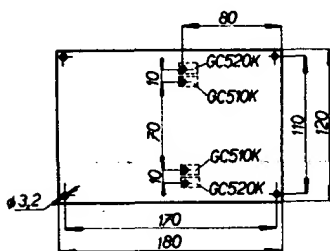
Obr. 2. Deska G 17



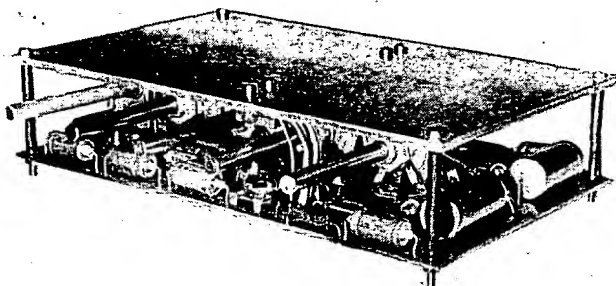
Obr. 3. Úhelník k připevnění přepínače vstupů



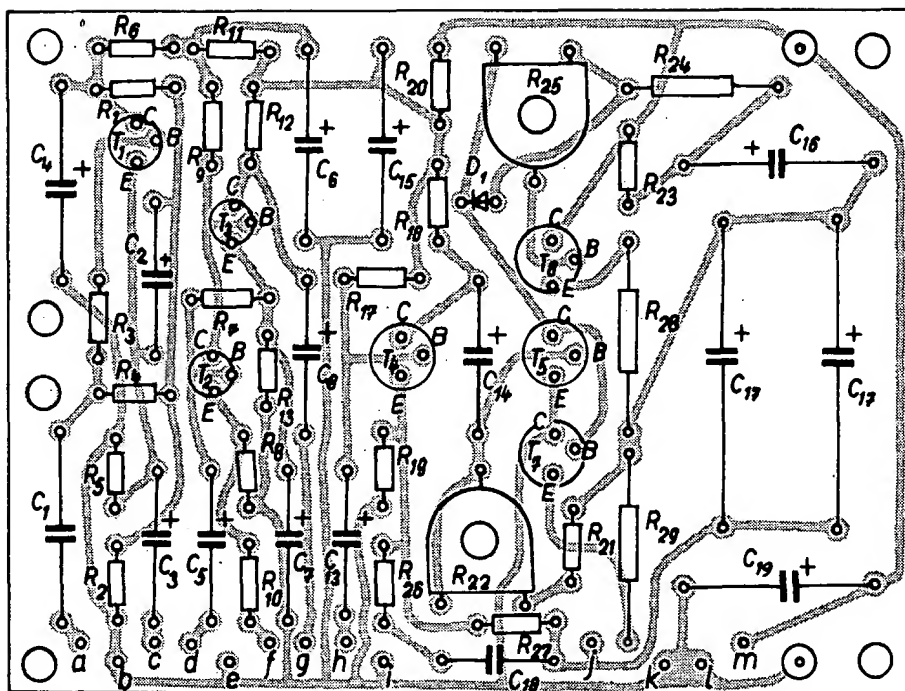
Obr. 4. Chladiče koncových tranzistorů GD607/GD617



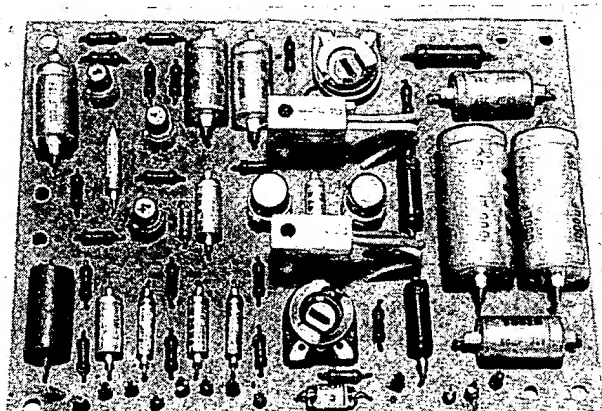
Obr. 5. Deska k upevnění tranzistorů GC510K/GC520K



Obr. 6. Deska s plošnými spoji a deska podle obr. 5 pro stereofonní zesilovač s výkonem 3 W



Obr. 7. Deska G 18 s plošnými spoji pro Z6W-M



Propisotem (suché obtisky). Tímto způsobem lze obejít použití obvyklého vnitřního panelu. Celkové rozměry stereofonního zesilovače Z6W-S i s pouzdem (z plechu potaženého tapetou) jsou přibližně 300×60×165 mm. Při použití koncových tranzistorů GC510K/GC520K lze rozměry zesilovače ještě zmenšit.

### Oživení

Stejnoseměrná napětí v zesilovači bez signálu (osazeného tranzistory GD607/GD617) jsou na obr. 1. Byla měřena Avometem II mezi vyznačenými body a uzemněným vývodem napájecího zdroje; stejné údaje platí i pro zesilovač Z6W [1]. V zesilovači s tranzistory GC510K/GC520K, který se napájí napětím asi 18 V, jsou napětí průměrně menší, např. napětí na kondenzátoru  $C_{15}$  je přibližně 10 V.

Při ožiování popisovaných zesilovačů i Z6W se mi osvědčil následující postup. Nejprve nastavuji pracovní body v zesilovači s nezapojenými koncovými tranzistory. Aby byl uzavřen napájecí obvod tranzistoru  $T_3$ , je třeba dočasně spojit jeho kolektor s kladným

pólem kondenzátoru  $C_{17}$ . Takto upravený zesilovač odebírá ze zdroje 25 V přibližně 50 mA nebo 30 mA ze zdroje 18 V. Je-li odebraný proud podstatně větší, je třeba v zesilovači hledat chyby.

Trimrem  $R_{22}$  nastavím napětí na kladném pólu  $C_{17}$  na poloviční velikost napájecího napětí (při extrémně velkém zesilovacím činiteli  $T_3$  je někdy třeba zvětšit odpor  $R_{21}$ ). Trimr  $R_{25}$  nastavím do takové polohy, aby napětí mezi bázemi  $T_6$  a  $T_7$  bylo nulové. Poté zkontroluji pracovní body tranzistorů  $T_1$  až  $T_4$ . Nejdůležitějšími údaji jsou napětí na kolektorech  $T_4$  a  $T_3$ , která mají být přibližně poloviční, než na kondenzátoru  $C_{15}$ . Jsou-li tato napětí větší než požadovaná, je třeba zmenšit odpory  $R_{13}$  a  $R_{17}$ , jsou-li menší, naopak.

Je-li vše v pořádku, odpojím dočasně zapojený vodič a připojím koncové tranzistory. Trimrem  $R_{25}$  zvětším původní odebraný proud o 15 až 20 mA. Přitom kontroluji též velikost napětí na kladném pólu  $C_{17}$ , kterou případně upravím trimrem  $R_{22}$  na polovinu napájecího napětí.

Po nastavení pracovních bodů tranzistorů kontroluji činnost zesilovače přirozeným signálem nebo soupravou měřicích přístrojů.

Mimo uvedené technické údaje byly u vzorku stereofonního zesilovače Z6W-S měřeny přeslechy mezi kanály. Pro nejnepříznivější případ, tj. pro vstup nebuzeňého kanálu naprázdno (a samozřejmě oba výstupy zatížené 4  $\Omega$ ), byl odstup u vstupu „tuner“ 62 dB pro signál o kmitočtu 1 kHz a 55 dB pro signál 10 kHz, což jsou údaje velmi dobré. U vstupu „krytalová přenoska“ byly přeslechy 42 dB pro signál 1 kHz a 32 dB pro signál 10 kHz. Přeslechy u tohoto vstupu jsou způsobeny jeho větší vstupní impedancí a kapacitami stíněných vodičů, i tyto přeslechy jsou však lepší než vyhovující.

Ze srovnání popisovaných zesilovačů vyplývá, že varianta stereofonního zesilovače Z6W-S s tranzistory GD607/GD617 má větší výstupní výkon, než varianta s GC510K/GC520K, z hlediska chlazení koncových tranzistorů je však její konstrukce složitější. Monofonní verze Z6W-M navazuje na zesilovač Z6W [1] a rozšiřuje možnosti jeho použití. Svými technickými parametry (při jednoduchém elektrickém i konstrukčním řešení) splňují popisované zesilovače požadavky i náročnějších posluchačů, přičemž jejich stavba vyžaduje pouze minimální vybavení domácí dílny.

## Seznam součástek

### Tranzistory

$T_1$ až $T_3$	KC507, KC508, KC509
$(T_{101}$ až $T_{103})$	
$T_4, T_5$	KF506 až KF508, KFY34, KFY46
$(T_{104}, T_{105})$	
$T_6, T_{106}$	GD607 nebo GC520K
$T_7, T_{107}$	GD617 nebo GC510K

### Diody

$D_1, D_{101}$	GAZ51
$D_{201}$ až $D_{204}$	KY702

### Odporů a odporové trimry (TR-112a, TP 041) (pro jeden kanál)

$R_1$	82 k $\Omega$
$R_2$	0,18 M $\Omega$
$R_3$	5,6 k $\Omega$
$R_4$	56 k $\Omega$
$R_5$	22 k $\Omega$
$R_6$	12 k $\Omega$
$R_7$	0,27 M $\Omega$
$R_8$	1,8 k $\Omega$ , 5 %
$R_9$	82 k $\Omega$
$R_{10}$	8,2 k $\Omega$ , 5 %
$R_{11}$	12 k $\Omega$
$R_{12}$	3,3 k $\Omega$
$R_{13}$	390 $\Omega$
$R_{14}, R_{15}$	3,3 k $\Omega$ , 5 %
$R_{16}$	270 $\Omega$ , 5 %
$R_{17}$	0,68 M $\Omega$
$R_{18}$	8,2 k $\Omega$
$R_{19}$	27 $\Omega$ , 5 %
$R_{20}$	3,3 k $\Omega$
$R_{21}$	12 k $\Omega$
$R_{22}$	22 k $\Omega$
$R_{23}$	68 $\Omega$
$R_{24}$	TR 144, 220 $\Omega$
$R_{25}$	220 $\Omega$
$R_{26}$	27 $\Omega$
$R_{27}$	560 $\Omega$ , 5 %
$R_{28}, R_{29}$	0,27 $\Omega$ , viz text

### Kondenzátory

(jen pro jeden kanál)	
$C_1$	0,22 $\mu$ F, TC 180
$C_2$	10 $\mu$ F, TE 981
$C_3$	20 $\mu$ F, TE 981
$C_4$	100 $\mu$ F, TE 984
$C_5$	5 $\mu$ F, TE 984
$C_6$	100 $\mu$ F, TE 984
$C_7$	20 $\mu$ F, TE 981
$C_8$	20 $\mu$ F, TE 984
$C_9, C_{10}$	47 nF, TC 180, 5 %
$C_{11}, C_{12}$	33 nF, TC 181, 5 %
$C_{13}$	5 $\mu$ F, TE 984
$C_{14}$	20 $\mu$ F, TE 984
$C_{15}$	100 $\mu$ F, TE 984
$C_{16}$	50 $\mu$ F, TE 986
$C_{17}$	1000 $\mu$ F, TE 984
$C_{18}$	2,2 nF, TC 281
$C_{19}$	50 $\mu$ F, TE 986
$C_{201}$ až $C_{203}$	47 nF, TC 180
$C_{204}$	2000 $\mu$ F, TC 936a

### Potenciometry

$P_1, P_{101}$	25 k $\Omega$ , logaritm., TP 283
$P_2, P_{102}$	100 k $\Omega$ , lineární, TP 283
$P_3, P_{103}, P_4, P_{104}$	10 k $\Omega$ , lineární, TP 283

### Transformátor

např. plechy M20, vinutí I 1830 z drátu  
o  $\varnothing$  0,22 mm CuL, vinutí II pro GC520 K/GC510K:  
125 z drátu o  $\varnothing$  0,8 mm CuL, vinutí III pro  
GD607/GD617: 165 z drátu o  $\varnothing$  0,8 mm CuL.

## Literatura

- [1] Zesilovač Hi-Fi 6W, Z6W. AR 8/72.
- [2] Z6W ve stereofonním zesilovači pro krystalovou přenosku a tuner. AR 11/72.

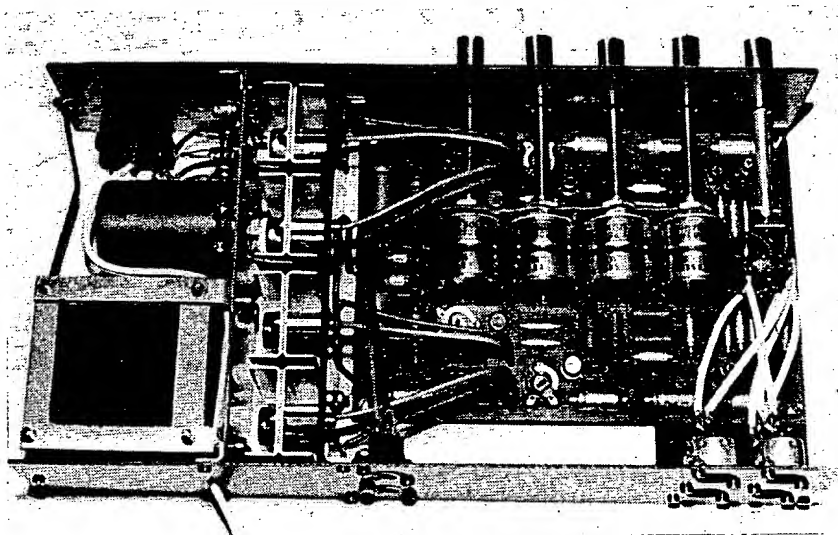
## Zkušenosti ze stavby

Od uveřejnění tohoto návodu v AR uplynuly více než dva roky. Při stavbě dalších kusů popisovaných zesilovačů se ukázalo, že by bylo vhodné doplnit popis stavby několika informacemi o praktické stavbě: během činnosti zesilovače se ohřívá tranzistor  $T_3$ , avšak vzhledem k tomu, že jeho povolená kolektorová ztráta bez chladiče je 0,6 W, pracuje

tranzistor (i když je jeho pouzdro teplé) v rámci technických podmínek. Odporové trimry  $R_{22}$  (a  $R_{122}$ ) je vhodné zvětšit na 68 k $\Omega$ , aby bylo možno jednoduše nastavit požadované napětí na kladném pólu kondenzátoru  $C_{17}$ , je-li zesilovací činitel tranzistoru  $T_3$  větší než 100. Dále je vhodné zmenšit kapacitu vazebních kondenzátorů  $C_5$  ( $C_{105}$ ) a  $C_{13}$  ( $C_{113}$ ) na 1  $\mu$ F (typ TE 988). Tím se zmenší zesílení v podakustické oblasti přenášených kmitočtů a potlačí přechodové jevy

v zesilovači při zapínání a vypínání. Dále vzhledem k tomu, že se nevyrábějí kondenzátory typů TC 180 a TC 181 s tolerancí 5 %, doporučuji vybrat kondenzátory  $C_4$  až  $C_{12}$  a  $C_{109}$  až  $C_{112}$  s uvedenou tolerancí pouze tehdy, má-li konstruktér zesilovače přísné požadavky na souběh charakteristik obou kanálů.

Popisované zesilovače lze samozřejmě napájet i ze zdroje stabilizovaného napětí 20, popř. 15 V.



Obr. 8. Hotový stereofonní zesilovač 2x6 W

# Konvertor pro II. TV program

Ing. M. Vančata

K příjmu televizních vysílačů ve IV. a V. pásmu na běžně prodávané televizní přijímače slouží konvertory. Popisovaný konvertor převádí signál IV. a V. TV pásma na signál o kmitočtu, který odpovídá 3. kanálu I. TV pásma. Konvertor se skládá ze vstupního dílu, směšovače, výstupního dílu a oscilátoru.

## Vstupní díl

Vstupní obvod je umístěn v části označené v obr. 1 „vstupní díl“ a je přepážkami odstíněn od ostatních dílů. Obsahuje rezonanční obvod  $L_1, C_1$ , oddělovací kondenzátor  $C_2$  a prvky  $L_2, C_3$ . Větev  $L_2, C_3$  představuje pro vstupní signál a signál oscilátoru dělič, bez něhož by jeden signál znamenal pro druhý zkrat. Dále obsahuje vstupní díl anténní vazební smyčku.

Rezonanční obvod navrhne např. pro 28. kanál s  $f_{obz} = 527,25$  MHz a  $f_{zv} = 532,75$  MHz. Při výpočtu vycházíme ze středního kmitočtu 28. kanálu:

$$f_{st} = (f_{obz} f_{zv})^{1/2}$$

kde  $f_{st}$  je střední kmitočet [MHz],  
 $f_{obz}$  kmitočet obrazu [MHz],  
 $f_{zv}$  kmitočet zvuku [MHz].

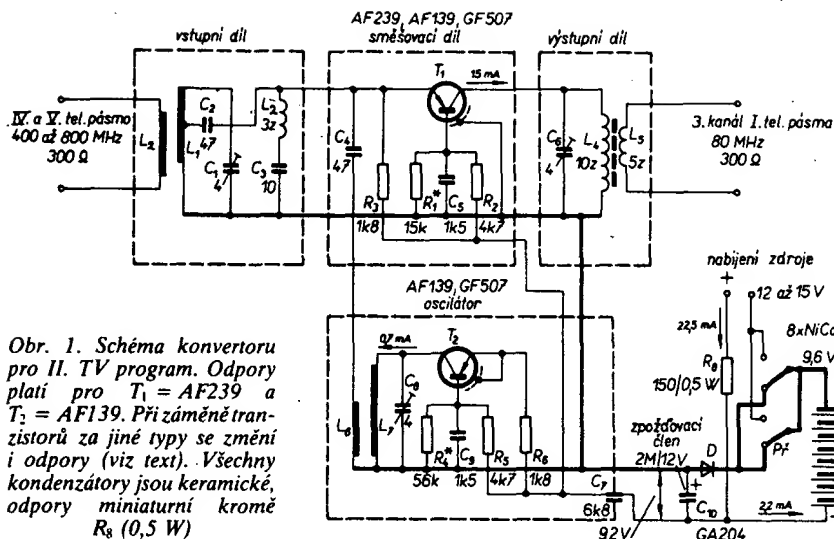
Střední kmitočet je tedy

$$f_{st} = (527,25 \cdot 532,75)^{1/2} \approx 530 \text{ MHz.}$$

Protože 28. kanál je v nižší části IV. a V. televizního pásma, volíme pro výpočet rezonanční kapacitu  $C_1$  větší, kolem 2,5 pF, protože chceme s kapacitou měnitelnou v rozmezí 0,5 až 4 pF obsáhnout ještě celé V. televizní pásmo. Pro kmitočty kolem 300 MHz již nelze použít běžně vinuté cívky, protože počet závitů vychází menší než jeden. Proto využijeme vlastní indukčnosti vodiče, za kterou považujeme vlastní indukčnost přímého nemagnetického vodiče o délce podstatně větší, než je jeho vlastní průměr. Pro kapacitu  $C_1 = 2,5$  pF a  $f_{st} = 530$  MHz vychází při zanedbání přidavných kapacit a indukčnosti potřebná indukčnost  $L_1$ :

$$L = \frac{1}{\omega^2 C_1}$$

kde  $L$  je indukčnost [H],  
 $C$  kapacita [F],  
 $\omega$  úhlová rychlost ( $2\pi f$ ) [Hz].



Obr. 1. Schéma konvertoru pro II. TV program. Odpory platí pro  $T_1 = \text{AF239}$  a  $T_2 = \text{AF139}$ . Při záměně tranzistorů za jiné typy se změni i odpory (viz text). Všechny kondenzátory jsou keramické, odpory miniaturní kromě  $R_8$  (0,5 W)

Po dosažení:

$$L_1 = \frac{1}{(2\pi \cdot 530 \cdot 10^6)^2 \cdot 2,5 \cdot 10^{-12}} = 0,036 \mu\text{H}.$$

Potřebnou délku vodiče o  $\varnothing 1$  až 1,2 mm k dosažení indukčnosti 0,036  $\mu\text{H}$  určíme z grafu na obr. 2.

Nemagnetický vodič dlouhý 48 mm o průměru 1,2 mm má vlastní indukčnost 0,036  $\mu\text{H}$ . Délku vodiče počítáme od místa přichycení jednoho konce k místu přichycení ke kondenzátoru  $C_1$ .

#### Minimální a maximální rezonanční kmitočet vstupního obvodu

Při tomto výpočtu zanedbáme přidavnou indukčnost a počítáme jen s minimální a maximální kapacitou  $C_1$  s odhadnutými přidavnými kapacitami:

$$C_{1\max} = (4 + 1) \text{ pF}, \quad C_{1\min} = 1 \text{ pF}, \\ L_1 = 0,036 \mu\text{H}.$$

$$f_{\max} = \frac{1}{2\pi (L_1 C_{1\min})^{1/2}} = \frac{1}{2\pi \cdot (0,036 \cdot 10^{-6} \cdot 1 \cdot 10^{-12})^{1/2}} \approx 840 \text{ MHz},$$

$$f_{\min} = \frac{1}{2\pi (0,036 \cdot 10^{-6} \cdot 5 \cdot 10^{-12})^{1/2}} \approx 370 \text{ MHz}.$$

Z výsledků vyplývá, že vstupní obvod obsáhne celé IV. a V. televizní pásmo. Vlivem přidavných indukčností se  $f_{\max}$  a  $f_{\min}$  poněkud posunou směrem k nižším kmitočtům.

#### Vazební smyčka

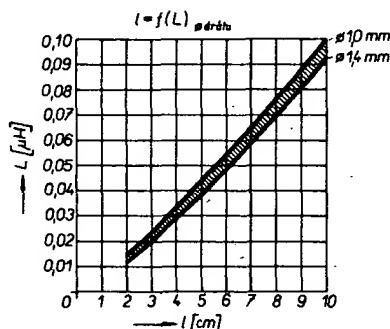
Anténí vazební smyčka je určena podmínkou rovnosti impedancí smyčky a svodu použitého mezi anténou a konvertorem. Pro dvoulinku s impedancí 300  $\Omega$  a při průměru drátu smyčky 1,2 mm vychází délka smyčky 30 až 40 mm. Vzdálenost mezi  $L_1$  a  $L_3$  je přibližně 2 až 3 mm. Indukčnost  $L_2$  tvoří tři závitů přívodního drátu ke kondenzátoru  $C_3$ . Průměr cívky  $L_2$  je 2 mm. Kondenzátory  $C_2$  a  $C_3$  jsou keramické. Rezananční obvod je přizpůsoben vstupní impedanci směšovacího dílu připojením oddělovacího kondenzátoru

$C_2$  asi do poloviny délky  $L_1$ . Indukčnosti  $L_1$  a  $L_2$  jsou z holého leštěného měděného drátu o  $\varnothing 1,2$  mm.

#### Směšovací díl

Směšovací díl je umístěn v části označené „směšovací díl“ a je odstíněn přepážkami od ostatních dílů. Obsahuje tranzistor  $T_1$ , oddělovací kondenzátor  $C_4$ , přes který se přivádí vř. napětí oscilátoru, odpory  $R_1$ ,  $R_2$  a  $R_3$  (určují pracovní bod tranzistoru  $T_1$ ) a kondenzátor  $C_5$  (vysokofrekvenčně uzemňuje bázi  $T_1$ ). Tranzistor  $T_1$  je v zapojení se společnou bází, čtvrtý vývod (stínění) je uzemněn. Na kolektorový obvod je zapojen výstupní díl, na emitorový obvod vstupní díl.

Proud tranzistoru  $T_1$  je přibližně 1,5 mA, což zvětšuje nelinearitu tranzistoru, který při větší nelinearitě lépe směšuje. Také potřebná úroveň oscilátorového napětí je při menším proudu menší. Při menší úrovni oscilátorového napětí dosáhneme většího útlumu nežádoucích směšovacích produktů vyšších řádů. Ve vzorku konvertoru byl vyzkoušen náš tranzistor GF507 s dobrým výsledkem, lepší však dával tranzistor AF139 a nejlepší tranzistor AF239. Tento tranzistor měl ze všech tranzistorů nejmenší šum.



Obr. 2. Závislost vlastní indukčnosti vodiče na délce (platí jen pro nemagnetické vodiče). Graf je vyjádřením vztahu

$$L = l(0,46 \log \frac{l}{d} + k) \cdot 10^{-6},$$

kde  $L$  je indukčnost v  $\mu\text{H}$ ,  $l$  délka vodiče v cm,  $d$  průměr drátu v mm,  $k$  konstanta (pro vř. je  $k = 1,455$ ). Vztah platí tehdy, je-li  $l \geq d$

Stejnoseměrný pracovní bod  $T_1$  zajišťují odpory děliče  $R_1$ ,  $R_2$  a emitorový odpor  $R_3$ . Odpory na obr. 1 platí pro tranzistor AF239. U tranzistoru GF507 jsem musel pro potřebný proud kolektoru zmenšit  $R_1$ . Doporučuji proto individuálně nastavit pracovní bod  $T_1$  ještě před konečnou montáží podle použitého tranzistoru. Do obvodu kolektoru zapojíme miliampérmetr, k bázi připojíme dělič  $R_1$ ,  $R_2$  a k emitoru odpor  $R_3$ . Napájecí napětí je 9 V. Zvětšujeme-li odpor  $R_2$ , zmenšuje se proud tranzistoru a naopak. Kondenzátor  $C_5$ , který vysokofrekvenčně uzemňuje bázi, je keramický. Jeho kapacita není kritická (může být v rozmezí 200 až 1500 pF) musí však mít co nejmenší vlastní indukčnost, což splňují keramické kondenzátory. Také oddělovací kondenzátor  $C_4$  je keramický, kapacita opět není kritická.

#### Výstupní díl

Výstupní díl je umístěn v části označené v obr. 1 „výstupní díl“ a je odstíněn přepážkami od ostatních dílů. Obsahuje rezonanční obvod  $L_4$ ,  $C_6$  a vazební cívku  $L_5$ .

Cívka  $L_4$  má 10 závitů drátu o  $\varnothing 0,5$  až 0,6 mm CuL. Indukčnost cívky je přibližně 1,1  $\mu\text{H}$ . Kondenzátor  $C_6$  je skleněný doladovací trimr s maximální kapacitou 4 pF, minimální 0,5 pF. Maximální rezonanční kmitočet  $f_{\max}$  výstupního obvodu je dán indukčností  $L_4$  a minimální kapacitou  $C_6$ :

$$f_{\max} = \frac{1}{2\pi (L_4 C_{6\min})^{1/2}},$$

kde  $f_{\max}$  je maximální kmitočet [MHz],  $L_4$  indukčnost [H],  $C_6$  min. kapacita [F].

$$f_{\max} = \frac{1}{2\pi (1,1 \cdot 10^{-6} \cdot 0,5 \cdot 10^{-12})^{1/2}} \approx 210 \text{ MHz}.$$

Minimální rezonanční kmitočet výstupního obvodu je dán indukčností  $L_4$  a maximální kapacitou  $C_6$ :

$$f_{\min} = \frac{1}{2\pi (1,1 \cdot 10^{-6} \cdot 4 \cdot 10^{-9})^{1/2}} \approx 76 \text{ MHz}.$$

Lze-li rezonanční obvod ladit v rozmezí 76 až 210 MHz, je možné převést celé IV. a V. televizní pásmo na

- 3. kanál – 77,25 až 83,75 MHz,
- 4. kanál – 85,25 až 91,75 MHz.

S ohledem na nejnižší možný kmitočet, na němž je oscilátor schopen kmitat, má kondenzátor  $C_6$  maximální možnou kapacitu (od určitého kanálu je nutný k převedení IV. a V. pásma takový kmitočet, který již oscilátor není schopen dodat). Má-li oscilátor nejnižší možný kmitočet  $f_{\text{osc min}} = 370$  MHz a je-li začátek IV. pásma 470 MHz, kmitočet výstupního obvodu:

$$f_{\text{výst}} = 470 - 370 = 100 \text{ MHz}.$$

Tento kmitočet odpovídá 5. až 6. kanálu I. TV pásma, přesto je však lépe použít 3. kanál, neboť ten má větší vř. citlivost. Je to výhodné i přesto, že nezachytíme několik kanálů na začátku IV. pásma.

Vazební cívka  $L_5$  je galvanicky oddělena od konvertoru; je navinuta těsně k cívce  $L_4$  drátem o  $\varnothing 0,2$  mm CuL a má 5 závitů těsně vedle sebe. Impedance této cívky se musí při středním kmitočtu 3. kanálu (77,25 až 83,75 MHz) rovnat impedanci vedení mezi

konvertorem a televizním přijímačem. Pro televizní dvoulinku o impedanci  $300\ \Omega$  a třetí televizní kanál vychází počet vazebných závitů na kostřičce o  $\varnothing$  6 až 8 mm kolem pěti.

### Oscilátor

Oscilátor je umístěn v části označené „oscilátor“ a je odstíněn přepážkami od ostatních dílů. Obsahuje rezonanční obvod  $L_7$ ,  $C_8$  mechanicky shodný se vstupním obvodem a vazební indukčnost  $L_6$ . Odpor  $R_4$ ,  $R_5$ ,  $R_6$  určují pracovní bod tranzistoru  $T_2$ , kondenzátor  $C_9$  vysokofrekvenčně uzemňuje bázi tranzistoru  $T_2$ . Napájecí napětí se přivádí průchodkovým kondenzátorem  $C_7$ .

### Výpočet rezonančního obvodu oscilátoru

Indukčnost  $L_7$  volíme z mechanických důvodů stejně velkou jako indukčnost  $L_1$  ve vstupním obvodu. Také kondenzátor  $C_8$  je stejný jako kondenzátor  $C_1$ . Protože vstupní rezonanční obvod je přibližně stejný jako obvod oscilátoru, bude i jeho maximální kmitočet přibližně shodný se vstupním obvodem. Můžeme proto převzít výsledky vypočtené pro výstupní obvod ( $f_{\max} = 0,84\ \text{GHz}$ ,  $f_{\min} = 0,37\ \text{GHz}$ ).

Minimální a maximální kmitočet oscilátoru, potřebný k převodu celého IV. a V. televizního pásma, je dán základní rovnicí směšovače:

$$f_{\text{výst}} = f_{\text{vst}} - f_{\text{osc}},$$

kde  $f_{\text{vst}}$  je střední kmitočet kanálu, na který převádíme IV. a V. pásmo [MHz],  
 $f_{\text{osc}}$  kmitočet ležící ve IV. nebo V. televizním pásmu [MHz],  
 $f_{\text{osc}}$  kmitočet oscilátoru potřebný k převodu kanálu IV. nebo V. televizního pásma na 3. kanál [MHz].

Signál, který přichází na vstup konvertoru, má kmitočet v rozmezí 470 až 790 MHz.

Minimální potřebný kmitočet oscilátoru je dán rozdílem maximálního kmitočtu IV. pásma a středního kmitočtu 3. kanálu:

$$f_{\text{osc min}} = f_{\text{vst min}} - f_{\text{at 3}} = 470 - 80 = 390\ \text{MHz}.$$

Maximální kmitočet oscilátoru je dán rozdílem maximálního kmitočtu V. televizního pásma a středního kmitočtu 3. kanálu:

$$f_{\text{osc max}} = f_{\text{vst max}} - f_{\text{at 3}} = 790 - 80 = 710\ \text{MHz}.$$

Z výpočtů vidíme, že oscilátor je schopen kmitat na nejnižším kmitočtu kolem 370 MHz. K převodu IV. a V. pásma potřebujeme nejvyšší kmitočet 390 MHz a nejvyšší 710 MHz. Oscilátor obsáhne tedy celé IV. a V. televizní pásmo.

Oscilátor je osazen tranzistorem AF139 nebo GF507. Ve vzorku byl zkoušen i tranzistor GF505, který obsáhl necelé IV. pásmo. Kolektorový proud  $T_2$  je kolem 0,3 až 0,5 mA. Doporučuji opět individuálně nastavit pracovní bod podle použitého tranzistoru změnou odporu  $R_4$ .

Vazební kapacitou pro vznik oscilací je zpětná kapacita tranzistoru  $T_2$  ( $-C_{12b}$ ), zvětšená o parazitní kapacitu pouzdro-kolektor, neboť pouzdro tranzistoru je spojeno s emitorem.

Vazební smyčka  $L_6$ , z níž se odebrává v napětí pro směšovač, je z holého leštěného měděného drátu o  $\varnothing$  1,2 mm. Vzdálenost mezi  $L_6$  a  $L_7$  je přibližně 3 až 5 mm. Délka smyčky je patrná z obr. 3.

### Napájecí obvod konvertoru

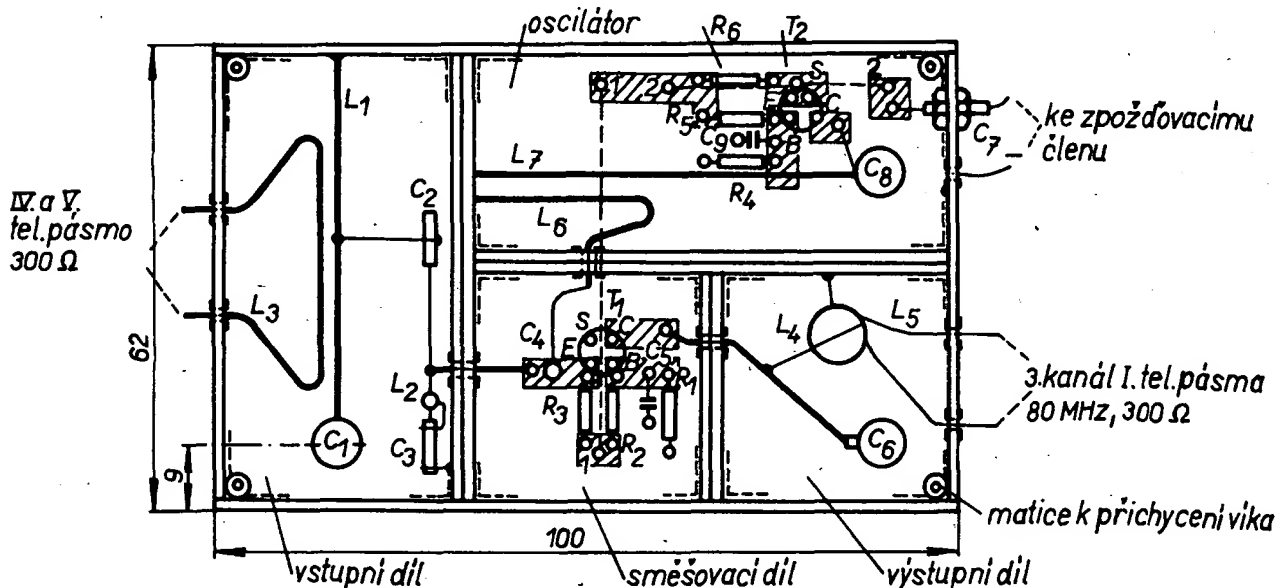
Napájecí obvod konvertoru je umístěn mimo prostor konvertoru. Obsahuje napájecí zdroj o napětí 8 až 12 V, jednopólový nebo dvoupólový přepínač, omezovací odpor  $R_8$  (omezuje nabíjecí proud akumulátorů NiCd) a zpožďovací člen  $C_{10}$ ,  $D$ . Při použití osmi akumulátorů NiCd zapojených v sérii je odpor  $R_8$  asi 150 až 200  $\Omega$  podle velikosti nabíjecího napětí. Nabíjecí proud akumulátorů má být desetinou kapacity akumulátoru, tj. asi 22,5 mA.

Nabitá baterie vydrží při odběru 2,2 mA asi 100 hodin provozu.

Přepínač  $P_1$  může být jednopólový nebo dvoupólový. Při přepnutí do jedné polohy se konvertor vypíná, ve druhé poloze je konvertor vypnut a je možné nabíjet akumulátory přes omezovací odpor  $R_8$ . Mezi konvertor a přepínač je vložen zpožďovací člen. Tvoří jej dioda  $D$  zapojená v propustném směru a elektrolytický kondenzátor  $C_{10}$ . Diodu  $D$  můžeme nahradit odporem 200 až 300  $\Omega$ . Dioda může být jakákoli; ve vzorku to byla dioda GA204. Tento člen působí pozvolný náběh napětí na konvertoru. Doba náběhu je dána časovou konstantou určenou kapacitou  $C_{10}$  a dynamickým odporem diody (nebo při použití odporu odporem). Při skokovém náběhu napětí na konvertoru se oscilátor dostane do energeticky nevýhodného stavu, neboť tranzistorem teče proud asi 4 mA. Po dotyku na kolektor  $T_2$  se proud zmenší na potřebnou velikost kolem 0,5 mA. Při obou stavech však konvertor pracuje normálně. Zařazením zpožďovacího členu se napětí na konvertoru zvolna zvětší a oscilátor naběhne sám do energeticky výhodného stavu s proudem  $T_2$  kolem 0,5 mA.

### Mechanická konstrukce konvertoru

Krabice konvertoru je z cuprexitu tloušťky 1,5 mm, přepážky jsou z cuprexitu s oboustrannou fólií, který můžeme nahradit dvěma jednostranně plátovanými deskami obrácenými fólií ven. Celková tloušťka desek však nesmí být větší než 3 mm. Celá krabice je po spájení mechanicky velmi pevná. Základní deska konvertoru slouží po odleptání spojového obrazce také k připájení většiny součástek konvertoru (obr. 3). Místa, na která přijdou jednotlivé součástky připájet, doporučuji navrtat do jedné třetiny tloušťky základní desky. Navrtání velmi usnadní připájení součástek. Ještě před sestavením krabice připájíme všechny součástky patřící na základní desku konvertoru včetně tranzistorů. Boky krabíčky jsou ze stejného materiálu jako základní deska. Desky před sestavením na označených místech odleptáme, opatříme nýtky a přeleštíme. Celou krabíčku sestavíme po ocínování všech hran, které budou navzájem spájeny. Šířka ocínování stačí 2 mm. Při



Obr. 3. Sestava konvertoru (pohled dovnitř po odstranění vika). Výška bočních stěn i přepážek je 25 mm. Přívody, vývody a průchody přepážkami jsou ve výšce 12,5 mm. Přepážky jsou vždy ze dvou desek stejných rozměrů, fólií ven. Kolem přívodů, průchoďů a vývodů je fólie odleptána a v místě průchodu je nýt (až na  $C_7$ ). Body 1–1 a 2–2 jsou spojeny měděným drátem o  $\varnothing$  1,2 mm vně krabíčky. Těsně kolem spojového obrazce dna konvertoru ponecháme fólii, která bude sloužit jako zem

sestavování připájíme nejprve dolní boční stěnu ve dvou místech a po kontrole kolmosti připájíme opět ve dvou místech ostatní boční stěny. Pak přichytíme příčky. Nyní spojíme styčné hrany cinem tak, aby spojení bylo plynulé a obsahovalo co nejméně cinu. V blízkosti tranzistorů pájeme opatrně a co nejrychleji. Krabičku vyčistíme a přešetříme. Protože kondenzátory  $C_1$  a  $C_2$  nejsou určeny pro opakované nastavování při provozu, ale jen k trvalému nastavení, zlepšíme jejich mechanickou stálost připájením matice se stejným závitem, jaký má šroub kondenzátoru, ke spodní části kondenzátoru tak, aby šroubem šlo volně otáčet. Touto úpravou prodloužíme životové vedení šroubu kondenzátoru a kondenzátor snese větší mechanické namáhání.

### Oživení a nastavení konvertoru

Po kontrole všech spojů připojíme přes miliampérmetr zdroj napětí 9 V. Je-li všechno v pořádku, pohybuje se odběr konvertoru kolem 2,2 mA. Dotykem prstu na kondenzátor oscilátoru  $C_2$  se přesvědčíme, kmitá-li oscilátor. Kmitá-li, změní se dotykem prstu poněkud odběr proudu. Nekmitá-li, dotyk prstu odběr neovlivní. Při správném zapojení může být závada jen v tranzistoru  $T_2$  nebo v malé zpětnovazební kapacitě –  $C_{12b}$ , kterou zvětšíme přidáním paralelního kondenzátoru mezi emitor a kolektor (0,5 až 1 pF). Po připojení antény ke konvertoru a propojení konvertoru s televizním přijímačem (nastaveným na třetí kanál) měníme kapacitou  $C_2$  kmitočet oscilátoru tak dlouho, až se na obrazovce televizoru objeví šikmé tmavé pruhy. Kondenzátorem  $C_1$  ladíme vstupní obvod na rezonanční kmitočet přijímaného signálu. Správné nastavení kondenzátoru  $C_1$  poznáme podle kvality obrazu. Výstupním kondenzátorem naladíme co nejlepší obraz i zvuk při střední poloze ovládacího prvku oscilátoru přijímače. Nastavení konvertoru opakujeme ještě jednou na vyšším kanálu (např. 55.). Konvertor ladíme i nastavujeme s věkem. Zvuk ladíme jen tehdy, máme-li v mř zesilovači zvuku v televizním přijímači vestavěn některý z přípravků umožňující poslech zvuku obou norem CCIR-K i CCIR-G. Přeladování konvertoru je pracné, protože musíme ladit zvlášť vstupní obvod a zvlášť oscilátor konvertoru. Tato pracnost je však vyvážena snadnou konstrukcí konvertoru. Nejvýhodnější je nechat konvertor nastaven trvale na určitý kanál.

### Literatura

Čermák, J.; Navrátil, J.: Tranzistorová technika. SNTL: Praha 1968.  
Vančata, M.: Konvertor pro 92,5 až 103,5 MHz. AR 2/69.

Tabulka cívek

Cívka	Drát o Ø [mm]	Druh drátu	Délka, popř. počet závitů
$L_1$	1,2	holý, Cu	48 mm
$L_2$	1,2	holý, Cu	tři závitů na přívodu k $C_3$ .
$L_3$			
$L_4$	0,5	CuL	10 závitů na Ø 8 až 10 mm
$L_5$	0,2	CuL	5 až 6 záv. těsně k $L_4$
$L_6$	1,2	holý, Cu	35 mm
$L_7$	1,2	holý, Cu	48 mm

# Souprava pro dálkové ovládání modelů

František Svička

Jedním z oborů zájmové elektroniky, který se v poslední době velmi prudce vyvíjí a jehož obliba má stále stoupající trend, je obor dálkového řízení modelů. Během let se i v našem časopisu objevilo několik návodů na stavbu zařízení pro dálkové ovládání modelů od jednoduchých až po velmi složité. I když návody ke stavbě byly zpracovány poměrně velmi podrobně, docházelo při realizaci těchto zařízení často ke zklamání – především proto, že nastavování bylo obvykle poměrně složité a vyžadovalo použití přístroje, které nejsou běžnou výbavou amatérské dílny, ať již modeláře nebo i radioamatéra. Protože jsme dostávali a dostáváme do redakce žádosti o popisy funkčně dokonalého zařízení k dálkovému ovládání, uveřejňujeme popis soupravy dálkového ovládání.

Úspěch při stavbě závisí podle našich zkušeností především na pečlivé práci; vhodné je předem proměřit součástky, zda mají alespoň 10% toleranci. Předpokladem úspěchu při provozu (tj. minimální poruchovosti) je správné pájení a vhodné izolování součástí, které by se mohly vodivě spojit (bužírka na vývodech odporů a tranzistorů apod.), neboť montáž je v převážné většině dosti stěsnaná, především u dílů přijímače soupravy.

## Technické údaje

### Vysílač

**Pracovní kmitočet:** v pásmu 27 MHz podle použitého krystalu.  
**Vf výkon:** podle použitého tranzistoru (asi 350 mW).  
**Modulace:** 100 %  
**Kanálový impuls:** 1,6 ± 0,5 ms.  
**Napájení:** niklokadmiové akumulátory typu 451, 8 ks, 9,6 V, asi 85 mA; z toho proud kodéru se Zenerovou diodou asi 12 mA, proud oscilátoru 12 až 15 mA, proud koncového stupně asi 60 mA.  
**Odběr proudu:**

### Přijímač

**Druh přijímače:** superhet.  
**Čistivost:** asi  $\mu$ V.  
**Šířka pásma:** 5 kHz pro 6 dB, 40 kHz pro 40 dB.

**Potlačení zrcadlového kmitočtu:** 12 až 15 dB.

kusů souprav získal a omezil tak na minimum možnost neúspěchu při konstrukci.

Popisovaná souprava byla vyzkoušena v praxi v několika kusech v leteckomodelářském klubu na Kladně. Stavba soupravy byla korunována úspěchem i tehdy, když ji realizoval modelář, který prakticky neznal ani principy zařízení, které stavěl. Stačilo, že uměl pájet a číst ve schématu. Pečlivost v práci je ovšem samozřejmostí; tu však má většina modelářů v „krvi“.

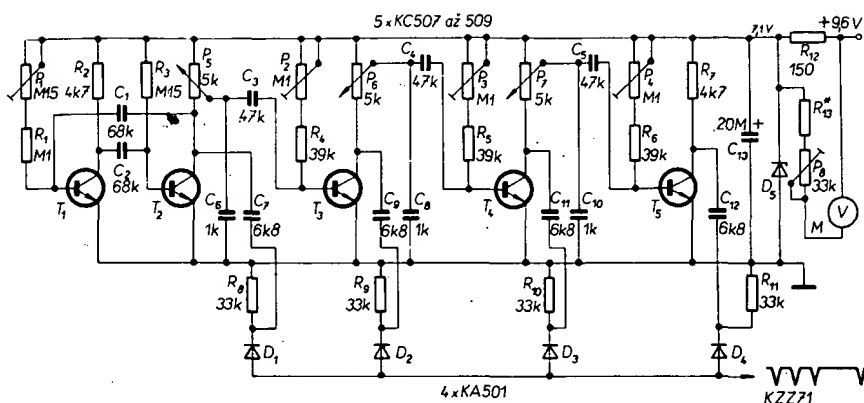
Souprava, tak jak ji popisují, je určena pro připojení tří serv. Domnívám se, že pro většinu modelářů počet serv vyhoví. Zároveň této části bych chtěl upozornit, že zařízení, které popisují, není nějaký můj vlastní záračný vynález; využil jsem pouze vlastních a cizích zkušeností při úpravách dostupných schémat nejrozličnějších továrních výrobků (Simprop, Futuba, Microavionies, Teleprop, Kraft atd.). Stavbu celého zařízení je vhodné začít stavbou vysílače, neboť hoto- věho vysílače využijeme s výhodou při nastavování přijímače, dekodérů a servozesilovačů. Upozorňuji však, že před stavbou je třeba mít povolení, které vydá na požádání Krajská správa radiokomunikací (jde o vysílací zařízení, na něž je třeba mít povolení!).

### Konstrukce vysílače

Celý vysílač se skládá z kodéru (obr. 1), z modulatoru a vř. dílu (obr. 2). Jak jsem již uvedl, popis činnosti těchto dílů je uveden v serálu ing. Valenty, zájemci si mohou popis činnosti najít v dříve uvedených číslech časopisu Modelář. Obě dvě funkční části vysílače (tj. kodér a modulator s vř. dílem) jsou umístěny na jedné desce s plošnými spoji (obr. 3). Osazená deska je na obr. 4. I když by se to mohlo zdát méně výhodné, než použít pro každý funkční celek jednu desku zvlášť, stačí, uvědomíme-li si, že v prvním případě odpadá pracná „drátovačka“ a navíc lze vhodným postupem při osazování desky s plošnými spoji uvádět do chodu jednotlivé funkční celky vysílače stejně, jako kdyby byl každý na zvláštní desce.

Při osazování desky se nejvíce osvědčil tento postup:

1. nejprve se osadí celá vř. část vysílače,



Obr. 1. Kodér vysílače

2. dále se osadí kodér, tj. tranzistory  $T_1$  až  $T_5$ ,

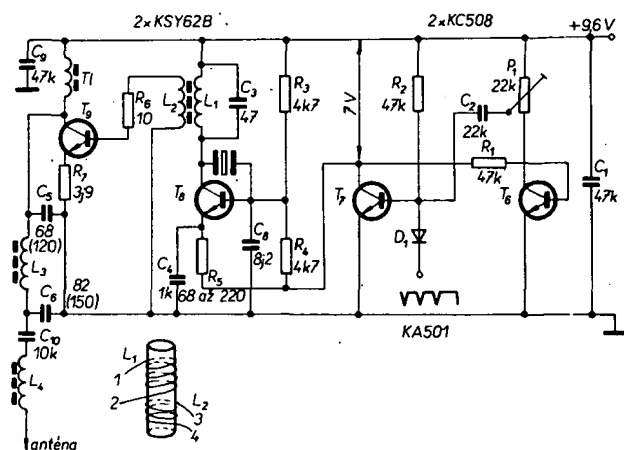
3. a nakonec osadíme modulátor, tj. tranzistory  $T_6$  a  $T_7$ .

Každou část vysílače uvádíme do chodu zvlášť hned po osazení desky součástkami.

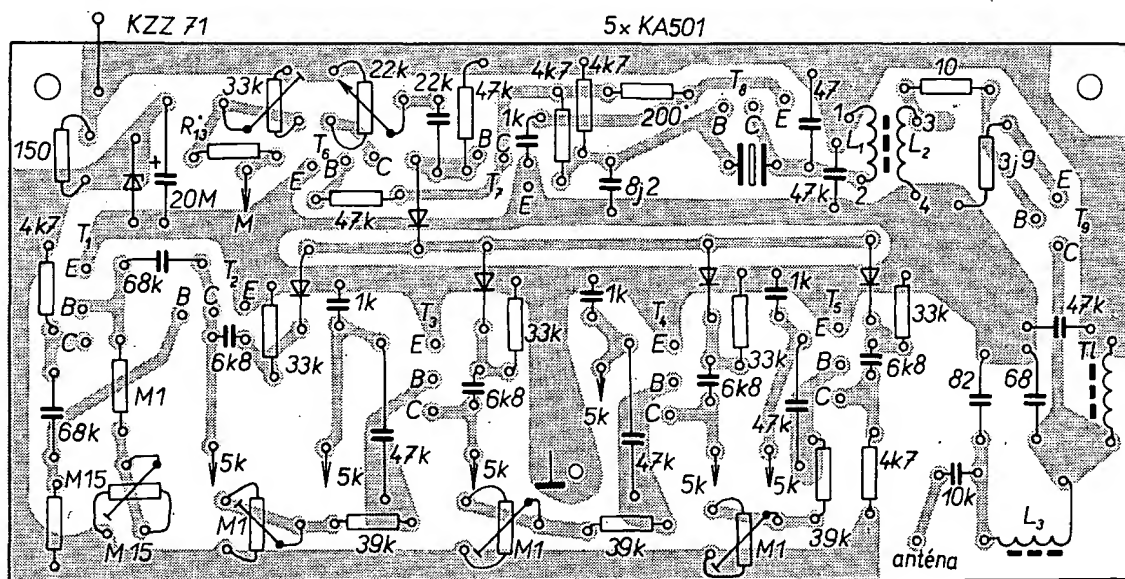
Podrobný postup práce bude tedy tento: do připravené desky s plošnými spoji připájíme tranzistor  $T_8$ , odpory  $R_3$ ,  $R_4$  a  $R_5$  (nahradíme odporovým trimrem 680  $\Omega$ ), cívku oscilátoru  $L_1$ ,  $L_2$  kondenzátory  $C_1$ ,  $C_3$  a  $C_4$ ,  $C_8$  a krystal. Po připojení napájecího napětí se přesvědčíme absorpčním vlnoměrem nebo žárovkou paralelně připojenou k vinutí cívky  $L_2$ , zda oscilátor kmitá. Pokud je vše v pořádku, žárovka (6 V, 50 mA) musí slabě

žhnout. Změnou polohy jádra v cívce oscilátoru a odporu  $R_5$  (nahradili jsme ho trimrem) zvětšujeme svit žárovky na maximum. Při tomto nastavování propojíme plošky pro připojení kolektoru a emitoru tranzistoru  $T_1$  – na to nesmíme zapomenout!

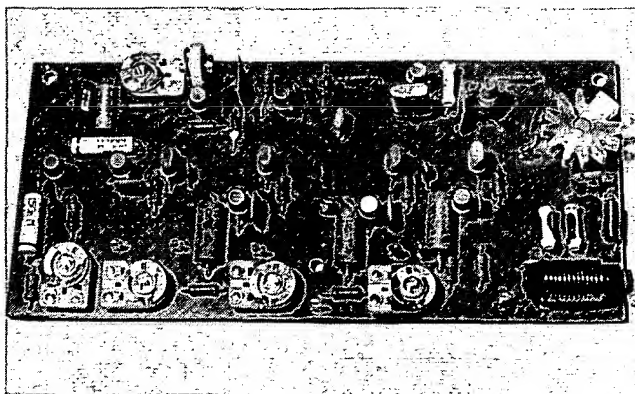
Dále při ožívání odpojíme žárovku a připájíme další součástky:  $T_2$  s chladičem,  $R_6$ ,  $R_7$ ,  $L_3$ ,  $C_5$ ,  $C_{10}$ ,  $C_6$ ,  $L_4$ . Jádru cívky  $L_3$  nastavíme na největší svit žárovčky zapojené do série s anténou. Prodlužovací cívku  $L_4$  naladíme podle indikátoru síly pole. Tato druhá fáze ladění se musí zopakovat při konečném vestavění a upevnění desky do skříňky vysílače. Jako anténa je vhodná např. autoanténa Kovopodniku Brno.



Obr. 2. Modulátor a vř. díl vysílače



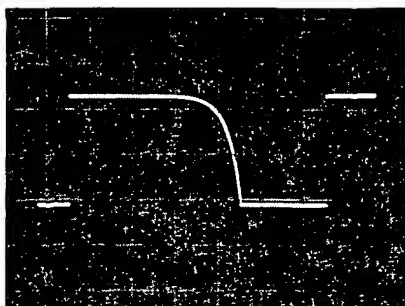
Obr. 3. Deska H01 s plošnými spoji vysílače



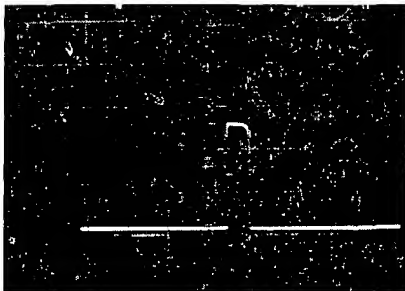
Obr. 4. Osazená deska s plošnými spoji vysílače

Po skončení této fáze nastavování a ožívání zrušíme zkrat mezi ploškami pro připojení kolektoru a emitoru  $T_1$ .

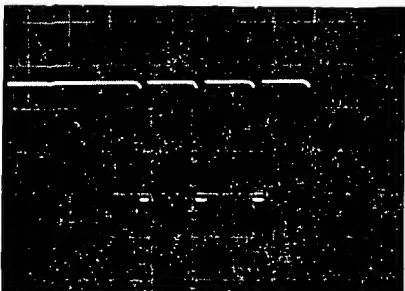
Pracují-li obě části vysílače, které jsme na desce s plošnými spoji dosud osadili součástkami, zapojíme do desky i součástky kodéru (obr. 1). K oživení a nastavení kodéru je téměř nezbytný osciloskop s cejchovanou časovou základnou. Po osazení součástkami připojíme k vývodům z desky napájecí napětí 9,6 V a voltmetrem zkontrolujeme napájecí napětí na Zenerově diodě, které by mělo být asi 7 V. Dále zkontrolujeme osciloskopem průběhy na kolektorech jednotlivých tranzistorů ( $T_2$  až  $T_3$ ). Průběhy musí odpovídat průběhům na obr. 5 a 6. Potenciometrem  $P_1$  nastavíme délku rámce (obr. 5) 20 ms a potenciometry  $P_5$ ,  $P_6$  a  $P_7$  nastavíme do střední



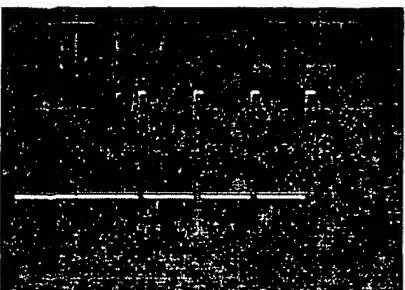
Obr. 5. Průběh signálu na kolektoru  $T_2$



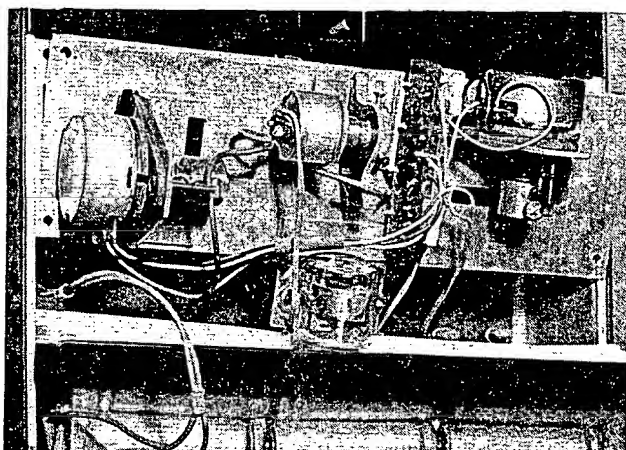
Obr. 6. Průběh signálu na kolektorech  $T_3$  až  $T_5$



Obr. 7. Průběh signálu na kolektoru  $T_0$



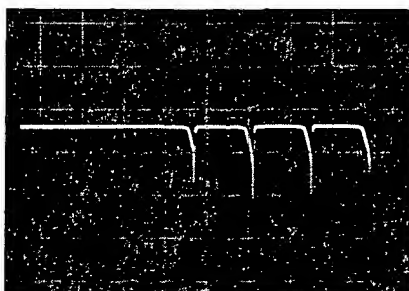
Obr. 8. Průběh signálu na kolektoru  $T_7$



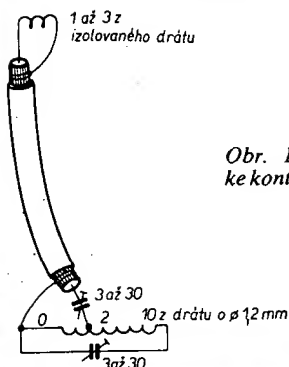
polohy. Potenciometry  $P_2$ ,  $P_3$  a  $P_4$  nastavíme tak, aby impuls měl šířku 1,6 ms.

Bylo-li dosavadní nastavování úspěšné, budeme pokračovat dále. Zjistíme, mění-li se při plných krajních výchylkách kníplů kanálové impulsy o  $\pm 0,5$  ms. Mění-li se, zapájíme do desky zbývající součástky:  $T_6$ ,  $T_7$ ,  $R_2$ ,  $R_1$ ,  $P_1$ ,  $D_1$  a  $C_2$ . Dále postupujeme při nastavování takto: připojíme osciloskop na kolektor  $T_7$ . Průběh pozorovaného signálu musí mít tvar podle obr. 8. Šířku jehlavých impulsů nastavíme na 0,25 ms potenciometrem  $P_1$  (22 k $\Omega$  na obr. 2).

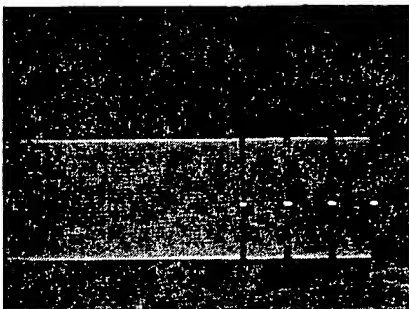
Tím je celé ozivení a předběžné nastavení hotovo. Desku se součástkami věštavíme do



Obr. 9. Průběh signálu na sběrnici (báze  $T_7$ ).

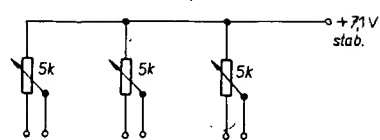


Obr. 10. Přípravek ke kontrole vř signálu



Obr. 11. Průběh vř signálu

Obr. 12. Pouzdro baterií a uspořádání ovládacích prvků



Obr. 13. Zapojení ovládačů (kníplů)

skříně a po připojení krystalu a antény znovu nastavíme výstupní obvod na maximální výkon. Signál na sběrnici (báze  $T_7$ ) má mít tvar podle obr. 9. Kdo má možnost použít vř osciloskop, může kontrolovat tvar modulovaného signálu. Ke kontrole je třeba zhotovit přípravek podle obr. 10.

Pro úplnost je ještě na obr. 13 zapojení ovládačů (kníplů).

### Součástky kodéru vysílače (obr. 1)

#### Odporové trimry a potenciometry

$R_1$	TR 112a, 0,1 M $\Omega$
$R_2$	TR 112a, 4,7 k $\Omega$
$R_3$	TR 112a, 0,15 M $\Omega$
$R_4$	TR 112a, 39 k $\Omega$
$R_5$	TR 112a, 39 k $\Omega$
$R_6$	TR 112a, 39 k $\Omega$
$R_7$	TR 112a, 4,7 k $\Omega$
$R_8, R_9, R_{10}, R_{11}$	TR 112a, 33 k $\Omega$
$R_{12}$	TR 152, 150 $\Omega$
$P_1$	TP 111, 0,15 M $\Omega$
$P_2, P_3, P_4$	TP 111, 0,1 M $\Omega$
$P_5, P_6, P_7$	potenciometr 5 k $\Omega$ /N
$P_8$	TP 111, 33 k $\Omega$

#### Kondenzátory

$C_1, C_2$	TC 180, 68 nF
$C_3, C_4, C_5$	TC 180, 47 nF
$C_6, C_8, C_{10}$	TK 724, 1 nF
$C_7, C_9, C_{11}, C_{12}$	TK 744, 6,8 nF
$C_{13}$	TE 984, popř. TC 973, 20 $\mu$ F

#### Polovodičové prvky

$T_1$ až $T_5$	KC507 až KC509
$D_1$ až $D_4$	KA501
$D_5$	KZZ71

#### Ostatní součásti

měřidlo 100- $\mu$ A, MI 40 nebo pod.

### Součástky vř dílu a modulátoru (obr. 2)

#### Odpory (všechny typu TR 112a)

$R_1$	47 k $\Omega$
$R_2$	47 k $\Omega$
$R_3$	4,7 k $\Omega$
$R_4$	4,7 k $\Omega$
$R_5$	68 až 220 $\Omega$
$R_6$	10 $\Omega$
$R_7$	3,9 $\Omega$
$P_1$	TP 111, 22 k $\Omega$

#### Kondenzátory

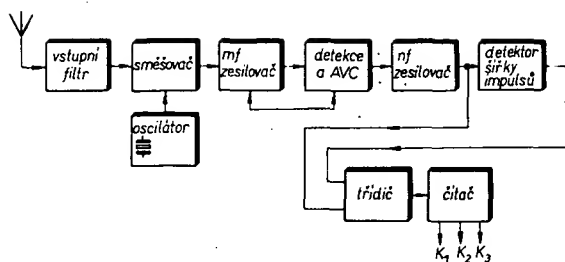
$C_1$	TK 782, 47 nF
$C_2$	TK 782, 22 nF
$C_3$	TK 423, 47 pF
$C_4$	TK 724, 1 nF
$C_5$	TK 423, 68 až 120 pF
$C_6$	TK 423, 82 až 150 pF
$C_7$	
$C_8$	TK 722, 8,2 pF
$C_9$	TK 782, 47 nF
$C_{10}$	TK 744, 10 nF

#### Polovodičové prvky

$T_6, T_7$	KC508
$T_8, T_9$	KSY62B ( $T_9$ KSY34)
$D_1$	KA501

#### Cívky

$L_1$	14 z drátu o $\varnothing$ 0,5 mm těsně nad $L_2$
$L_2$	5 z drátu o $\varnothing$ 0,5 mm



Obr. 14. Blokové schéma přijímače

- $L_3$  8 z drátu o  $\varnothing$  1 mm na  $\varnothing$  8 mm, ferokartové jádro  
 $L_4$  15 až 20 z drátu o  $\varnothing$  0,3 mm ferokartové jádro (podle použité antény)  
 $T_1$  vf tlumivka, 35 z drátu o  $\varnothing$  0,5 mm na  $\varnothing$  3 mm, bez jádra

### Přijímač soupravy

Na činnosti přijímací části soupravy záleží z velké míry jak technické parametry, tak i spolehlivost celého zařízení. Technické parametry (především maximální možná

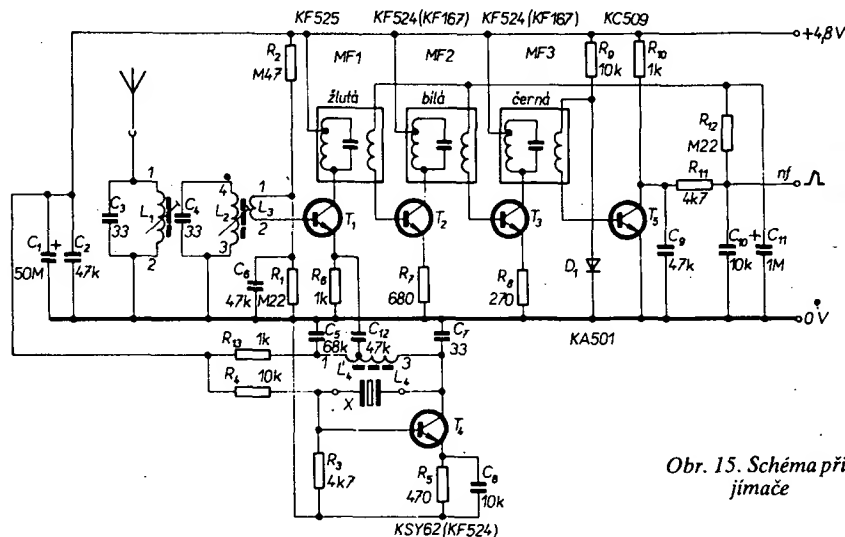
vzdálenost přijímače od vysílače při zachování požadované funkce) i spolehlivost (odolnost proti rušícím signálům) vyžaduje použití jako přijímač superhet, neboť pouze superhet může splnit všechny požadavky, kladené na soupravu z výše uvedených hledisek. Obvody přijímače soupravy si proto popíšeme poněkud podrobněji.

Blokové schéma přijímače je na obr. 14. Vysokofrekvenční signál z antény přichází na vstupní část přijímače, která je složena ze dvou rezonančních obvodů. Tímto zapojením vstupní části dosáhneme jednoduchými prostředky dobrého potlačení neužitečných (parazitních) signálů zrcadlového kmitočtu vně pásma 27 MHz, které by mohly rušit

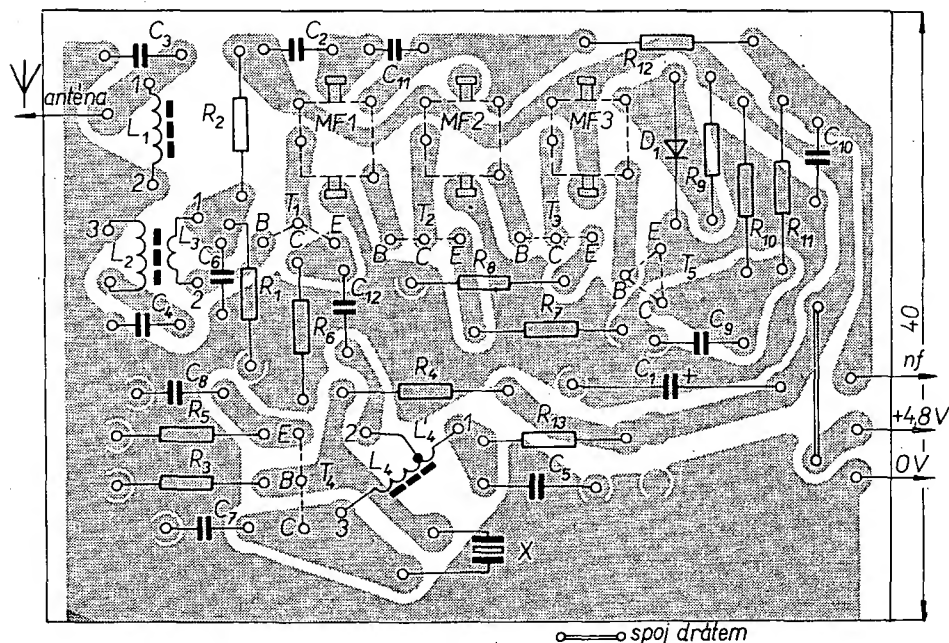
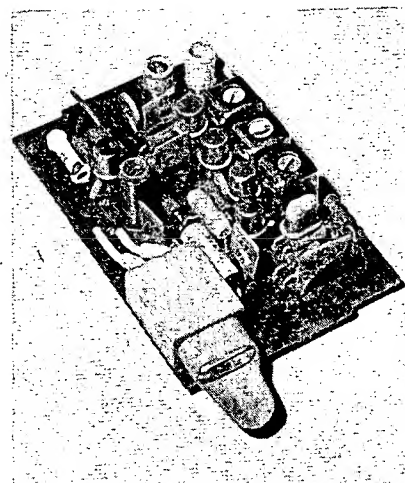
užitečný signál. Vstup obvodu směřovače je přizpůsoben vstupnímu laděnému obvodu vazební cívkou  $L_3$ . Oscilátor je v obvyklém zapojení a je řízen krystalem.

Signál z obvodu oscilátoru se přivádí do emitoru směšovacího tranzistoru, v němž se směšuje se vstupním signálem – výsledkem je signál mezifrekvenčního kmitočtu, který se dále upravuje zesílením ve dvoustupňovém mf zesilovači. Po zesílení přichází mf signál na detekční obvod s tranzistorem  $T_3$ . Stupeň s tranzistorem  $T_3$  detekuje mf signál a vytváří současně regulační napětí pro AVC. Zapojení detektoru vychází ze zapojení, používaných v továrních zařízeních (Simprom, Teleprom, Kraft). Je velmi jednoduché a přitom velmi účinné. Regulační napětí pro AVC se mění ve velmi velkém rozsahu, prakticky o celé kolektorové napětí tranzistoru  $T_3$ .

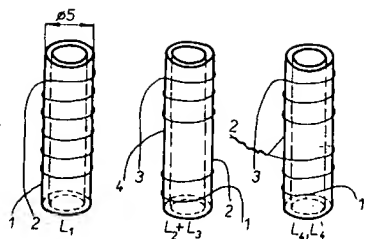
Signál po detekci se zesiluje a formuje. Detekovaný signál postupuje dále jednak přímo na čítač a jednak na detektor šířky impulsů. Čítač se před příchodem pracovních impulsů nastavuje do nulové polohy synchronizačním obvodem. Synchronizačním signálem (nebo lépe signálem, který spouští synchronizační obvod) ve vysílaném signálu je delší oddělovací mezera mezi skupinami pracovních impulsů. Detektor šířky impulsů



Obr. 15. Schéma přijímače



Obr. 16. Deska s plošnými spoji J 528 přijímače a hotová deska, osazená součástkami (nahore)



Obr. 17. Cívky přijímače a způsob jejich vinutí

pomocí synchronizačního obvodu tuto meze-ru zaznamená a čítač se vynuluje.

Pracovní impulsy nabíjejí kondenzátor v detektoru šířky impulsů na určité malé napětí. V synchronizační mezeře se však kondenzátor nabije na plné napětí. Obvod detektoru na toto zvětšené napětí reaguje tím, že se uvede v činnost a připraví čítač k příjmu další skupiny pracovních impulsů.

Čítač má několik stupňů; z jednotlivých stupňů čítače se odebírají rozříděné pracovní impulsy pro servozasilovače.

### Praktická stavba

Schéma přijímače je na obr. 15 a deska s plošnými spoji na obr. 16. Na předvrtanou a upravenou desku (dobře očistit měděné plochy a upravit rozměry na požadovanou velikost) připájíme nejprve cívky  $L_1$ ,  $L_2$ – $L_3$  a  $L_4$ . Dbáme, abychom dodrželi zapojení začátků a konců cívek, aby vývody cívek (očíslované na obr. 17) byly zasunuty do odpovídajících děr v desce s plošnými spoji. Dále zapájíme odpory  $R_3$ ,  $R_4$ ,  $R_5$ ,  $R_{13}$ , kondenzátory  $C_5$ ,  $C_7$ ,  $C_8$ ,  $C_{12}$  a  $C_1$ , tranzistor  $T_4$  a krystal. Po skončení pájení zkontrolujeme absorpčním vlnoměrem nebo osciloskopem (na kolektoru  $T_4$ ), kmitá-li oscilátor. Je-li vše v pořádku, zapojíme ostatní součástky. Před pájením mezifrekvenčních transformátorů nezapomeneme předem ocínovat pájecí špičky krytů transformátorů. Po skončení pájení pečlivě očistíme celou desku odškrábáním zbytků kalafuny a případně i nějakým rozpouštědlem (lihem). Zkontrolujeme, nemají-li vzájemný dotyk některé součástky nebo spoje. Případné nedostatky ihned odstraníme (třeba i dodatečným vkládáním izolačních pásků mezi součástky).

Po těchto kontrolách přijímač naladíme. Na vstup přijímače připájíme anténu (drát délky asi 1 m) a pak připojíme zdroj napájecího napětí 4,8 V (čtyři články NiCd). Mezi

záporný pól zdroje a kolektor tranzistoru  $T_3$  připojíme voltmetr, přepnutý na rozsah 6 V. Mezi jádra a kostřičky cívek  $L_1$ ,  $L_2$  a  $L_4$  vložíme (před začátkem ladění) tenké pásky pryže nebo proužky tenké fólie plastické hmoty.

Zapneme vysílač (se zasunutou anténou). Protože obvody přijímače nejsou dosud naladěny, přiblížíme vysílač k anténě přijímače tak blízko, aby voltmetr v kolektoru  $T_3$  indikoval zmenšení měřeného napětí při ladění.

Pak začneme ladit jednotlivé cívky, nejdříve  $L_1$  a  $L_2$  na největší pokles napětí, měřeného voltmetrem. Během ladění se podstatně zvětšuje citlivost přijímače, proto během ladění vzdalujeme vysílač od antény přijímače tak, aby voltmetr ukazoval vždy napětí maximálně asi 4 V. Po naladění vstupního obvodu ladíme mezifrekvenční transformátory, opět na minimum napětí, indikovaného voltmetrem. Na ladění reaguje „nejostřejší“ žlutě označený mf transformátor (první od vstupu), méně transformátor označený bíle a nejméně černě označený transformátor. Během ladění opět vzdalujeme anténu přijímače od vysílače (nebo ji popř. zkracujeme).

Po tomto hrubém naladění přepneme voltmetr na rozsah 1 V a naladíme všechny obvody co možno nejpřesněji. Výchylka ručky voltmetru by měla být při konečném naladění asi 0,7 V. Tím je celý přijímač naladěn.

Po naladění zakápneme jádra laděných cívek voskem (nejlépe včelím). Signál na výstupu pak můžeme zkontrolovat osciloskopem. Signál by měl mít tvar podle obr. 18.



Obr. 18. Signál na výstupu přijímače, sledujeme-li přijímač signálem z vysílače

### Seznam součástek přijímače

Odpory TR 112a

$R_1$ , $R_{12}$	0,22 M $\Omega$
$R_2$	0,47 M $\Omega$

$R_3$ , $R_{11}$	4,7 k $\Omega$
$R_4$ , $R_9$	10 k $\Omega$
$R_5$	470 $\Omega$
$R_6$ , $R_{10}$ , $R_{13}$	1 k $\Omega$
$R_7$	680 $\Omega$
$R_8$	270 $\Omega$

### Kondenzátory

$C_1$	50 $\mu$ F/6 V, TE 156
$C_2$ , $C_9$ , $C_{12}$	47 nF, TK 782
$C_3$ , $C_4$ , $C_7$	33 pF, TK 754/TK 423
$C_5$	68 nF, TK 782
$C_8$ , $C_{10}$	10 nF, TK 782
$C_{11}$	1 $\mu$ F/6 V, TE 125

### Polovodičové prvky

$T_1$	KF525
$T_2$ , $T_3$	KF524 (KF167)
$T_4$	KSY62 (KF524)
$T_5$	KC509
$D_1$	KA501

Krystal (rozdíl kmitočtů krystalu v přijímači a krystalu ve vysílači musí být rovný zvolenému mf kmitočtu, tj. asi 455 až 465 kHz a kmitočet krystalu ve vysílači musí být pochopitelně v kmitočtovém pásmu, určeném pro dálkové řízení modelů).

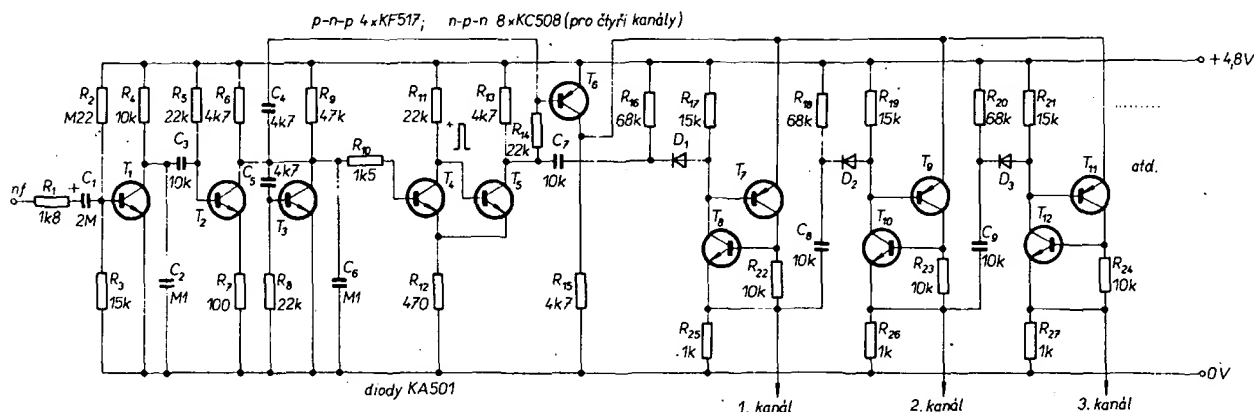
### Cívky

$L_1$	13 z drátu o $\varnothing$ 0,3 mm CuL
$L_2$	14 z drátu o $\varnothing$ 0,3 mm CuL
$L_3$	6 z drátu o $\varnothing$ 0,3 mm CuL
$L_4$	23 z drátu o $\varnothing$ 0,3 mm CuL
$L_4'$	5 z drátu o $\varnothing$ 0,3 mm CuL

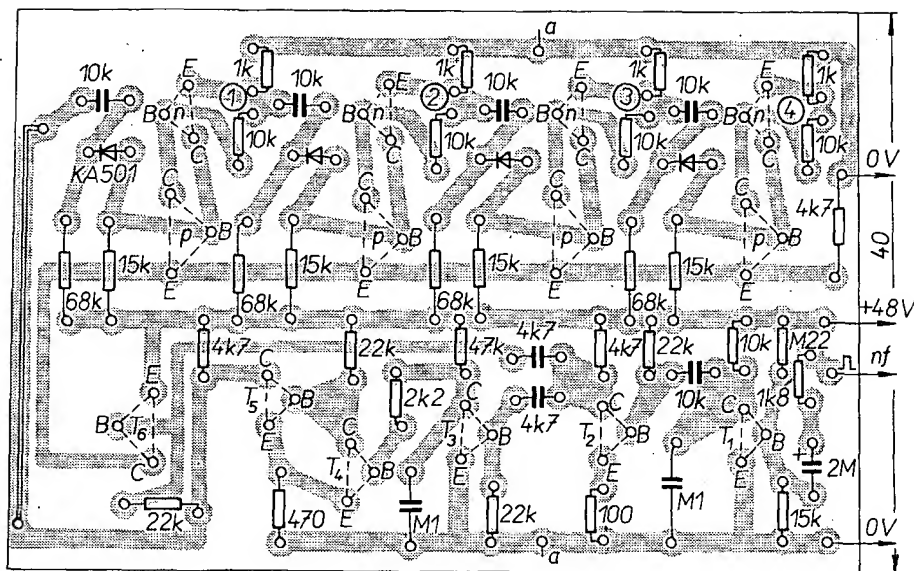
průměr kostřiček 5 mm, průměr dolaďovacích jader 4 mm, ferokart, mf transformátory jsou miniaturní transformátory z japonských přijímačů AM.

### Dekodér

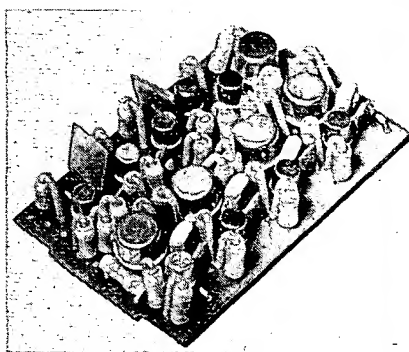
Schéma dekodéru je na obr. 19. Deska s plošnými spoji (pro čtyři servozasilovače) je na obr. 20. Zapojení je shodné s dekodérem Teleprop, jsou však použity výhradně tuzemské součástky. Při stavbě postupujeme stejným způsobem, jako u přijímače: na předvrtanou desku, upravenou na potřebný rozměr podle našich požadavků, umístíme nejdříve drátovou spojku. Spojku použijeme proto, že z tranzistorů polarity p-n-p jsou na trhu k dostání pouze tranzistory typu KF517; ty jsou relativně velmi rozměrné a všechny součásti na desce budou proto velmi stěsnány. Tranzistory KF517 jsem použil proto, že jsou poměrně levné; bylo by možno použít i tranzistory typu KSY81, pak by problémy se stěsnaností konstrukce nebyly tak tíživé;



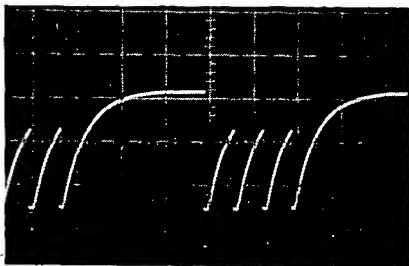
Obr. 19. Schéma dekodéru přijímací části soupravy



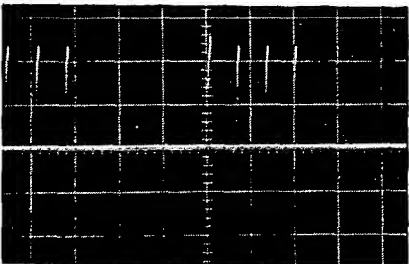
Obr. 20. Deska s plošnými spoji dekodéru J 529 a deska, osazená součástkami



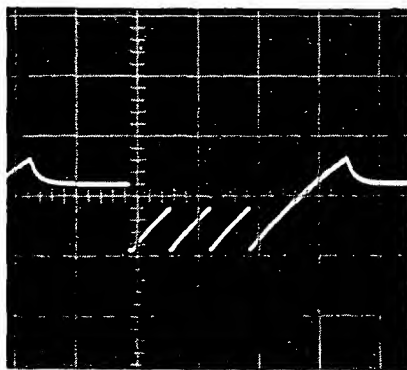
tranzistory KSY81 jsou však mnohem dražší. Osazování desky věnujeme z uvedených důvodů (stěsnanost) velkou pozornost. Všechny odpory izolujeme izolačními trubičkami (bužirkou) a při osazování desky nesmíme zapomenout, že všechny tranzistory mají



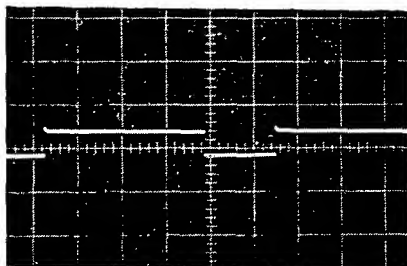
Obr. 21. Průběh signálu na kolektoru  $T_1$



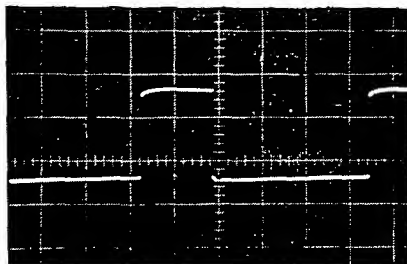
Obr. 22. Průběh signálu na kolektoru  $T_2$



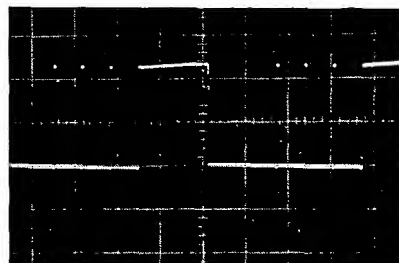
Obr. 23. Průběh signálu na kolektoru  $T_3$



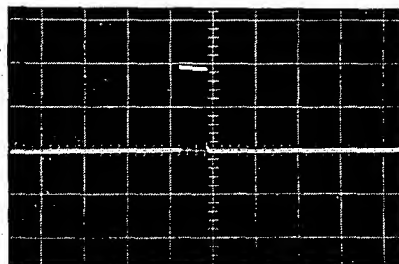
Obr. 24. Průběh signálu na kolektoru  $T_4$



Obr. 25. Průběh signálu na kolektoru  $T_5$



Obr. 26. Průběh signálu na kolektoru  $T_6$



Obr. 27. Výstupy kanálů 1 až 3

na kovovém pouzdrů vyveden kolektor. V zapojení by se velmi osvědčilo použít tranzistory v pouzdrích z plastických hmot, např. typu BC239 a BC309 (Siemens), pak by bylo osazování desky bez problémů. Naše tranzistory v pouzdrích z plastických hmot (KC148, n-p-n) však jsou pokud jde o rozměry nevýhodnější než tranzistory v pouzdrích kovových (KC508) a navíc mají jiné uspořádání vývodů, takže by při jejich použití bylo třeba upravovat desku s plošnými spoji.

Po osazení desky součástkami a po propojení desky s deskou přijímače můžeme zkontrolovat osciloskopem průběhy signálu na kolektorech jednotlivých tranzistorů (obr. 21 až 27). Neodpovídá-li průběh na kolektoru  $T_6$  průběhu na obr. 26, je třeba změnit odpor  $R_9$  nebo kapacitu kondenzátoru  $C_6$ . Při pečlivé práci a předběžné kontrole součástek je však oživení velmi jednoduché a není třeba zpravidla žádných dodatečných zásahů do osazené destičky.

Kdo vlastní serva s elektronikou (Simprop, Kraft, Robe), může je již připojit přímo k výstupům jednotlivých kanálů dekodéru.

## Seznam součástek (pro tři kanály)

### Odporů TR 112a

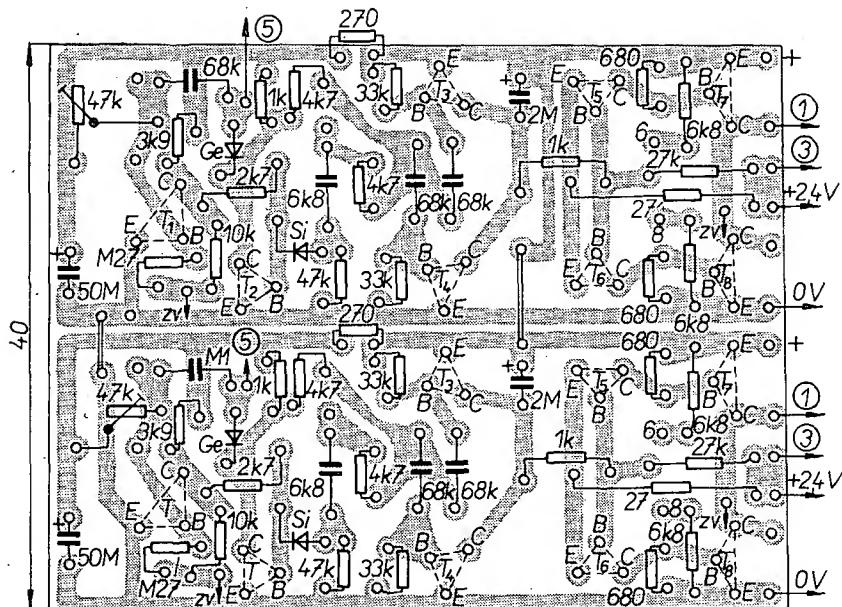
$R_1$	1,8 k $\Omega$
$R_2$	0,22 M $\Omega$
$R_3, R_{17}, R_{19}, R_{21}$	15 k $\Omega$
$R_4, R_{22}, R_{23}, R_{24}$	10 k $\Omega$
$R_5, R_{14}, R_6, R_{11}$	22 k $\Omega$
$R_8, R_{13}, R_{15}$	4,7 k $\Omega$
$R_7$	100 $\Omega$
$R_9$	47 k $\Omega$
$R_{10}$	1,5 k $\Omega$
$R_{12}$	470 $\Omega$
$R_{16}, R_{18}, R_{20}$	68 k $\Omega$
$R_{25}, R_{26}, R_{27}$	1 k $\Omega$

### Kondenzátory

$C_1$	2 $\mu$ F/35 V, libovolný elektrolytický kondenzátor co nejmenších rozměrů, např. TE005
$C_2, C_6$	0,1 $\mu$ F, TK 782
$C_3, C_7, C_8, C_9$	10 nF, TK 744 (TK 782)
$C_4, C_5$	4,7 nF, TK 744 (TK 782)

### Polovodičové prvky

$D_1$ až $D_3$	KA501
$T_1, T_2, T_3, T_5, T_{10}, T_{12}$	KC508
$T_6, T_7, T_8, T_{11}$	KF517



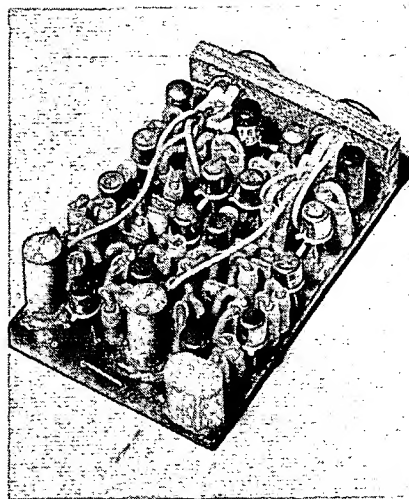
Obr. 29. Deska s plošnými spoji servozesilovačů J 530 a deska, osazená součástkami

## Servozesilovače

Protože se u nás nejvíce vyskytují serva Varioprop, zapojení servozesilovačů odpovídá těmto servům. Schéma servozesilovačů je na obr. 28, deska s plošnými spoji pro dva servozesilovače je na obr. 29.

Při osazování desky pracujeme opět s co největší pozorností, opět povlékneme všechny vývody součástek a všechny odpory izolačními trubičkami (bužírky); součástky předem proměříme, nejsme-li si zcela jisti, zda jsou v pořádku. Při osazování destičky pozor na tranzistory  $T_4$  a  $T_6$ , mají překřížené vývody!

Na připravenou desku pájíme nejdříve drátové spojky k propojení napájecích napětí. Spojku pro zpětnou vazbu připájíme až nakonec. Držák konektoru zhotovíme z umatexu nebo z duralu. Po zapájení všech součástek servozesilovač nastavíme tak, jak bylo popsáno v časopisu Modelář č. 3/1973.



Je-li však náš vysílač dobře nastaven, je nastavení servozesilovačů jednoduché – místo odporu  $R_3$  zapojíme odporový trimr asi 56 k $\Omega$  – a změnou odporu trimru nastavíme neutral serva. Potom trimr změříme a nahradíme pevným odporem.

Číslo 1, 3, 5, 6, 8 odpovídají očíslování vývodů zásuvek Graupner, vývody jsou označeny jak ve schématu, tak na desce s plošnými spoji, kde je i schéma zástrčky.

## Seznam součástek servozesilovačů

### Odporů TR 112a

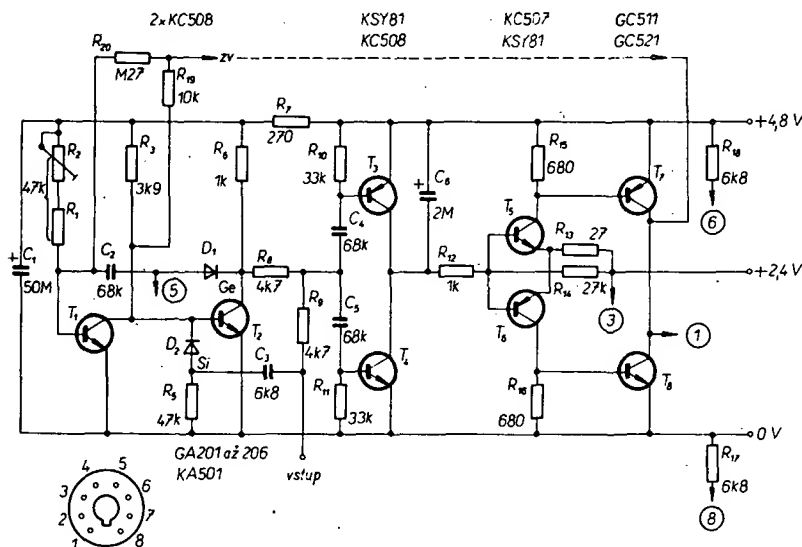
$R_1, R_2$	trimr 47 k $\Omega$ , nebo pevný odpor v kombinaci s trimrem tak, aby jejich celkový odpor byl asi 47 k $\Omega$
$R_3$	3,9 k $\Omega$
$R_4$	2,7 k $\Omega$
$R_5$	47 k $\Omega$
$R_6, R_{12}$	1 k $\Omega$
$R_7$	270 $\Omega$
$R_8, R_9$	4,7 k $\Omega$
$R_{10}, R_{11}$	33 k $\Omega$
$R_{13}$	27 $\Omega$
$R_{14}$	27 k $\Omega$
$R_{15}, R_{16}$	680 $\Omega$
$R_{17}, R_{18}$	6,8 k $\Omega$
$R_{19}$	10 k $\Omega$
$R_{20}$	0,27 M $\Omega$

### Kondenzátory

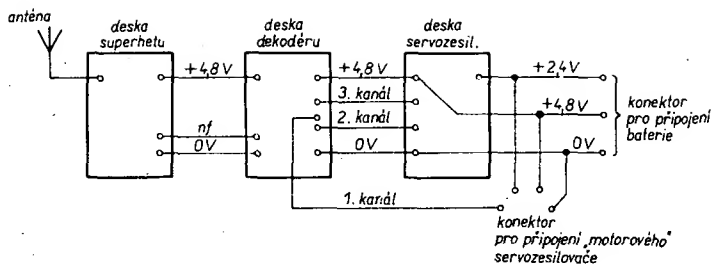
$C_1$	50 $\mu$ F/6 V, libov. typ, co nejmenší, např. TE002
$C_2$	68 nF, TC180
$C_3$	6,8 nF, TK744 (TK782)
$C_4, C_5$	68 nF, TK782
$C_6$	2 $\mu$ F/35 V, co nejmenší, libov. typ, např. TE005

### Polovodičové prvky

$D_1$	libovolná germaniová dioda, např. GA204
$D_2$	křemíková dioda, např. KA501 (KA206)
$T_1, T_2, T_4, T_5$	KC508
$T_3, T_6$	KSY81
$T_7$	GC511
$T_8$	GC521



Obr. 28. Schéma servozesilovačů

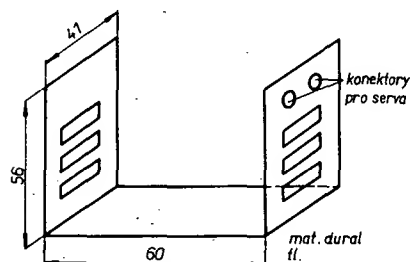


Obr. 32. Propojení desek přijímací části soupravy

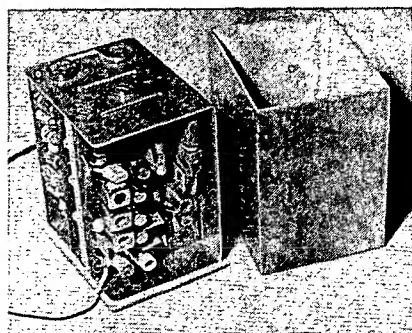
### Mechanické uspořádání

Všechny tři desky přijímací části soupravy jsou zasazeny do duralového držáku (obr. 30). Tento celek je zasunut do krabičky z překližky nebo umatexu (obr. 31). V tomto uspořádání je možno celek používat k řízení dvou serv (což většinou stačí). Třetí servozesilovač je vhodné vestavět přímo pod servo. Ovládací prvek (servo zesilovač spolu se servem) je pak poněkud vyšší, ale vždy lze třetí servo použít tam, kde větší výška nebude na závadu (např. u motoru, servo řídí rychlost otáčení).

Všechny desky se součástkami spojíme vzájemně podle obr. 32. Pochopitelně lze zvolit i jiné uspořádání desek s plošnými spoji podle konkrétních požadavků – u letadel se osvědčilo popsané zapojení, u lodí by bylo



Obr. 30. Duralový držák



Obr. 31. Sestava přijímací části soupravy (jiné uspořádání než na obr. 30.)

možné i uspořádání do plochy, popř. i kombinované – tj. na výšku i do plochy.

Při osazování desek lze samozřejmě použít místo tranzistorů KC508 i tranzistory KC509 nebo KC507 (beze změn součástek). Do přijímače lze použít místo tranzistorů KF524 a KF525 s výhodou i zahraniční tranzistory BF115 nebo podobné. Na pozicích, osazovaných elektrolytickými kondenzátory, jsou výhodné tantalové kondenzátory, jejich použití není však podmínkou. Dobře vyhoví např. elektrolytické kondenzátory v pouzdrech ze zelené plastické hmoty typu TE002 až TE005. Nejméně vhodné jsou miniaturní elektrolytické kondenzátory s osovými vývody.

### Literatura

Časopisy Modelář, Modell, Radiový konstruktér.  
Firemní literatura Kraft, Graupner, Simprop.

**Pozn.:** Japonské mf transformátory lze nahradit beze změny v zapojení mf transformátory z přijímače Iris; tyto transformátory však nemají vestavěn dolaďovací kondenzátor – pro kondenzátor je však otvor na spodní straně transformátoru, je třeba použít miniaturní trubičkový kondenzátor s kapacitou asi 150 až 180 pF (podle zvoleného mf kmitočtu). Jako „žlutý“ a „bílý“ mf transformátor podle popisu v článku lze použít typ s objednacím číslem 1 PK 05 104 z přijímače Iris (145 + 25 z drátu o  $\varnothing$  0,08 mm, sekundární vinutí je 9 z stejného drátu), jako „černý“ lze použít mf transformátor 1 PK 05 105 ze stejného přijímače (140 + 30 z drátu o  $\varnothing$  0,08 mm, sekundární vinutí 40 z stejného drátu).

Protože se miniaturní kondenzátory obtížně shánějí, lze použít jako dolaďovací kondenzátor i styroflexový typ, který je běžně na trhu. Pak je třeba ohnout u mf transformátoru střední vývod ze tří vývodů v řadě (odbočka primárního vinutí) a provrtat v desce s plošnými spoji díru pro třetí vývod. Dolaďovací kondenzátor lze pak připojit ze strany spojů. Dosažené výsledky jsou naprosto rovnocenné výsledkům s originálním zapojením.

### OBSAH

Vážení čtenáři . . . . .	1
Ohlédnutí za úspěchy VJH TESLA na VI. MVSZ . . . . .	2

### Nabíječky, zdroje, stabilizátory

Zdroj 2 až 20 V . . . . .	4
Malý zdroj stabilizovaného napětí . . . . .	5
Dva moderní zdroje s MAA723 . . . . .	7
Automatika pro nabíječ akumulátorů . . . . .	8

### Nízkofrekvenční technika a elektroakustika

Kvalitní výkonový nf zesilovač . . . . .	11
Zrychlený přepis magnetofonových záznamů . . . . .	14
Elektronické varhany . . . . .	16

### Měřicí technika

Stavebnice osciloskopu . . . . .	21
Ss měřicí přístroj . . . . .	27
V – $\mu$ Ametr s rozváděčovým měřidlem . . . . .	29
Měřič tranzistorů TRANZITEST 01 . . . . .	32
Měřič teploty TUMOZ 1 . . . . .	35
Generátor mříží . . . . .	38

### Přijímací technika

Tuner pro VKV 66 až 104 MHz . . . . .	40
Anténa pro IV. TV pásmo . . . . .	45

### Elektronika v motorových vozidlech

Palubní kontrolní přístroje . . . . .	47
Dobíjení akumulátoru u motocyklu . . . . .	51

### Elektronika ve fotografii

Elektronický blesk na baterie i na síť . . . . .	52
Jednoduchý časový spínač pro zvětšovací přístroj . . . . .	59

### Číslicová technika

Rozšíření kmitočtového rozsahu čítačů . . . . .	61
---	----

### Různé aplikovaná elektronika

Palubní telefon . . . . .	62
Kybernetický zámok . . . . .	64

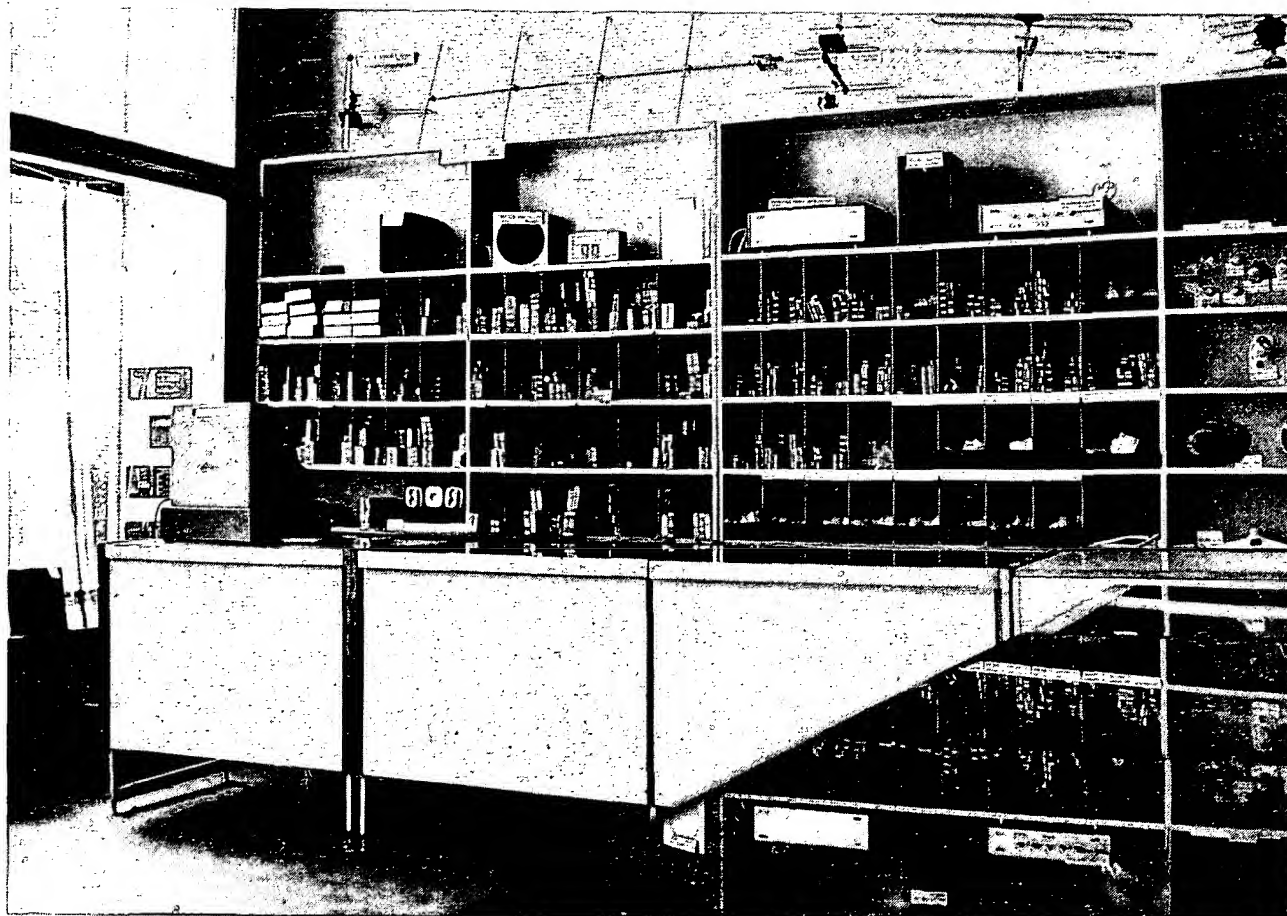
### Osvědčená zapojení

Stereofonní zesilovač Hi-Fi jednoduché konstrukce . . . . .	66
Konvertor pro II. TV program . . . . .	69
Souprava pro dálkové ovládání modelů . . . . .	72

Inzerce . . . . .	80
-------------------	----

### Příloha časopisu Amatérské radio

Vydává ÚV Svazarmu ve vydavatelství MAGNET, Vladislavova 26, PSČ 113 66 Praha 1, telefon 26 06 51-7. Šéfredaktor ing. František Smolík, zástupce Luboš Kalousek. Redakční rada: K. Bartoš, V. Brzák, K. Donát, A. Glanc, I. Harminec, L. Hlinský, ing. L. Hloušek, A. Hofhans, Z. Hradský, ing. J. T. Hyan, ing. J. Jaroš, ing. F. Králík, ing. J. Navrátil, K. Novák, ing. O. Petráček, L. Tichý, ing. J. Vackář, CSc., laureát st. ceny KG, ing. J. Zima, J. Ženíšek, laureát st. ceny KG. Redakce Jungmannova 24, PSČ 113 66 Praha 1, tel. 26 06 51-7. Cena výtisku 10 Kčs. Rozšiřuje PNS, v jednotkách ozbrojených sil vydavatelství MAGNET, administrace Vladislavova 26, Praha 1. Objednávky přijímá každá pošta i doručovatel. Dohledací pošta Praha 07. Objednávky do zahraničí vyřizuje PNS, vývoz tisku, Jindřišská 14, Praha 1. Tiskne Naše vojsko, n. p., závod 08, 162 00 Praha 6-Liboc, Vlastina 710. Inzerce přijímá vydavatelství MAGNET, Vladislavova 26, PSČ 113 66 Praha 1, tel. 26 06 51-7, linka 294. Za původnost a správnost příspěvku ručí autor. Dáno do tisku dne 30. 6. 1975.



**Speciální prodejny potřeb pro radioamatéry  
jsou určeny především vám**

**RADIOAMATÉR** Na poříčí 44  
Žitná 44

Jejich pracovníci jsou připraveni posloužit vám i odbornou radou.

**Nepřehlédněte, že**

RADIOAMATÉR, Žitná 44

má výhradní prodej jehel a vložek pro gramoradia

**EUROPHON**  
v ČSSR.



**DOMÁCÍ POTŘEBY PRAHA**